

**UNIVERSITATEA "POLITEHNICA" TIMISOARA
FACULTATEA DE CHIMIE INDUSTRIALA SI
INGINERIA MEDIULUI**

Ing. MONICA-ELENA LUNGU

TEZA DE DOCTORAT

**SINTEZE DE NOI COLORANȚI REACTIVI CU
RANDAMENT TINCTORIAL MĂRIT**

BIBLIOTECĂ CENTRALĂ
Nr. volum 644-698
An 369 Lit E

**Conducator stiintific
Prof. dr. ing. ALFA XENIA LUPEA**

**TIMISOARA
2004**

CUPRINS

Introducere. Obiectivele tezei.....	4
I. Stadiul actual în domeniul vopsirii fibrelor celulozice cu coloranți reactivi	7
I.1. Fibre celulozice.....	7
I.1.1. Notiuni despre fizica și chimia celulozei.....	7
I.1.2. Proprietăți și reacții ale celulozei.....	8
I.2. Structura și proprietățile coloranților reactivi.....	12
I.3. Aplicarea coloranților reactivi.....	24
I.3.1. Formarea legăturii colorant-fibra.....	24
I.3.2. Fenomenul tinctorial	26
I.3.3. Termodinamica proceselor de fixare.....	27
I.3.4. Reactivitatea	28
I.3.4.1. Dependența reactivității de pH și temperatura	30
I.3.4.2. Influența electrolitului și a concentrației asupra reactivității	30
I.3.4.3. Efectul catalizatorilor asupra reactivității	31
I.3.5. Difuzie și substantivitate	31
II. Contribuții originale	33
II.1. Sinteza și caracterizarea unor intermediari specifici	33
II.1.1. Sinteza și caracterizarea N-[4-(2-hidroxi-etilsulfonil)-fenil]-acetamidei	36
II.1.2. Sinteza și caracterizarea esterului monosulfuric al 2-(4-amino-benzensulfonil) etanolului	37
II.1.3. Sinteza și caracterizarea sării trisodice a acidului 4-[4-clor-6-(4-sulfo-fenilamino)-[1,3,5]triazin-2-ilamino]-5-hidroxi-naftalen-2,7-disulfonic	39
II.1.4. Sinteza și caracterizarea sării trisodice a acidului 4-{4-clor-6-[4-(2-sulfoxi-etilsulfonil)-fenilamino]-[1,3,5]triazin-2-ilamino}-5-hidroxi-naftalen-2,7-disulfonic	40
II.2. Sinteza și caracterizarea coloranților reactivi vinilsulfonici	48
II.3. Sinteza și caracterizarea coloranților reactivi monoclorotriazinici	66
II.4. Sinteza și caracterizarea coloranților reactivi heterofuncționali	80
III. Aplicarea tinctorială a compușilor sintetizați pe suport celulozic	92
III.1. Procesul de vopsire	92
III.1.1. Vopsirea prin epuizare	94
III.1.2. Vopsirea semicontinuă și continuă cu coloranți reactivi	97
III.2. Vopsirea cu coloranți azoici reactivi vinilsulfonici	100
III.3. Vopsirea cu coloranți reactivi monoclorotriazinici	104
III.4. Vopsirea cu coloranți reactivi heterofuncționali	108
IV. Parte experimentală	
IV.1. Instalație pentru sinteză, instalație pentru vopsire, reactivi utilizați.....	112
IV.1.1. Instalație pentru sinteză.....	112
IV.1.2. Instalație pentru vopsire	112
IV.1.3. Reactivi utilizați	112
IV.2. Metode de analiza utilizate.....	113
IV.2.1. Metode cromatografice	113
IV.2.2. Analiza elementală.....	114

IV.2.3. Metode spectroscopice.....	114
IV.3. Sinteze de intermediari specifici.....	115
IV.3.1. Obținerea N[4-(2-hidroxi-etilsulfonil)-fenil]-acetamidei	115
IV.3.2. Obținerea esterului monosulfuric al 2-(4-amino-benzensulfonil)etanolului	116
IV.3.3. Obținerea sării trisodice a acidului 4-[4-clor-6-(4-sulfo-fenilamino)- [1,3,5]triazin - 2-ilamino]-5-hidroxi-naftalen-2,7-disulfonic	117
IV.3.4. Obținerea sării trisodice a acidului 4-{4-clor-6-[4-(2-sulfoxi-etilsulfonil)- fenilamino]-[1,3,5]triazin- 2-ilamino}-5-hidroxi-naftalen-2,7-disulfonic ...	118
IV.4. Sinteza coloranților vinilsulfonici	120
IV.4.1. Obținerea sării de sodiu a acidului 5-amino-6-[4-(2-sulfoxi-etilsulfonil)- fenilazo]naftalen-1-sulfonic	120
IV.4.2. Obținerea sării de sodiu a acidului 6-amino-4-hidroxi-5-[4-(2-sulfoxi- etilsulfonil)-fenilazo]naftalen-2-sulfonic	121
IV.4.3. Obținerea sării de sodiu a acidului 5-amino-8-[4-(2-sulfoxi-etilsulfonil)- fenilazo]naftalen-2-sulfonic	121
IV.4.4. Obținerea sării de sodiu a acidului 2,5-diclor-4-{3-metil-5-oxo-4- [4-(2-sulfoxi-etilsulfonil)-fenilazo]-4,5-dihidro-pirazol-1-il-benzensulfonic	122
IV.4.5. Obținerea sării de sodiu a acidului 4-hidroxi-3-[4-(2-sulfoxi- etilsulfonil)-fenilazo]-naftalen-1-sulfonic	123
IV.4.6. Obținerea sării de sodiu a acidului 3-hidroxi-4-[4-(2-sulfoxi-etilsulfonil)- fenilazo]-naftalen-2-carboxilic	123
IV.4.7. Obținerea sării de sodiu a acidului 6-acetilamino-4-hidroxi-3-[4-(2-sulfoxi- etilsulfonil)-fenilazo]naftalen-2-sulfonic	124
IV.4.8. Obținerea sării de sodiu a acidului 2-hidroxi-5-[4-(2-sulfoxi-etilsulfonil) -fenilazo]-benzoic	124
IV.4.9. Obținerea sării de sodiu a acidului 4-amino-5-hidroxi-3,6-bis-[4-(2-sulfoxi- etilsulfonil)-fenilazo]-naftalen-2,7-disulfonic	125
IV.4.10. Obținerea sării de sodiu a acidului 4-amino-5-hidroxi-6-(4-sulfo-naftalen-1- ilazo)-3-[4-[2-sulfoxi-etilsulfonil)-fenilazo]-naftalen-2,7-disulfonic	126
IV.4.11. Obținerea sării de sodiu a acidului 4-amino-5-hidroxi-6-[4-(2-sulfoxi- etilsulfonil)-fenilazo]-3-(4-sulfo-fenilazo)-naftalen-2,7-disulfonic	127
IV.4.12. Obținerea sării de sodiu a acidului 4-amino-5-hidroxi-3-(4-nitro-fenilazo) -6-[4-(2-sulfoxi-etilsulfonil)-fenilazo]-naftalen-2,7-disulfonic	128
IV.4.13. Obținerea sării de sodiu a acidului 4-amino-5-hidroxi-6-(4-{2-[4- (4-hidroxi-fenilazo)-2-sulfo-fenil]-vinil}-3-sulfo-fenilazo)-3-[4-sulfoxi- etilsulfonil)-fenilazo]-naftalen-2,7-disulfonic	128
IV.4.14. Obținerea colorantului reactiv vinilsulfonic ftalocianinic	129
IV.5. Sinteza coloranților monoclorotriazinici	131
IV.5.1. Obținerea sării de sodiu a acidului 2-{8-[4-clor-6-(4-sulfo-fenilamino)- [1,3,5]triazin-2-ilamino]-1-hidroxi-3,6-disulfo-naftalen-2-ilazo}-benzoic	131
IV.5.2. Obținerea sării de sodiu a acidului 5-[4-clor-6-(sulfo-fenilamino)- [1,3,5]triazin-2-ilamino]-4-hidroxi-3-(4-sulfo-naftalen-1-ilazo)-naftalen-2,7- disulfonic	132
IV.5.3. Obținerea sării de sodiu a acidului 5-[4-clor-6-(4-sulfo-fenilamino)- [1,3,5]triazin-2-ilamino]-4-hidroxi-3-(4-sulfo-fenilazo)-naftalen-2,7- disulfonic	132
IV.5.4. Obținerea sării de sodiu a acidului 5-[4-clor-6-(4-sulfo-fenilamino)- [1,3,5]triazin-2-ilamino]-4-hidroxi-3-(1-sulfo-naftalen-2-ilazo)-naftalen-2,7- disulfonic	133
IV.5.5. Obținerea sării de sodiu a acidului 5-{8-[4-clor-6-(4-sulfo-fenilamino)-	

[1,3,5]triazin-2-ilamino]-1-hidroxi-3,6-disulfo-naftalen-2-ilazo}-izoftalic	134
IV.5.6. Obținerea sării de sodiu a acidului 5-{8-[4-clor-6-(4-sulfo-fenilamino)- [1,3,5]triazin-2-ilamino]-1-hidroxi-3,6-disulfo-naftalen-2-ilazo}-2-hidroxi -benzoic	135
IV.5.7. Obținerea sării de sodiu a acidului 3-{8-[4-clor-6-(4-sulfo-fenilamino)- [1,3,5]triazin-2-ilamino]-1-hidroxi-3,6-disulfo-naftalen-2-ilazo}-benzoic	135
IV.5.8. Obținerea sării de sodiu a acidului 4-{8-[4-clor-6-(4-sulfo-fenilamino)- [1,3,5]triazin-2-ilamino]-1-hidroxi-3,6-disulfo-naftalen-2-ilazo}-benzoic	136
IV.5.9. Obținerea sării de sodiu a acidului 5-[4-clor-6-(4-sulfo-fenilamino)- [1,3,5]triazin-2-ilamino]-3-(2,5-disulfo-fenilazo)-4-hidroxi-naftalen-2,7- disulfonic	137
IV.6. Obținerea coloranților reactivi heterofuncționali	139
IV.6.1. Obținerea sării de sodiu a acidului 2-(8-{4-clor-6-[4-(2-sulfoxi-etilsulfonil)- fenilamino]-[1,3,5]triazin-2-ilamino}-1-hidroxi-3,6-disulfo-naftalen-2-ilazo)- benzoic	139
IV.6.2. Obținerea sării de sodiu a acidului 5-{4-clor-6-[4-(2-sulfoxi-etilsulfonil)- fenilamino]-[1,3,5]triazin-2-ilamino}-4-hidroxi-3-(4-sulfo-naftalen-1-ilazo)- naftalen-2,7-disulfonic	140
IV.6.3. Obținerea sării de sodiu a acidului 5-{4-clor-6-[4-(2-sulfoxi-etilsulfonil)- fenilamino]-[1,3,5]triazin-2-ilamino}-4-hidroxi-3-(4-sulfo-fenilazo)-naftalen- 2,7-disulfonic	140
IV.6.4. Obținerea sării de sodiu a acidului 5-{4-clor-6-[4-(2-sulfoxi-etilsulfonil)- fenilamino]-[1,3,5]triazin-2-ilamino}-4-hidroxi-3-(1-sulfo-naftalen-2-ilazo)- naftalen-2,7-disulfonic	141
IV.6.5. Obținerea sării de sodiu a acidului 5-(8-{4-clor-6-[4-(2-sulfoxi-etilsulfonil)- fenilamino]-[1,3,5]triazin-2-ilamino}-1-hidroxi-3,6-disulfo-naftalen-2-ilazo}- izoftalic	142
IV.6.6. Obținerea sării de sodiu a acidului 5-(8-{4-clor-6-[4-(2-sulfoxi-etilsulfonil)- fenilamino]-[1,3,5]triazin-2-ilamino}-1-hidroxi-3,6-disulfo-naftalen-2-ilazo)-2- hidroxi-benzoic	143
IV.6.7. Obținerea sării de sodiu a acidului 3-(8-{4-clor-6-[4-(2-sulfoxi-etilsulfonil)- fenilamino]-[1,3,5]triazin-2-ilamino}-1-hidroxi-3,6-disulfo-naftalen-2-ilazo)- benzoic	143
IV.6.8. Obținerea sării de sodiu a acidului 4-(8-{4-clor-6-[4-(2-sulfoxi-etilsulfonil)- fenilamino]-[1,3,5]triazin-2-ilamino}-1-hidroxi-3,6-disulfo-naftalen-2-ilazo)- benzoic	144
IV.6.9. Obținerea sării de sodiu a acidului 5-{4-clor-6-[4-(2-sulfoxi-etilsulfonil)- fenilamino]-[1,3,5]triazin-2-ilamino}-3-(2,5-disulfo-fenilazo)-4-hidroxi- naftalen-2,7-disulfonic	145
IV.7. Vopsirea bumbacului cu coloranți reactivi	146
V. Concluzii	147
Bibliografie	151

INTRODUCERE. OBIECTIVELE TEZEI

Studiul obținerii și caracterizării unor coloranți reactivi monoclorotriazinici, vinilsulfonici și heterofuncționali monoclorotriazino-vinilsulfonici prezintă interes în principal datorită posibilității realizării unor comparații între aceste trei clase atât din punctul de vedere al reactivității cât și al proprietăților tinctoriale.

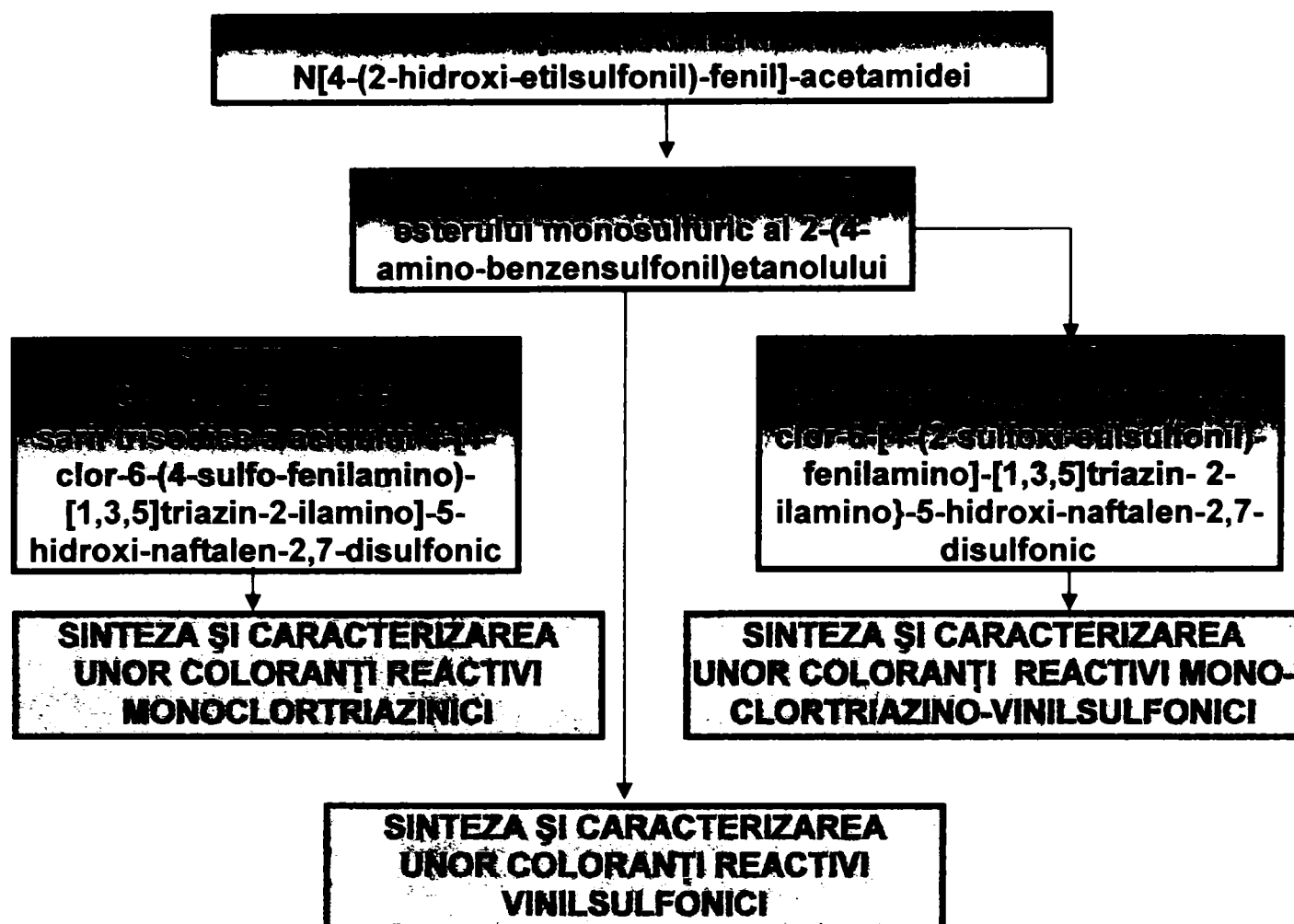
Din datele de literatură se constată că preocupările unor colective de cercetători cu privire la studiul unor astfel de compuși au avut în vedere câteva probleme fundamentale care se asociază acestor coloranți și anume:

- reacția de hidroliză a grupei reactive, reacție competitivă cu cea de fixare pe suportul textil; colorantul hidrolizat nu mai poate reactiona cu fibra și deci este necesară găsirea unor compuși la care raportul dintre gradul de fixare și cel de hidroliză să fie foarte mare;
- substantivitatea coloranților trebuie să fie în concordanță cu condițiile de aplicare și să nu fie prea mare pentru a asigura o pătrundere uniformă a acestuia în fibră și o îndepărtare ușoară a colorantului nefixat reactiv de pe fibră;
- obținerea unor structuri care să asigure o cât mai mare rezistență la lumină a vopsirilor obținute;
- obținerea unor coloranți reactivi cu rezistență crescută la agenți electrofili (hipoclorit, gaze de ardere, peracizi, etc.);
- obținerea unor coloranți cu rezistență crescută la agenți nucleofili (percarbonați, perborati, etc.).

Din circa 200 grupe reactive menționate în literatură, numai în jur de 40 de grupe sunt utilizate în structura coloranților comerciali. Pornind de la reactivitatea diferită a grupelor monoclorotriazinică și cea vinilsulfonică sunt interesant de studiat și structuri heterobifuncționale care în principiu îmbină avantajele furnizate de cele două tipuri de grupe reactive și anume coloranți mai puțin sensibili la temperatură, mai puțin afectați de schimbarea raportului de flotă sau de variația pH-ului.

Obiectivele avute în vedere pe parcursul desfășurării cercetărilor au fost:

- sinteza și caracterizarea unor intermediari cheie (esterul monosulfuric al 2-(4-amino-benzensulfonil) etanolului, sarea trisodică a acidului 4-[4-clor-6-(4-sulfo-fenilamino)-[1,3,5]triazin-2-ilamino]-5-hidroxi-naftalen-2, 7-disulfonic, sarea trisodică a acidului 4-{4-clor-6-[4-(2-sulfoxi-etilsulfonil) - fenilamino] - [1,3,5]triazin-2-ilamino}-5-hidroxi-naftalen-2,7-disulfonic) necesari obținerii coloranților reactivi avuți în vedere pentru studiu;
- sinteza și caracterizarea unor coloranți reactivi monoclorotriazinici derivați ai sării trisodice a acidului 4-[4-clor-6-(4-sulfo-fenilamino) - [1,3,5]triazin - 2 - ilamino] - 5 - hidroxi - naftalen - 2, 7 - disulfonic;
- sinteza și caracterizarea unor coloranți reactivi vinilsulfonici derivați ai esterului monosulfuric al 2-(4-amino-benzensulfonil) etanolului;
- sinteza și caracterizarea unor coloranți reactivi heterofuncționali monoclorotriazino-vinilsulfonici.



Schema 1 *Principalele obiective ale cercetărilor în cadrul tezei de doctorat*

- realizarea unui studiu care să permită corelații între structura, culoarea și proprietățile tinctoriale în cazul compușilor sintetizați;
- punerea în evidență în mod clar a tuturor atribuțiilor structurale prin diferite tehnici și metode de analiză, formulând concluzii pertinente cu privire la modificările structurale care pot produce efecte benefice asupra proprietăților de culoare și tinctoriale în cazul compușilor sintetizați;
- deschiderea posibilității realizării unor studii comparative între proprietățile materialelor colorante sintetizate.
- posibilitatea extinderii în perspectivă a studiilor cu privire la substanțele sintetizate, din punctul de vedere al activității biologice și stabilirea unor corelații între structura chimică, activitatea biologică și proprietățile de aplicare;
- obținerea și caracterizarea precursorilor pentru sinteza și caracterizarea în perspectivă a unor compuși cu cromofor mixt (antrachinon-azometinic, antrachinon-azoic, etc.), precum și deschiderea posibilităților studierii unor potențiale materiale colorante obținute prin complexare cu metale tranziționale (coloranți reactivi metal-complecși).

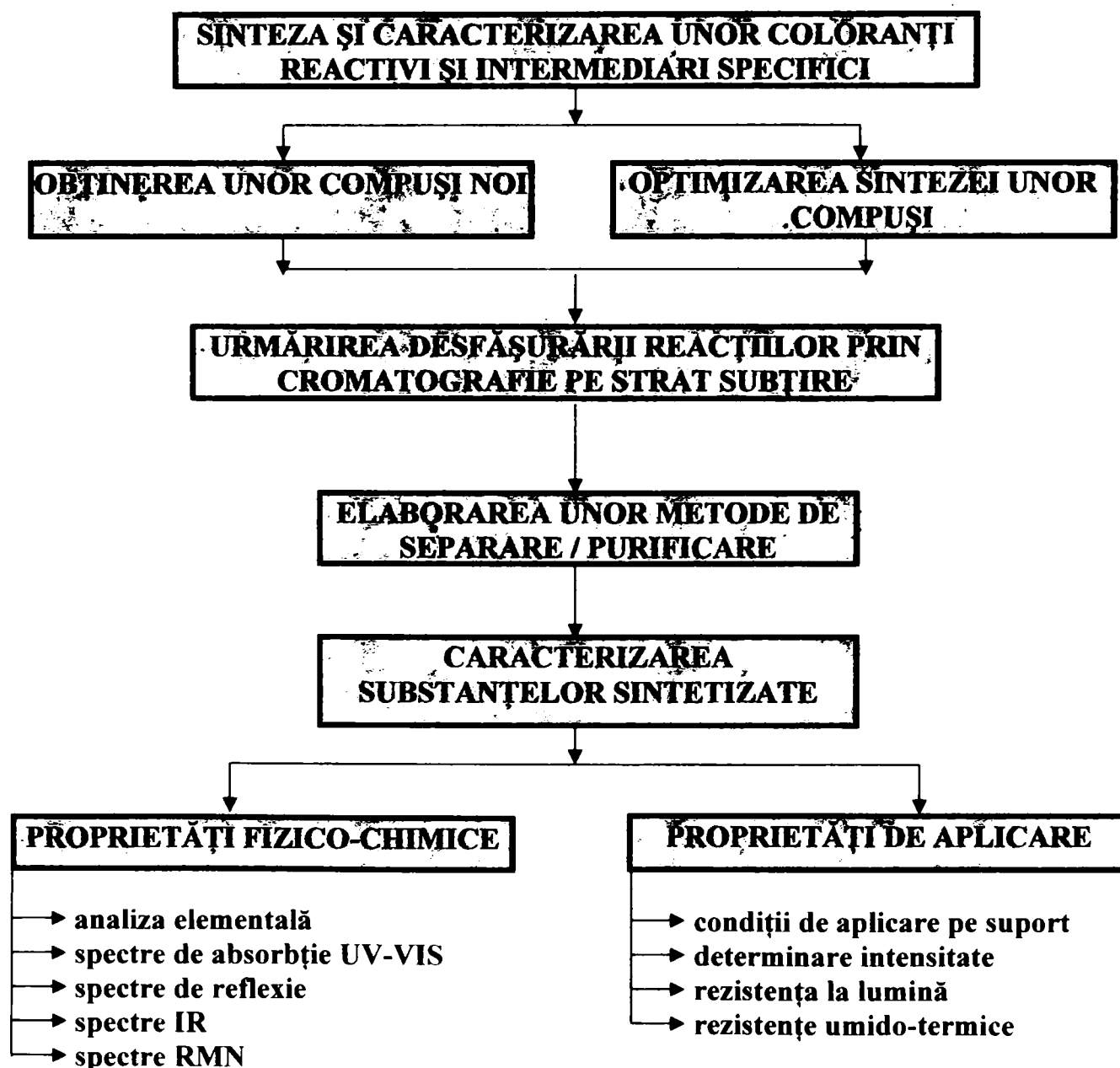
Cercetările întreprinse în cazul tezei de doctorat au avut în vedere parcurgerea următoarelor etape:

- obținerea unor derivați ai esterului monosulfuric al 2-(4-amino-benzensulfonil) etanolului, cu aplicații în domeniul sintezei unor coloranți reactivi vinilsulfonici și heterobifuncționali prin optimizarea unor sinteze sau prin efectuarea unor sinteze noi;
- obținerea unor derivați ai 2,4,6-tricloro-1,3,5-triazinei, cu aplicații în domeniul sintezei unor coloranți reactivi monoclorotriazinici și heterobifuncționali prin optimizarea unor sinteze sau prin efectuarea unor sinteze noi;
- stabilirea metodelor pentru controlul desfășurării reacțiilor chimice și purității produselor obținute;
- stabilirea metodelor de purificare specifice fiecărui produs în parte;
- obținerea unor materiale colorante derivate de la intermediarii sintetizați;

- caracterizarea produselor colorante sintetizate, atât din punct de vedere al proprietăților fizico-
- chimice cât și al proprietăților tinctoriale.

Prin cercetările efectuate, nu s-a dorit nici un moment și nici nu ar fi fost posibilă exploatarea tuturor posibilităților de utilizare a compușilor intermediari sintetizați în domeniul obținerii materialelor colorante, ci din contră, s-a dorit deschiderea unor noi direcții de cercetare, în acest scop făcându-se primii pași.

Pornind de la informațiile existente cu privire la proprietățile speciale manifestate de unii compuși ai 1,3,5-triazinei dar și de unii derivați ai esterului monosulfuric al 2-(4-amino-benzensulfonil)etanolului în legătură cu spectrul larg al acțiunii bactericide precum și în legătură cu utilizarea unora dintre aceștia ca precursori pentru obținerea unor medicamente, se presupune a fi interesant de studiat efectul biologic manifestat de compușii sintetizați, atât ca atare cât și după aplicarea lor pe suporturi prin diferite metode.



Schema 2 *Principalele etape parcurse în timpul cercetărilor*

Studiul realizat prezintă importanță prin extinderea cercetărilor asupra compușilor sintetizați și în legătură cu modificarea acestora prin funcționalizare suplimentară sau combinarea cu grupe reactive care prin tehnici de polimerizare să fixeze comogenul pe diferite substraturi. Se poate preconiza testarea aplicării compușilor studiați și în alte domenii neconvenționale prin derivatizarea unor substraturi biologice, marcarea unor enzime și proteine și studiul comportării acestora în diferite medii.

I. STADIUL ACTUAL ÎN DOMENIUL VOPSIRII FIBRELOR CELULOZICE CU COLORANȚI REACTIVI

I.1. FIBRE CELULOZICE

Din această familie fac parte acele fibre care se compun integral sau în marea lor majoritate din celuloză. Acestea sunt:

- fibre naturale mono și pluricelulare (bumbac, in, cânepă, iută, etc);
- fibre pe bază de celuloză regenerată (hidrați celulozici), obținute prin procedeele „cupro” sau „vâscoză” ca filamente sau fibre scurte;
- fibre pe bază de celuloză esterificată (acetați de celuloză) în marea lor majoritate filamentare.

În timp ce fibrele artificiale sunt constituite aproape numai din celuloză, fibrele naturale în special cele liberiene (in, cânepă, iută) conțin mai mult sau mai puțin substanțe însoțitoare cum sunt: lignină, pectine, hemiceluloze[1].

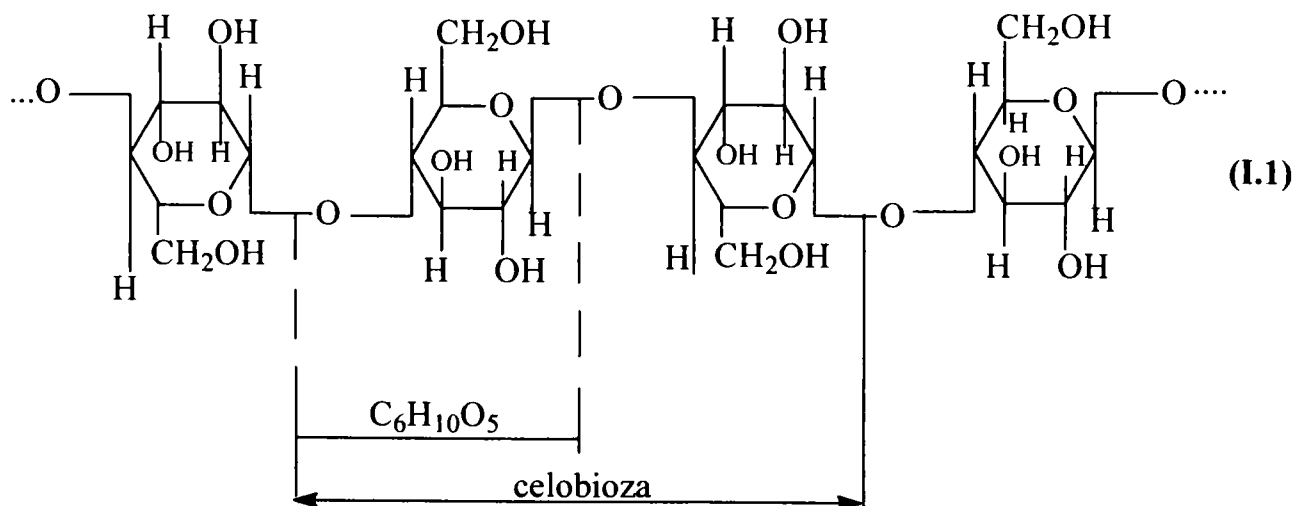
Substratul macromolecular comun, celulozic al fibrelor naturale și artificiale determină numeroase analogii în procesele lor de finisare, cu excepția filamentelor de vâscoză și din acetați de celuloză care se vor prelucra după modelul firelor tip mătase.

Aceasta impune ca în toate fazele tehnologice de realizare a acestor materiale textile să fie bine cunoscute proprietățile fizice și chimice ale celulozei.

I.1.1. NOȚIUNI DESPRE FIZICA ȘI CHIMIA CELULOZEI

Celuloza fiind una din cele mai răspândite substanțe naturale, a fost cercetată în detaliu prin cele mai diverse metode de investigare. Cu toate acestea, au rămas o serie de detalii ce nu au fost clarificate. Dintre acestea amintim natura forțelor care determină legătura dintre macromoleculele de celuloză din componența fibrei[2].

Structura chimică a celulozei, determinată prin cele mai diverse metode, este următoarea:



Molecula celulozei are structura corespunzătoare formulei $C_6H_{10}O_5$. Cercetători ca Meyer, Mark, Mish au dovedit pe cale röntgenografică dispunerea spațială a unităților de celobioză în macromoleculele celulozice[3-4]. Distanța dintre 2 grupe identice este aceeași de-a lungul axei longitudinale, având valoarea de 10,3Å și constituie un factor important in structura coloranților potriviți pentru vopsirea celulozei[5].

In urma acestui aranjament rezultă zone cu caracter pseudocristalin și compact alături de regiuni mai puțin ordonate sau amorfe, colorantul putând să pătrundă in timpul procesului de vopsire numai intr-o fracțiune din volumul fibrei[6].

Regiunile caracterizate printr-o ordine laterală mai avansată sunt mai stabile la acțiunile termice și mecanice. Rezistența mecanică a fibrei este mărită și datorită faptului că macromoleculele având lungimi diferite nu se termină in același loc[7-9].

Orientarea zonelor de mică și mare cristalinitate poate fi investigată, iar distribuția acestei zone poate fi determinată prin diferite tehnici de lucru[10-11].

Cercetători ca Neale și Stringfellow au estimat experimental suprafața internă a fibrei celulozice efectuând o serie de vopsiri[12]. Harris și Purves, la rândul lor, au calculat această suprafață prin metode analitice, tratând fibrele celulozice cu etoxid de taliiu[13]. S-a calculat o suprafață internă de $4 \times 10 \text{ cm}^2/\text{g}$. La aceeași valoare au ajuns Gilles și Hassan [14] pentru substraturi de celuloză și chitină in ipoteza unei adsorbții in strat molecular[15].

Estimarea suprafeței interne a celulozei s-a mai facut cu ajutorul izotermelor de adsorbție a apei de către celuloză, respectiv prin măsurători calorimetrice ale diferitelor călduri de adsorbție a apei pe fibra celulozică[16-18]. S-au obținut pentru suprafața internă a fibrelor celulozice valori cuprinse între $110-226 \text{ cm}^2/\text{g}$ [19-22].

Agenții oxidanți puternici transformă grupele CH_2OH in grupe COOH modificând astfel capacitatea de interacție a fibrelor celulozice cu coloranții și micșorându-le mult rezistența mecanică[23].

Pentru stabilirea gradului mediu de polimerizare a celulozei există diverse tehnici de lucru: osmometrie, ultracentrifugare, crioscopie, difuziunea luminii, vâscozimetrie etc., ultima fiind cea mai răspândită. Pentru aplicarea acestei metode, cel mai folosit solvent este cuproetilendiamina (cucu) care conferă soluției de celuloză stabilitate față de oxigenul din atmosferă. Gradul mediu de polimerizare a fibrelor naturale și regenerate este prezentat în tabelul I.1.[24]:

Tabelul I.1. Grad mediu de polimerizare a fibrelor celulozice

Denumirea fibrei	GMP
bumbac	3000 - 6500
ramie	2700 (și mai mare)
în	2500 - 9200
celofibră și vâscoză	200 - 600

I.1.2. PROPRIETĂȚI ȘI REACȚII ALE CELULOZEI

Comportarea față de apă

În contact cu apa are loc o reacție intramicelară care determină o „umflare” datorită interacțiunilor între dipolii apei și grupele hidroxilice [25]. Urmare a structurii cristaline, umflarea are loc anizotrop, așa cum rezultă din tabelul I.2.

Tabelul I.2. „Umflarea” fibrelor celulozice în apă

Fibre celulozice	creșterea în %	creșterea în lungime %
bumbac	28	sub 1
In,câneapă	—	0,05 + 0,1
vâscoză	39-52-66-95	4,8-5,4
acetat	9-11-14	0,14

Relatia dintre „umflare” și rezistență

Prin umflarea în apă, proprietățile fibrei sunt sensibil influențate. Această diferențiere este evidentă în cazul rezistenței la rupere a fibrelor celulozice regenerate.

Tabelul I.3. Rezistența la rupere în stare udă a fibrelor celulozice

Fibre celulozice	Rezistența la rupere în stare udă *
Bumbac	99,5 - 113,2
In	105,5
Ramie	116 - 118,5
Vâscoză	50,0 - 65,1 - 75,0
Acetat	58,0 - 70,0

* exprimată în % din rezistența la rupere în stare uscată

Comportarea higroscopică a fibrelor celulozice

Fibrele celulozice sunt higroscopice, motiv pentru care și în stare uscată conțin o anumită cantitate de apă, deci prezintă o oarecare stare de gonflare ce influențează rezistența la rupere, moliciunea, unghiurile de revenire. Conținutul de umiditate al fibrelor variază în funcție de umiditatea atmosferică. Astfel la o umiditate a aerului de 65 % la 20°C, umiditatea de echilibru a fibrelor este prezentată în tabelul I.4.

Tabelul I.4. Conținutul de apă al fibrelor

Fibre celulozice	Umiditate %
Bumbac	7,3
Celuloză, vâscoză	13,0
Acetat	6,0
Lână	15,0
Mătase naturală	10,5

Comportarea celulozei față de alcalii

Comparativ cu apa, alcaliile determină o umflare mai puternică a fibrelor celulozice. Tratarea bumbacului cu soluții concentrate de sodă caustică este foarte importantă deoarece pe acest tratament se bazează procesul de mercerizare. În acest tratament celuloza nativă trece în fază de hidrat - celuloză a cărei rețea cristalină prezintă dimensiuni diferite de cele din celuloza inițială. Această modificare este ireversibilă.

Solubilitatea celulozei în soluția de sodă caustică este în funcție de concentrația acesteia. Celuloza regenerată este, în toate cazurile, mai solubilă în alcalii decât celuloza nativă.

În figura I.1 sunt prezentate solubilitățile bumbacului și ale celulozei regenerată în funcție de concentrația soluției de hidroxid de sodiu la temperatura de 19°C.

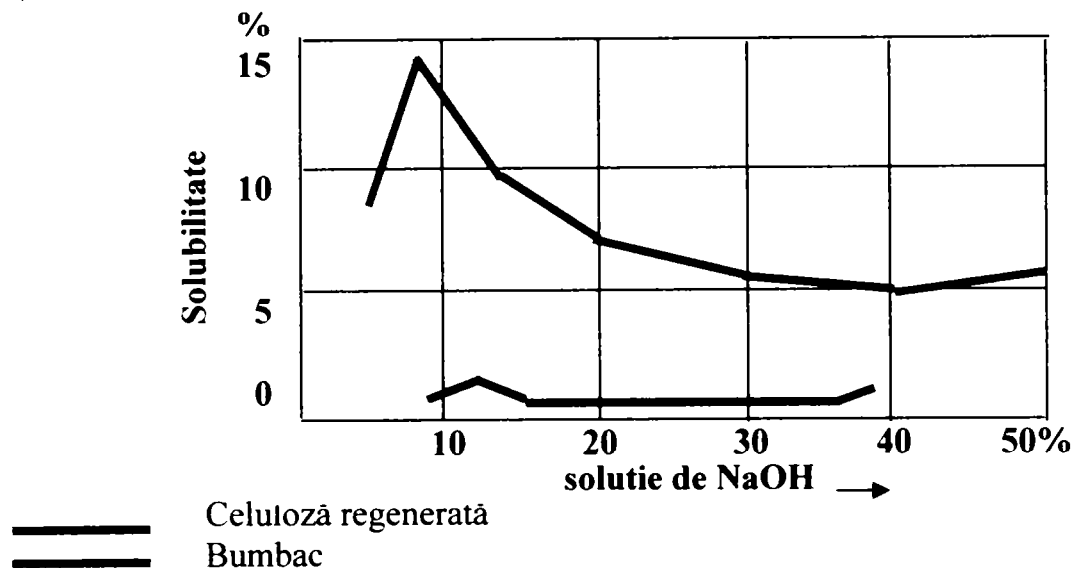


Fig.I.1. Variația solubilității bumbacului și a celulozei regenerată în funcție de concentrația soluției de NaOH la temperatura de 19°C

În figura I.2. se prezintă solubilitatea celulozei regenerată în funcție de concentrația soluției de hidroxid de sodiu la diferite temperaturi. Ceea ce se remarcă este faptul că celuloza regenerată prezintă maximum de solubilitate în soluția de hidroxid de sodiu de 10 % și crește așa cum se poate observa din figura I.2. cu scăderea temperaturii. În mod practic, la temperatura de 5°C celofibra regenerată este solubilă în soluția de hidroxid de sodiu 10 %.

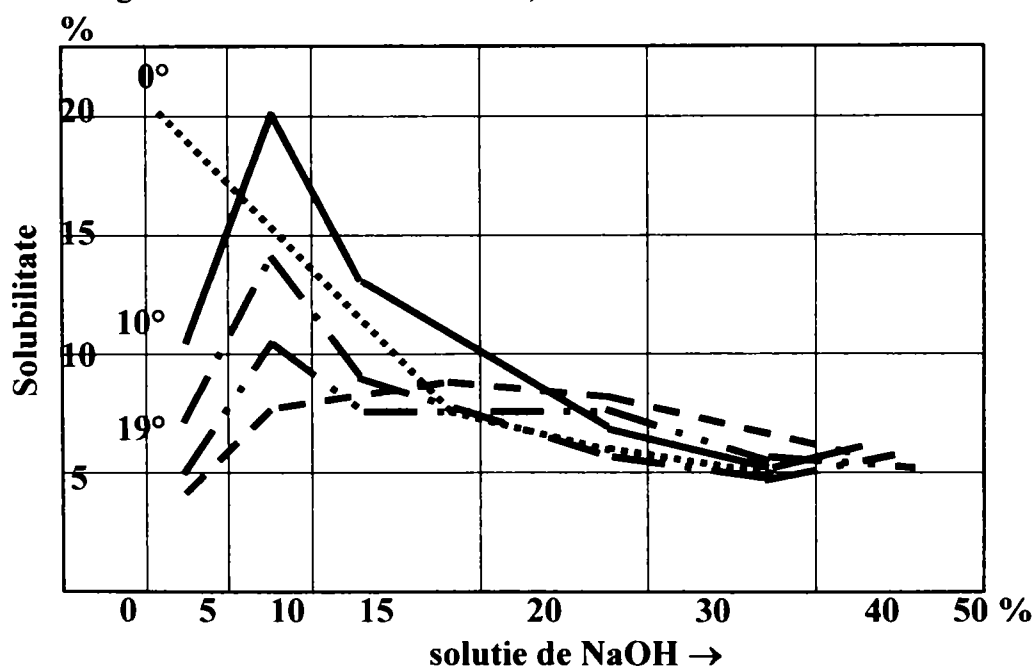


Fig.I.2. Variația solubilității celulozei regenerată în funcție de concentrația de NaOH la diferite temperaturi

Bumbacul, la toate concentrațiile și temperaturile prezintă o solubilitate foarte mică. Acest aspect este însă valabil numai pentru bumbacul care nu a fost degradat chimic. În cazul unei degradări chimice, odată cu creșterea gradului de degradare (scăderea gradului de polimerizare) crește solubilitatea celulozei în soluții alcaline.

Cunoașterea comportării fibrelor din celuloză regenerată în soluții alcaline prezintă o importanță practică deosebită, întrucât astfel de tratamente sunt foarte frecvente, ca de exemplu:

- mercerizarea țesăturilor din amestec de bumbac și celofibră
- leșierea țesăturilor din celofibră sau vâscoză pentru creșterea intensității vopsirilor

- creponarea țesăturilor din vâscoză
- vopsirea cu coloranți naftoli și de cadă.

Comportarea celulozei față de acizi

Sub influența acizilor minerali, legăturile glucozidice pot fi rupte, ceea ce determină o mișcare a macromoleculor, respectiv o scădere a gradului mediu de polimerizare (GMP) cu formarea de hidroceluloză[24].

Acizii organici în funcție de aciditatea lor au o influență relativ mai mică, ordinea lor descrescătoare de agresivitate fiind: oxalic, tartric, citric, lactic.

În condiții bine determinate, anumiți acizi pot esterifica fibrele celulozice. Astfel se pot obține nitrați de celuloză care stau la baza producerii *mătăsii nitrată*, a *colodiului* precum și a unor *explozivi*, iar *acetații de celuloză* se folosesc ca fibre.

În condiții deosebite, acizii minerali pot determina o modificare a structurii cristaline a bumbacului. Astfel, acidul sulfuric soluție de concentrație 48-50%, acționând în timp scurt și la o temperatură scăzută, determină o pergamentizare a bumbacului.

Acidul azotic concentrat, acționând un timp scurt asupra bumbacului conferă acestuia aspect de lână.

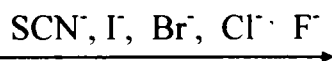
Influența unor săruri asupra celulozei

Sărurile unor metale alcaline și alcalino-pământoase umflă sau parțial solubilizează fibrele celulozice.

Posibilitatea de solubilizare a celulozei, în prezența sărurilor scade odată cu creșterea volumului ionilor metalici:



Cu privire la natura anionului, literatura arată că puterea de solubilizare scade odată cu scăderea volumului ionic.



Deci sărurile care au un cation mic și un anion mare au putere de solubilizare mare, ca de exemplu sulfocianura de calciu. Cu ajutorul acestui compus se pot separa cantitativ fibrele de bumbac de fibrele de celofibră. Trebuie menționat însă că bumbacul trebuie să fie nedegradat chimic, deoarece odată cu creșterea gradului de degradare crește și solubilitatea acestuia.

Influența substanțelor oxidante asupra celulozei

În urma proceselor de oxidare, în funcție de modificările apărute, celuloza oxidată prezintă diverse proprietăți. Astfel dacă conține mai multe grupe carboxilice poate fi vopsită cu coloranți cationici, dacă prezintă multe grupe aldehidice, celuloza oxidată prezintă proprietăți reducătoare (indice de cupru)[25].

Însotitori naturali ai celulozei

Fibrele celulozice naturale cum sunt bumbacul, inul, cânepa, pe lângă componenta principală celuloza, conțin hemiceluloză, pectine și lignine, substanțe extractibile, proteine, substanțe minerale, pigmenți.

I.2. STRUCTURA ȘI PROPRIETĂȚILE COLORANȚILOR REACTIVI

Deși sunt cunoscuți de peste 40 de ani, coloranții reactivi continuă să fie obiectul cercetării în domeniul coloranților pentru textile. Succesul de care se bucură aceștia poate fi atribuit proprietăților de culoare și tinctoriale, fiind foarte apreciați în special datorită strălucirii, varietății nuanțelor obținute, ușurinței în aplicare și rezistențelor umede ridicate ale vopsirilor obținute atât pe fibre celulozice, cât și pe nylon, lână și mătase [26-30].

Un grad de fixare neadecvat al coloranților reactivi a fost observat ca o problemă a vopsirii și pentru a o elimina, ideea a fost de a introduce două sau mai multe sisteme reactive în molecula de colorant. Există două tipuri de coloranți reactivi bifuncționali, una având două sau mai multe sisteme reactive de același fel și altul având două sau mai multe sisteme reactive de tipuri diferite. Coloranții reactivi, conținând gruparea diclortriazinică sau difluoraminochlorpirimidinică, pot fi numiți bifuncționali, având doi sau mai mulți atomi de halogen marginali la fiecare sistem reactiv. În acest context, termenul de colorant bifuncțional este definit ca o moleculă de colorant, având două sau mai multe sisteme reactive independente.

Din peste 200 grupe reactive menționate în literatură, numai circa 40 au fost utilizate în structura coloranților comercializați. În ultimul timp cercetarea în domeniul găsirii unor noi grupe reactive practic a încetat, din punct de vedere comercial impunându-se coloranții monoclortriazinici (Procion – I.C.I.), vinilsulfonici (Remazol – Hoechst) și cei heterobifuncționali monoclortriazino-vinilsulfonici (Sumifix – Sumitomo) [31-32].

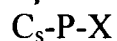
Coloranții reactivi vinilsulfonici se comercializează ca derivați sulfoxietilsulfonici, prima etapă în aplicarea acestor coloranți pe bumbac fiind formarea speciei vinilsulfonice în prezența agenților alcalini. Așa cum a fost demonstrat acești coloranți reacționează cu fibrele celulozice printr-un mecanism de adiție nucleofilă [33-34].

Vopsirea cu coloranți reactivi vinilsulfonici se poate realiza prin procedee de epuizare, impregnare-depozitare la rece sau impregnare-aburire, rezistențele umido-termice ale vopsirilor obținute fiind în general foarte bune, singurele probleme în cazul acestor coloranți fiind găsirea unor structuri care să confere vopsirilor o rezistență la lumină cât mai ridicată și posibilitatea îndepărtării ușoare prin spălare a colorantului nefixat reactiv pe fibră [35]. Alegerea alternativei de vopsire are la bază atât reactivitatea grupei vinilsulfonice, cât și substantivitatea colorantului [36-37]. Coloranții cu afinitate mare pentru fibră se aplică prin procedee de epuizare, iar cei mai puțin substantivi prin metode continue și prin imprimare [38].

Pentru introducerea sistemului reactiv triazinic (rest triazinil) în molecula colorantului, drept intermediar se folosește clorura de cianuril. În funcție de numărul atomilor de clor rămași după stabilirea legăturii cu colorantul și care pot să reacționeze cu fibra, se deosebesc:

- coloranți cu doi atomi de clor deplasabili - diclortriazinici ($X=Y=Cl$) în care unul din atomii de clor reacționează cu fibra și la temperatura normală;
- coloranți cu un atom de clor deplasabil - monoclortriazinici ($X=Cl$, $Y=NH_2$, $NHAr$) care reacționează cu fibra la temperaturi mai ridicate.

Coloranții diclortriazinici (diclor - S-triazinil - aminici) cunoscuți sub denumirea comercială de coloranți Procion (ICI) iar în sortimentul românesc sub numele de coloranți reactivi B, rezultă în urma reacției unui colorant azoic ce posedă o grupă amino primară sau secundară cu clorură de cianuril și corespunde formulei generale:



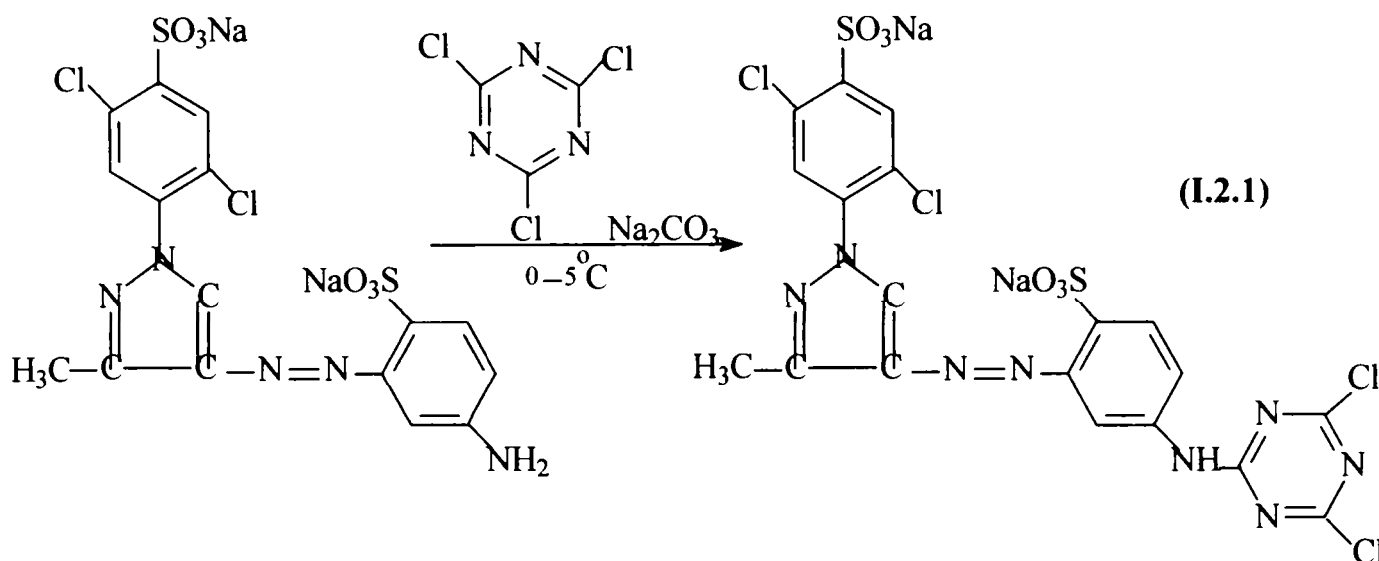
în care:

C_s =colorant solubil obișnuit

P =grupă purtătoare de atomi reactivi

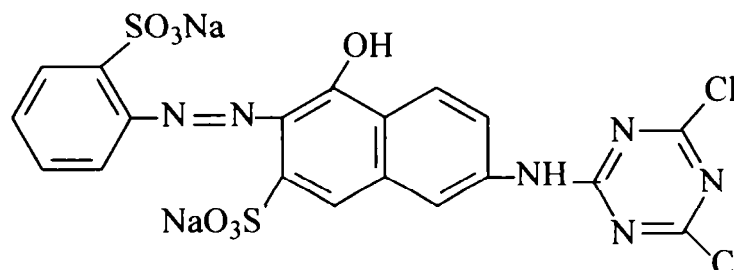
X=atomul sau grupa de atomi care reacționează cu grupele funcționale caracteristice fibrelor textile

Metoda generală de obținere este următoarea: soluția apoasă de colorant se introduce într-o suspensie apoasă (sau acetonică-apoasă) fin dispersată de clorura de cianuril (raport molar colorant - clorură de cianuril 1/1), la temperatura de 0-5°C. Pentru corectarea pH-ului se adaugă concomitent o soluție de Na₂CO₃ astfel încât valoarea acestuia să se mențină la 6-7. Pe această cale se obține, de exemplu, colorantul Galben strălucitor Procion M-6G și Galben reactiv 1.



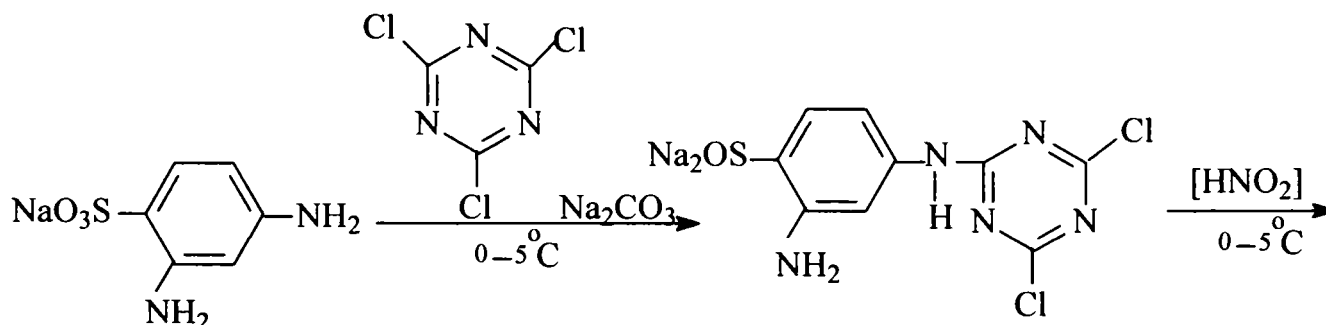
Galben reactiv 1 (C.I. 18.971)

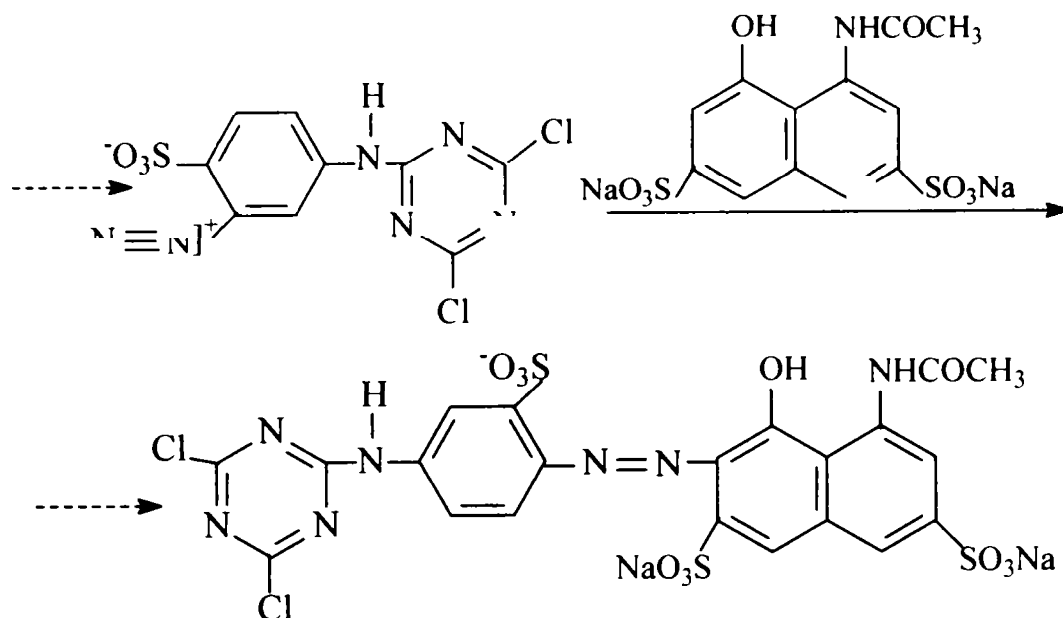
O altă metodă de obținere a coloranților de acest tip constă în legarea la clorura de cianuril a unui aminoderivat aromatic, produsul rezultat având capacitatea de a cupla cu o diazocomponentă în condiții care să evite posibilitatea de hidroliză a atomilor de clor rămași în nucleul triazinic, exemplul colorantului Portocaliu strălucitor Procion MGS (C.I. 17907 Oranj reactiv 1).



Acest colorant s-a obținut prin condensarea acidului I cu clorura de cianuril, diazotarea acidului ortanilic și cuplarea cu acidul I acilat.

A treia cale de obținere a acestor coloranți constă în legarea clorurii de cianuril la o diamină aromatică, la o singură grupă amino; produsul rezultat se diazotează și se cuplează cu o componentă de cuplare în condiții care să nu permită hidroliza atomilor de clor din nucleul triazinic.



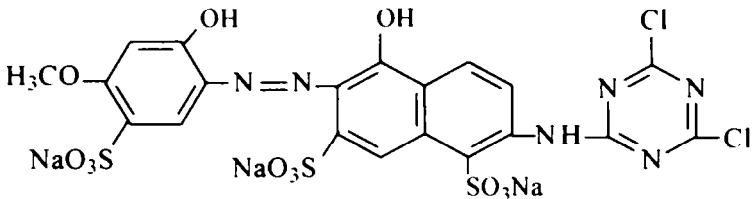
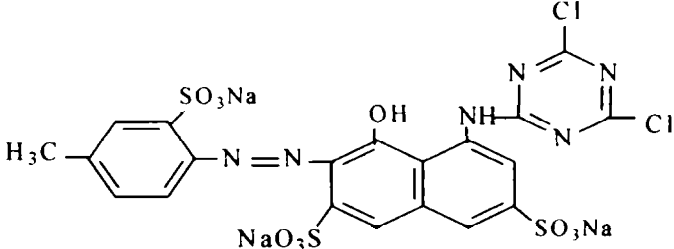
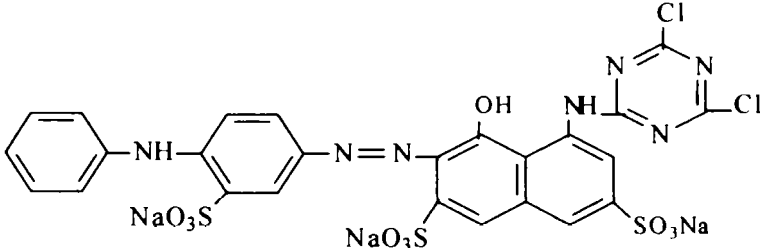
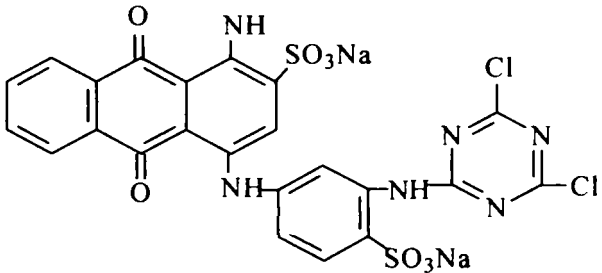
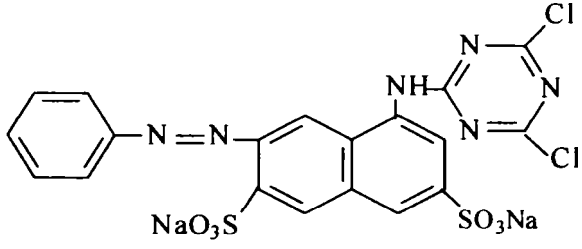
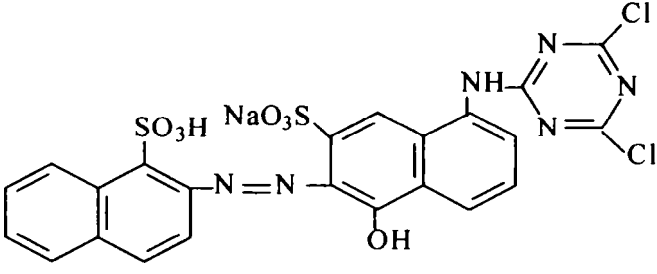


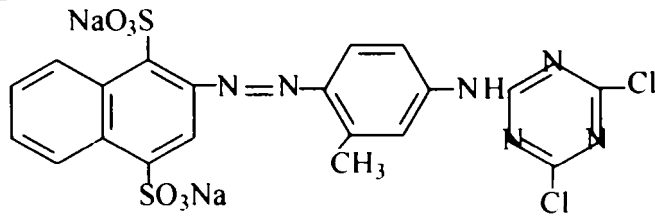
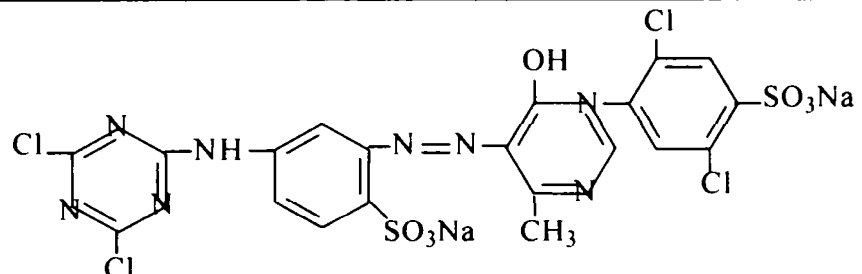
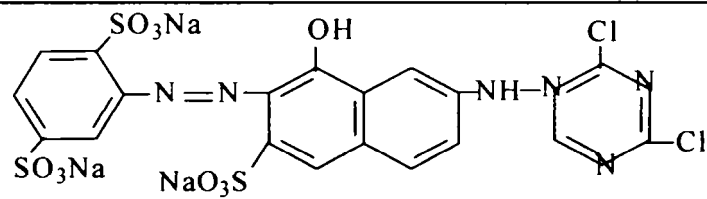
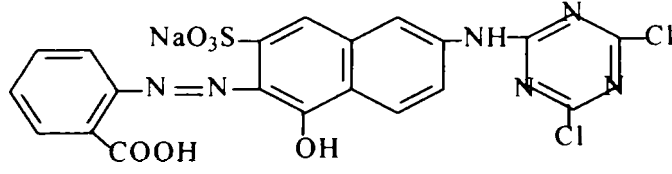
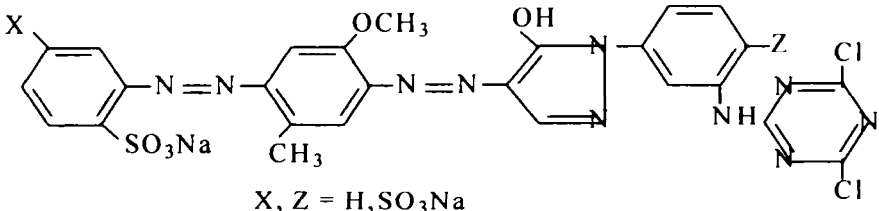
Indiferent pe care din cele trei căi rezultă, colorantul se izolează prin salefieri și filtrare. Deoarece coloranții diclorotriazinici hidrolizează ușor în prezența apei, urmele de acid clorhidric format favorizând în continuare hidroliza, pastele de colorant se amestecă cu substanțe care servesc drept tampon și neutralizanți a urmelor de acid clorhidric, menținând un pH de cca. 6-7. În mod obișnuit drept substanță tampon se folosește un amestec de fosfatdisodic și fosfat monopotasnic [39], mai rar utilizându-se acizi dialchilaminoarilsulfonici, ca de exemplu acidul dietilmetanilic [40].

Împreună cu substanța tampon, pasta de colorant se poate usca la temperaturi de 80°-100°C, într-un interval de timp scurt, ceea ce se poate realiza convenabil în uscătoare în strat fluidizat sau se poate efectua o uscare în vid la temperaturi mai coborâte. Este de preferat ca umiditatea rămasă în colorant să fie cât mai scăzută, pentru a împiedica hidroliza în timpul depozitării. Reprezentanții din sortimentul de bază al coloranților dihalotriazinici sunt prezentați în Tabelul I.5.

Tabelul I.5. Structuri de coloranți dihalotriazinici

Nr crt	STRUCTURA	CULO ARE	Suportul textil	Biblio grafie
1	<p>Reactiv oranj C.I. 17907</p>	Oranj	V: C, N, M, L I: C, N, M, L	(41)
2	<p>Reactiv Red 8 C.I. 17905</p>	Roșu gălbui	V: C, L I: C, N, L	(42)

Nr crt	STRUCTURA	CULOARE	Suportul textil	Bibliografie
3	 <p>Reactiv Red 6 C.I.17965</p>	Roșie albăstruie	V: C, M, N I: C, M	(44) (43)
4	 <p>Reactiv Red 88 C.I. 18205</p>	Roșie albăstruie	V: C I: C	(45)
5	 <p>Reactiv blue 81 C.I. 18245</p>	Albastru roșcată	V: C, N, L	(45)
6	 <p>Reactiv blue 4 C.I. 61205</p>	Albastru	V: C, L, M, N I: C, L, M, N	(46)
7	 <p>Procion brilliant Red M-5BS</p>	Roșu albăstrui	V: C, L, M, N I: C, L, M, N	(47)
8	 <p>Portocaliu bireactiv</p>	Portocalie	V: C	(47)

Nr crt	STRUCTURA	CULOARE	Suportul textil	Bibliografie
9	 <p>Reactiv yellow 4 C.I. 13190</p>	Galben verzui	V: C, L, M, N I	(48)
10	 <p>Galben Procion strălucitor M-6G</p>	Galbenă	V: C	(48)
11	 <p>Ecarlat reactiv strălucitor</p>	Ecarlat	V: C	(48)
12	 <p>Complex de crom 2:1</p>	Brună	V: C	(48)
13	 <p>X, Z = H, SO₃Na</p> <p>Rosu reactiv</p>	Roșie	V: C	(49)

V = vopsire ; I = imprimare ;

C = celuloză ; N = nylon ; M = mătase ; L = lână ; P = poliester

Combinând într-un colorant două sisteme reactive diferite este de așteptat ca acest colorant să aibă avantajele separate ale celor două grupări.

Avantajele grupării vinilsulfonice sunt:

- legătura chimică între grupa vinilsulfonică și fibra celulozică este foarte stabilă, deci acești coloranți au o excelentă stabilitate;
- substantivitatea hidrolizatului în procesul de vopsire este foarte mic, deci colorantul nefixat poate fi ușor spălat.

Avantajele grupării monoclorotriazinice sunt:

- proprietatea electrofilă a grupării triazinice determină o gamă largă de cromofori, având o rezistență bună la lumină
- scăderea substantivității rezultate prin introducerea grupării triazinice în molecula de colorant determină gradul de fixare a colorantului

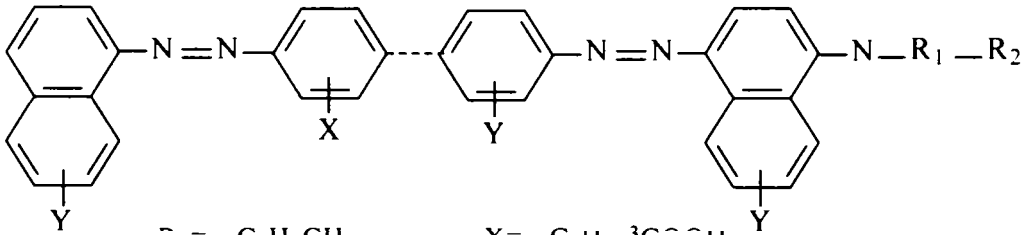
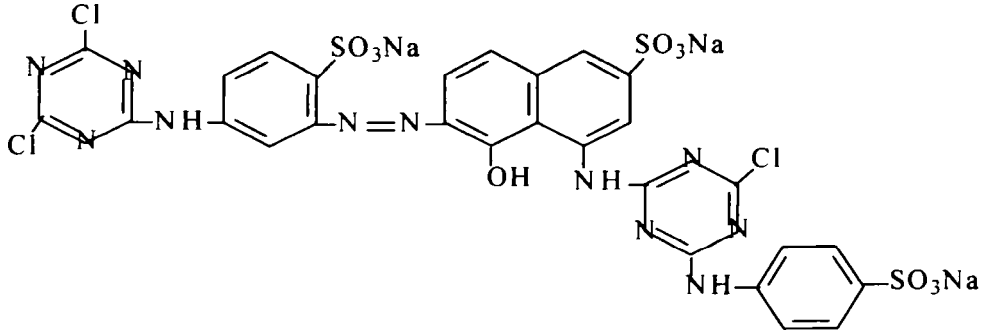
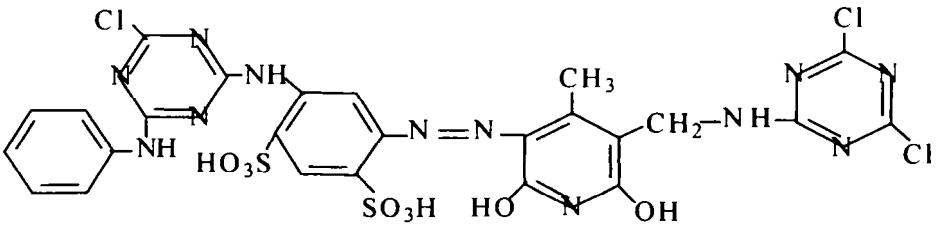
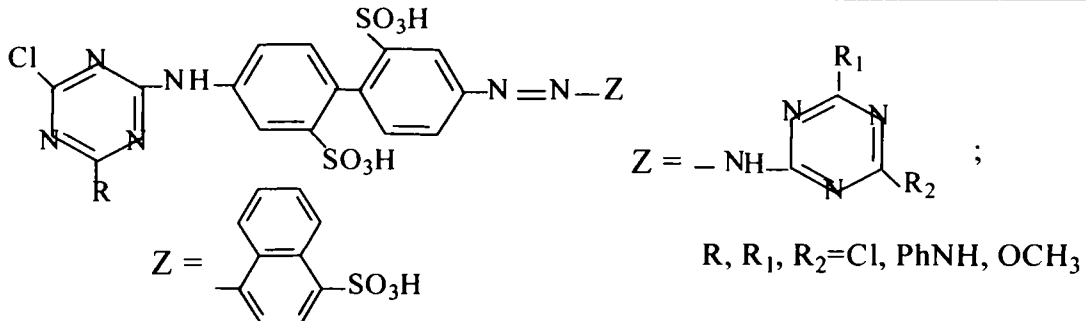
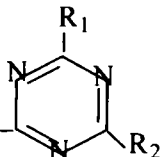
În adiție, prezența celor două grupări se așteaptă să producă avantaje combinate între cele două sisteme reactive, având reactivități diferite, deci o gamă largă de temperaturi de vopsire, o reproductibilitate a nuanțelor, prin introducerea alcaliilor, mărindu-se stabilitatea flotelor de vopsire în procesele continue și la vopsirile la rece.

Randamentele mari de fixare și rezistențele mari la spălare a coloranților cu mai multe grupe reactive au făcut ca aceștia să fie studiați sistematic și să primească importanța tehnică majoră. Un dezavantaj al acestor coloranți îl constituie coeficientul molar de extincție mai redus datorită cromoforului.

Numai în domeniul sistemelor reactive bifuncționale au fost desfășurate în ultimii 15 ani ample activități de cercetare care au condus la peste de 300 de brevete, scopul urmărit fiind mărirea randamentului de fixare.

Structuri și sinteze schematice de coloranți cu mai multe grupe reactive sunt prezentate în tabelul I.6.

Tabelul I.6. Structuri și sinteze de coloranți cu mai multe grupe reactive

Nr crt	STRUCTURA	CULOARE	Suport textil	Bibliografie
1	 <p> $R_1 = -C_6H_5CH_2$ $X = -C_6H_5, ^3C-H$ $R_2 = H, PhCH_2, C_2H_5$ $Y = 5, 6, 7-SO_3H$ </p>	Oranj brună	V:C	(50)
2		Roșu albastrui	V:C	(51)
3		Galben verzui	V:C	(52)
4	 <p> $Z = -NH-$  </p> <p>$R, R_1, R_2 = Cl, PhNH, OCH_3$</p>	Oranj - roșu albastrui	V:C	(53)

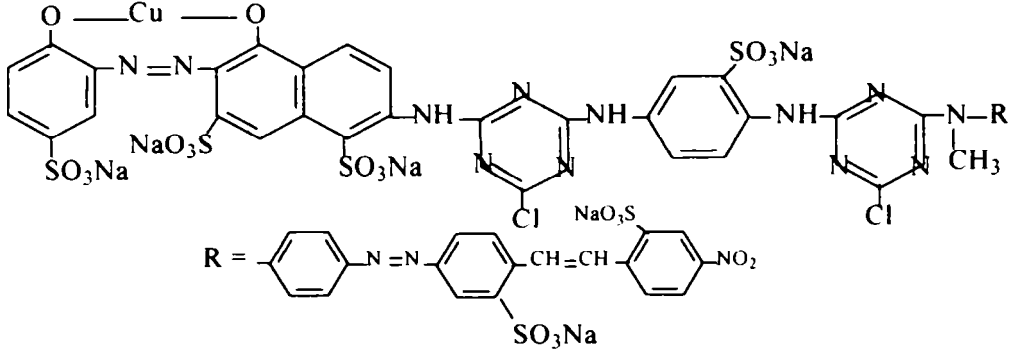
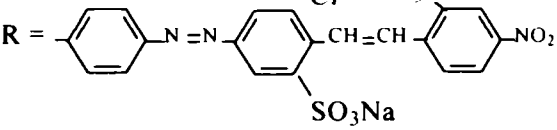
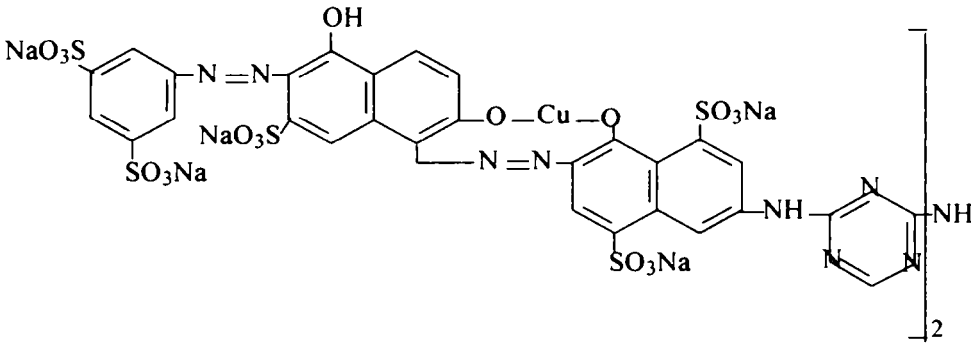
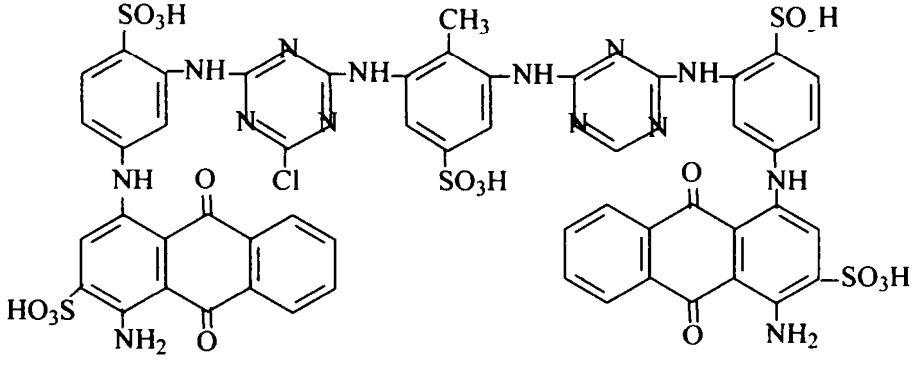
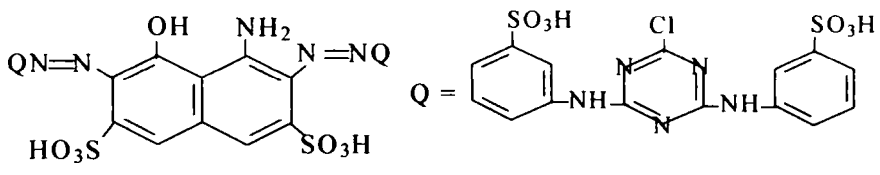
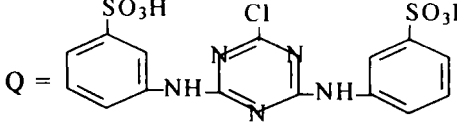
644.698


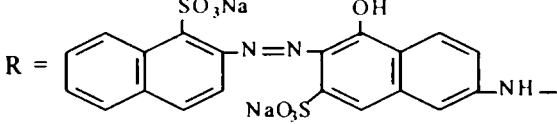
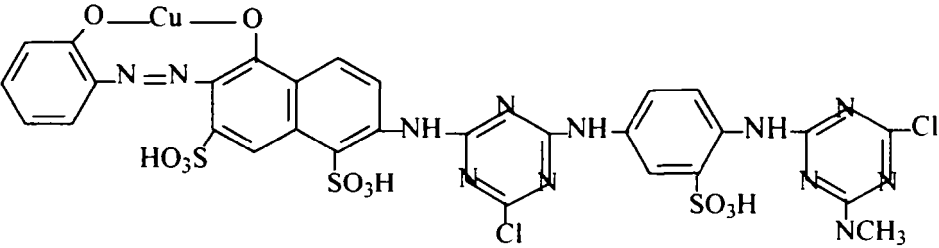
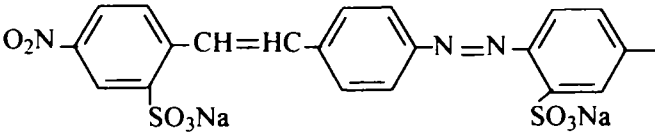
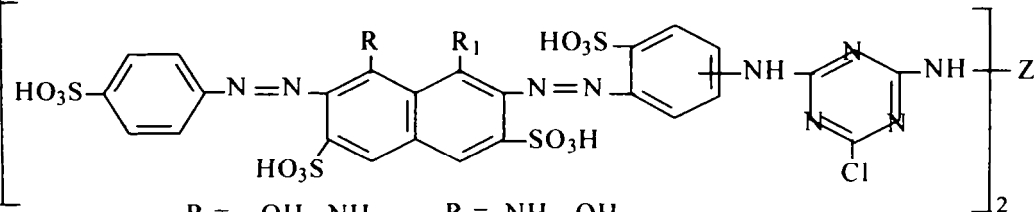
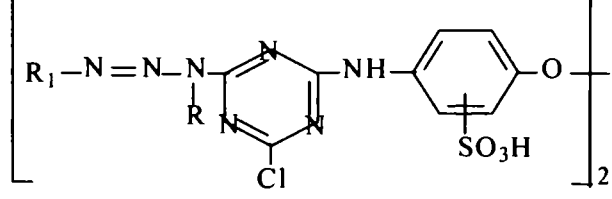
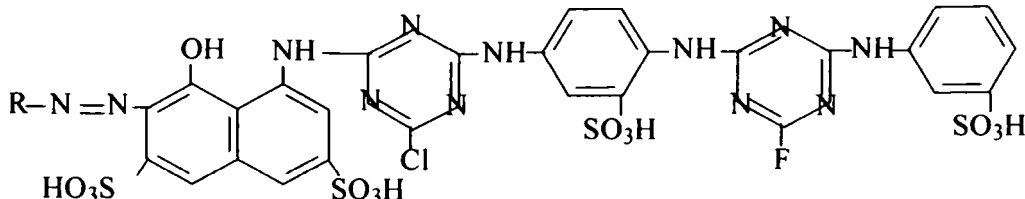
368-E

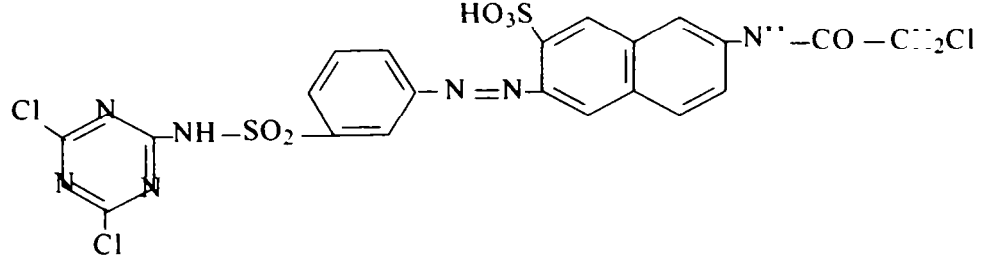
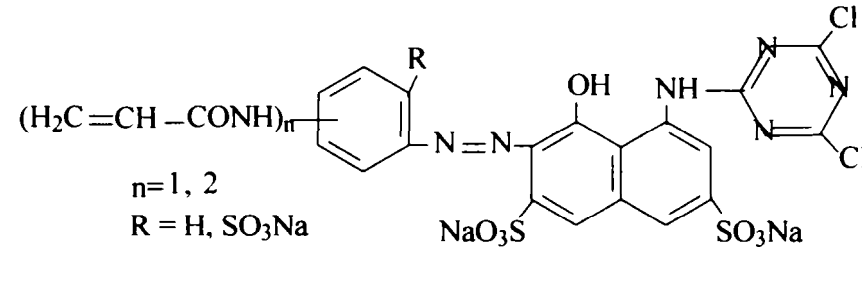
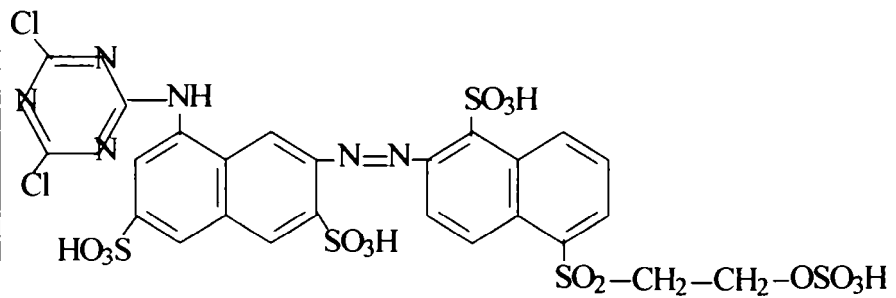
Nr crt	STRUCTURA	CULOARE	Suport textil	Bibliografie
5	<p> $R_1 = -HC_{10}H_7-1, NHPh$ $R = -NH-C_6H_4-NH_2$ </p>	Roșu albastruie	V:C	(51)
6	<p> $R_1, R_2 = H, SO_3Na$ $R = -C_6H_5, -C_{10}H_7$ </p>	Albastru roșiatică-albastră	V:C	(54)
7	<p> $R = -NaO_3S-C_6H_4-NH-$ </p>	Albastru roșiatică	V:C	(55)
8	<p> $R = -SO_3Na-C_6H_4-NH-$ </p>	Albastru roșiatică	V:C	(56)
9	<p> $R = -SO_3Na-C_6H_4-NH-$ </p>	Galben roșiatică	V:C	(56)

Nr crt	STRUCTURA	CULOARE	Suport textil	Bibliografie
10	<p>R = -H, -SO₃H</p> <p>Q = </p>	Albastru verzui	V:C	(57)
11	<p>R=rest colorant vinilsulfonic</p>			
12		Galbenă	V:C	(58)
13		Roșie	V:C	(59)
14	<p>X = -NH₂, -NHPh, NHC₆H₄SO₃H-P</p> <p>R = , </p>	Albastră	V:C	(60)

Nr crt	STRUCTURA	CULOARE	Suport textil	Bibliografie
15		Galben roșiatică	V:C	(61)
16		Roșie	V:C, M,A	(62)
17		Verde	V:C	(63)
18	<p> $n = 1-3$ $R = -COOH, SO_3H$ $R_1 = NCH_3Ph, NHC_6H_4SO_3H - m$ $m = -NHC_6H_4NH$ </p>	Roșie	V:C	(64)
19	<p> $Q = -NH-C_6H_3(SO_3H)-CH=CH-C_6H_3(SO_3H)-NO_2$ </p>	Brună	V:C	(65)

Nr crt	STRUCTURA	CULOARE	Suport textil	Bibliografie
20	 <p>R = </p>	Brun portocalie	V:C	(66)
21		Albastră	V:C	(67)
22		Albastru	V:C	(68)
23	 <p>Q = </p>	Verde	V:C	(69)

Nr crt	STRUCTURA	CULOARE	Suport textil	Bibliografie
24	 <p>R = col. azoic Z = $-\text{CH}_2-\text{CH}_2-$, $-\text{O}-$, $-\text{SO}_2-$</p> <p>R = </p>	Portocalie	V:C	(70)
25	 	Oranj - brună	V:C	(71)
26	 <p>R = $-\text{OH}$, NH_2 R = $-\text{NH}_2$, OH Z = $-m-\text{C}_6\text{H}_4-$, $p-\text{C}_6\text{H}_4-$</p>	Albastru verzui	V:C	(72)
27	 <p>R, R₁ = radicali ai coloranților azoici</p>		V:C	(73)
28	 <p>R = azocromofor cu grupă $-\text{SO}_3\text{H}$</p>	Roșie	V:C	(74)

Nr crt	STRUCTURA	CULOARE	Suport textil	Bibliografie
29		Portocalie	V:C	(75) (76)
30	 <p>n=1, 2 R = H, SO₃Na</p>	Roșu albastruie	V:C	(75)
31		Roșu albastruie	V:C	(76)

V = vopsire ; I = imprimare ;

C = celuloză ; N = nylon ; M= mătase ; L = lână ; P= poliester

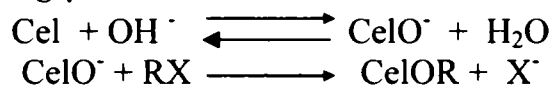
I.3. APLICAREA COLORANȚILOR REACTIVI

I.3.1. FORMAREA LEGĂTURII COLORANT-FIBRĂ

Cele trei grupe hidroxil per rest de glucoză din fibra celulozică corespund la o capacitate de substituție teoretică de 18.5 moli/ Kg de fibră însă în multe cazuri capacitatea reală este mai scăzută. Doar spațiile de fibră amorfă sunt accesibile pentru majoritatea moleculelor de coloranți. Deci numărul grupelor OH ale celulozei care sunt efectiv accesibile coloranților reactivi ca parteneri de reacție este mai mic decât valoarea teoretică. Hunt[11] și colaboratorii au găsit că suprafața totală accesibilă în regiunea amorfă a fost de 71 m²/g în cazul scamelor de bumbac.

Suprafața fibrei care este accesibilă pentru vopsire (5-14 % din suprafața totală) se poate determina din absorbția iodului, măsurători de adsorbție de gaz, spectroscopie de IR și din date de raze X.

Interacția celulozei cu clorura de cianuril care a condus la primul colorant reactiv pentru bumbac a fost descris în detaliu de Hackendorn ca și de Reid și colaboratorii. Aceste reacții au loc în mediu apos alcalin la temperatură relativ redusă. Concentrația de alcalii necesară pentru reacție depinde în general de reactivitatea sistemului reactiv utilizat. Reacția are loc în maniera reacției Schotten -Baumann la o substituție nucleofilă bimoleculară via anion de celuloză care poate fi formulat ca Cel – O⁻.



În ecuația de mai sus R reprezintă substituentul, iar X grupa labilă înlocuită de anionul de celuloză.

Gradul de substituție determină măsura în care structura fină a fibrei este schimbată printr-o astfel de reacție de substituție. [24-25]

În toate cazurile are loc în primul rând o substituție a suprafeței amorfă. În funcție de reactant, legăturile care se formează cu celuloza sunt de tip eteric sau esteric. Capacitatea de substituție a celor trei grupe hidroxil a unității de anhidroglucoză este de asemenea diferită. Studii intense referitoare la distribuția substituenților în reacțiile cu celuloza au arătat că grupa de hidroxil de la atomul de carbon 2 este preferată în cazul eterificărilor în timp ce grupa hidroxil C-6 în cazul reacțiilor de esterificare. Reactivitatea grupelor hidroxilice primare și secundare din celuloza regenerată în acetilările eterogene și omogene, determinată cu ajutorul metodei cu trifenilmetan, a arătat că în acetilarea omogenă are loc o substituție preferențiată a grupărilor hidroxilice primare. În acetilarea eterogenă, grupele OH primare nu sunt preferate clar în stadiul inițial, însă pe parcursul reacției această preferință devine evidentă.

În general poziția 2 este cea mai reactivă. Din această cauză grupele reactive alifatică vor substitui celuloza de preferință în poziția 2. La sistemele reactive unde punctul de atac este ecranat eteric în poziția 2 reacția are loc în principal în poziția 6. Acestea constituie în același timp sisteme reactive care formează legături de tip esterice [26].

Coloranții triazinici reacționează doar în poziția 6. Primele cercetări fundamentale referitoare la reacția coloranților reactivi cu grupări OH alifatică primare și secundare au fost efectuate de către Dawson și colaboratorii [77]. Acești autori au comparat viteza de reacție a unor coloranți di și monoclorotriazinici cu alcoolii primari și secundari, într-o soluție apoasă alcalină. Conform acestor cercetări raportul vitezei de reacție a grupărilor OH primare față de cele secundare a fost 3,7 -7,2 pentru coloranții diclorotriazinici și 13,4 - 15,2 pentru coloranții monoclorotriazinici. Deoarece coloranții diclorotriazinici sunt mult mai reactivi decât cei

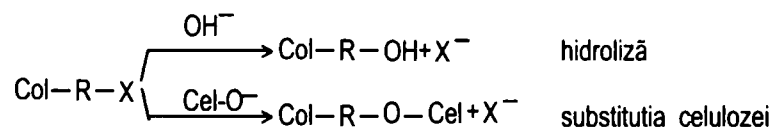
monoclortriazinici substituirea grupei OH secundare va crește odată cu creșterea reactivității grupării reactive.

Pentru a investiga reacția coloranților reactivi cu carbohidrați - independent de condițiile speciale ale reacției colorant-fibră, diverși autori au efectuat reacții model cu polialcoolii solubili, zaharuri și amidon. Compușii model, utilizați de preferință au fost sorbitolul, manitolul și glicozidele care au grupări OH primare și secundare comparabile în număr cu grupările OH primare și secundare ale celulozei. D - Glucoza și celobioza conțin fiecare în plus o grupă OH liberă glucozidică care nu este prezentă în celuloză ca partener de reacție sau dacă există, doar în cantități neglijabile ca grupare finală.

Pentru investigații Baungarte [78] a folosit ca modele corespunzătoare metilglucozida care are doar o grupare OH primară și trei secundare. S-au folosit în astfel de studii de asemenea și acizii gluconic și zaharic. Rezultatele analizei cromatografice ale produselor de reacție cu coloranți clortriazinici a zaharidelor studiate au arătat că atât grupările OH primare cât și cele secundare ale carbohidraților constituie parteneri de reacție posibili pentru un colorant reactiv. Singurul compus la care nu s-a constatat o astfel de reacție a fost acidul zaharic. În general, o astfel de reacție nu se constată nici cu alginatul de sodiu. După cum s-a afirmat anterior, acest fapt a fost interpretat ca o indicație a faptului că grupele OH secundare sunt nereactive în astfel de reacții. O explicație a acestui fapt este că sarcina negativă a anionilor de carboxilat din alginat. De asemenea și alți polimeri ce conțin grupe hidroxilice, ca de exemplu alcoolul polivinilic, pot fi partener de reacție pentru coloranții reactivi.

Cea mai importantă condiție prealabilă pentru o metoda de vopsire a bumbacului, de utilitate practică, bazată pe modificarea chimică a fibrei celulozice, este posibilitatea de a se lucra în mediu apos. Realizarea acestei condiții a fost contrară punctului de vedere general în privința performanțelor unor sisteme reactive în reacția cu celuloza în mediu apos alcalin. Chiar după publicarea lucrărilor lui Rattee, Bohnert și Weingarten, Begmann și Vickerstaff [79-81] care au arătat că este posibil în principiu să se vopsească fibre celulozice în mediu apos alcalin cu coloranți reactivi, solubili în apă, în nuanțe închise cu rezistențe satisfăcătoare la spălare.

S-au emis o serie de ipoteze pentru a explica substituția preferențială a celulozei față de hidroliză.



Una din primele teorii care a încercat să explice substituția preferențială a celulozei a fost aceea a lui Sumner. Potrivit acestei teorii concentrația mai mare de Cel-O⁻ în comparație cu OH în fibră implică postularea unui coeficient de disociere superior al celulozei față de apă. După Zollinger moleculele de colorant legate de fibră prezintă o tendință redusă de hidroliză din motive sterice.

Unii autori explică preferința pentru reacția fibră-colorant prin caracterul nucleofil mai pronunțat al hidroxilului alifatic în comparație cu apa. Acest punct de vedere a fost confirmat experimental de Dawson, Fern și Preston, Ackerman și Dussy cu substanțe model în mediu apos alcalin [82-85]

Comparându-se viteza de reacție a colorantului Procion Red H- X cu n - propanol izopropanol și apă s-a constatat o viteză de reacție net superioară cu cei doi alcoolii.

Se poate explica substituția preferențială a celulozei în comparație cu hidroliza pe baza următorului mecanism: dacă un colorant reactiv coexistă cu celuloza în mediu apos alcalin atât grupele OH ale apei cât și cele ale celulozei sunt disponibile ca partener de reacție pentru colorant. Aceste grupe intră în ecuația de reacție în forma lor disociată ca HO⁻ și CelO⁻. În condițiile în care molecula de colorant intră în sfera grupei CelO⁻, această grupă reacționează cu

grupa electrofilă a colorantului de cca 150 ori mai rapid decât HO^- . Prin urmare, substituția celulozei în mediu apos este o reacție controlată cinetic care se bazează pe caracterul nucleofil mai pronunțat al grupelor R-O^- în comparație cu cel a grupei HO^- . Condiția fundamentală pentru vopsirea reactivă a fibrelor celulozice este reactivitatea superioară a CelO^- în comparație cu alți nucleofili.

Cu toate acestea, reacția dintr-o soluție apoasă a unui colorant reactiv cu o fibră celulozică este posibilă doar dacă se atinge pe fibră concentrația de echilibru suficient de ridicată, astfel încât particulele care reacționează cu fibra să fie deplasate din baia de vopsire suficient de rapid. Cu alte cuvinte, fibra trebuie să prezinte o capacitate de adsorbție satisfăcătoare pentru colorant. Această proprietate care este cunoscută sub denumirea de *substantivitate* este cea de a doua condiție fundamentală care trebuie îndeplinită pentru o reacție colorant - fibră. În plus, trebuie să permită difuzia relativ ușoară în spațiile intermicelare chiar la temperaturi scăzute, condiție îndeplinită în majoritatea cazurilor de interacție colorant reactiv - fibră celulozică.

Reactivitatea este îmbunătățită prin creșterea concentrației de CelO^- în fibră. Bumbacul mercerizat sau tratat caustic reacționează mai ușor cu coloranții reactivi decât cel netratat.

I.3.2. FENOMENUL TINCTORIAL

Prin noțiunea de colorant se înțelege un compus ce posedă absorbția specifică în domeniul vizibil al spectrului (deci culoare proprie) și care este capabil să confere această culoare unui suport. Rezultă deci, că în afară de cromofor un colorant trebuie să posede în moleculă o serie de grupări care să-i permită fixarea prin interacție cu suportul.

Fenomenul tinctorial reprezintă tendința moleculelor unui colorant de a trece din soluție sau dispersie pe o fibră textilă, la suprafața de contact dintre acestea. Procesul implică următoarele etape:

- difuzia colorantului din soluție sau dispersie către suprafața exterioară a fibrei
- absorbția colorantului pe suport
- migrarea colorantului în interiorul fibrei

Ultima etapă este condiționată de natura forțelor care se pot stabili între colorant și fibră. Viteza globală a procesului de vopsire poate fi determinată de la caz la caz de oricare din cele trei etape [80].

Cu excepția vopsirilor în care legarea colorantului de suport este covalentă (cazul coloranților reactivi) în toate celelalte cazuri fenomenul tinctorial este reversibil.

Echilibrul tinctorial ar corespunde stadiului în care viteza de fixare a colorantului devine egală cu cea de desorbție de pe suport, concentrațiile colorantului în fibră și soluție devenind staționare. La atingerea echilibrului tinctorial, potențialul electrochimic al colorantului în fibră (μ_f) devine egal cu potențialul electrochimic al colorantului în soluție (μ_s).

Ținând seama de faptul că:

$$\mu_s = \mu_s^{\circ} + RT \ln a_s \quad \text{și} \quad \mu_f = \mu_f^{\circ} + RT \ln a_f$$

unde: μ_s° , μ_f° = reprezintă potențialul electrochimic standard al colorantului în soluție, respectiv în fibră

a_s , a_f = activitatea colorantului în soluție, respectiv în fibră

R = constanta universală a gazelor

T = temperatura, °K

la echilibrul tinctorial când:

$$\mu_s = \mu_f$$

rezultă:

$$-\Delta \mu^{\circ} = RT \ln \frac{a_f}{a_r}$$

Valoarea $-\Delta \mu^{\circ}$ a fost denumită *afinitate*, constituind o măsură a tendinței de trecere a colorantului din soluție sau dispersie pe un suport.

Factorul de activitate (f_s) pentru soluția de colorant se poate determina utilizând relația:

$$-\ln f_s = AZ \sqrt{I}$$

în care: A = o constantă (aprox. 0,5)

Z = valoarea ionului colorat

I = puterea de solvatare a solventului în baia de vopsire.

La rândul său:

$$I = \frac{1}{2} \sum CZ^2$$

unde C și Z reprezintă concentrația și valența ionilor din soluție.

Activitatea (a_f) pentru colorant în fibră poate fi aproximată cu ajutorul raportului:

$$a_f = \frac{\theta}{1 - \theta} \quad \text{unde: } \theta = \frac{n}{N} \quad \text{și}$$

N = totalitatea centrilor activi din suport unde se pot fixa moleculele colorantului

n = numărul centrilor activi ocupați.

Creșterea afinității coloranților prezintă o mare importanță practică mai ales în cazul vopsirii cu amestecuri, deoarece raportul coloranților fixați în fibră este proporțional nu cu concentrațiile celor două produse în soluție ci cu raportul afinității acestora.

Examinând comportarea unei fibre textile în procesul tinctorial se constată că atingerea echilibrului tinctorial implică următoarele etape:

- depunerea colorantului pe suprafața exterioară a suportului
- vopsirea inelară, corespunzătoare migrării parțiale a colorantului în suport
- repartizarea uniformă a colorantului în fibră, etapă ce corespunde atingerii echilibrului

Deoarece timpul necesar atingerii echilibrului tinctorial este foarte lung, în practica tinctorială procesul de fixare se limitează, de cele mai multe ori la vopsirea inelară. Acest fapt prezintă și avantajul unui consum mediu de colorant.

I.3.3. TERMODINAMICA PROCESELOR DE FIXARE

Sub aspect termodinamic atingerea echilibrului tinctorial corespunde atingerii unui minim a entalpiei libere a sistemului în condițiile date. Pentru ca procesul tinctorial să poată fi posibil, la o temperatură dată, el trebuie să corespundă unei descreșteri a entalpiei libere a sistemului ($\Delta G < 0$).

Ținând seama de faptul că $\Delta G = \Delta \mu^{\circ}$

$$\Delta \mu^{\circ} = \Delta H - T \Delta S^{\circ}$$

Procesele de fixare sunt în toate cazurile externe ($\Delta H^{\circ} < 0$). Ținând seama de faptul că:

$$\frac{d(\Delta \mu^{\circ} / T)}{d(1/T)} = \Delta H^{\circ}$$

sau pentru temperatura T_1 și T_2 :

$$\Delta H^{\circ} = \left(\frac{\Delta \mu_1^{\circ}}{T_1} - \frac{\Delta \mu_2^{\circ}}{T_2} \right) / \left(\frac{1}{T_1} - \frac{1}{T_2} \right)$$

rezultă că, măsurând căldura degajată în procesul de vopsire la două temperaturi diferite T_1 și T_2 , cunoscând afinitatea la temperatura T_1 , se poate calcula afinitatea la o altă temperatură T_2 .

Energia de activitate în procesele de fixare depinde de totalitatea interacțiilor posibile colorant-suport. De cele mai multe ori, ea este necesară pentru învingerea unor forțe electrostatice de respingere între cei doi parteneri.

De exemplu, în cazul suporturilor anionice de tipul celulozei în mediu bazic, energia de activare este necesară pentru învingerea respingerii electrostatice între anionul colorantului și anionul suportului. Ea poate fi mult redusă prin prezența electroliților în baia de vopsire fapt ce conduce la o retrogradare a disocierii colorantului. În acest caz, forțele de respingere între colorantul nedisociat și anionii suportului sunt mult mai mici, fapt concretizat în scăderea energiei de activare, deci într-o creștere a vitezei procesului de fixare.

În toate procesele de vopsire $\Delta S < 0$, fapt ce corespunde unei micșorări a gradelor de libertate a moleculelor colorantului în spațiul interstițial al suportului față de soluția sau suspensia din care se realizează fixarea.

Procesul de vopsire implică drept parteneri colorantul și un suport, parteneri care determină natura și intensitatea interacțiilor care se stabilesc între acestea (legături de hidrogen, forțe van der Waals, interacțiuni dipol-dipol, atracții sau respingeri electrostatice, reacții chimice) de acestea trebuie ținut seama la clasificarea tinctorială a coloranților și la aplicarea tehnologică corespunzătoare a acestora.

I.3.4. REACTIVITATEA

Proprietatea cea mai caracteristică a unui colorant reactiv este reactivitatea față de fibră. Se acceptă ca măsură a *reactivității* unui colorant reactiv viteza sa de hidroliză în anumite condiții de pH și temperatură [86-92]. Constanta de hidroliză k_h măsurată la temperatură și pH constante, utilizată pentru această reacție de ordin pseudomonomolecular, este valabilă doar pentru coloranții care reacționează în mediu alcalin cu grupele CeO^- ale celulozei.

Nu există nici o relație general valabilă între reactivitatea în mediu acid față de grupele aminice din lână și constanta k_h determinată în mediu alcalin. Până în prezent nu este posibilă o evaluare simplă și generală a reactivității grupărilor reactive față de lână. Este totuși posibilă o comparare a reactivității prin compararea vitezei de reacție cu un compus model adecvat, de exemplu cu un aminoacid. Derivarea și determinarea constantei de hidroliză k_h , ca o măsură a reactivității colorantului, respectiv în mediu apos alcalin, se bazează pe ecuația pentru reacțiile bimoleculare, care este valabilă pentru majoritatea sistemelor reactive. Conform acestei ecuații descreșterea în timp $d[R]$ a concentrației de colorant reactiv dintr-o soluție de colorant este proporțională cu concentrația de colorant și concentrația bazei $[\text{HO}^-]$.

$$-\left(\frac{d[R]}{dt}\right)_T = k_h b_i [R] [\text{OH}^-] \quad (\text{I.3.4.1})$$

Dacă reacția are loc la un pH constant, $[\text{HO}^-]$ poate fi inclus în constanta $k_h b_i$, încât să se obțină o expresie generală pentru determinarea valorii $[R]$.

$$-\left(\frac{d[R]}{dt}\right)_{\text{pH}} = k_h [R] \quad (\text{I.3.4.2})$$

Valoarea lui K_h se obține din (I.3.4.2) prin integrare sau exprimând logaritmic (x reprezintă cantitatea de colorant care reacționează în decursul timpului t) se obține:

$$\int \frac{d[R]}{[R]} = k_h \int dt \quad (\text{I.3.4.3})$$

$$k_h = \frac{2,303}{t} \log \frac{[R]_0}{[R]_0 - x} \quad (I.3.4.4)$$

În această ecuație $[R]_0$ este cantitatea de colorant reactiv la timpul $t=0$. Conform ecuației (I.3.4.4) k_h se calculează simplu dacă se determină prin analiză $[R]_0$ și X .

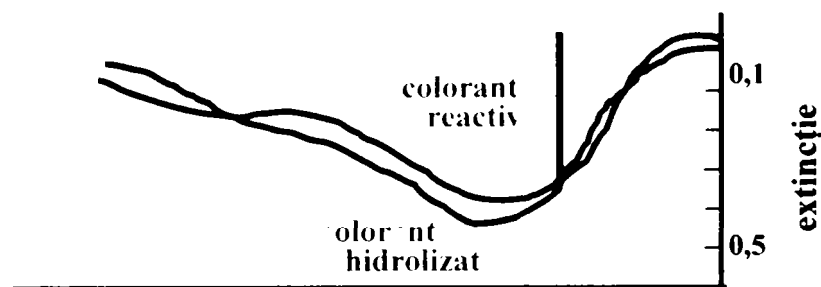


Fig I.3 Determinarea punctului IHO la colorantul portocaliu Procian M-CS

O metodă generală de determinare este separarea cromatografică a produsului inițial și a produsului de hidroliză și evaluarea spectrofotometrică a zonelor separate. [93]

Valori precise și reproductibile ale k_h pot fi obținute astfel într-o serie de măsurători în timp la pH și temperatură menținute strict. În unele cazuri micșorarea cantității inițiale de colorant sau formarea produsului de hidroliză poate fi urmărită direct fotometric sau potențio-metric prin determinarea ionului de clor cu soluție de $AgNO_3$ 0,1 n.

În tabelul 13 se indică valorile constantelor de viteză pseudomonomoleculare în reacția cu fibra a coloranților monoclor și diclorotriazinici cu același sistem cromofor.

Tabelul I.3.4.1. Constantele de viteză pseudomonomoleculare la pH -10 și 60°

<p>colorant:</p>	k_h
	0,33
	0,0047

Valorile indicate în tabel s-au obținut prin determinări cromatografice. Modificările conținutului de coloranți reactivi pot fi determinate însă și prin titrarea consumului de alcalii al unei soluții de colorant cu concentrația molară cunoscută, la un pH constant, sau prin vopsire.

Metoda prin titrare are valoare practică doar dacă se cunoaște concentrația totală de colorant reactiv în amestecul de reacție, ceea ce este adesea dificil de determinat datorită reacțiilor secundare. Dintre metodele descrise metoda vopsirii este cea mai inexactă fiind utilizată mai mult pentru determinarea stabilității băilor de vopsire.

I.3.4.1 Dependența reactivității de pH și temperatură

Dacă se acceptă ca măsură a reactivității viteza de hidroliză, la pH constant și relația de mai sus este strict valabilă, viteza de reacție a colorantului reactiv ar trebui să se modifice cu factorul 10 pentru fiecare unitate de pH. De fapt la o serie de coloranți reactivi triazinici s-au constatat abateri, în special dacă constantele pseudomonomoleculare s-au transformat în constante bimoleculare prin împărțire la concentrația HO^- . Se constată că, constantele bimoleculare ale unor coloranți Procion se micșorează într-un anumit domeniu de pH, fapt ce a fost atribuit unei modificări a reactivității.

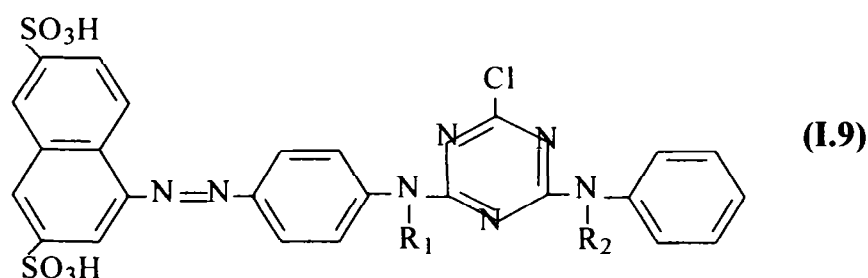
Această modificare a reactivității cu pH- ul a fost investigată de Ackerman și Dussy[84], Ingamwlls, Sumner și Williams [92], Aspland J.[93], Kleb, Sasse și Siegel[94] și a fost explicată prin apariția unui proces de disociere. Grupa fenolică din molecula de coloranți este cea mai susceptibilă la disociere [95-103].

În privința dependenței de temperatură a vitezei de reacție a acestor coloranți s-a constatat o mărire a vitezei de cca. 3 ori la o creștere a temperaturii cu 10°C , ceea ce corespunde la o energie de activare de aprox. 24 Kcal / mol.

I.3.4.2. Influența electrolitului și a concentrației asupra reactivității

Deoarece coloranții reactivi au doar o substantivitate scăzută, pentru vopsirea din soluție diluată este necesară clorura de sodiu. Component al flotei de impregnare alcaline în cazul folosirii metodei de impregnare prin două flote, sarea mărește absorbția colorantului pe celuloză și previne separarea colorantului de pe fibră de către soluția de impregnare. Electrolitul ecranează forțele de respingere dintre celuloză încărcată negativ și anionul de colorant. Dar este de așteptat, pe baza mecanismului de reacție, ca sarea să exercite un efect pozitiv asupra vitezei de reacție a colorantului deoarece medii polare vor facilita formarea stării de tranziție sau intermediarul de tipul complexului Meisenheimer. Dependența vitezei de reacție de concentrația ionilor din mediul de reacție este cunoscută sub denumirea de *efect salin primar*. De fapt, folosind compuși model solubili, se poate demonstra un efect salin primar atât prin hidroliză cât și pentru substituția clorului reactiv.

S-au efectuat de asemenea studii în soluții de concentrație ridicată și în cazul coloranților care au tendința de a forma agregate. Conform investigațiilor lui Datyner și colaboratorii și Rys asupra hidrolizei coloranților monoclorotriazinici, influența echilibrului de asociere poate fi determinată din cinetica hidrolizei coloranților [96-97]. După acești autori un colorant cu structura:

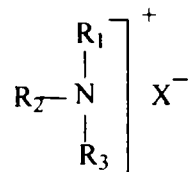


formează agregate dacă concentrația de colorant este 6×10^{-4} mol /l, dar nu formează astfel de agregate la o concentrație de $6 \cdot 10^{-6}$ mol/l. Rezultate similare au fost obținute de către Rys, care explică anomaliile din studiile cinetice parțial prin tautomerie și parțial prin echilibru de asociere[89].

I.3.4.3. Efectul catalizatorilor asupra reactivității

Cercetările întreprinse pentru mărirea reactivității coloranților monoclorotriazinici au condus la descoperirea faptului că anumite substanțe ca amine terțiare, hidrazine, hidrazone, măresc reactivitatea coloranților reactivi 1,3,5-triazinici de 4-8 ori. Asemenea produse au fost comercializate sub denumirea de catalizatori Cibacrom CCR sau CCI [98-102]. Această posibilitate este importantă pentru vopsirea cu coloranți monoclorotriazinici prin metoda exhaustivă, prin metoda de vopsire la rece, pentru imprimare, cât și pentru metoda de vopsire continuă.

Se folosesc în proporție de 0,1 -10% față de colorant compuși cu formula:

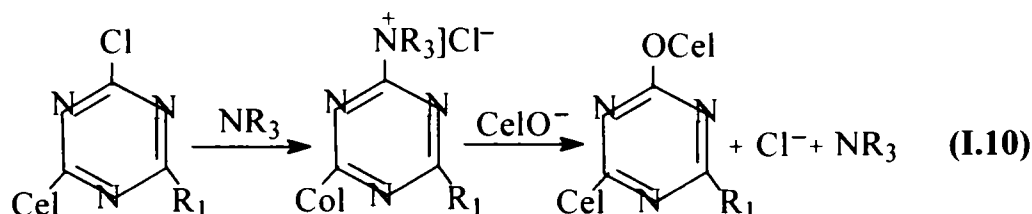


R_1 și R_2 sunt grupe alchil cu 1-4 atomi de carbon

R_3 - grupă alchil cu 1-10 atomi de carbon

$X = Cl$

După Dawson și Stawon reactivitatea se modifică conform următorului mecanism:



Prin urmare procesul catalitic este o cuaternizare a aminei la atomul de carbon electofil al triazinei complexul de tranziție format reacționând mai ușor cu anionul de celuloză decât cu monoclorotriazina.

Efectul catalitic crește cu creșterea bazicității aminei terțiare și cu creșterea electronegativității substituentului R_1 . Deci efectul catalizatorului asupra vitezei de reacție este diferit de la colorant la colorant.

I.3.5. DIFUZIE ȘI SUBSTANTIVITATE

Înainte ca un colorant reactiv să poată reacționa cu o fibră celulozică este necesar să migreze spre fibră din soluția apoasă. Deoarece doar fracția din colorant care a migrat se fixează pe fibră, în timp ce colorantul rămas în soluție poate hidroliza în condițiile reacției, se poate stabili o relație cantitativă între constanta vitezei de reacție, constanta de difuzie și cantitatea de colorant care a migrat pe fibră.

Deci cele trei date fundamentale care descriu performanțele de vopsire ale unui colorant reactiv sunt proprietățile de difuzie, substantivitatea și reactivitatea.

După cercetări din literatura [103-104], ecuația (I.3.5.1) descrie relația între viteza reacției colorant-celuloză (k_{cel}) cantitatea de colorant fixată substantiv pe fibră (c_t) și constanta de difuzie (D):

$$Q_T = C_T \left(t + \frac{1}{2k_{cel}} \right) (D \cdot k_{cel})^{1/2} \quad (I.3.5.1)$$

unde: Q_T = concentrația de colorant care reacționează cu fibra în timpul t

C_T = concentrația de colorant substrat

k_{cel} = constanta vitezei de reacție pentru reacția fibră - colorant

D = concentrația de difuzie

t = timpul

Prin diferențierea ecuației, după Rattee[104], eficiența (P) ce însumează substituția celulozei și hidroliza, are expresia:

$$P = Z \cdot S (D / k_h)^{1/2} \quad S = \frac{C_T}{C_h} \quad (I.3.5.2)$$

În această ecuație Z este o constantă caracteristică pentru fiecare colorant $[(k_{Cl}/k_h)]^{1/2}$ în timp ce S reprezintă substantivitatea. Descreșterea lui P cu creșterea temperaturii este atribuită descreșterii substantivității S și creșterii lui K_{cel} . Dacă vopsirea se realizează cu o flotă diluată randamentul este direct proporțional cu substantivitatea ceea ce rezultă din relația anterioară.

Sumner și Taylor[105] au ajuns la concluzia că diferențele în privința capacității de difuzie între diverși coloranți reactivi 1,3,5-triazinici sunt considerabile. Viteza de difuzie nu generează doar procesul de fixare ci și viteza cu care fracția de colorant nefixată este spălată.

Influența difuziunii este notabilă în special în procesul de imprimare.

După Zollinger [106] substantivitatea $S = C_F/C_h$ se calculează determinând valorile absorbției, în procente în faza de echilibru, luând în considerare raportul de flotă L .

$$S = \frac{2E}{100 - E} \quad (I.3.5.3)$$

Capponi și Senn [107] au reprezentat radicalul coeficienților reactivi de difuzie în funcție de procentul de epuizare a flotei. Coloranți cu constituție similară au fost localizați pe benzi înguste pornind de la colțul de sus din stânga spre cel de jos dreapta. Termenul „constituție similară” semnifică atât sistem cromofor cât și grupă reactivă identică. Influența diferitelor sisteme cromofore este prezentată schematic în figura 1.4.

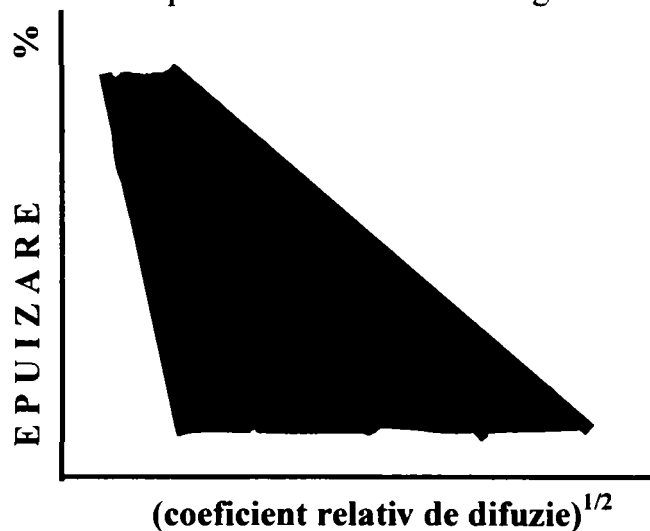


Fig. 1.4 Variația coeficientului de difuzie în funcție de procentul de epuizare

Influența constituției chimice a coloranților reactivi asupra substantivității și proprietăților de difuzie N- coloranți nemetalizați; C- colorant complex metalic 1:1; M- colorant complex metalic 2:1; F- coloranți ftalocianinici.

II. CONTRIBUȚII ORIGINALE

II.1. SINTEZA SI CARACTERIZAREA UNOR INTERMEDIARI SPECIFICI

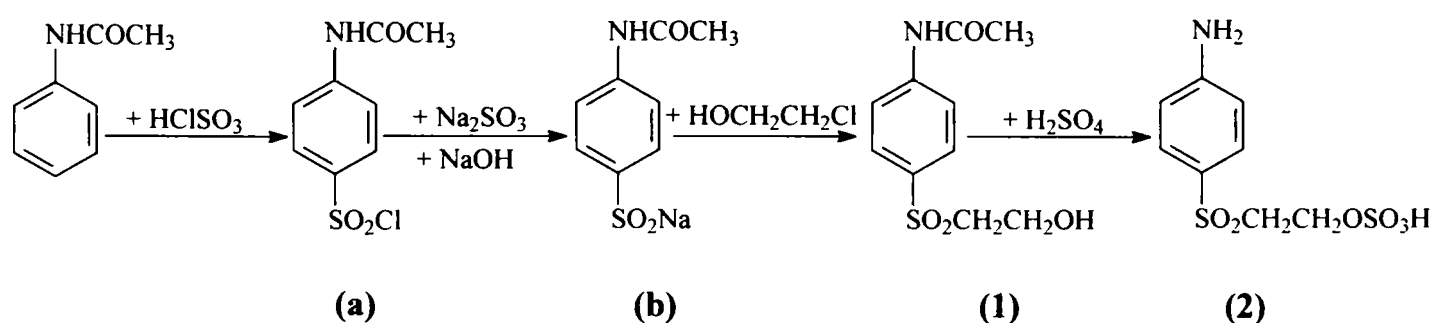
În vederea sintetizării de coloranți reactivi vinilsulfonici a fost necesară abordarea într-o primă etapă, în cadrul lucrărilor de laborator a metodelor de obținere a unui intermediar organic specific cu grupă sulfoxietilsulfonică generatoare a grupei reactive vinilsulfonice în procesul de vopsire.

În cadrul cercetărilor realizate ne-am propus obținerea intermediarului organic: esterul monosulfuric al 2-(4-amino-benzensulfonil) etanolului.

Din analiza datelor de literatură și considerând ca materie primă de plecare N-fenilacetamida s-a conturat un procedeu de sinteză pentru esterul monosulfuric al 2-(4-amino-benzensulfonil)etanolului ce urmărește derularea succesivă a următoarelor faze chimice principale:

- sulfochlorurarea N-fenilacetamidei cu obținerea 4-acetilamino-benzensulfochlorurii(a);
- reducerea 4-acetilamino-benzensulfochlorurii cu obținerea sării de sodiu a acidului 4-acetilamino-benzensulfonic(b);
- hidroxietilarea 4-acetilamino-benzensulfinatului de sodiu cu obținerea N-[4-(2-hidroxi-etilsulfonil)-fenil]-acetamidei(1);
- hidroliza și sulfatarea N-[4-(2-hidroxi-etilsulfonil)-fenil]-acetamidei cu obținerea esterului monosulfuric al 2-(4-amino-benzensulfonil) etanolului(2).

Procedeu de sinteză abordat urmărește succesiunea de reacții chimice prezentate schematic.



Schema II.1 Sinteza intermediarului cu grupă reactivă sulfoxietilsulfonică

Modul de lucru abordat în cercetările întreprinse a urmărit stabilirea condițiilor optime de realizare a fazelor chimice succesive cu obținerea produselor intermediare și a produsului finit de puritate înaltă și cu randamente mari.

OBȚINEREA 4-ACETILAMINO-BENZENSULFOCLORURII (a)

Pentru realizarea reacției de sulfochlorurare a N-fenilacetamidei s-a abordat următorul mod general de lucru: într-un balon de reacție cu 4 găuri prevăzută cu agitator ancoră

termometru, pâlnie de picurare, refrigerent ascendent, baie de răcire și baie de încălzire s-a introdus acidul clorsulfonic și sub agitare la o anumită temperatură, s-a adăugat într-un anumit timp N-fenilacetamida, la un anumit raport molar față de acidul clorsulfonic; după terminarea adăugării, masa de reacție s-a menținut un anumit timp pentru eliminarea acidului clorhidric format, după care s-a încălzit la 60°C cu menținere un anumit timp pentru o degazare cât mai completă. A urmat perfectarea reacției de clorosulfonare; masa de reacție s-a răcit la o temperatură de 20°C în vederea distrugerii excesului de acid clorsulfonic.

În conformitate cu modul de lucru general expus, a fost necesară variația următorilor parametri:

- *raportul molar N-fenilacetamidă:acid clorsulfonic;*
- *timpul de adăugare al N-fenilacetamidei corelat cu temperatura;*
- *timpul de menținere pentru sulfoclorurare;*
- *timpul de perfectare la temperatura de 60°C.*

În urma încercărilor efectuate parametrii optimi de reacție asigură o conversie maximă de 99,5%.

Raportul molar N-fenilacetamidă:acid clorsulfonic s-a variat în limitele 1:3 la 1:6, corelat cu reactivitatea N-fenilacetamidei. În ambele cazuri limită reacția s-a desfășurat în bune condițiuni cu observația că masa de reacție are o consistență foarte vâscoasă pentru raportul 1:3, greu agitatilă și greu de manipulat pentru operația de distrugere; pentru raportul 1:6, masa este foarte fluidă, ușor agitatilă, dar este prezent un exces prea mare de acid clorsulfonic, ceea ce necesită cantități mărite de apă și gheață pentru distrugerea excesului precum și diminuarea randamentului pe fază prin hidroliză și solubilizare parțială a produsului de reacție. Raportul molar optim stabilit a fost 1:4,98.

În ce privește timpul de adăugare al N-fenilacetamidei, acesta a fost condiționat de realizarea temperaturii optime de 10°C prin răcire exterioară, stabilindu-se un timp optim de 2 ore.

Timpul de perfectare pentru omogenizare s-a variat între 0,5-1,5 ore. S-a stabilit ca optim timpul de 0,5 ore cu corelarea timpului de îndepărtare din masă a acidului clorhidric prin încălzirea forțată a masei de reacție la 60°C. Timpul de degazare a fost variat între 15 minute și 0,5 ore, stabilindu-se o durată optimă de 0,5 ore. Sub această valoare degajarea de acid clorhidric gazos determină o spumare abundentă a masei de reacție.

Referitor la timpul de perfectare al reacției de clorosulfonare, acesta s-a variat între 0,5 și 2 ore. S-a determinat un timp optim de 1 oră, observându-se că în cazul menținerii un timp mai lung se poate produce dezacetilarea produsului.

Descompunerea excesului de acid clorsulfonic din masa de la sulfoclorurare s-a realizat: într-un balon de reacție cu 4 găuri prevăzute cu agitator, pâlnie de picurare, termometru, s-a introdus apa cu gheața într-un raport optim și sub agitare la temperatura de 0-2° s-a adăugat în fir subtire masa de reacție astfel ca temperatura să se mențină sub 10°C. În continuare masa de reacție s-a menținut pentru omogenizare și perfectare 5-10 minute după care s-a trecut la filtrare. Pasta de sulfoclorură de pe filtru s-a spălat cu apă de 3-5°C până la reacție slabă pentru ionul de clor. Parametrii variați conform modul de lucru evidențiat au fost:

- *raportul apă: gheață la distrugerea excesului de acid clorsulfonic din masa de reacției;*
- *timpul de adăugare a 4-acetilamino-benzensulfoclorurii ca masă de reacție;*
- *concentrația 4-acetilamino-benzensulfoclorurii în masa de reacție finală;*
- *volumul de apă de spălare raportat la filtratul principal.*

În urma lucrărilor efectuate au fost stabiliți următorii parametri optimi, ce asigură obținerea unei conversii de 99,5% și a unui randament de 80% pe faza de sulfoclorurare:

În ce privește raportul apă:gheață, acesta s-a variat în limitele 1:2 la 1:6. Raportul optim stabilit a fost de 1:4 care asigură o agitare bună și un volum minim al masei de reacție cu păstrarea calității sulfoclorurii.

În contextul menținerii raportului apă:gheață optim și menținerea temperaturii optime de 10°C, timpul de adăugare minim determinat ca optim a fost de 15-20 minute.

OBȚINEREA SĂRII DE SODIU A ACIDULUI 4-ACETILAMINO-BENZEN-SULFINIC (b)

Studiul reacției de reducere a 4-acetilamino-benzensulfoclorurii s-a desfășurat după următorul mod de lucru general: într-un pahar Berzelius prevăzut cu agitator cu paleți, termometru, pâlnie de picurare, baie de răcire și baie de încălzire s-a încărcat apa și sub agitare sulfitul de sodiu la o anumită concentrație, iar la o anumită temperatură și într-un anumit timp s-a adăugat 4-acetilamino-benzensulfoclorura, la un anumit raport molar sulfoclorură: sulfid de sodiu și o anumită concentrație în masa de reacție concomitent cu reglarea pH-ului la o anumită valoare utilizând o soluție apoasă de hidroxid de sodiu 40%. După terminarea adăugării, masa de reacție s-a menținut sub agitare la temperatură ambientă 0,5 ore, după care s-a încălzit la o anumită temperatură și un timp determinat pentru perfectarea reacției de reducere. Masa de reacție s-a răcit liber sub agitare pentru precipitarea insolubilelor și a impurităților organice, după care acestea se izolează prin filtrare.

Pentru definitivarea modului de desfășurare optim pentru reacția de reducere a fost necesară studierea influenței următorilor parametri:

- *raportul molar 4-acetilamino-benzensulfoclorură: sulfid de sodiu;*
- *concentrația sulfidului de sodiu și a 4-acetilamino-benzensulfoclorurii în masa de reacție;*
- *temperatura și timpul de adăugare a 4-acetilamino-benzensulfoclorurii în masa de reacție;*
- *pH-ul necesar realizării reacției de reducere;*
- *temperatura și timpul necesar perfectării reacției de reducere.*

În studiul de laborator efectuat au fost stabiliți parametri optimi, ce asigură obținerea unei conversii de 99% și a unui randament de 90% pentru faza de reducere.

Referitor la raportul molar 4-acetilamino-benzensulfoclorură: sulfid de sodiu, acesta s-a variat în limitele 1:1,1 la 1:3. Cele mai bune rezultate au fost obținute lucrându-se la un raport molar de 1:2,5, pentru care reacția de reducere a decurs cu viteză și conversii maxime, cu obținerea unui conținut minim de săruri care diminuează concentrația produsului finit.

În ceea ce privește concentrația reactanților în mediul de reacție, aceasta s-a variat între următoarele limite: pentru sulfitul de sodiu între 10 și 20%, iar pentru 4-acetilamino-benzensulfoclorură între 5 și 12%. Concentrațiile optime determinate au fost de 16,8% pentru sulfitul de sodiu și de 9,4% pentru sulfoclorură, la care se atinge o conversie maximă și o solubilizare totală a sării de sodiu a acidului 4-acetilamino-benzensulfonic format.

Temperatura la care s-a adăugat sulfoclorura ca pastă apoasă a fost corelată cu timpul de adăugare și s-a variat în limitele 5-20°C, respectiv 0,5-2 ore. S-a observat că la un timp scurt de adăugare fără o răcire eficientă, reacția fiind exotermă, temperatura crește la 45-50°C, ceea ce favorizează o reducere incompletă a sulfoclorurii cu formare de cantități mari de disulfone, în acest sens valoarea optimă a temperaturii fiind stabilită la 10°C pentru începutul adăugării și o temperatură finală de 20°C, realizabile prin răcire exterioară, pentru un timp optim de 1,5 ore.

Un parametru foarte important pentru bunul mers al reacției de reducere l-a constituit stabilirea valorii optime a pH-ului de operare. Acesta s-a variat între limitele 6,5-9,5. Valoarea optimă a pH-ului a fost 8, la valori mai mici este favorizată reacția secundară de formare a

disulfonelor, iar valori mai mari facilitează reacția concurentă de hidroliză ce conduce la dezacetilarea acidului sulfonic format.

În vederea perfectării reacției de reducere, masa de reacție s-a încălzit în limitele de temperatură de 30-50°C, la timpuri care au variat între 1 și 3 ore. Cele mai bune rezultate s-au obținut pentru o temperatură de 35°C și un timp de 1,5 ore.

II.1.1. SINTEZA ȘI CARACTERIZAREA N - [4 - (2 – HIDROXI – ETILSULFONIL) - FENIL] – ACETAMIDEI (1)

Pentru realizarea reacției de hidroxietilare a sării de sodiu a acidului 4-acetilamino-benzensulfonic s-a adoptat următorul mod de lucru general: într-un balon de reacție cu 4 gături prevăzut cu agitator ancoră, termometru, pâlnie de picurare, baie de încălzire și răcire, s-a introdus soluția apoasă a sării de sodiu a acidului 4-acetilamino-benzensulfonic liberă de impurități, iar sub agitare la un anumit pH s-a introdus 1-clor-2-hidroxi-etanolul într-un anumit raport molar sulfat de sodiu: halohidrină și într-un anumit timp; masa de reacție s-a încălzit la o anumită temperatură cu menținere un anumit timp la o anumită valoare a pH-ului reglată prin adăugare de soluție apoasă de hidroxid de sodiu 10%. După terminarea hidroxietilării masa de reacție s-a răcit la o anumită temperatură într-un anumit timp pentru precipitarea N-[4-(2-hidroxi-etilsulfonil)-fenil]-acetamidei. Produsul hidroxietilat s-a izolat din masa de reacție prin filtrare în timp de 15-20 minute, s-a esorat corespunzător, nefiind indicată spălarea lui din cauza solubilității foarte mari a produsului în apă.

Parametrii variați pentru care s-au desemnat valorile lor optime au fost:

- raportul molar 4-acetilamino-benzensulfinat de sodiu: 1-clor-2-hidroxi-etanol;
- pH-ul necesar realizării reacției de hidroxietilare;
- timpul de adăugare al 1-clor-2-hidroxi-etanolului;
- temperatura și timpul de reacție;
- timpul și temperatura de precipitare a N-[4-(2-hidroxi-etilsulfonil)-fenil]-acetamidei.

În urma cercetărilor efectuate au fost stabiliți următorii parametri optimi care asigură realizarea reacției de hidroxietilare cu o conversie de 99% și a unui randament de 90%:

În ce privește raportul molar 4-acetilamino-benzensulfinat de sodiu: 1-clor-2-hidroxi-etanol, acesta s-a variat în limitele 1:1 la 1:3,5. Raportul molar optim stabilit a fost de 1;2,4.

Un parametru determinant pentru desfășurarea reacției de hidroxietilare îl constituie valoarea pH-ului, care s-a variat în limitele 6-9. În urma cercetărilor efectuate s-a stabilit ca optim un interval de pH situat între 6,5-7,5, care a asigurat cea mai bună viteză de reacție corelată cu o conversie maximă și cu diminuarea reacțiilor concurente de hidroliză a 1-clor-2-hidroxi-etanolului și de dezacetilare a N-[4-(2-hidroxi-etilsulfonil)-fenil]-acetamidei.

Timpul de adăugare al halohidrinei la pH 6,5 s-a variat în limitele 15 minute la 1,5 ore, stabilindu-se ca optim un timp de 45 minute, perioadă în care valoarea pH-ului se menține constantă.

Pentru perfectarea reacției de hidroxietilare s-a lucrat într-un domeniu de temperatură cuprins între 50 și 98°C (reflux minim) corelat cu urmărirea conversiei pentru timpuri de reacție care au fost variați între 6 și 20 ore. S-a stabilit următoarea secvență optimă a modului de lucru: încălzirea masei de reacție la 70°C cu menținere la această temperatură un timp de 2 ore, perioadă în care pH-ul începe să scadă, deci necesită corectare urmată de încălzire la reflux (96-98°C), cu menținere timp de 8 ore. Prelungirea timpului de reacție peste această valoare nu conduce la creșteri semnificative ale conversiei.

În vederea precipitării N-[4-(2-hidroxi-etilsulfonil)-fenil]-acetamidei, masa de reacție s-a răcit în intervalul de temperatură 15-25°C cu menținere 15-300 minute. Optimă s-a dovedit o temperatură de răcire de 20°C pentru un timp de cca. 2 ore.

II.1.2. SINTEZA ȘI CARACTERIZAREA ESTERULUI MONOSULFURIC AL 2 - (4 – AMINO – BENZENSULFONIL)-ETANOLULUI (2)

Realizarea reacției de hidroliză-sulfatare a N-[4-(2-hidroxi-etilsulfonil)-fenil]-acetamidei a urmat modul de lucru de mai jos: într-un balon cu patru găuri prevăzut cu agitator ancoră, pâlnie de picurare, refrigerent descendent conectat la vid, baie de încălzire-răcire s-a introdus toluenul, agentul tensioactiv într-o anumită concentrație față de masa de reacție, acidul sulfuric la un anumit raport molar față de N-[4-(2-hidroxi-etilsulfonil)-fenil]-acetamida și sub agitare la temperatura de 20°C s-a adăugat produsul hidroxietilat într-o anumită concentrație față de masa de reacție și într-un anumit timp; masa de reacție s-a agitat pentru omogenizare și dispersare la temperatura 25-35°C un anumit timp, după care s-a încălzit la o anumită temperatură și la o anumită presiune remanentă când s-a început distilarea apei și a acidului acetic. Treptat se ridică temperatura masei de reacție pe un anumit interval și într-un anumit timp cu continuarea distilării unui amestec de toluen-apă-acid acetic, toluenul fiind recirculat pentru menținerea concentrației constante a reactanților în sistem și realizarea sulfatării.

În conformitate cu modul de lucru general au fost variați următorii parametri:

- raportul molar N-[4-(2-hidroxi-etilsulfonil)-fenil]-acetamida: acid sulfuric;
- concentrația N-[4-(2-hidroxi-etilsulfonil)-fenil]-acetamidei în masa de reacție;
- tipul agentului tensioactiv și cantitatea utilizată;
- timpul de adăugare și de dispersare a N-[4-(2-hidroxi-etilsulfonil)-fenil]-acetamidei în masa de reacție;
- temperatura și presiunea remanentă în timpul realizării reacțiilor de hidroliză-sulfatare;
- timpul de reacție.

În urma cercetărilor efectuate au fost stabiliți parametrii optimi care asigură realizarea unei conversii de 99,5% a N-[4-(2-hidroxi-etilsulfonil)-fenil]-acetamidei.

În ce privește raportul molar N-[4-(2-hidroxi-etilsulfonil)-fenil]-acetamida: acid sulfuric, acesta s-a variat în limitele 1:(1,1-1,5). La raportul molar minim produsul are o tendință pronunțată de aglomerare și decantare cu obținerea de produse rășinoase greu prelucrabile în continuare. La raport molar maxim se produce o trecere a aminei rezultate în sulfat de amină solubilă, fapt ce contribuie la diminuarea randamentului. Optim s-a determinat raportul molar de 1:1,5.

Referitor la concentrația N-[4-(2-hidroxi-etilsulfonil)-fenil]-acetamidei în masa de reacție aceasta s-a variat în limitele 10-30%. La concentrația maximă produsul hidrolizat se aglomerează cu tendința de rezinificare. S-a stabilit ca optimă concentrația de 19,5%.

Pentru realizarea în bune condiții a reacțiilor de hidroliză-sulfatare și ținând seama de heterogenitatea sistemului care are o tendință permanentă de stratificare a fost necesară găsirea unui agent tensioactiv care să mențină dispersat produsul de reacție. Agenții testați au fost nonilfenoli polietoxilați cu diferite grade de etoxilare și alcooli grași sulfatați. Cele mai bune rezultate s-au obținut în cazul nonilfenolului polietoxilat (n=6), utilizat la o concentrație de 1,2% față de masa de reacție.

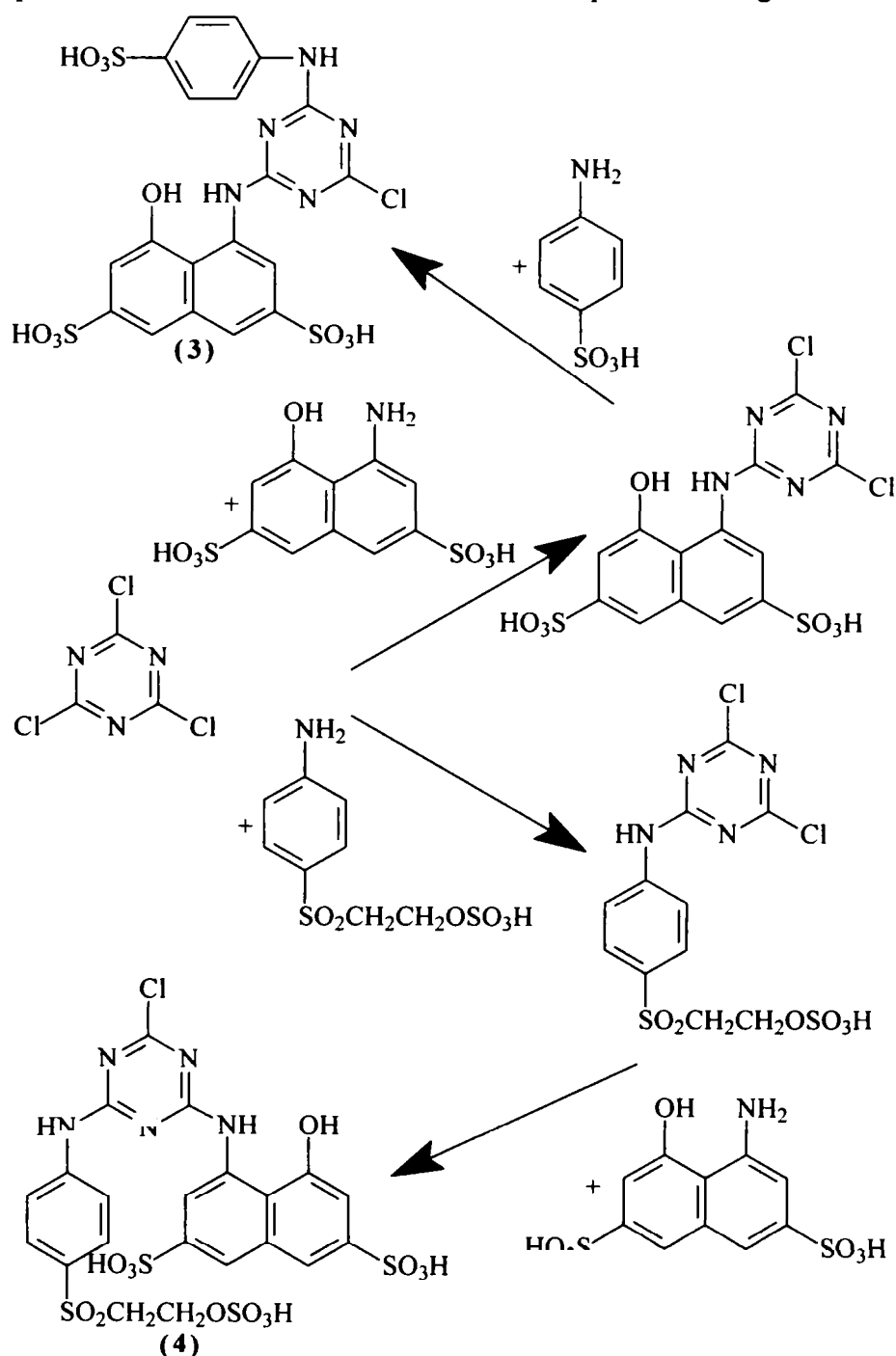
Timpul de adăugare al N-[4-(2-hidroxi-etilsulfonil)-fenil]-acetamidei s-a variat în limitele 0,5-2,5 ore, cele mai bune rezultate obținându-se la un timp de 1 oră. Pentru realizarea unei bune dispersări, masa de reacție s-a menținut sub agitare timp de o oră la o temperatură de 35°C.

Pentru realizarea reacției de sulfatare în bune condițiuni distilarea apei s-a realizat la o presiune de 250-400 mm Hg și o temperatură de 50-70°C, cel mai avantajos dovedindu-se a fi conducerea reacției la 250 mm Hg și o temperatură de 50°C, după care temperatura se crește treptat la 95°C cu menținere 3,5 ore.

Prelucrarea finală a intermediarului a constat în răcirea masei de reacție, îndepărtarea toluenului, urmele de solvent eliminându-se azeotrop cu apă, iar produsul se separă prin filtrare din mediu apos și se usucă la o temperatură de 40-50°C. Randamentul pe faza de hidroliză-sulfatare a fost de 70%.

SINTEZA INTERMEDIARILOR CU GRUPA REACTIVA MONOCLORTRIAZINICA

S-a obtinut monosubstituirea unui atom de clor cu o amina aromatica primara (condensarea I) in acelasi mediu de reactie fara izolarea produsilor de condensare s-a trecut la condensarea II cu o alta amina aromatica primara. Sfarsitul condensarii I s-a controlat prin cromatografie in strat subtire.



Schema II.2 Sinteza intermediarilor cu grupă reactivă monoclorotriazinică

II.1.3. SINTEZA ȘI CARACTERIZAREA SĂRII TRISODICE A ACIDULUI 4-[4-CLOR-6-(4-SULFO-FENILAMINO)-[1,3,5]TRIAZIN-2-ILAMINO]-5-HIDROXI-NAFTALEN-2,7-DISULFONIC (3)

Realizarea reacției de condensare a 1,3,5-triclor-triazinei cu acid 4-amino-5-hidroxi-naftalen-2,7-disulfonic și acid 1-amino-benzen-4-sulfonic s-a realizat conform metodei clasice de substituție a primului atom de clor din molecula 1,3,5-triclortriazinei cu o amina primară la temperatura scăzută (condensarea I) și apoi substituția celui de-al doilea atom de clor la o temperatură mai ridicată (condensarea II). Peste un amestec de apă și gheață se picură o soluție de 1,3,5-triclor-triazină dizolvată în metiletilcetonă, într-un anumit timp și la un anumit raport molar; peste suspensia obținută se adaugă într-un anumit timp și la un anumit raport molar, păstrându-se o anumită temperatură, o soluție ce conține sarea disodică a acidului 4-amino-5-hidroxi-naftalen-2,7-disulfonic, condensarea având loc într-un anumit timp și la un anumit pH; după prima condensare peste masa de reacție se adaugă într-un anumit timp, la o anumită temperatură și un anumit pH, o soluție de acid 1-amino-benzen-4-sulfonic, condensarea a II-a, perfectându-se la o anumită temperatură și un anumit pH menținut cu o soluție apoasă de bicarbonat de sodiu 10%. Sfârșitul reacțiilor a fost controlat cromatografic.

În conformitate cu modul de lucru general au fost variați următorii parametri:

- *timpul de precipitare și concentrația finală a 1,3,5-triclor-triazinei în masa de reacție;*
- *raportul molar 1,3,5-triclor-triazină: acid 4-amino-5-hidroxi-naftalen-2,7-disulfonic;*
- *timpul de adăugare a acidului 4-amino-5-hidroxi-naftalen-2,7-disulfonic;*
- *temperatura și pH-ul la prima condensare;*
- *raportul molar intermediar de la prima condensare: acid 1-amino-benzen-4-sulfonic;*
- *temperatura și pH-ul la a 2-a condensare.*

În ceea ce privește timpul și concentrația finală a 1,3,5-triclor-triazinei în masa de reacție, s-au făcut variații de la 0,5 la 2 ore, respectiv o concentrație cuprinsă între 1 și 10%. Cele mai bune rezultate în ceea ce privește dispersarea corespunzătoare a 1,3,5-triclor-triazinei în apă se obțin pentru un timp de 0,5 ore și o concentrație de cca. 3%. La concentrații mai mari se produc aglomerări care au ca rezultat prelungirea timpului de condensare și obținerea unor produși de hidroliză ai 1,3,5-triclor-triazinei.

Raportul molar 1,3,5-triclor-triazină: acid 4-amino-5-hidroxi-naftalen-2,7-disulfonic a fost variat în limitele (1-1,2):1, un consum total și într-un timp relativ convenabil al acidului 4-amino-5-hidroxi-naftalen-2,7-disulfonic realizându-se la un raport optim 1,06:1. Se observă că se preferă consumul total al acidului 4-amino-5-hidroxi-naftalen-2,7-disulfonic care este componentă de cuplare ce ar impurifica coloranții reactivi care urmează a fi obținuți, cu coloranți paraziți de altă nuanță, fără grupe reactive și cu rezistențe tinctoriale evident mai scăzute.

Timpul de adăugare al acidului 4-amino-5-hidroxi-naftalen-2,7-disulfonic a fost variat în limitele 0,5-2 ore, stabilindu-se în urma experimentărilor că un timp scurt de adăugare de 0,5 ore este suficient pentru a realiza condițiile de condensare fără obținerea unor produși de hidroliză ai 1,3,5-triclor-triazinei.

Temperatura și pH-ul la prima condensare au fost variate în limitele 0-20°C, respectiv pH=5-8, observându-se că menținerea temperaturii la valori joase (0-5°C) asigură o viteză de reacție convenabilă în paralel cu reducerea reacțiilor concurente de hidroliză, iar pH-ul optim pentru desfășurarea condensării se situează în intervalul 5,5-6,5 din aceleași considerente.

Raportul molar dintre intermediarul obținut la prima condensare și acidul 1-amino-benzen-4-sulfonic a fost variat în limitele (1-1,1):1. În urma experimentărilor s-a stabilit un raport molar optim de 1,01:1, care asigură transformarea rapidă și totală a acidului 1-amino-benzen-4-sulfonic.

Temperatura și pH-ul la a 2-a condensare au fost variate în limitele 30-60°C, respectiv pH=5-8, observându-se că menținerea temperaturii la o valoare de 50°C și a pH-ului în domeniul 5,5-6,5 conduce la o conversie totală a acidului 1-amino-benzen-4-sulfonic și limitarea reacțiilor de hidroliză concurente. Este de menționat faptul că asigurarea în final a unui pH=6,5 asigură menținerea stabilității compusului monoclorotriazinic în mediu apos pentru utilizare la reacții de cuplare fără o prealabilă izolare.

Randamentul total la obținerea sării trisodice a acidului 4-[4-clor-6-(4-sulfofenilamino)-[1,3,5]triazin-2-ilamino]-5-hidroxi-naftalen-2,7-disulfonic a fost de 93%.

În sinteza coloranților reactivi heterofuncionali a fost folosită sarea trisodică ca atare. În vederea analizei, o parte a fost transformată în acid și purificată cromatografic.

II.1.4. SINTEZA ȘI CARACTERIZAREA SĂRII TRISODICE A ACIDULUI 4-{4-CLOR-6-[4-(2-SULFOXI-ETILSULFONIL)-FENILAMINO]-[1,3,5]TRIAZIN-2-ILAMINO}-5-HIDROXI-NAFTALEN-2,7-DISULFONIC

Realizarea reacției de condensare a 1,3,5-triclor-triazinei cu ester monosulfuric al 2-(4-amino-benzensulfonil)etanolului și acid 4-amino-5-hidroxi-naftalen-2,7-disulfonic a urmărit modul de lucru general: într-un balon cu patru găuri prevăzut cu agitator, pâlnie de picurare, refrigerent ascendent, baie de încălzire-răcire s-a încărcat un amestec de apă și gheață peste care se adaugă o soluție de 1,3,5-triclor-triazină dizolvată în metiletiletetonă, într-un anumit timp și la un anumit raport; peste suspensia obținută se adaugă într-un anumit timp și la un anumit raport molar, păstrându-se o anumită temperatură, o soluție ce conține esterul monosulfuric al 2-(4-amino-benzensulfonil) etanolului, condensarea având loc într-un anumit timp și la un anumit pH; după prima condensare, peste masa de reacție se adaugă într-un anumit timp, la o anumită temperatură și un anumit pH, o soluție de acid 4-amino-5-hidroxi-naftalen-2,7-disulfonic, condensarea a II-a perfectându-se la o anumită temperatură și un anumit pH menținut cu o soluție apoasă de bicarbonat de sodiu 10%.

În conformitate cu modul de lucru general au fost variați următorii parametri:

- *timpul de precipitare și concentrația finală a 1,3,5-triclor-triazinei în masa de reacție;*
- *raportul molar 1,3,5-triclor-triazină: ester monosulfuric al 2-(4-amino-benzensulfonil) etanolului;*
- *timpul de adăugare a esterului monosulfuric al 2-(4-amino-benzensulfonil) etanolului;*
- *temperatura și pH-ul la prima condensare;*
- *raportul molar intermediar de la prima condensare: acid 4-amino-5-hidroxi-naftalen-2,7-disulfonic;*
- *temperatura și pH-ul la a 2-a condensare.*

În ceea ce privește timpul și concentrația finală a 1,3,5-triclor-triazinei în masa de reacție, s-au făcut variații de la 0,5 la 2 ore, respectiv o concentrație cuprinsă între 1 și 10%. Cele mai bune rezultate în ceea ce privește dispersarea corespunzătoare a 1,3,5-triclor-triazinei în apă se obțin pentru un timp de 0,5 ore și o concentrație de cca. 3%. La concentrații mai mari se produc aglomerări care au ca rezultat prelungirea timpului de condensare și obținerea unor produși de hidroliză ai 1,3,5-triclor-triazinei.

Raportul molar 1,3,5-triclor-triazină: ester monosulfuric al 2-(4-amino-benzensulfonil) etanolului a fost variat în limitele (1-1,2):1, un consum total și într-un timp relativ convenabil al

esterului monosulfuric al 2-(4-amino-benzensulfonil)etanolului realizându-se la un raport optim 1,12:1.

Timpul de adăugare al esterului monosulfuric al 2-(4-amino-benzensulfonil)etanolului a fost variat în limitele 0,5-2 ore, stabilindu-se în urma experimentărilor că un timp scurt de adăugare de 0,5 ore este suficient pentru a realiza condițiile de condensare fără obținerea unor produși de hidroliză ai 1,3,5-triclor-triazinei.

Temperatura și pH-ul la prima condensare au fost variate în limitele 0-20°C, respectiv pH=4-7, observându-se că menținerea temperaturii la valori cuprinse în intervalul 10-15°C asigură o viteză de reacție convenabilă în paralel cu reducerea reacțiilor concurente de hidroliză atât ale halogenoderivatului, cât și ale esterului, iar pH-ul optim pentru desfășurarea condensării se situează în intervalul 4-4,5 din aceleași considerente.

Raportul molar dintre intermediarul obținut la prima condensare și acidul 4-amino-5-hidroxi-naftalen-2,7-disulfonic a fost variat în limitele (1-1,1):1, în urma experimentărilor rezultând un raport molar optim de 1,01:1 care asigură transformarea rapidă și totală a acidului 4-amino-5-hidroxi-naftalen-2,7-disulfonic.

Temperatura și pH-ul la a 2-a condensare au fost variate în limitele 30-60°C, respectiv pH=5-8, observându-se că menținerea temperaturii la o valoare de 60°C și a pH-ului în domeniul 5,5-6 conduce la o conversie totală a acidului 4-amino-5-hidroxi-naftalen-2,7-disulfonic și limitarea reacțiilor de hidroliză concurente. Este de menționat faptul că asigurarea în final a unui pH=6 asigură menținerea stabilității compusului monoclorotriazino-sulfato-etilsulfonic în mediu apos pentru utilizare la reacții de cuplare fără o prealabilă izolare.

Randamentul total la obținerea sării trisodice a acidului 4-{4-clor-6-[4-(2-sulfoxi-etilsulfonil)-fenilamino]-[1,3,5]triazin-2-ilamino}-5-hidroxi-naftalen-2,7-disulfonic a fost de 90%.

Analizând spectrele de absorbție în ultraviolet se constată că toți compușii sintetizați prezintă benzi caracteristice etilenice (E) și nucleului benzenic (B) datorate unor tranziții $\pi-\pi^*$, precum și benzi conjugate (K) și de tip radicalic (R) datorate prezenței în moleculă a heteroatomilor (azot, sulf) care posedă perechi de electroni neparticipanți. Analizând coeficienții molari și poziția maximelor de absorbție, pentru toate substanțele prezentate, se constată că maximele de absorbție corespund suprapunerii unor tranziții permise de tip $\pi-\pi^*$ având coeficienți molari de absorbție mari, cu tranziții interzise de tip $n-\pi^*$ cu coeficienți molari de absorbție mici. Prezența grupei amino cu efecte (-I, +M) grefată pe nucleul benzenic în cazul compusului (2) are loc o poziționare a maximului de absorbție la $\lambda_{\max}=266$ nm ce se poate datora și contribuției unei tranziții electronice cu transfer de sarcină de la grupa amino ca donor la inelul benzenic ca acceptor. În cazul compusului cu grupă amino acetilată poziția maximului de absorbție se deplasează hipsocrom cu 4 nm și hipocrom $\lg \epsilon=4,249$ față de $\lg \epsilon=4,423$ înregistrat în cazul compusului (2).

Tabelul II.1.1. Rezultatele spectroscopiei de absorbție UV a compusilor (1-4)

Nr. compus	1	2	3	4
Masa moleculară	243,28	281,31	603,99	712,11
$c \times 10^5$ (mol/l)	6,577	5,688	1,848	2,595
λ_{\max} (nm)	202 / 262	207 / 266	242 / 270 / 325 / 339	243 / 285 / 324 / 340
$\lg \epsilon_{\max}$	4,136 / 4,249	4,354 / 4,423	4,636 / 4,324 / 4,195 / 4,131	4,549 / 4,309 / 3,946 / 3,864

Analiza datelor spectrale prezentate pune în evidență rolul de componentă separatoare a restului triazinic astfel că în spectru apar mai multe benzi de absorbție care într-o primă aproximare sunt cele etilenice și din benzenul disubstituit situate la $\lambda=242-243$ nm, respectiv

$\lambda=270-285$ nm și benzile caracteristice din restul naftalenic substituit situate la $\lambda=324-325$ nm, respectiv $\lambda=339-340$ nm și care prezintă coeficienți molari de absorbție mai mici (benzi α). Este evident că situarea maximului de absorbție în cazul compușilor (3) și (4) la $\lambda=242-243$ nm și coeficienții molari de absorbție mari înregistrați pentru maximul de absorbție conduc la concluzia că o contribuție însemnată la această bandă o are și banda β din restul naftalenic care în mod normal se situează la lungimi de undă mici și are coeficienți molari de absorbție mari.

Puritatea compușilor sintetizați și controlul pe parcursul sintezei s-a efectuat prin cromatografie pe strat subțire, în acest sens pentru fiecare compus în parte stabilindu-se fazele fixe și mobile și determinându-se metoda de dezvoltare specifică.

Tabelul II.1.2 Valorile R_f pentru intermediarii sintetizați

Nr. compus	1	2	3	4
R_f	0,7	0,25	0,47	0,36

Astfel în cazul compușilor (1) și (2) s-a stabilit ca metodă de separare optimă, metoda cromatografică ascendentă pe plăci de sticlă având ca fază staționară Silicagel 60G (Merck) și utilizând ca fază mobilă un amestec format din: 1-propanol:apă:cloroform:acid acetic în raport 80:4:16:4 (vol./vol.). Solubilizarea probelor s-a făcut într-un amestec de amoniac 25%: apă=1:1 (vol./vol.) la o concentrație de 1%, iar aplicarea soluțiilor de analizat s-a făcut la nivelul de 2 μ l, placa fiind activată 30 min. la 110°C. Punerea în evidență a compușilor se face prin stropire cu un amestec 1:1 (vol./vol.) constituit dintr-o soluție apoasă de iodură de potasiu 1% și o soluție 3% de amidon, culoarea rezultată fiind mov în ambele cazuri.

În cazul compușilor (3) și (4) a fost stabilită utilizarea ca faza mobilă a unui amestec format din: 1-butanol:acetona:apă:amoniac 25% în raport 2:4:1:3 (vol./vol.). Solubilizarea probelor s-a făcut în apă la o concentrație de 1%, iar cantitatea spotulată a fost de 3 μ l. Dezvoltarea se realizează prin reacție cu sare de diazoniu a 4-nitroanilinei, culoarea rezultată fiind roșie în ambele cazuri. Valorile R_f pentru toți compușii studiați sunt prezentate tabelat. Obținerea compușilor unitari, după neutralizarea sarurilor de sodiu, a reclamat separarea prin cromatografie pe coloană utilizând ca fază staționară Silicagel 60G Merck sau Celuloză Merck, iar ca faze mobile aceleași amestecuri utilizate la cromatografia pe strat subțire.

Tabelul II.1.3 Rezultatele analizei elementale

Nr. compus	Formula brută	Masa moleculară	Analiza elementală (%)								p.t. (°C)
			C		H		N		S		
			Calculat	Găsit	Calculat	Găsit	Calculat	Găsit	Calculat	Găsit	
1	$C_{10}H_{13}N_4O_4S$	243,28	49,37	48,87	5,39	5,12	5,76	5,52	13,18	13,31	183
2	$C_8H_{11}NO_6S_2$	281,31	34,16	33,95	3,94	3,78	4,98	4,75	22,80	22,93	275 d
3	$C_{19}H_{14}ClN_5O_{10}S_3$	603,99	37,78	37,46	2,34	2,09	11,60	11,43	15,93	16,05	301 d
4	$C_{21}H_{18}ClN_5O_{13}S_4$	712,11	35,42	35,09	2,55	2,31	9,83	9,61	18,01	18,27	289 d

Conținutul în carbon, hidrogen și azot s-a determinat cu un analizor Carlo-Erba M 1106, iar conținutul în sulf prin combustie Schoniger. Analiza elementală pe produsele purificate prin metoda descrisă în partea experimentală, a confirmat caracterul compușilor sintetizați.

În ceea ce privește spectrele de absorbție în domeniul infraroșu efectuate în pastilă de bromură de potasiu pentru compușii intermediari sintetizați pot fi identificate benzile caracteristice elementelor structurale de bază ale acestor compuși.

Tabelul II.1.4 Rezultatele spectroscopiei de absorbție IR pentru compuşii (1-4)

Nr. compus	Frecvențe caracteristice (cm ⁻¹) și intensități
1	3235f.i., 3160i., 3095f.i., 3050f.i., 2922s, 2855s, 1910s, 1672f.i., 1610i., 1595f.i., 1535f.i., 1495s, 1443s, 1400f.i., 1372f.i., 1325i, 1310i, 1292f.i., 1270f.i., 1235s, 1174m, 1138f.i., 1075f.i., 1010m, 965s, 952m, 839f.i., 795m, 742f.i., 683i, 628s, 590i, 542i, 528i, 510f.i., 468f.i.
2	3340i, 3270f.i., 2965f.i., 2910f.i., 2620f.i., 1930s, 1600f.i., 1565f.i., 1510i, 1497f.i., 1450i, 1425i, 1390i, 1320f.i., 1300f.i., 1258f.i., 1190f.i., 1148f.i., 1090f.i., 1070f.i., 1045f.i., 1020s, 990f.i., 960f.i., 870f.i., 835m, 765f.i., 730f.i., 700f.i., 631f.i., 615s, 590i, 558f.i., 520i, 500f.i., 450i, 425s, 405s
3	3440f.i., 3362f.i., 1615f.i., 1570f.i., 1552f.i., 1491f.i., 1417f.i., 1395f.i., 1370f.i., 1320i, 1290s, 1210i, 1180f.i., 1120m, 1110m, 1030f.i., 1000m, 972s, 915s, 875s, 822m, 783m, 705s, 665i, 610i, 560i, 520i, 480i, 455i, 435i
4	3450f.i., 2910s, 2820s, 1725i, 1615f.i., 1553f.i., 1530f.i., 1500s, 1480s, 1395f.i., 1310m, 1255 f.i., 1220f.i., 1180f.i., 1135f.i., 1100s, 1055f.i., 1035f.i., 1020i, 920s, 880s, 835m, 785m, 743m, 720m, 662i, 615i, 568i, 525i, 505i, 480i, 456i, 432i

În spectrul de absorbție în domeniul infraroșu, vibrația de întindere a grupei hidroxil este identificată ușor ca bandă largă spre deosebire de cea a grupei amino care este relativ îngustă. În afara compusului 3 care prezintă benzile caracteristice vibrației de întindere a grupei amino primară situate la 3340 cm⁻¹ pentru vibrația asimetrică și 3270 cm⁻¹ pentru vibrația simetrică în ceilalți compuși din cauza prezentei grupei amino secundare și în același timp a grupei hidroxil apar benzi largi corespunzătoare vibrației de întindere a grupei hidroxil (ν_{OH}) care se suprapun cu benzile vibrațiilor de întindere ale grupei amino secundare din legăturile restului triazinic și cu benzile vibrației de valență a atomilor de hidrogen aromatici. Benzile combinate astfel apărute se situează la 3362-3450 cm⁻¹.

Vibrațiile de întindere ale grupelor metilenice din grupa sulfoxietilsulfonică pentru compușii (1),(2) și (4) se regăsesc în domeniul 3050-2620 cm⁻¹ și sunt foarte slabe ca intensitate.

Se remarcă în cazul compusului 1 prezența unei vibrații de valență caracteristică grupei carbonil din restul acetilamino foarte intensă situată la 1672 cm⁻¹.

În cazul tuturor compușilor investigați banda largă și foarte intensă situată la 1600-1615 cm⁻¹ corespunde suprapunerii benzilor vibrațiilor scheletului inelelor aromatice izolate și condensate, iar în cazul compusului 1 cu vibrațiile asimetrice ale legăturii carbonilice din restul acetilamino.

Banda foarte largă și intensă situată în zona 1180-1200 cm⁻¹ și prezentă în spectrele IR ale compușilor (2-4) rezultă prin suprapunerea mai multor vibrații, contribuția majoritară fiind dată de vibrația de valență asimetrică a grupelor sulfonice și de asemenea de vibrația de valență a grupei fenolice (ν_{C-OH}) în cazul compușilor (3) și (4).

În spectre se identifică cu ușurință și vibrațiile asimetrice ale sulfonei în cazul compușilor (1),(2) și (4) situate la 1370-1395 cm⁻¹, respectiv vibrațiile simetrice situate la 1135-1180 cm⁻¹.

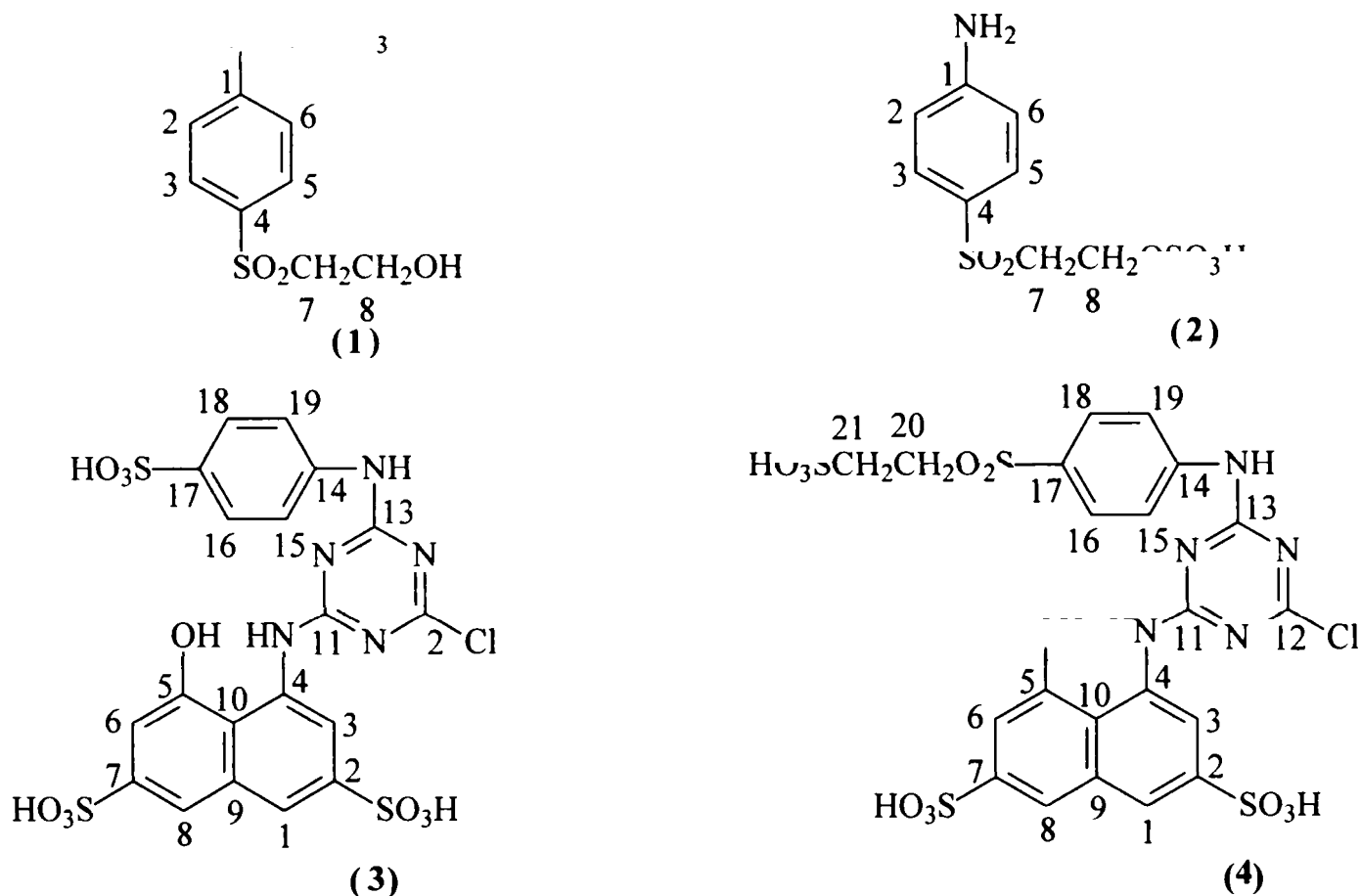
Spectrele de absorbție în infraroșu mai prezintă ca elemente caracteristice vibrația de schelet caracteristică arenelor disubstituite situată la 822-839 cm⁻¹.

Caracteristic elementelor structurale de tipul inelelor aromatice condensate, precum și restului triazinic sunt vibrațiile de valență ($\nu_{C=C}$, ν_{C-N}) de la 1530-1570 cm⁻¹, respectiv 1395-1417 și 1450-1497 cm⁻¹. Benzile caracteristice vibrației de deformare în afara planului (γ_{CH}) și dependente de tipul de substituție se situează la 742-765 cm⁻¹.

Atribuirile corecte ale deplasărilor chimice ¹H-RMN și ¹³C-RMN au fost obținute prin experimente HH COSY, de cuplare ¹H-¹H, APT și (2D) HETCOR. Deplasările chimice în cazul tuturor compușilor sintetizați și variația acestora în funcție de substituenții greși susțin structurile propuse pentru compușii studiați.

Pentru structura componentelor de cuplare în cazul compușilor (1-4), conform informațiilor furnizate de spectrul COSY (Homonuclear Correlation) se stabilește poziția protonilor confirmându-se influența diferiților substituenți existenți asupra deplasării la care se regăsesc aceștia.

Schema II.3 Localizarea atomilor pentru spectrele ^1H și ^{13}C -RMN



Tabel II.1.5 Rezultatele spectrometriei ^1H -RMN a compușilor (1-4)

Nr. compus	^1H -RMN ($(\text{CD}_3)_2\text{SO}$) – (ppm)
1	NH – 10,47 (s); OH – 4,89 (t) $J_o=5,80$ Hz; CH_3 – 2,09 (s); H-7 – 3,37 (t) $J_o=6,22$ Hz; H-8 – 3,63 (t) $J_o=6,22$ Hz; H-2,H-3,H-5,H-6 – 7,80 (coalescent)
2	NH_2 – 5,06 (s); H-7 – 3,45 (t) $J_o=7,10$ Hz; H-8 – 3,87 (t) $J_o=7,10$ Hz; H-2,H-6 – 6,80 (d) $J_o=8,40$ Hz, $J_m=1,40$ Hz; H-3,H-5 – 7,55 (d) $J_o=8,40$ Hz, $J_m=1,40$ Hz
3	NH – 4,20 (s); OH – 5,20 (s); OH – 9,20 (s); H-1 – 8,12 (s); H-8 – 8,24 (s); H-3, H-6 – 7,18 (s); H-15, H-16, H-18, H-19 - 7,40-7,90 (m)
4	NH – 4,20 (s); OH – 5,20 (s); OH – 9,20 (s); H-1 – 7,98 (s); H-8 – 8,05 (s); H-3, H-6 – 7,20 (s); H-15, H-16, H-18, H-19 - 7,60-7,90 (m)

În spectrul ^1H -RMN protonii din restul cu structură naftalenică din compușii (3) și (4) sunt singleți puternic dezecrațați de vecinătatea grupelor sulfonice ei situându-se la o valoare a deplasării chimice $\delta=7,98$ -8,24 ppm în timp ce protonii H-3 și H-6 situați în vecinătatea grupelor amino, respectiv hidroxil sunt singleți mai ecranați situați la o valoare a deplasării $\delta=7,20$ ppm(anexa II).

Protonii aromatici din resturile benzenice se situează pentru toți compușii în intervalul 7,40-7,90 ppm. Se remarcă prezența protonului grupei amino situat ca singlet la o valoare $\delta=4,20$ ppm și cel al grupei hidroxil situat tot ca singlet la $\delta=4,89-5,20$ ppm.

Protonii grupei etil din restul etilsulfonic se situează ca tripleți la o valoare a deplasării $\delta=3,37-3,87$ ppm, observându-se o inversare a poziției acestora în spectru în cazul compusului 1 (cu grupă hidroxietilsulfonică în locul grupei sulfoxietilsulfonice) din cauza ecranării produse de aceasta.

Tabel II.1.6 Rezultatele spectrometriei ^{13}C -RMN a compusilor (1-4)

Nr. compus	^{13}C -RMN ($(\text{CD}_3)_2\text{SO}$) – (ppm)
1	$C_1=144,145$; $C_2=118,695$; $C_3=129,179$; $C_4=133,483$; $C_5=129,179$; $C_6=118,776$; $C_7=57,879$; $C_8=55,129$; $\text{CH}_3=24,195$; $\text{CO}=169,529$
2	$C_1=150,787$; $C_2=115,006$; $C_3=129,923$; $C_4=132,145$; $C_5=129,923$; $C_6=115,006$; $C_7=55,242$; $C_8=59,578$
3	$C_1=115,943$; $C_2=144,143$; $C_3=108,121$; $C_4=135,725$; $C_5=144,515$; $C_6=105,801$; $C_7=142,910$; $C_8=118,610$; $C_9=133,111$; $C_{10}=114,709$; $C_{11}=180,023$; $C_{12}=173,409$; $C_{13}=177,505$; $C_{14}=150,503$; $C_{15}=116,404$; $C_{16}=127,123$; $C_{17}=133,504$; $C_{18}=127,123$; $C_{19}=116,404$
4	$C_1=115,109$; $C_2=144,652$; $C_3=107,323$; $C_4=135,206$; $C_5=143,311$; $C_6=104,635$; $C_7=142,258$; $C_8=118,533$; $C_9=133,804$; $C_{10}=114,515$; $C_{11}=180,212$; $C_{12}=173,002$; $C_{13}=177,103$; $C_{14}=151,741$; $C_{15}=116,143$; $C_{16}=127,319$; $C_{17}=128,507$; $C_{18}=127,319$; $C_{19}=116,143$; $C_{20}=54,212$; $C_{21}=61,214$

În ceea ce privește spectrul ^{13}C -RMN pentru compusul (1) se remarcă situarea atomului de carbon legat de restul acetilamino la o valoare a deplasării $\delta=144,145$ ppm mai ecranat decât cel din compusul (2) legat direct de grupa amino primară situat la $\delta=150,787$ ppm. Pentru compușii (3),(4) atomii de carbon C-4 sunt mai ecranati decât C-5, primii situându-se la $\delta=135,206-135,725$ ppm, iar ceilalți la $\delta=143,311-144,515$ ppm.

Pentru compușii (3),(4) atomii de carbon din restul triazinic sunt puternic dezecrați ei situându-se la o valoare a deplasării $\delta=173,002-180,212$ ppm. Cel mai dezecranat dintre atomii de carbon din ciclul triazinic este cel legat de restul aminonaftalenic, iar cel mai ecranat este cel legat de atomul de halogen.

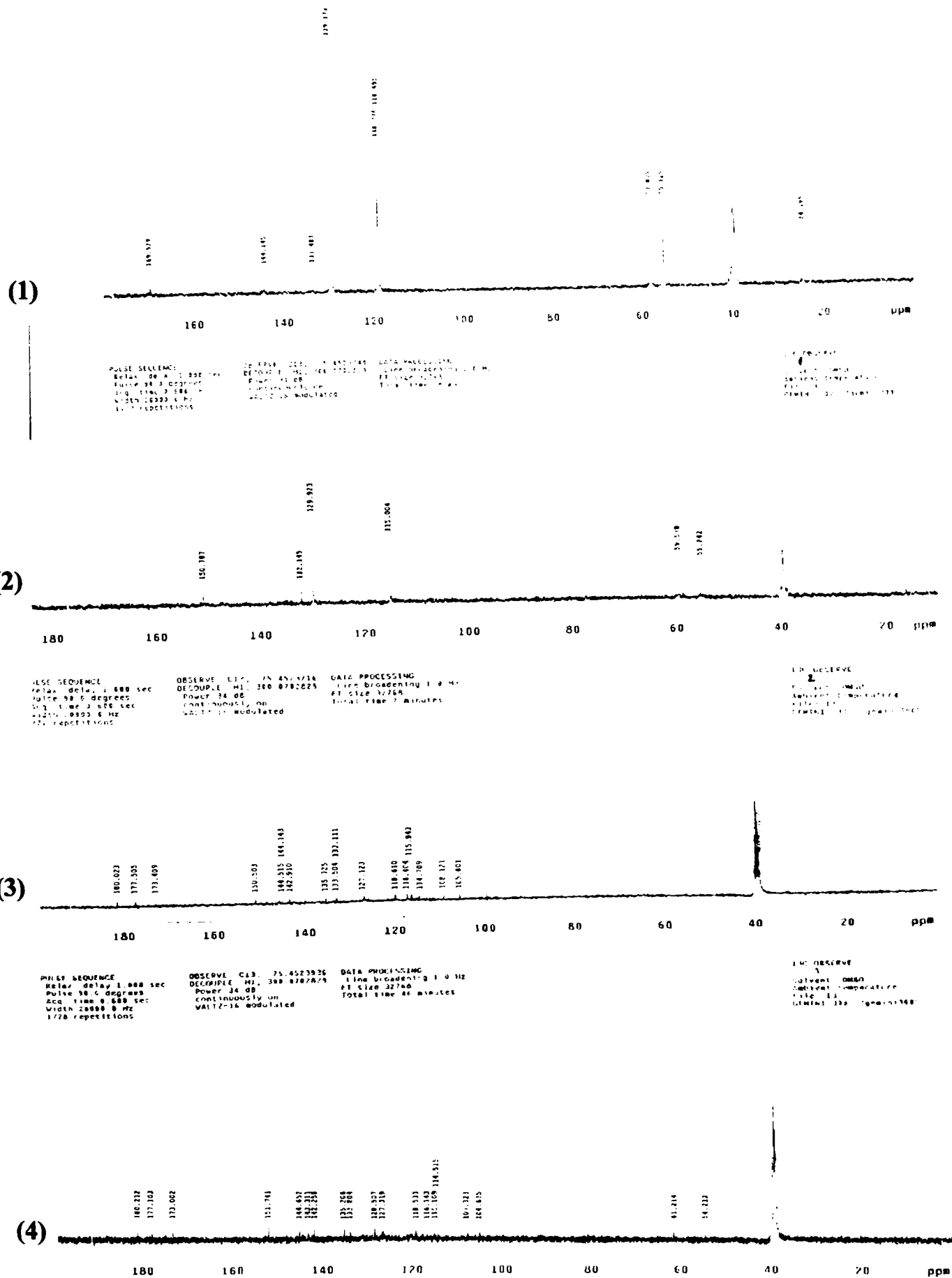
În cazul atomilor de carbon legați de grupe sulfonice în restul naftalenic din compușii (3) și (4) aceștia se situează la o valoare a deplasării $\delta=142,258-144,652$ ppm, în timp ce pentru atomul de carbon din restul benzenic legat de grupa etilsulfonă este mai ecranat și se situează la $\delta=132,145-133,483$ ppm.

Pentru compusul (1) atomul de carbon din grupa metil a restului acetilamino se situează la $\delta=24,195$ ppm, iar cel al grupei carbonil la $\delta=169,529$ ppm.

Grupa etilsulfonă are atomi de carbon care se situează la o valoare a deplasării $\delta=57,879$ ppm pentru C-7, respectiv $\delta=55,129$ ppm pentru C-8 în cazul compusului (1), în timp ce pentru compusul 2, $\delta=55,242$ ppm pentru C-7, respectiv $\delta=59,578$ ppm pentru C-8.

În cazul compusului (4) aceeași atomi de carbon ai grupei etilsulfonă din restul benzenic se situează la o valoare $\delta=54,211$ ppm pentru C-20, respectiv $\delta=61,214$ ppm pentru C-21.

Fig. II.1.1. Spectrele ¹³C-RMN ale compusilor (1-4)



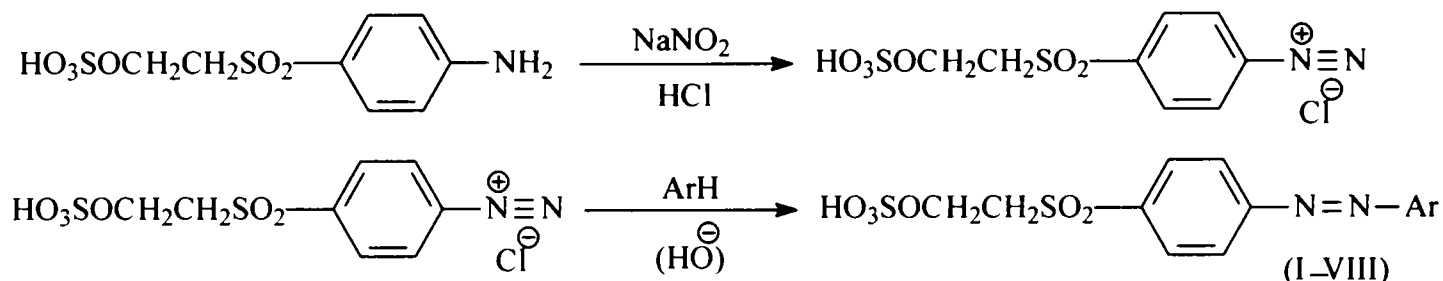
Concluzii

- Metoda de sinteză abordată în cazul obținerii esterului monosulfuric al 2-(4-aminobenzensulfonil)etanolului constă în parcurgerea mai multor etape, condițiile de lucru stabilite conducând la obținerea produselor de reacție cu puritate și cu randamente bune.
- Compușii sintetizați au fost purificați și caracterizați prin analiză elementală, puncte de topire și spectroscopie UV, IR, ^1H -RMN și ^{13}C -RMN.
- Obținerea sării trisodice a acidului 4-[4-clor-6-(4-sulfo-fenilamino)-[1,3,5]triazin-2-ilamino]-5-hidroxi-naftalen-2,7-disulfonic s-a făcut prin condensarea 1,3,5-triclor-triazinei cu acid 4-amino-5-hidroxi-naftalen-2,7-disulfonic și apoi cu acid 1-aminobenzen-4-sulfonic, pentru aceasta stabilindu-se condițiile optime de reacție, iar compusul obținut după izolare și purificare a fost caracterizat prin analiză elementală, puncte de topire și spectroscopie UV, IR, ^1H -RMN și ^{13}C -RMN confirmându-se formula structurală propusă.
- Obținerea sării trisodice a acidului 4-{4-clor-6-[4-(2-sulfoxi-etilsulfonil)-fenilamino]-[1,3,5]triazin-2-ilamino}-5-hidroxi-naftalen-2,7-disulfonic s-a făcut prin condensarea 1,3,5-triclor-triazinei mai întâi cu esterul monosulfuric al 2-(4-aminobenzensulfonil)etanolului, iar apoi cu acidul 4-amino-5-hidroxi-naftalen-2,7-disulfonic succesiunea fiind dictată de considerente legate de mersul reacției de condensare din cauza solubilității diferite a celor două amine, în acest sens fiind stabilite condițiile optime de operare.
- Fiecare produs obținut fost izolat pentru caracterizare și după purificare a fost supus analizei elementale și analizei prin spectrometrie de absorbție în domeniul ultraviolet și în domeniul infraroșu ca și prin spectrometrie de rezonanță magnetică nucleară ^1H și ^{13}C -RMN.
- Pentru toți compușii studiați au fost analizate corelații între structura chimică a compușilor și comportarea spectrală, evidențiindu-se particularitățile structurale pentru fiecare caz în parte.

II.2. SINTEZA COLORANȚILOR REACTIVI VINILSULFONICI

S-a urmărit sinteza a 14 coloranți reactivi vinilsulfonici:

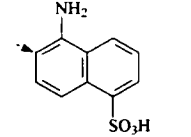
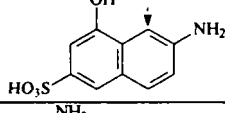
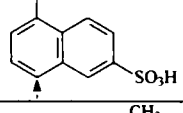
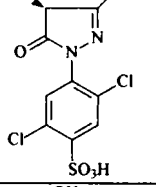
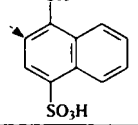
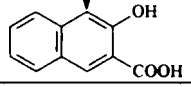
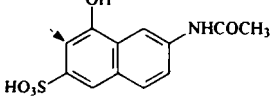
- Coloranți reactivi vinilsulfonici monoazoici (I-VIII)
- Coloranți reactivi vinilsulfonici bisazoici de tip A (IX-X)
- Coloranți reactivi vinilsulfonici bisazoici de tip B (XI-XII)
- Colorati reactiv vinilsulfonic stilbentrisazoic (XIII)
- Colorant reactiv vinilsulfonic ftalocianinic (XIV)

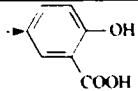


Schema II.4. Reacțiile de sinteză ale coloranților reactivi vinilsulfonici monoazoici

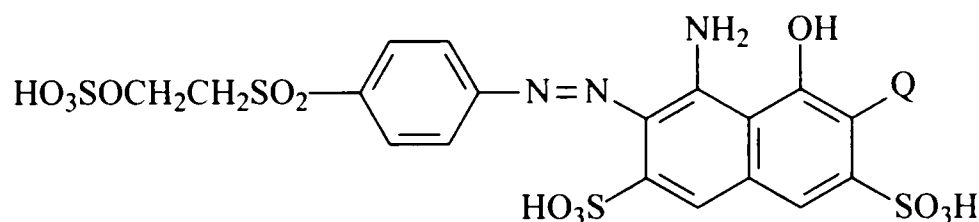
Încercările experimentale pentru obținerea coloranților reactivi vinilsulfonici monoazoici au urmărit stabilirea parametrilor de reacție pentru: diazotarea esterului mono-sulfuric al 2-(4-amino-benzensulfonil)-etanolului, condiționarea diferitelor tipuri de cuplante, precum și desfășurarea reacțiilor de cuplare.

Tabelul II.2.1 Componentele de cuplare și condițiile de lucru pentru obținerea coloranților reactivi vinilsulfonici monoazoici (I-VIII)

Nr. compus	Componenta de cuplare (ArH)	Cantitate cuplantă (g)	Temp. de cuplare (°C)	pH	Timp de reacție (ore)	Randament (%)	pt. (°C)
I		4,68	15	6,5-7	2	82	297 (desc.)
II		5,02	20	4	3,5	85	311 (desc.)
III		4,68	15	5	5	96	308 (desc.)
IV		6,78	20	5	2	92	216 (desc.)
V		5,17 (sare de sodiu)	17-20	6,5-7	0,5	98	286 (desc.)
VI		3,95	15	7,5	6	93	237 (desc.)
VII		6,36 (sare de sodiu)	24	4	8	88,5	295 (desc.)

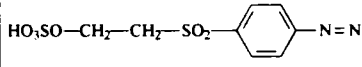
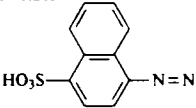
VIII		2,9	10	7	8	94	286 (desc.)
------	---	-----	----	---	---	----	----------------

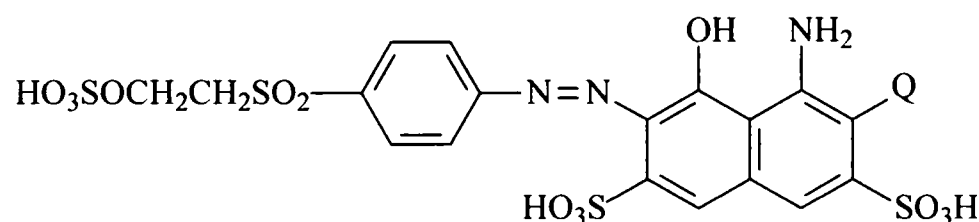
În cazul reacției de diazotare a esterului monosulfuric al 2-(4-amino-benzensulfonil)-etanolului parametri variați care influențează mersul acesteia sunt: concentrația componentelor în masa de reacție, raportul molar al reactanților, modul de adăugare al reactanților, temperatura la care se conduce reacția, timpul de perfectare a reacției. Astfel, reacția de diazotare a fost condusă în condiții optime la o concentrație a esterului în masa de reacție de 6%, un raport molar amină:acid clorhidric:azotit de sodiu de 1:1,8:1,06, o temperatură de diazotare situată în intervalul 0-5°C, într-un timp de 2,5 h[108-109].



Schema II.5. Formula de structură a coloranților reactivi vinilsulfonici bisazoici de tip A

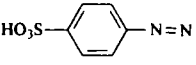
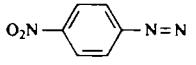
Tabelul II.2.2 Componentele de diazotare și condițiile de lucru pentru obținerea coloranților reactivi vinilsulfonici bisazoici de tip A (IX-X)

Nr. compus	Componenta de diazotare (Q)	Cantitate diazotantă(g)	Temp. de cuplare (°C)	pH	Timp de reacție (ore)	Randament (%)	p.t. (°C)
IX		5,62	10	6,5-7	1	95	328 (desc.)
X		4,46	10-15	6,5-7	1	93,5	335 (desc.)



Schema II.6. Formula de structură a coloranților reactivi vinilsulfonici bisazoici de tip B

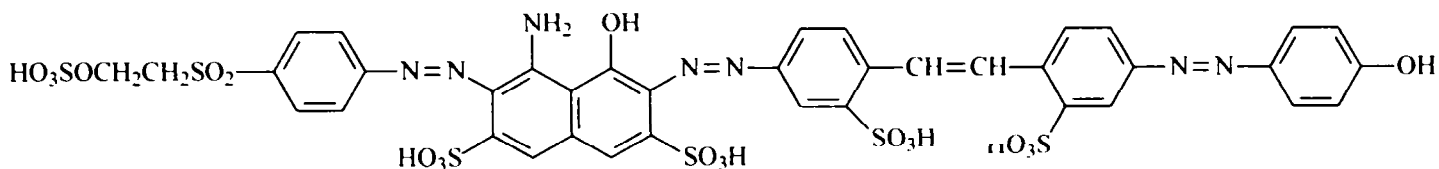
Tabelul II.2.3 Componentele de diazotare și condițiile de lucru pentru obținerea coloranților reactivi vinilsulfonici bisazoici de tip B (XI-XII)

Nr. compus	Componenta de diazotare (Q)	Cantitate diazotantă(g)	Temp. de cuplare (°C)	pH	Timp de reacție (ore)	Randament (%)	p.t. (°C)
XI		3,5	8-10	4	3	85	314 (desc.)
XII		2,75	8-10	4	2,5	91	287 (desc.)

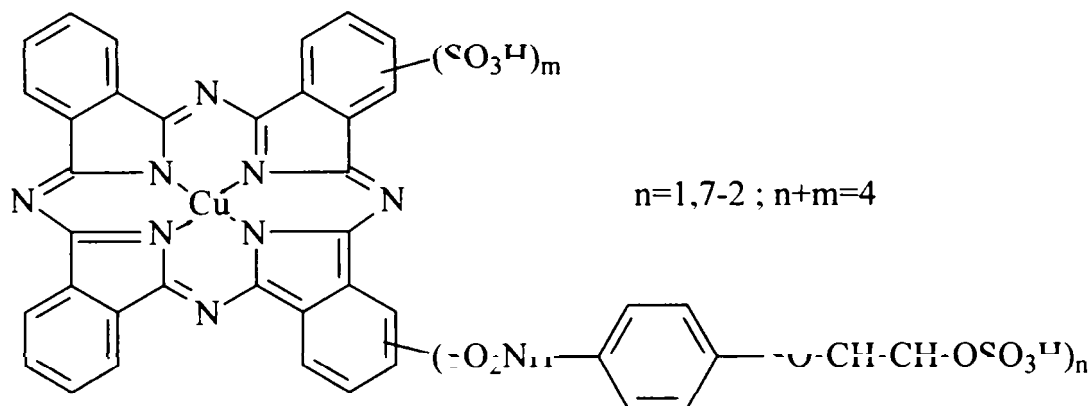
Stabilitatea sării de diazoniu rezultate este destul de bună în mediu de reacție utilizat, fiind necesară o agitare eficientă pentru evitarea aglomerărilor, fapt care influențează nefavorabil mersul reacției. După diazotare, masa de reacție se trece la cuplare, care se realizează la temperatură scăzută (10°C) datorită stabilității sării de diazoniu pe de o parte și evitării reacției concurente de hidroliză a esterului pe de altă parte[110].

Reacția de cuplare a sării de diazoniu a esterului monosulfuric al 2-(4-amino-benzensulfonil)-etanolului cu diferite componente hidroxi- și amino- aromatice este influențată în

principal de modul de condiționare specific tipului cuplantei, menținerea pH-ului masei în timpul cuplării, temperatura de lucru, timpul de perfectare a reacției. Condițiile optime stabilite pentru fiecare colorant reactiv în parte sunt prezentate sinoptic în tabelele II.2.1.-II.2.3.



Schema II.7. Formula de structură a colorantului reactiv vinilsulfonic stilbentrisazoic (XIII)



Schema II.8. Formula de structură a colorantului reactiv vinilsulfonic ftalocianinic (XIV)

Cu excepția coloranților cu structura (IV), (IX), (XIII) și (XIV) descriși în literatura de specialitate, restul structurilor sunt de concepție originală. Coloranții cu structura (IV), (IX), (XIII), (XIV) descriși în literatura de specialitate au fost sintetizați pentru compararea proprietăților tinctoriale cu noii produși sintetizați a caror structură sunt de concepție originală.

Referitor la sinteza colorantului reactiv vinilsulfonic verde cu structură stilbentrisazoică (XIII), o importanță deosebită asupra calităților colorantului a avut-o succesiunea reacțiilor de cuplare, în acest sens fiind stabilită ca optimă secvența: cuplarea sării de diazoniu a esterului monosulfuric al 2-(4-amino-benzensulfonil)-etanolului cu acidul 4-amino-5-hidroxi-naftalen-2,7-disulfonic în mediu acid, urmată de cuplarea colorantului monoazoic obținut cu sarea de tetrazoniu a acidului 4,4'-diaminostilben-2,2'-disulfonic și în final cuplarea sării de diazoniu a colorantului bisazoic rezultat cu fenol în mediu neutru. Produsul obținut după purificare are un punct de topire p.t.=308°C (desc.).

În ceea ce privește reacția de condensare a esterului monosulfuric al 2-(4-amino-benzensulfonil)-etanolului cu sulfoclorura ftalocianinei de cupru principalii parametri care au fost variați pentru stabilirea condițiilor optime de sinteză au fost: concentrația aminei în masa de reacție, modul de adăugare al reactanților, temperatura de lucru și prelucrarea ulterioară a masei de reacție.

În urma experimentărilor s-a stabilit ca reacția de condensare să se desfășoare în mediu apos, la o concentrație a esterului monosulfuric al 2-(4-amino-benzensulfonil)-etanolului în masă de 35%, prin adăugarea sulfoclorurii ftalocianinei de cupru peste suspensia de amină aromatică, concomitent cu reglarea pH-ului la 6-6,5 cu bicarbonat de sodiu la o temperatură de 10-25°C. Pentru perfectarea reacției de condensare se adaugă cantități catalitice de piridină și se încălzește masa de reacție la o temperatură de 30-40°C timp de 6 h. Prelucrarea ulterioară a masei de reacție se face prin salefiera colorantului obținut și izolarea acestuia prin filtrare. Produsul purificat are un punct de topire p.t.=292°C (desc.).

Tehnica analitică utilizată pentru studiul desfășurării reacțiilor de obținere a coloranților reactivi vinilsulfonici precum și a purității produselor finite obținute a fost cromatografia pe

strat subțire, în acest sens fiind stabilite condițiile pentru separarea produselor de reacție prin stabilirea fazelor fixe și a celor mobile și determinarea valorilor R_f .

Tabelul II.2.4 Valorile R_f pentru coloranții reactivi vinilsulfonici (I-XIV)

Nr. compus	I	II	III	IV	V	VI	VII	VIII	IX	X	XI	XII	XIII	XIV
R_f	0,28	0,18	0,23	0,31	0,16	0,18	0,11	0,41	0,14	0,12	0,17	0,15	0,18	0,13

Coloranții reactivi vinilsulfonici studiați au fost supuși controlului purității prin metoda cromatografiei pe strat subțire prin tehnica unidimensională ascendentă, utilizându-se ca fază staționară Plastikfolien Silicagel G Merck, iar ca fază mobilă un amestec format din 1-propanol:1-butanol:acetat de etil:apă în raport 2:4:1:3 (vol/vol), iar compușii au fost purificați prin dizolvare în N,N-dimetilformamidă, îndepărtarea sărurilor anorganice prin filtrare și precipitarea coloranților prin adaos de acetonă. Obținerea compușilor unitari reclamă separarea amestecurilor obținute prin cromatografie pe coloană utilizând ca fază staționară Silicagel G Merck, iar ca fază mobilă același amestec utilizat la cromatografia pe strat subțire[111].

Tabelul II.2.5 Rezultatele analizei elementale (I-XIV)

Nr. compus	Formula brută	Masa moleculară	Analiza elementală (%)							
			C		H		N		S	
			Calculat	Găsit	Calculat	Găsit	Calculat	Găsit	Calculat	Găsit
I	$C_{18}H_{15}N_3Na_2O_9S_3$	559,50	38,64	38,45	2,70	2,63	7,51	7,45	17,19	17,45
II	$C_{18}H_{15}N_3Na_2O_{10}S_3$	575,50	37,57	37,28	2,63	2,51	7,30	7,22	16,72	17,18
III	$C_{18}H_{15}N_3Na_2O_9S_3$	559,50	38,64	38,47	2,70	2,58	7,51	7,43	17,19	17,52
IV	$C_{18}H_{14}Cl_2N_4Na_2O_{10}S_3$	659,41	32,79	32,58	2,14	2,08	8,50	8,42	14,59	14,91
V	$C_{18}H_{14}N_2Na_2O_{10}S_3$	560,49	38,57	38,36	2,52	2,41	5,00	4,89	17,16	17,49
VI	$C_{19}H_{14}N_2Na_2O_9S_2$	524,43	43,51	43,46	2,69	2,57	5,34	5,26	12,23	12,48
VII	$C_{20}H_{17}N_3Na_2O_{11}S_3$	617,54	38,90	38,79	2,77	2,59	6,80	6,72	15,58	15,92
VIII	$C_{15}H_{12}N_2Na_2O_9S_2$	474,38	37,98	37,82	2,55	2,36	5,91	5,85	13,52	13,89
IX	$C_{26}H_{21}N_5Na_4O_{19}S_6$	991,82	31,49	31,37	2,13	1,98	7,06	6,97	19,40	19,68
X	$C_{28}H_{19}N_5Na_4O_{16}S_5$	933,76	36,02	35,89	2,05	1,91	7,50	7,43	17,17	17,48
XI	$C_{24}H_{17}N_5Na_4O_{16}S_5$	883,70	32,62	32,49	1,94	1,82	7,93	7,85	18,14	18,43
XII	$C_{24}H_{17}N_6Na_3O_{15}S_4$	826,66	34,87	34,72	2,07	1,95	10,17	10,05	15,52	15,86
XIII	$C_{38}H_{26}N_7Na_5O_{20}S_6$	1207,99	37,78	37,65	2,17	2,03	8,12	7,99	15,93	16,27
XIV	$C_{48}H_{30}CuN_{10}Na_4O_{22}S_8$	1510,84	38,16	37,98	2,00	1,93	9,27	9,15	16,98	17,21

În urma efectuării analizei elementale pe produsele purificate prin metoda descrisă anterior, s-a constatat o bună concordanță între valorile obținute experimental și cele calculate teoretic.

Din analiza comparativă a spectrelor de absorbție în domeniul vizibil, se observă așa cum era de așteptat că odată cu creșterea conjugării prin mărirea numărului de grupe azo se constată o deplasare batocromă a maximelor de absorbție, astfel că dacă în cazul coloranților reactivi vinilsulfonici monoazoici (I-VIII) lungimea de undă a maximumului de absorbție se situează în domeniul 363-504 nm, în cazul coloranților reactivi bisazoici acesta se situează în domeniul 591-634 nm, pentru colorantul verde stilbentrisazoic sunt caracteristice două maxime de absorbție de intensități similare situate la 401 nm (regiunea galbenă), respectiv 642 nm (regiunea verde-albăstruie), iar colorantul reactiv verde-albăstrui cu structură ftalocianinică are un maxim de absorbție situat la 666 nm. Se observă că intensitatea absorbției pentru coloranții

monoazoici este mai scăzută ($\lg \epsilon$ se situează în intervalul 3,5-4,3), în timp ce pentru coloranții bisazoici și cel stilbentrisazoic aceasta este mai mare ($\lg \epsilon \cong 4,3-4,4$).

Din punct de vedere al culorii tautomeria azo-hidrazonică manifestată în cazul coloranților hidroxi-azoici este importantă din cauza faptului că cele două forme au proprietăți spectroscopice și tinctoriale diferite. Se cunoaște faptul că formele hidrazonice absorb întotdeauna la lungimi de undă mai mari față de tautomerii azoici, spectrele de absorbție în cazul compușilor (V) și (VII) prezintă două maxime de absorbție situate la o lungime de undă în intervalul 363-387 nm corespunzătoare tautomerului hidroxi-azoic, în timp ce pentru tautomerul ceto-hidrazonic lungimea de undă a maximumului de absorbție se situează în intervalul 488-490 nm[112].

Tabelul II.2.6 Rezultatele spectrometriei de absorbție VIS (I-XIV)

Nr. compus	I	II	III	IV	V	VI	VII	VIII	IX	X	XI	XII	XIII	XIV
Masa moleculară (săruri de sodiu)	559,5	575,5	559,5	659,41	560,49	524,43	617,54	474,37	991,81	933,76	885,7	826,65	1193,98	1542,83
$c \times 10^5$ (mol/l)	5,562	4,017	5,448	3,397	4,61	4,547	3,433	4,539	2,254	2,484	2,963	3,126	1,956	1,436
λ_{max} (nm)	493	504	488	401	363 / 488	490	387 / 490	360	596	634	591	605	401 / 642	666
$\lg \epsilon_{max}$	4,082	3,549	4,148	4,012	4,081 / 4,368	4,055	3,619 / 3,790	4,171	4,335	4,299	4,317	4,324	4,345 / 4,398	3,907

Este evident faptul că proporția dintre formele azo-hidrazonice depinde de structura chimică a colorantului, starea fizică a acestora, temperatură și tipul solventului. Se observă că în cazurile menționate structura de tip 2-arilazo-1-naftolică favorizează prezența celor doi tautomeri în amestec în condițiile determinărilor efectuate, în timp ce în cazul compusului (VI) este de presupus că structura de tip 1-arilazo-2-naftolică favorizează existența exclusivă a tautomerului ceto-hidrazonic, lungimea de undă a maximumului de absorbție situându-se în acest caz la 490 nm. Pentru compusul (VIII) structura 4-arilazo-fenolică este de presupus că favorizează forma hidroxi-azoică, fapt confirmat și de valoarea lungimii de undă a maximumului de absorbție situat la 360 nm, în timp ce pentru compusul (IV) cu structură 4-arilazo-5-pirazolonă forma hidrazonică este exclusivă, iar lungimea de undă a maximumului de absorbție se situează la 401 nm.

Spectrele de absorbție în domeniul infraroșu prezintă, în cazul coloranților azoici reactivi vinilsulfonici benzile corespunzătoare elementelor structurale caracteristice componentelor de diazotare și cuplare. Din nefericire pentru grupa reactivă, respectiv restul sulfoxietilsulfonă, nu există benzi de absorbție specifice în domeniul infraroșu pentru vreo secvență din acest rest care să demonstreze cu certitudine prezența sa în structura colorantului investigat. Pentru a certifica prezența restului reactiv, mai util este spectrul de rezonanță magnetică nucleară $^1\text{H-RMN}$.

Vibrația de întindere a grupei hidroxil este ușor de remarcat în domeniul infraroșu datorită faptului că este o bandă largă spre deosebire de cea a grupei amino care este relativ îngustă. Diferența între cele două este greu de făcut dacă există legături de hidrogen puternice sau produsul are apă de cristalizare[113].

Tabelul II.2.7 Rezultatele spectroscopiei de absorbție IR pentru compusii (I-XIV)

Nr. compus	Frecvențe caracteristice (cm ⁻¹) și intensități
I	3555i, 3435i, 2965s, 2910s, 1600i, 1582i, 1422m, 1405m, 1380s, 1363f.i., 1293f.i., 1275f.i., 1250s, 1225i, 1220i, 1180f.i., 1130f.i., 1070m, 1045f.i., 1000f.i., 965s, 890s, 852m, 795m, 773i, 750s, 735f.i., 705m, 653i, 623s, 600s, 570m, 565m, 545s, 535s, 520s, 500s, 480s, 465s, 450s, 420s
II	3390i, 2945s, 2910m, 2840m, 1635f.i., 1600s, 1540i, 1415s, 1350m, 1275i, 1230i, 1200f.i., 1145f.i., 1120f.i., 1050f.i., 890m, 815f.i., 765m, 667f.i., 635s, 550s, 520s, 485s, 465s, 440s
III	3400f.i., 3290f.i., 3140s, 2920s, 2880s, 1663f.i., 1620s, 1585s, 1560f.i., 1468f.i., 1450s, 1400f.i., 1375s, 1350s, 1320s, 1285i, 1250f.i., 1225f.i., 1172s, 1135f.i., 1088m, 1060s, 1030m, 1000i, 945s, 910m, 890m, 830s, 815m, 775i, 733i, 690i, 645i, 600f.i., 570s, 523m, 460s, 435s
IV	3400i, 3350i, 3145i, 3032i, 2922m, 2887m, 2820s, 1615i, 1580f.i., 1540s, 1520m, 1490s, 1428i, 1395f.i., 1320s, 1230i, 1180i, 1170i, 1132f.i., 1020m, 980m, 870s, 815m, 780s, 725m, 655s, 610s, 540s, 510s, 450s, 435s
V	3435i, 2950s, 2890s, 1622f.i., 1590f.i., 1565s, 1550s, 1498f.i., 1450f.i., 1395f.i., 1360s, 1320m, 1290s, 1255f.i., 1225i, 1190s, 1172s, 1135f.i., 1080s, 1050m, 1000f.i., 950s, 875m, 830i, 768f.i., 732i, 700s, 627m, 610s, 583m, 545s, 510s, 450s, 435s
VI	3115i, 2910s, 2835s, 1620i, 1590f.i., 1485m, 1430m, 1382i, 1295f.i., 1210i, 1185s, 1135f.i., 1080i, 1028f.i., 900s, 865s, 820m, 810s, 740f.i., 700s, 670s, 630s, 610i, 580s, 555s, 520s, 450s, 435s
VII	3410i, 2905s, 2825s, 1655i, 1615s, 1585f.i., 1565m, 1550s, 1500f.i., 1470i, 1410s, 1395i, 1355s, 1320m, 1273i, 1220f.i., 1185i, 1170i, 1130f.i., 1080s, 1045f.i., 995f.i., 955s, 875m, 825s, 763f.i., 740i, 720i, 700m, 643m, 620s, 590s, 570s, 520s, 485s, 450s, 435s
VIII	3405f.i., 2930s, 2895s, 1650i, 1615i, 1575f.i., 1475f.i., 1400m, 1372i, 1325i, 1250i, 1175f.i., 1122f.i., 1065m, 1035i, 1010s, 930s, 900s, 870s, 820m, 730m, 705m, 660i, 620i, 515i, 430s
IX	3400f.i., 2960s, 2880s, 1610f.i., 1585f.i., 1560i, 1480f.i., 1405s, 1330i, 1265i, 1210f.i., 1185f.i., 1135f.i., 1040f.i., 980f.i., 885s, 840m, 815m, 735f.i., 705s, 660s, 630f.i., 515f.i., 510f.i., 460s
X	3430f.i., 2900s, 2850s, 1625i, 1600i, 1558i, 1485f.i., 1450s, 1405m, 1375s, 1360s, 1330m, 1280m, 1220i, 1185f.i., 1175f.i., 1120i, 1075s, 1040f.i., 1010m, 985s, 830s, 805s, 790s, 735i, 680m, 655m, 635m, 610m, 550s, 515s, 450s, 435s
XI	3410f.i., 2910s, 2850s, 1735s, 1655f.i., 1625s, 1585f.i., 1489f.i., 1380s, 1360m, 1280s, 1250m, 1215f.i., 1130f.i., 1045f.i., 990f.i., 880m, 835m, 820m, 750m, 735m, 700s, 655s, 620f.i., 560s, 530s, 450s, 435s
XII	3380f.i., 2910s, 2865s, 2810s, 1615i, 1585i, 1482f.i., 1395s, 1370s, 1335i, 1280s, 1200i, 1180i, 1110f.i., 1040f.i., 995i, 880s, 830m, 720m, 660m, 630s, 615s, 560s, 550s, 520s, 480s, 450s, 415s
XIII	3330i, 3270i, 3140s, 2910s, 2850s, 1670i, 1620s, 1575f.i., 1480f.i., 1450f.i., 1390f.i., 1320f.i., 1275s, 1200i, 1190i, 1155s, 1115m, 1080i, 1070i, 1035i, 990f.i., 930s, 910m, 850s, 830m, 720f.i., 655f.i., 600f.i., 535s, 520s, 475s, 435s
XIV	3415i, 3360i, 3180i, 3030s, 2940s, 2880s, 1615f.i., 1580f.i., 1480f.i., 1455f.i., 1420f.i., 1385f.i., 1290f.i., 1250m, 1200f.i., 1190f.i., 1130f.i., 1065f.i., 990m, 950m, 835f.i., 825f.i., 800f.i., 750f.i., 710s, 700m, 668i, 650i, 610s, 565i, 530s, 490s, 470s, 435s

În cazul compușilor studiați coloranții cu grupe hidroxil prezintă legături de hidrogen intramoleculare datorită vecinătății grupei azo, astfel că apar benzi largi corespunzătoare vibrației de întindere a grupei hidroxil (ν_{OH}) care sunt deplasate spre 3200 cm⁻¹.

Vibrațiile de întindere în cazul grupelor amino primare se regăsesc sub forma a două benzi corespunzătoare vibrației simetrice și asimetrice acestea fiind decelabile în domeniul 3500-3300 cm⁻¹, având intensități mai reduse decât cele corespunzătoare grupelor hidroxil.

Vibrațiile de întindere ale grupelor metilenice din grupa sulfoxietilsulfonică se regăsesc în domeniul 3100-2850 cm⁻¹ și sunt foarte slabe ca intensitate, în acest caz mai utile pentru confirmarea structurii fiind spectrele de rezonanță magnetică nucleară ¹H-RMN[114].

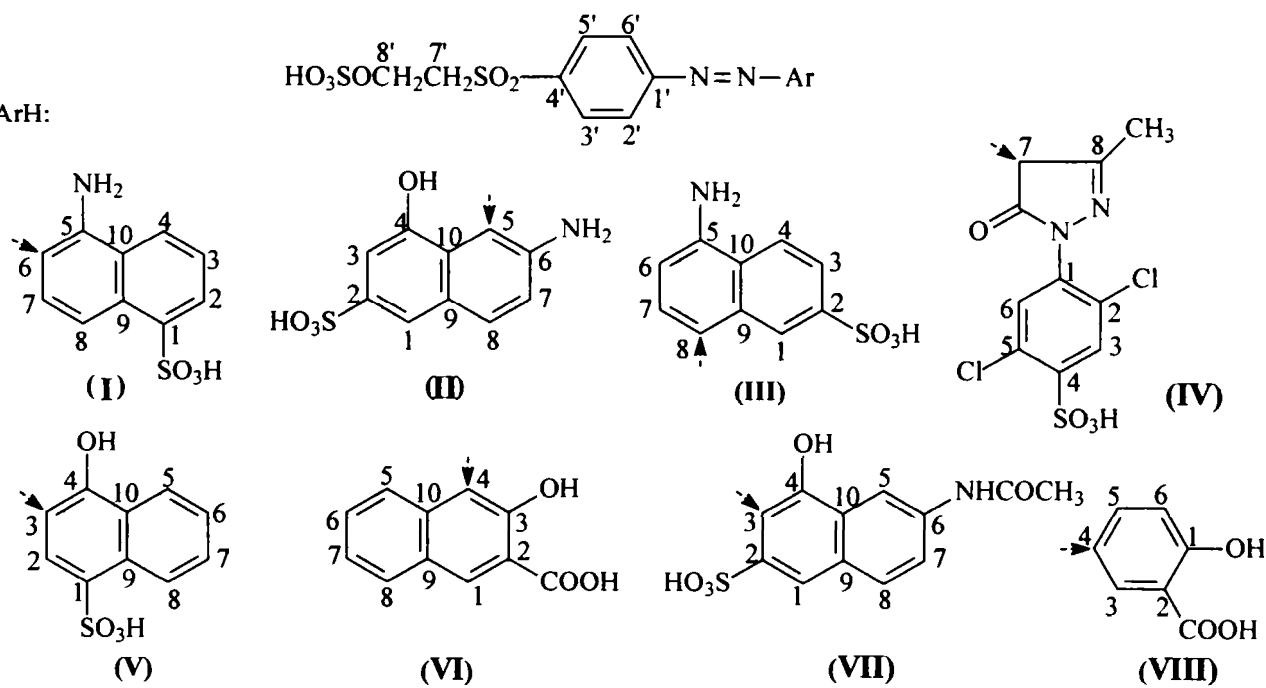
Pentru grupele carbonil se remarcă prezența celor mai intense benzi de absorbție situate în domeniul $1620-1570\text{ cm}^{-1}$ în aceeași zonă cu frecvența de întindere a grupelor etilenice. Tot aici apare și o vibrație de deformare a grupei amino primară. În zona $1650-1600\text{ cm}^{-1}$ se situează și vibrația de întindere a grupelor azometinice caracteristice ftalocianinelor, în timp ce pentru grupa azo așa cum se cunoaște nu se poate defini o zonă de absorbție caracteristică în domeniul infraroșu[115-116].

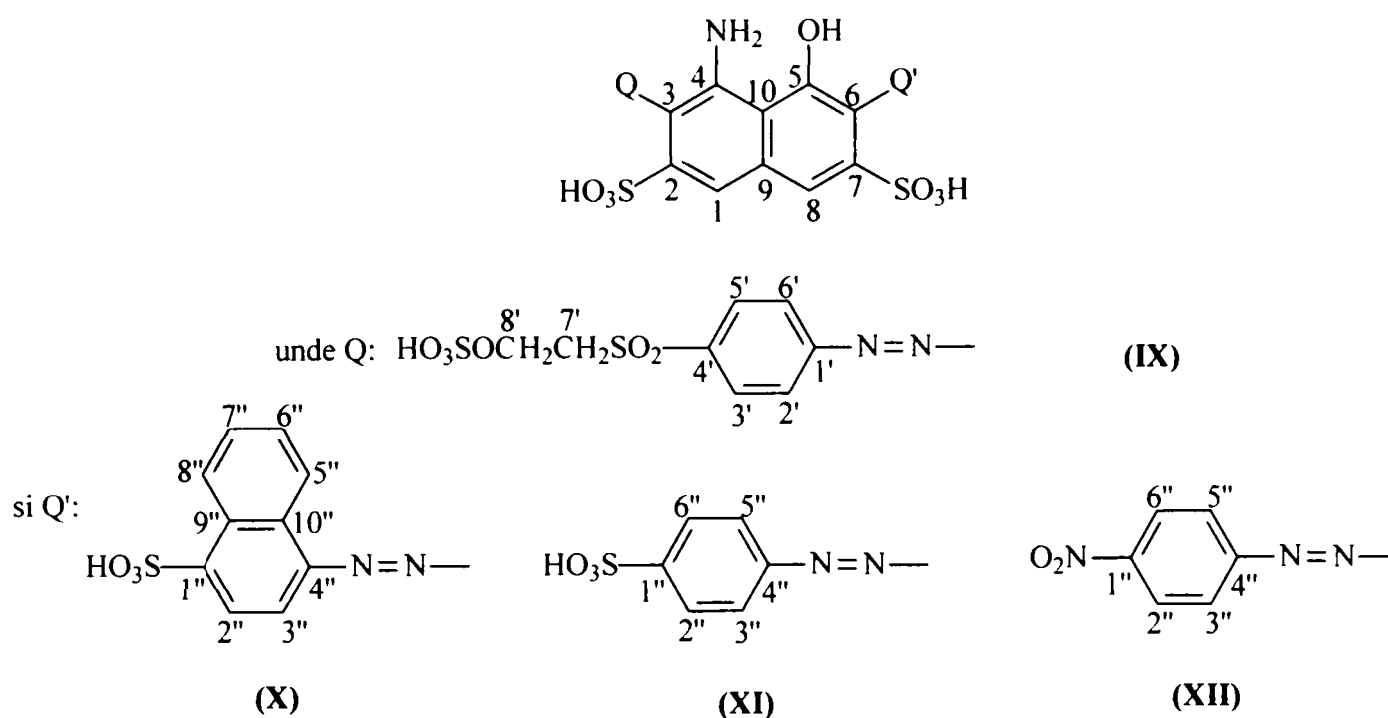
În cazul compusului (XII) grupa nitro prezintă două benzi puternice, largi situate la 1517 cm^{-1} și 1333 cm^{-1} , în timp ce gruparea sulfonă dă absorbții puternice caracteristice vibrațiilor de întindere asimetrică și simetrică în zone în care se regăsesc și alte funcțiuni. Grupa sulfonică prezintă o bandă largă, caracteristică la 1200 cm^{-1} , însoțită de mai multe benzi în regiunea $1080-1010\text{ cm}^{-1}$ [117].

Colorantul (XIII) cu structură stilbentrisazoică prezintă ca principale benzi caracteristice, pe lângă cele corespunzătoare inelelor benzenice, benzi largi intense situate la 3330 cm^{-1} , respectiv 3270 cm^{-1} corespunzătoare suprapunerii vibrațiilor de întindere ale grupei hidroxil (ν_{OH}) cu vibrațiile de întindere simetrică și asimetrică ale grupei amino primare (ν_{NH_2}). De asemenea în spectru se remarcă și și frecvența de întinderea a grupelor etilenice situată la 1670 cm^{-1} , pe lângă benzile caracteristice grupelor sulfonice și restului aromatic cu grupă sulfoxietilsulfonică.

Compusul (XIV) cu structură ftalocianinică are ca principale benzi caracteristice, pe lângă cele ce sunt atribuite restului aromatic purtător al grupei reactive sulfoxietilsulfonice și a benzilor caracteristice grupelor sulfonice, o bandă largă intensă situată la 3360 cm^{-1} datorată vibrației de întindere a grupei amino ν_{NH_2} , benzi intense corespunzătoare vibrațiilor de schelet ale ciclului porfirinic situate la $1130, 800$ și 650 cm^{-1} , precum și vibrația de deformare în afara planului a grupei CH pirolice (γ_{CH}) situată la 835 cm^{-1} [118].

unde ArH:





Schema II.9. Localizarea atomilor pentru spectrele ^1H și ^{13}C -RMN

Examinarea spectrelor ^1H -RMN și ^{13}C -RMN ale compușilor sintetizați a condus la concluzia că în $(\text{CD}_3)_2\text{SO}$, protonii din ciclul benzenic aparținând restului aromatic care conține grupa sulfoxietilsulfonică se situează astfel: H-2', H-6' la $\delta=7,90\text{-}8,56$ ppm având o constantă de cuplaj *orto*, $J_o=7,44\text{-}9,98$ Hz, iar protonii H-3', H-5' se situează la $\delta=7,72\text{-}8,31$ ppm.

Pentru structura componentelor de cuplare în cazul compușilor (I-VIII), conform informațiilor furnizate de spectrul COSY (Homonuclear Correlation) se stabilește poziția protonilor confirmându-se influența diferiților substituenți existenți asupra deplasării la care se regăsesc aceștia. Se remarcă faptul că în cazul tuturor compușilor sintetizați protonii vecini grupelor sulfonice sunt puternic dezecranați ei situându-se la o valoare a deplasării chimice $\delta=7,95\text{-}8,50$ ppm. În majoritatea cazurilor acești protoni sunt prezenți în spectru ca singlet.

Tabel II.2.8 Rezultatele spectrometriei ^1H -RMN pentru compușii (I-XIV)

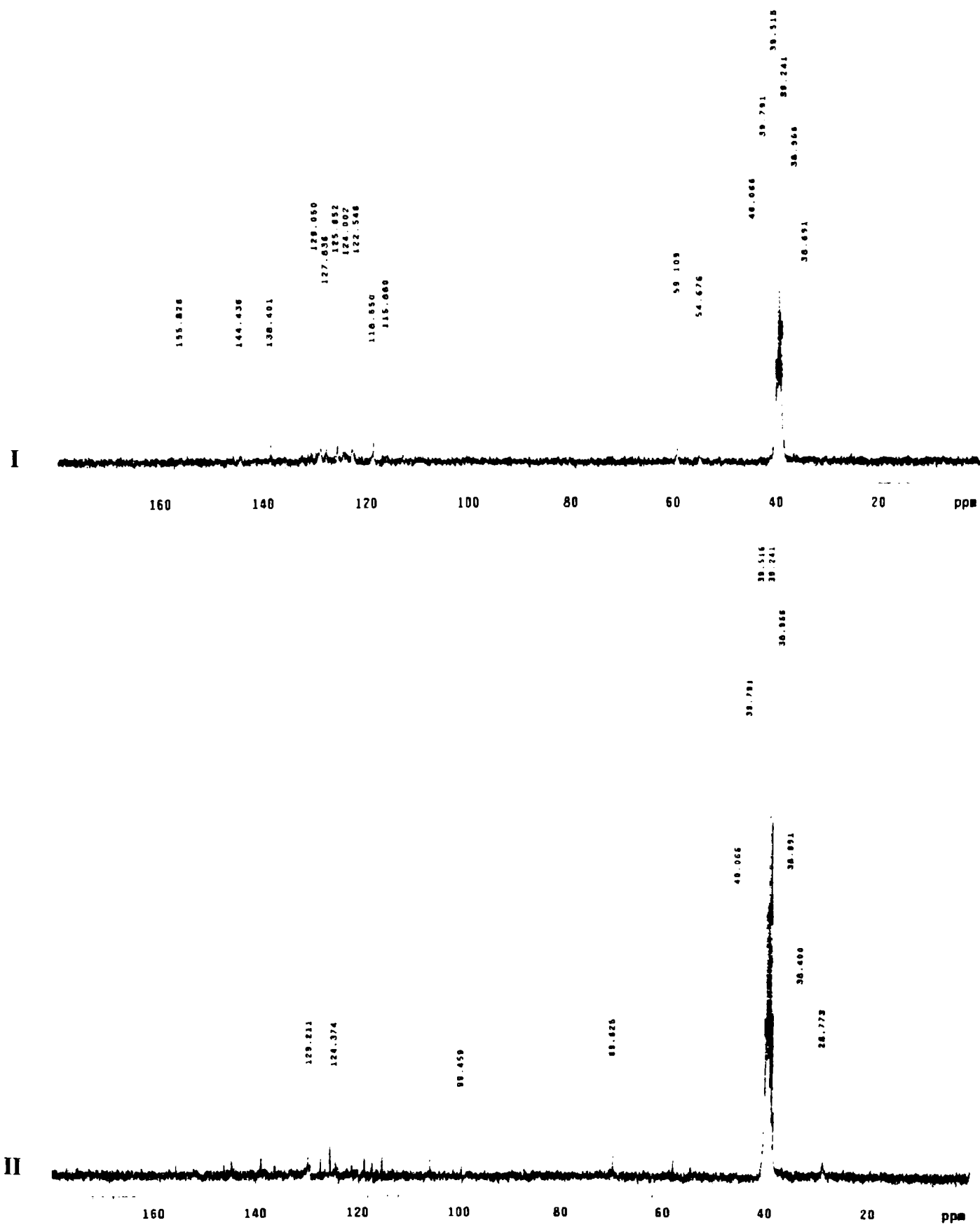
Nr. compus	^1H -RMN ($(\text{CD}_3)_2\text{SO}$)	
I	H ₂ – 8,15 ppm (d), $J_o=8,03$ Hz H ₃ – 7,45 ppm (t), $J_o=8,03$ Hz H ₄ – 7,73 ppm (d), $J_o=8,03$ Hz H ₇ – 7,99 ppm (d), $J_o=8,16$ Hz H ₈ – 8,47 ppm (d), $J_o=8,16$ Hz	H ₂ , H ₆ ' – 8,15 ppm (d), $J_o=7,57$ Hz H ₃ ', H ₅ ' – 8,07 ppm (d), $J_o=7,57$ Hz H ₇ ' – 3,68 ppm (t), $J_o=6,6$ Hz H ₈ ' – 3,98 ppm (t), $J_o=6,6$ Hz
II	H ₁ – 7,98 ppm (s) H ₃ – 7,54 ppm (s) H ₇ – 7,21 ppm (d), $J_o=8,2$ Hz H ₈ – 7,91 ppm (d), $J_o=8,2$ Hz OH - 5,4 ppm (s)	H ₂ ', H ₆ ' – 8,13 ppm (d), $J_o=7,6$ Hz H ₃ ', H ₅ ' – 8,05 ppm (d), $J_o=7,6$ Hz H ₇ ' – 3,61 ppm (t), $J_o=6,6$ Hz H ₈ ' – 3,92 ppm (t), $J_o=6,6$ Hz
III	H ₁ – 8,50 ppm (s) H ₃ – 7,88 ppm (d), $J_o=8,96$ Hz H ₄ – 8,02 ppm (d), $J_o=8,96$ Hz H ₆ – 6,82 ppm (d), $J_o=8,66$ Hz H ₇ – 7,70 ppm (d), $J_o=8,66$ Hz	H ₂ ', H ₆ ' – 8,20 ppm (d), $J_o=7,84$ Hz H ₃ ', H ₅ ' – 8,02 ppm (d), $J_o=7,84$ Hz H ₇ ' – 3,67 ppm (t), $J_o=6,8$ Hz H ₈ ' – 3,99 ppm (t), $J_o=6,8$ Hz

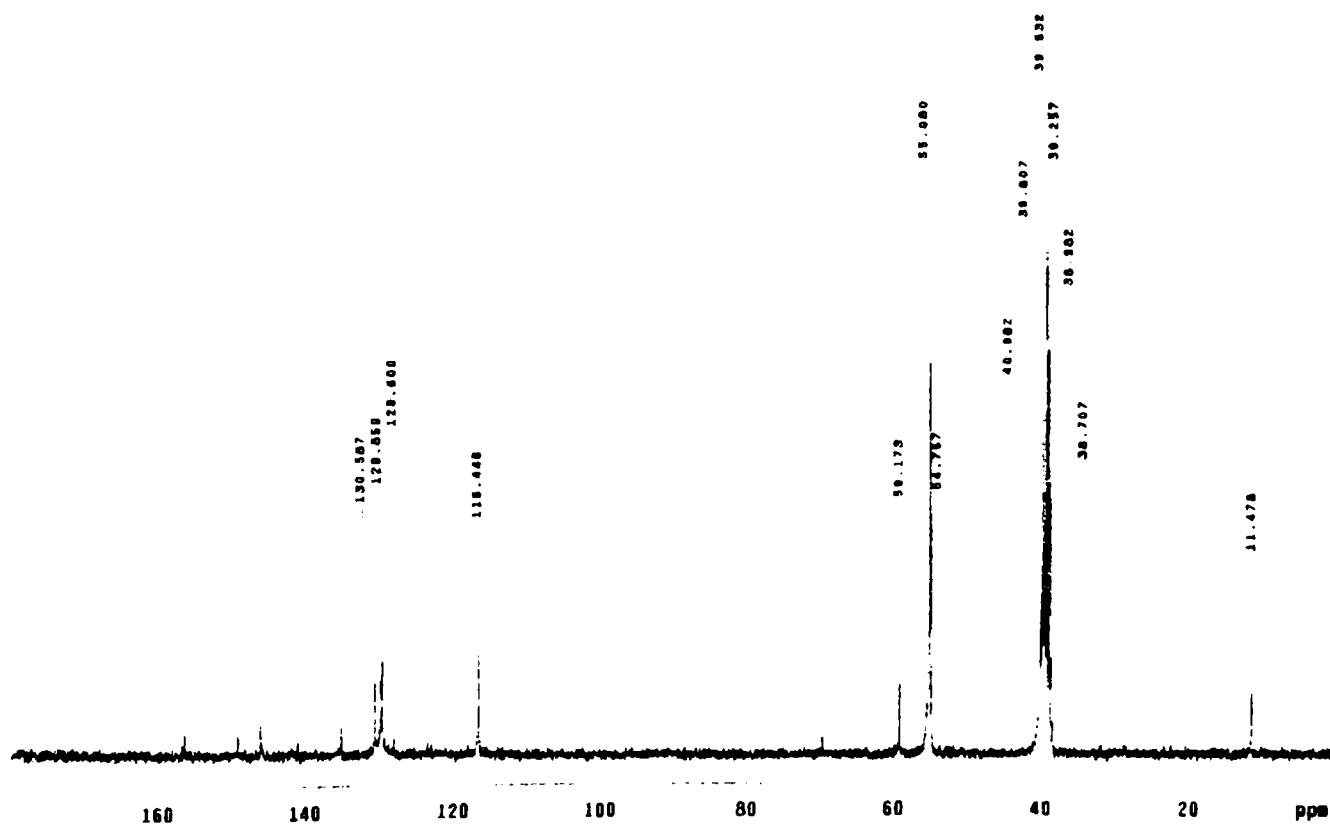
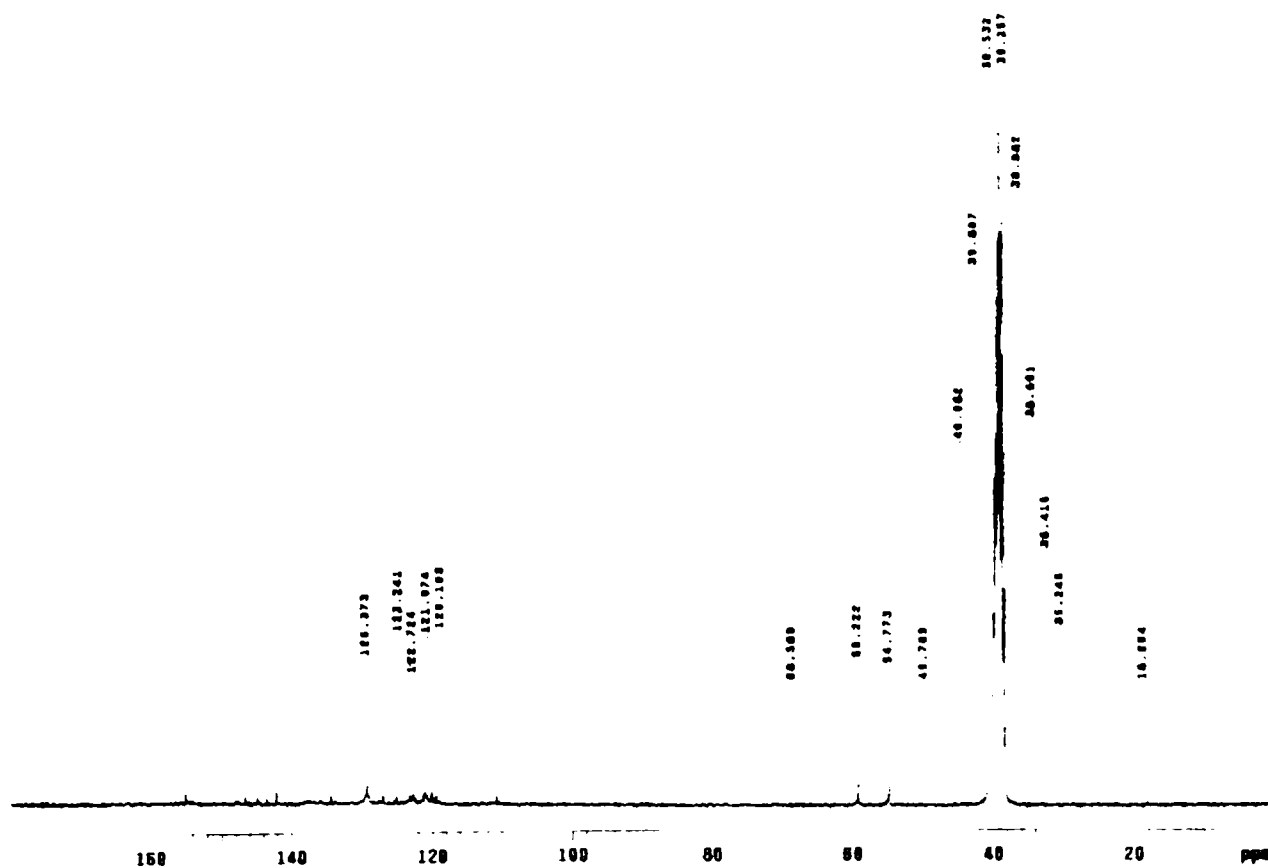
Nr. compus	¹ H-RMN ((CD ₃) ₂ SO)		
IV	H ₃ – 7,64 ppm (s) H ₆ – 8,00 ppm (s) H ₇ – 3,72 ppm (s) OH – 5,26 ppm (s)	H ₂ , H ₆ ' – 7,91 ppm (d), J _o =8,7 Hz H ₃ ', H ₅ ' – 7,84 ppm (d), J _o =8,7 Hz H ₇ ' – 3,62 ppm (t), J _o =6,9 Hz H ₈ ' – 3,94 ppm (t), J _o =6,9 Hz	
V	H ₂ – 7,95 ppm (s) H ₅ – 7,97 ppm (d), J _o =7,6 Hz H ₆ – 7,74 ppm (t), J _o =7,6 Hz H ₇ – 7,54 ppm (t), J _o =7,6 Hz H ₈ – 7,64 ppm (d), J _o =7,6 Hz	H ₂ , H ₆ ' – 8,56 ppm (d), J _o =7,84 Hz H ₃ ', H ₅ ' – 8,31 ppm (d), J _o =7,84 Hz H ₇ ' – 3,65 ppm (t), J _o =6,8 Hz H ₈ ' – 3,96 ppm (t), J _o =6,8 Hz	
VI	H ₁ – 8,52 ppm (s) H ₅ – 8,81 ppm (d), J _o =8,55 Hz H ₆ – 7,31 ppm (t), J _o =8,55 Hz H ₇ – 7,56 ppm (t), J _o =8,55 Hz H ₈ – 7,69 ppm (d), J _o =8,55 Hz	H ₂ , H ₆ ' – 8,05 ppm (d), J _o =7,44 Hz H ₃ ', H ₅ ' – 7,99 ppm (d), J _o =7,44 Hz H ₇ ' – 3,69 ppm (t), J _o =6,65 Hz H ₈ ' – 4,00 ppm (t), J _o =6,65 Hz	
VII	H ₁ – 8,22 ppm (s) H ₅ – 7,48 ppm (s) H ₇ – 7,38 ppm (d), J _o =8,15 Hz H ₈ – 7,60 ppm (d), J _o =8,15 Hz	H ₂ , H ₆ ' – 8,15 ppm (d), J _o =7,74 Hz H ₃ ', H ₅ ' – 8,03 ppm (d), J _o =7,74 Hz H ₇ ' – 3,69 ppm (t), J _o =6,6 Hz H ₈ ' – 4,02 ppm (t), J _o =6,6 Hz	
VIII	H ₃ – 8,3 ppm (s) H ₅ – 7,84 ppm (d), J _o =8,9 Hz H ₆ – 7,15 ppm (t), J _o =8,9 Hz OH – 5,45 ppm (s)	H ₂ , H ₆ ' – 8,09 ppm (d), J _o =7,6 Hz H ₃ ', H ₅ ' – 7,91 ppm (d), J _o =7,6 Hz H ₇ ' – 3,68 ppm (t), J _o =6,65 Hz H ₈ ' – 3,97 ppm (t), J _o =6,65 Hz	
IX	H ₁ – 8,0 ppm (s) H ₈ – 8,09 ppm (s) OH – 5,42 ppm (s)	H ₂ , H ₆ ' – 8,25 ppm (d), J _o =8,23 Hz H ₃ ', H ₅ ' – 7,91 ppm (d), J _o =8,23 Hz H ₇ ' – 3,64 ppm (t), J _o =6,65 Hz H ₈ ' – 3,97 ppm (t), J _o =6,65 Hz	
X	H ₁ – 8,0 ppm (s) H ₈ – 8,05 ppm (s) OH – 5,4 ppm (s)	H ₂ , H ₆ ' – 8,22 ppm (d), J _o =8,23 Hz H ₃ ', H ₅ ' – 8,13 ppm (d), J _o =8,23 Hz H ₇ ' – 3,7 ppm (t), J _o =6,65 Hz H ₈ ' – 4,0 ppm (t), J _o =6,65 Hz	H ₂ '' – 8,03 ppm (d), J _o =8,9 Hz H ₃ '' – 8,27 ppm (d), J _o =8,9 Hz H ₅ '' – 7,51 ppm (d), J _o =10,68 Hz H ₆ '' – 7,68 ppm (t), J _o =7,6 Hz H ₇ '' – 7,78 ppm (t), J _o =7,6 Hz H ₈ '' – 7,51 ppm (d), J _o =10,68 Hz
XI	H ₁ – 7,99 ppm (s) H ₈ – 8,02 ppm (s) OH – 5,3 ppm (s)	H ₂ , H ₆ ' – 7,90 ppm (d), J _o =8,25 Hz H ₃ ', H ₅ ' – 7,72 ppm (d), J _o =8,25 Hz H ₇ ' – 3,64 ppm (t), J _o =6,65 Hz H ₈ ' – 3,97 ppm (t), J _o =6,65 Hz	H ₂ ''', H ₆ ''' – 7,65 ppm (d), J _o =8,23 Hz H ₃ ''', H ₅ ''' – 7,85 ppm (d), J _o =8,23 Hz
XII	H ₁ – 7,45 ppm (s) H ₈ – 7,48 ppm (s) OH – 5,27 ppm (s)	H ₂ , H ₆ ' – 7,99 ppm (d), J _o =9,98 Hz H ₃ ', H ₅ ' – 7,92 ppm (d), J _o =9,98 Hz H ₇ ' – 3,64 ppm (t), J _o =6,75 Hz H ₈ ' – 3,73 ppm (t), J _o =6,75 Hz	H ₂ ''', H ₆ ''' – 8,26 ppm (d), J _o =8,90 Hz H ₃ ''', H ₅ ''' – 8,39 ppm (d), J _o =8,90 Hz
XIII	-CH=CH- =6,98 ppm (d); OH = 5,45 ppm (s); -SO ₂ CH ₂ - = 3,73 ppm (t); -CH ₂ OSO ₃ H = 4,09 ppm (t); Ar-H = 7,7-8,4 ppm (m)		
XIV	-SO ₂ NH- =6,19 ppm (s); H ₂ , H ₆ ' – 6,64 ppm (d), H ₃ ', H ₅ ' – 7,43 ppm (d), J _o =8,20 Hz; -SO ₂ CH ₂ - = 3,83 ppm (t); -CH ₂ OSO ₃ H = 4,10 ppm (t); Ar-H (ftalocianinic) = 6,85-6,98 ppm (m)		

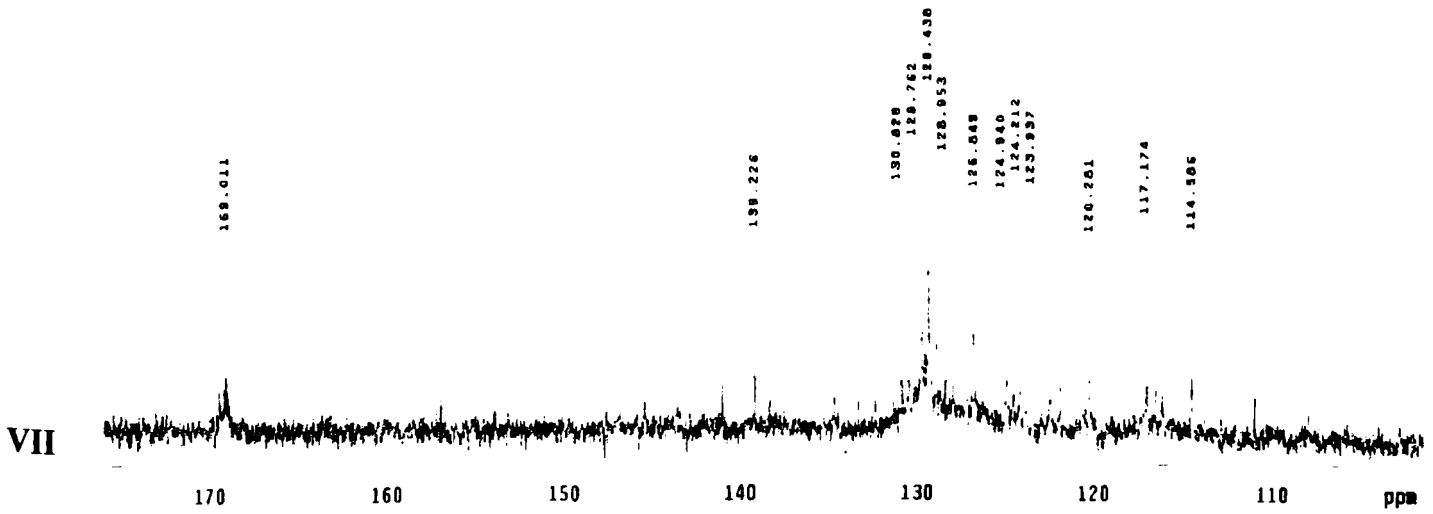
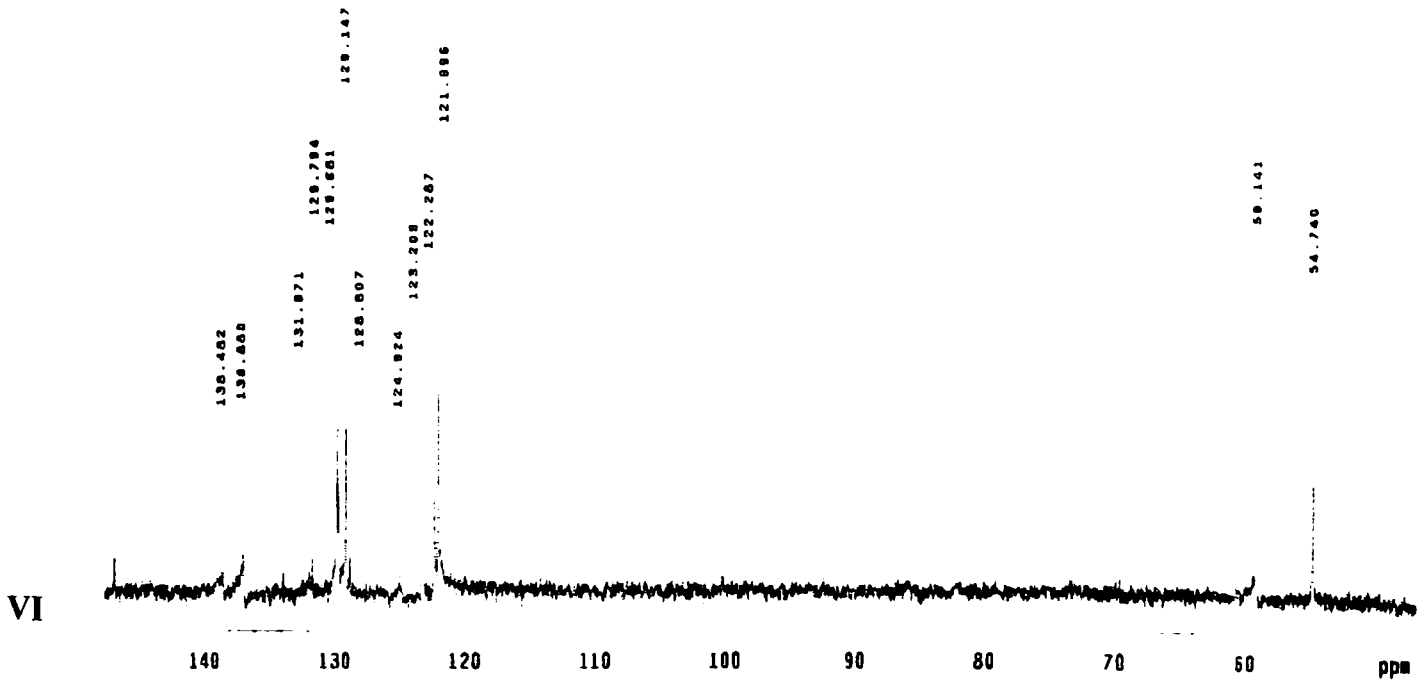
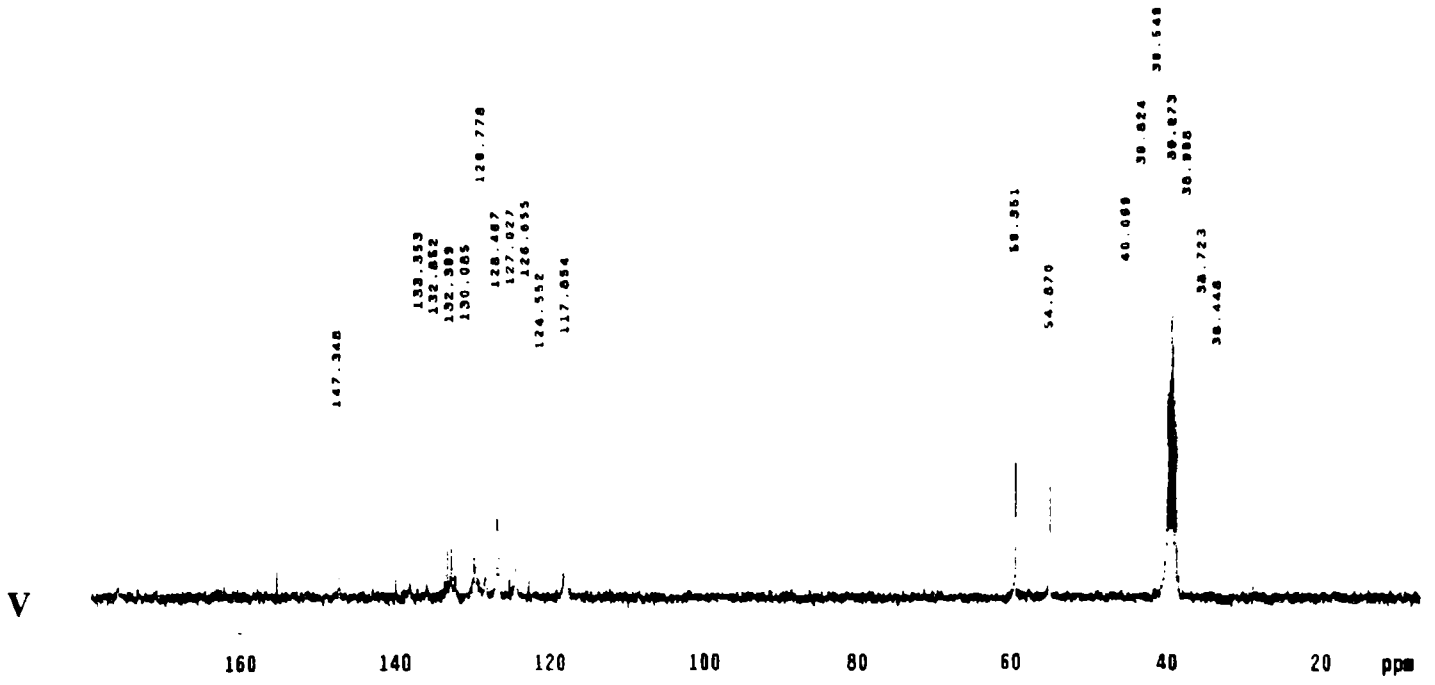
Tabel II.2.9 Rezultatele spectrometriei ^{13}C -RMN pentru compusii (I-XIV)

Nr. compus	^{13}C -RMN ($(\text{CD}_3)_2\text{SO}$) – (ppm)
I	$C_1=146,010$; $C_2=127,836$; $C_3=124,002$; $C_4=125,652$; $C_5=132,390$; $C_6=131,240$; $C_7=118,550$; $C_8=115,880$; $C_9=130,580$; $C_{10}=129,870$; $C_{1'}=155,826$; $C_{2'}=C_{6'}=122,546$; $C_{3'}=C_{5'}=129,050$; $C_{4'}=144,436$; $C_{7'}=54,676$; $C_{8'}=59,109$
II	$C_1=115,893$; $C_2=137,432$; $C_3=105,856$; $C_4=147,576$; $C_5=125,672$; $C_6=138,125$; $C_7=118,325$; $C_8=130,263$; $C_9=126,854$; $C_{10}=118,343$; $C_{1'}=154,753$; $C_{2'}=C_{6'}=124,374$; $C_{3'}=C_{5'}=129,211$; $C_{4'}=143,346$; $C_{7'}=54,335$; $C_{8'}=58,211$
III	$C_1=125,173$; $C_2=142,546$; $C_3=121,656$; $C_4=122,724$; $C_5=147,671$; $C_6=111,241$; $C_7=119,456$; $C_8=143,523$; $C_9=126,882$; $C_{10}=134,292$; $C_{1'}=155,822$; $C_{2'}=C_{6'}=123,241$; $C_{3'}=C_{5'}=129,373$; $C_{4'}=145,714$; $C_{7'}=54,773$; $C_{8'}=59,222$
IV	$C_1=146,086$; $C_2=128,079$; $C_3=129,290$; $C_4=141,243$; $C_5=129,859$; $C_6=123,175$; $C_7=69,183$; $C_8=155,675$; $C_{1'}=156,182$; $C_{2'}=C_{6'}=123,456$; $C_{3'}=C_{5'}=129,600$; $C_{4'}=149,192$; $C_{7'}=54,757$; $C_{8'}=59,173$; $\text{CO} = 168,123$
V	$C_1=133,580$; $C_2=118,080$; $C_3=130,312$; $C_4=147,348$; $C_5=124,552$; $C_6=126,655$; $C_7=128,467$; $C_8=127,027$; $C_9=132,852$; $C_{10}=125,144$; $C_{1'}=155,443$; $C_{2'}=C_{6'}=123,414$; $C_{3'}=C_{5'}=130,085$; $C_{4'}=140,909$; $C_{7'}=54,870$; $C_{8'}=59,351$
VI	$C_1=136,880$; $C_2=121,996$; $C_3=146,800$; $C_4=134,481$; $C_5=124,924$; $C_6=129,681$; $C_7=122,287$; $C_8=129,794$; $C_9=128,807$; $C_{10}=131,654$; $C_{1'}=157,240$; $C_{2'}=C_{6'}=123,193$; $C_{3'}=C_{5'}=130,506$; $C_{4'}=138,482$; $C_{7'}=54,740$; $C_{8'}=59,141$
VII	$C_1=114,586$; $C_2=130,829$; $C_3=128,953$; $C_4=141,273$; $C_5=111,445$; $C_6=145,128$; $C_7=120,281$; $C_8=127,945$; $C_9=128,230$; $C_{10}=124,940$; $C_{1'}=157,125$; $C_{2'}=C_{6'}=123,937$; $C_{3'}=C_{5'}=126,849$; $C_{4'}=139,226$; $C_{7'}=54,724$; $C_{8'}=59,190$
VIII	$C_1=168,860$; $C_2=122,934$; $C_3=129,131$; $C_4=147,730$; $C_5=129,357$; $C_6=118,517$; $\text{COOH}=170,969$; $C_{1'}=159,890$; $C_{2'}=C_{6'}=122,627$; $C_{3'}=C_{5'}=127,610$; $C_{4'}=139,598$; $C_{7'}=54,935$; $C_{8'}=59,384$
IX	$C_1=117,595$; $C_2=138,125$; $C_3=132,315$; $C_4=129,541$; $C_5=138,743$; $C_6=129,228$; $C_7=137,121$; $C_8=117,270$; $C_9=137,941$; $C_{10}=113,890$; $C_{1'}=156,234$; $C_{2'}=C_{6'}=123,360$; $C_{3'}=C_{5'}=128,953$; $C_{4'}=141,313$; $C_{7'}=54,676$; $C_{8'}=59,125$
X	$C_1=116,214$; $C_2=138,321$; $C_3=133,121$; $C_4=130,114$; $C_5=139,040$; $C_6=129,309$; $C_7=137,143$; $C_8=119,431$; $C_9=137,418$; $C_{10}=115,343$; $C_{1'}=157,518$; $C_{2'}=C_{6'}=123,918$; $C_{3'}=C_{5'}=127,195$; $C_{4'}=141,315$; $C_{7'}=54,916$; $C_{8'}=59,416$
XI	$C_1=116,228$; $C_2=138,345$; $C_3=132,118$; $C_4=130,128$; $C_5=138,798$; $C_6=130,131$; $C_7=137,447$; $C_8=118,919$; $C_9=137,514$; $C_{10}=115,518$; $C_{1'}=157,328$; $C_{2'}=C_{6'}=123,744$; $C_{3'}=C_{5'}=126,818$; $C_{4'}=141,212$; $C_{7'}=54,219$; $C_{8'}=59,891$
XII	$C_1=117,644$; $C_2=136,414$; $C_3=133,325$; $C_4=129,713$; $C_5=139,121$; $C_6=129,148$; $C_7=136,345$; $C_8=118,433$; $C_9=135,818$; $C_{10}=115,914$; $C_{1'}=156,861$; $C_{2'}=C_{6'}=123,662$; $C_{3'}=C_{5'}=125,054$; $C_{4'}=141,685$; $C_{7'}=55,355$; $C_{8'}=59,416$; $C_{1''}=158,413$; $C_{2''}=C_{3''}=C_{5''}=C_{6''}=123,662$; $C_{4''}=160,143$
XIII	$-\text{CH}=\text{CH}- = 125,342$; $\text{C}-\text{OH} = 160,213$; $\text{C}-\text{SO}_3\text{H} = 140,125$; $C_1=116,213$; $C_2=119,314$; $C_{2'}=C_{6'}=123,785$; $C_{3'}=C_{5'}=125,833$; $C_{7'}=55,478$; $C_{8'}=59,253$;
XIV	$-\text{C}=\text{N}- = 118,314$; $\text{C}-\text{SO}_3\text{H} = 142,125$; $C_{2'}=C_{6'}=116,255$; $C_{3'}=C_{5'}=128,139$; $C_{7'}=54,313$; $C_{8'}=58,724$;

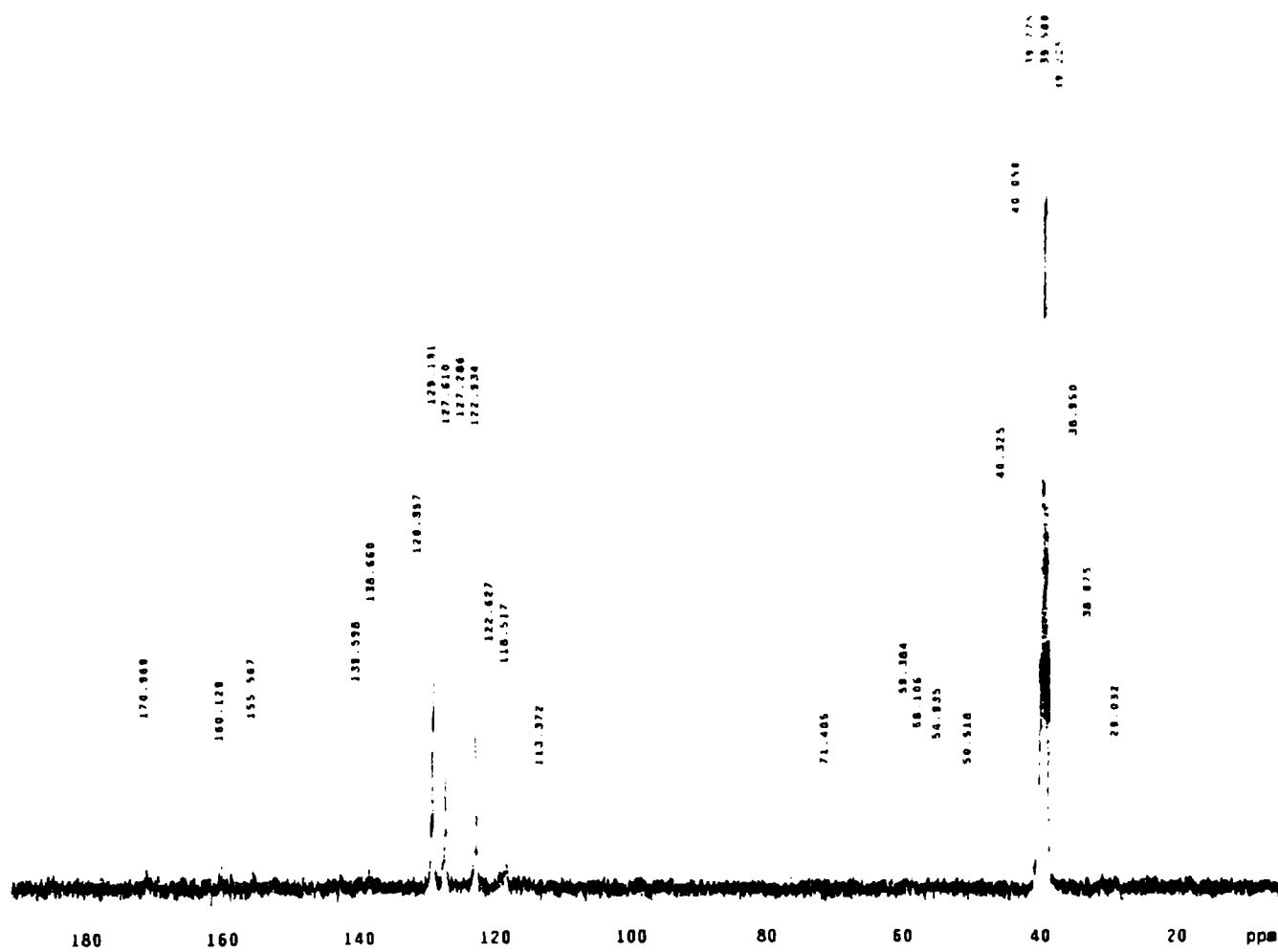
Deplasările chimice pentru ceilalți protoni se situează în funcție de vecinătăți la o valoare $\delta=6,82-7,97$ ppm, fiind puternic influențați de prezența grupelor amino și hidroxi din moleculă. Multiplicitatea semnalelor, scindările acestora și constantele de cuplaj confirmă poziția acestor protoni (anexa II).

Fig.. II.2.1. Spectrele ^{13}C -RMN ale compușilor (I – XIV)

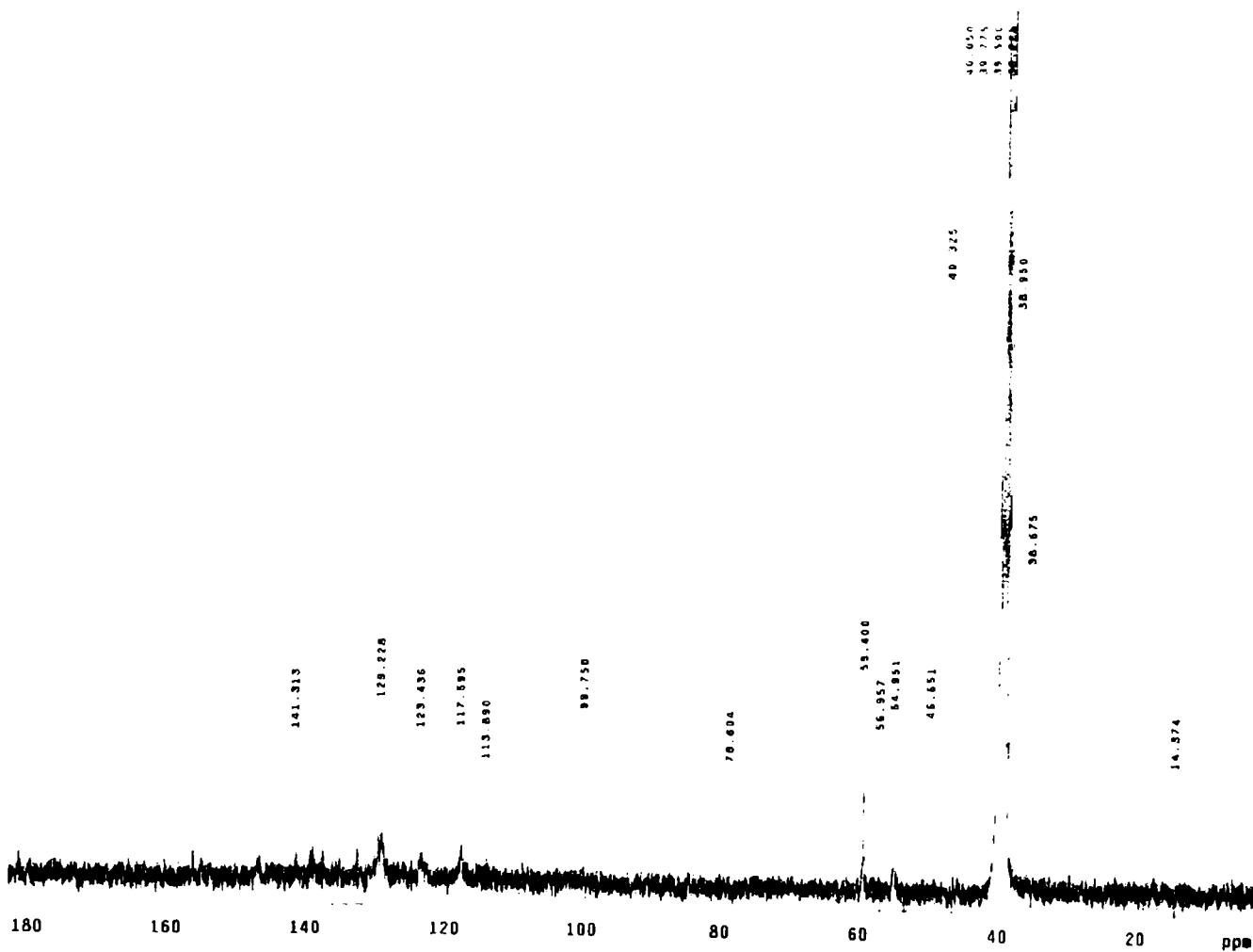


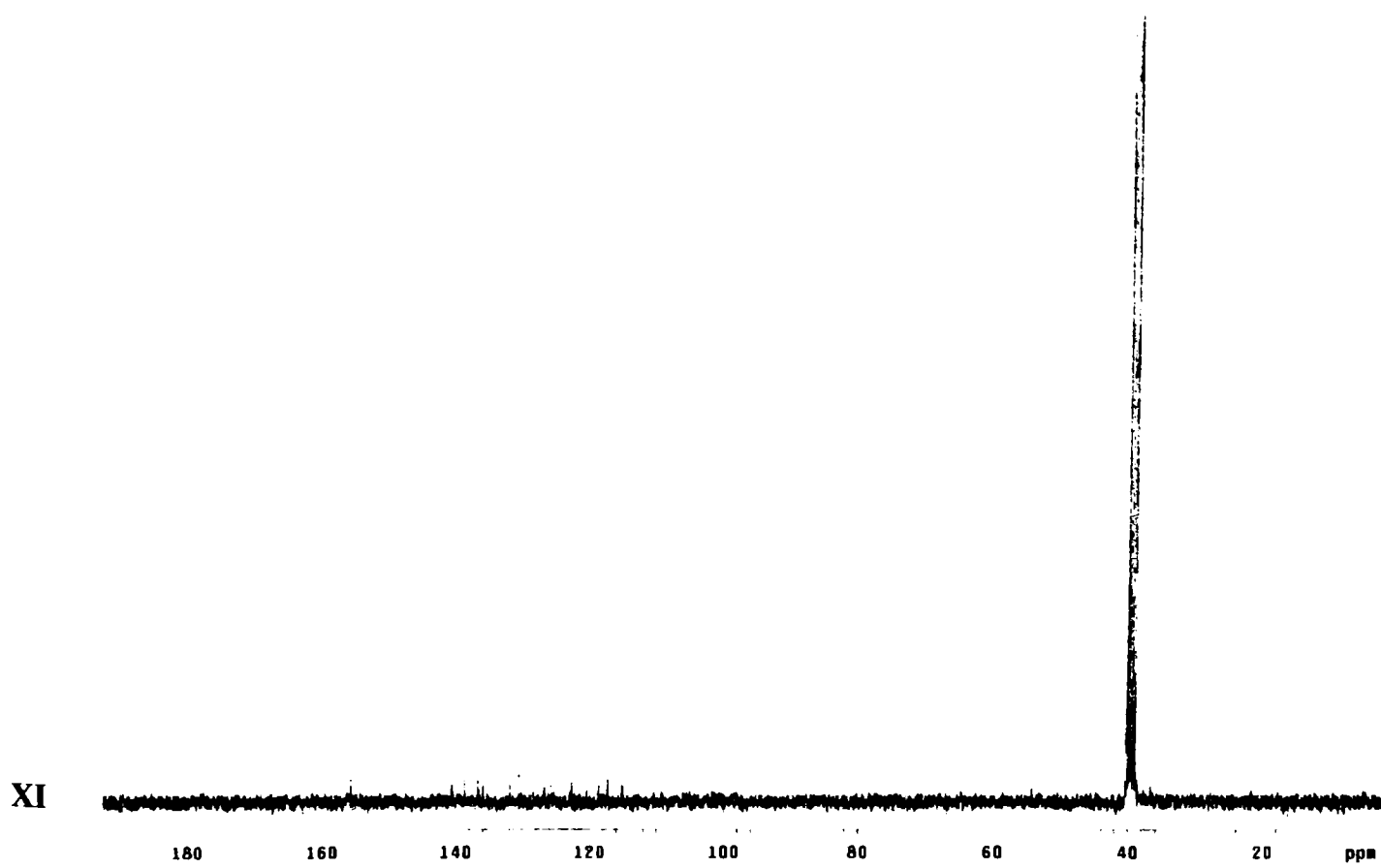
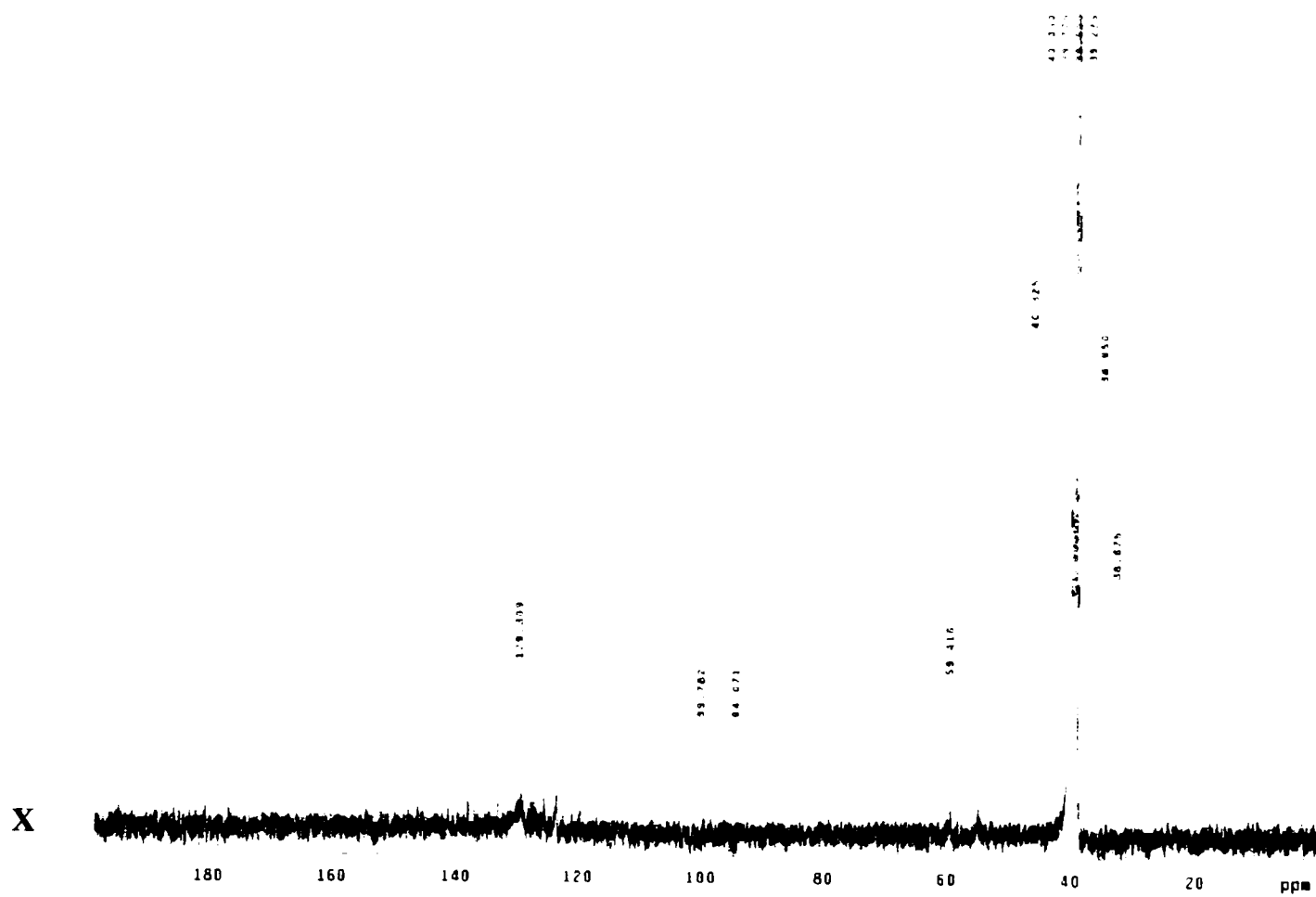


VIII

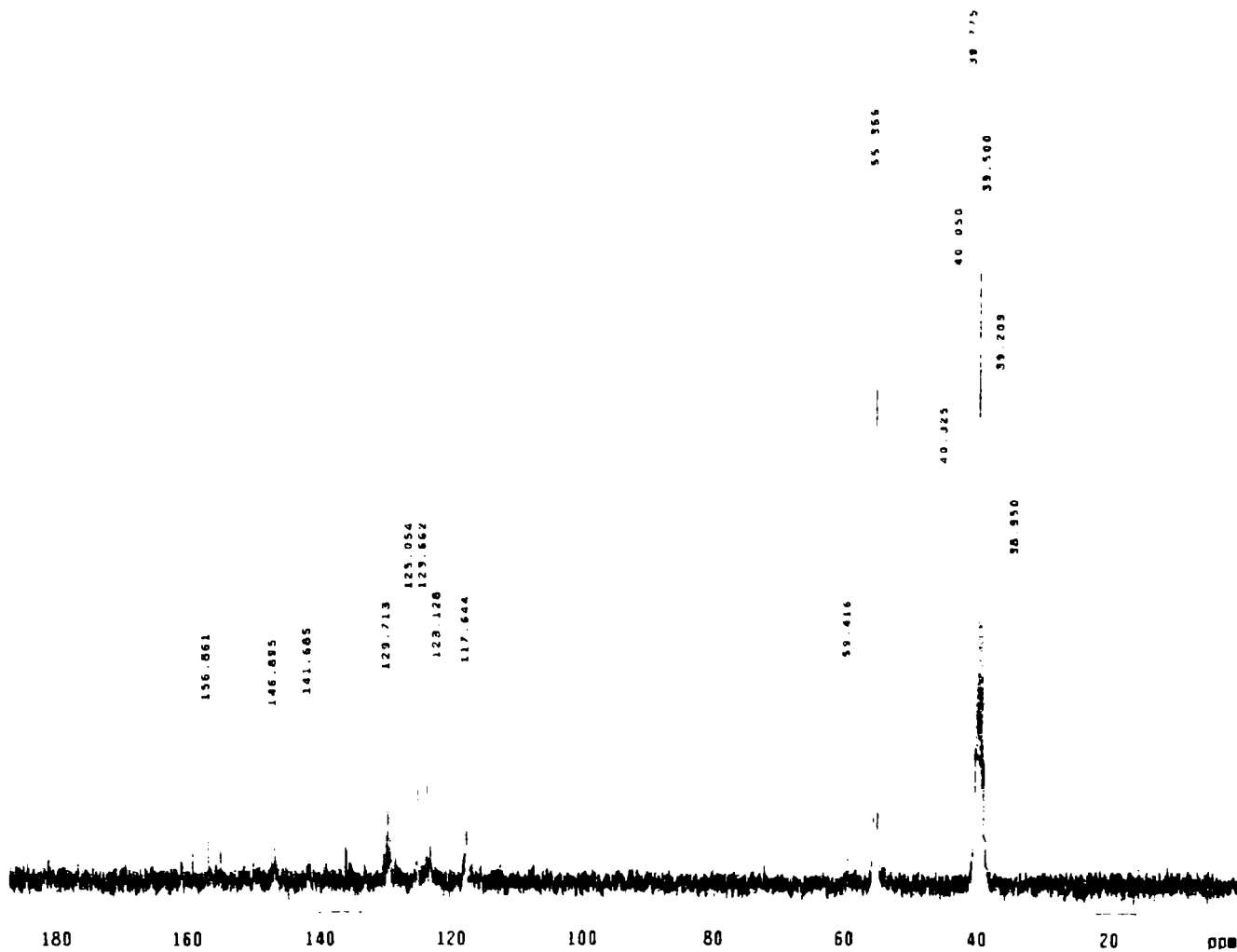


IX

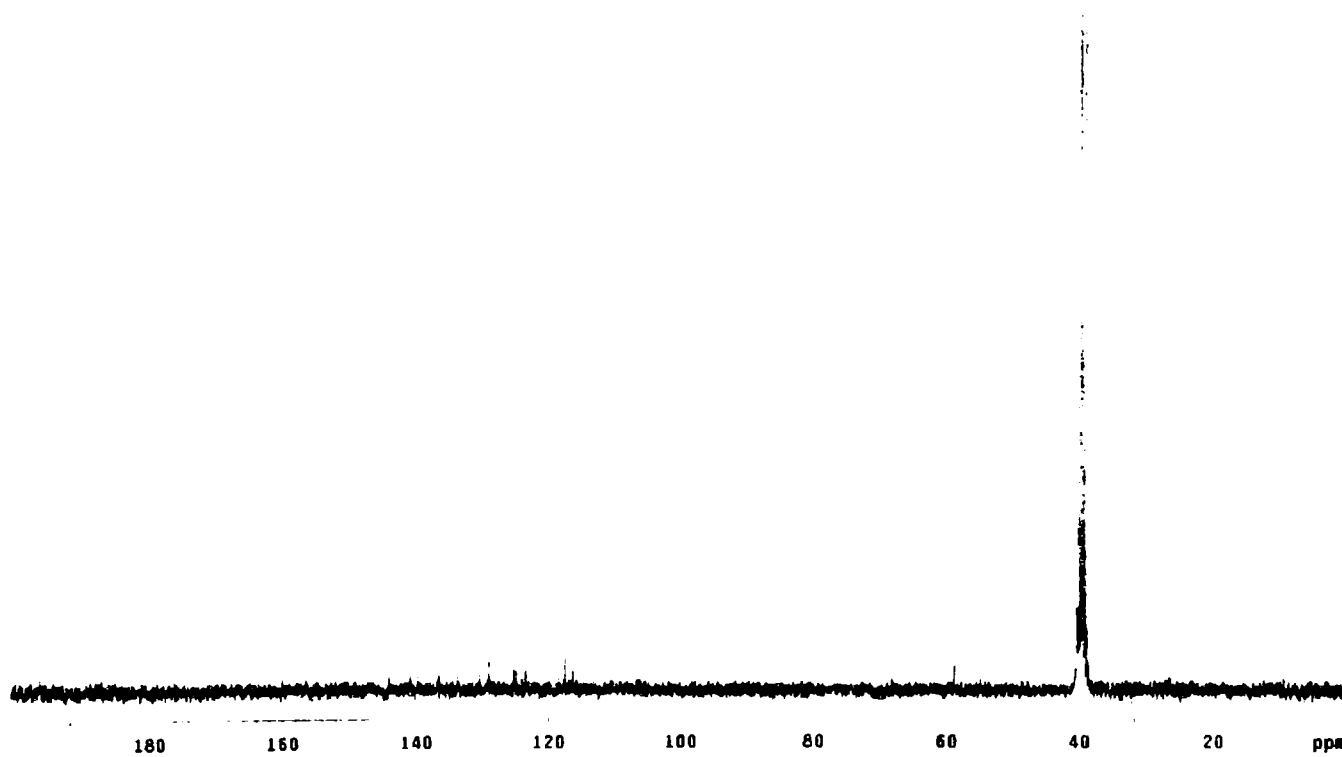




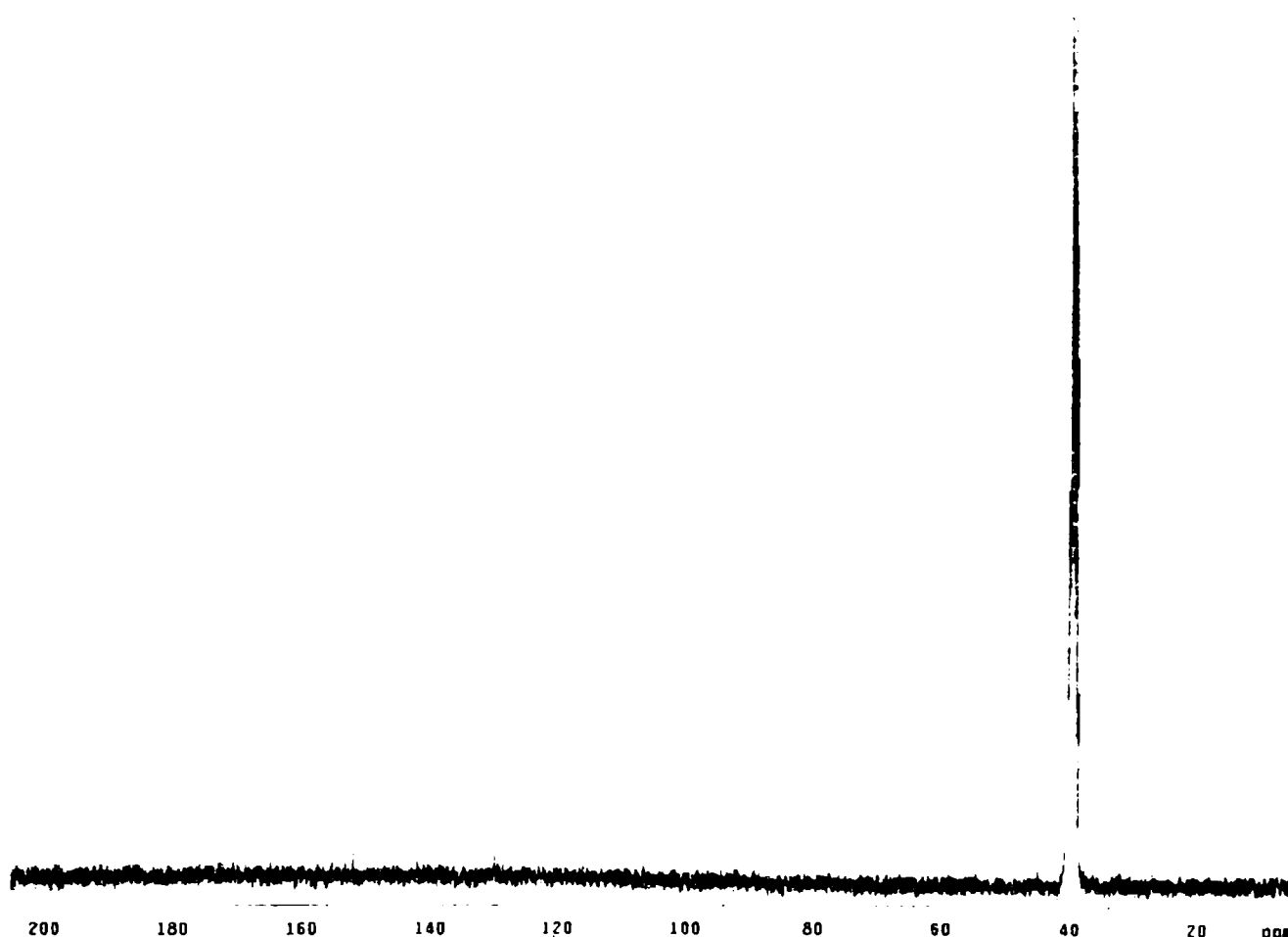
XII



XIII



XIV



compușilor (I-XII), poziționarea atomilor de carbon corespunzători restului aromatic purtător al grupei reactive C-2' și C-6' situați la $\delta=122,546-123,937$ ppm, respectiv C-3' și C-5' la $\delta=125,054-130,506$ ppm.

Atomii de carbon ai grupei reactive sulfoxietilsulfonice se regăsesc în spectru după cum urmează C-7' la $\delta=54,219-55,478$ ppm și C-8' la $\delta=58,211-59,891$ ppm.

În cazul compusului (XIII) se identifică semnalul corespunzător atomilor de carbon stilbenici situat la $\delta=125,342$ ppm și cel al atomului de carbon aromatic implicat în legătură cu grupa hidroxil situat la $\delta=160,213$ ppm.

Pentru compusul ftalocianinic în spectrul ¹³C-RMN se regăsesc semnalele atomilor de carbon ai restului reactiv, dar și din restul ftalocianinic –C=N- la $\delta=118,314$ ppm, iar cei implicați în legătură cu grupe sulfonice la $\delta=142,125$ ppm.

Deplasările chimice în cazul tuturor compușilor sintetizați și variația acestora în funcție de substituenții greați susțin structurile propuse pentru compușii studiați.

Concluzii

- A fost studiată și extinsă gama coloranților reactivi vinilsulfonici derivați ai esterului monosulfuric al 2-(4-amino-benzensulfonil)-etanolului, urmărindu-se influența parametrilor de reacție asupra obținerii sării de diazoniu a esterului monosulfuric al 2-(4-amino-benzensulfonil)-etanolului și comportarea acesteia la cuplare cu diferite componente hidroxi- și amino- aromatice, precum și stabilirea condițiilor optime de condensare a esterului monosulfuric al 2-(4-amino-benzensulfonil)-etanolului cu sulfoclorura ftalocianinei de cupru.
- Deoarece unii compuși sintetizați posedă grupe amino libere, aceștia se pot derivatiza prin reacție cu 1,3,5-triclor-2,4,6-triazină, obținându-se coloranți reactivi

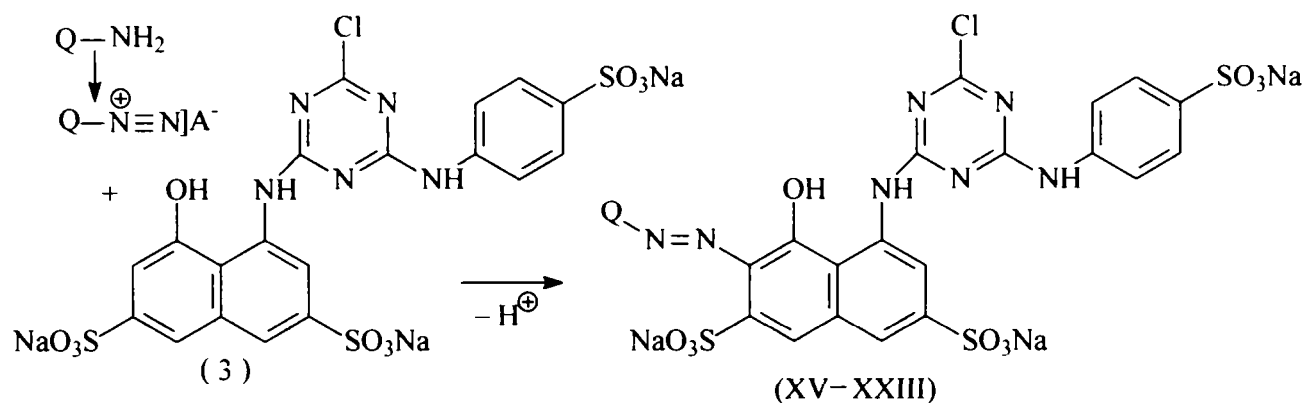
heterofuncționali ale căror proprietăți optice și tinctoriale vor putea fi studiate prin comparație cu ale compușilor prezentați.

- Coloranții sintetizați prezintă rezistențe la lumină relativ bune, evident cel mai stabil fiind cel cu structură ftalocianinică, toți compușii remarcându-se prin strălucirea și puritatea nuanțelor, acoperind o gamă largă de la galben-verzui până la albastru-verzui.
- Au fost purificați prin cromatografie în strat subțire pe silicagel (stabilindu-se valorile R_f) și caracterizați prin metode fizico-chimice o serie de 14 coloranți reactivi vinilsulfonici(I-XIV).
- Spectrele IR au permis recunoașterea tuturor secvențelor structurale caracteristice evidențiind aportul major al legăturilor de hidrogen, probabil de tip intramolecular pentru toți coloranții investigați. Acestea afectează în egală măsură grupările amino și hidroxil grefate pe cromogen. În cazul compusului cu rest ftalocianinic au putut fi evidențiate atât vibrațiile de schelet ale ciclului porfirinic, cât și cele specifice grupării sulfonamidice ca element de legătură cu gruparea reactivă.
- S-au determinat spectrele $^1\text{H-RMN}$ și $^{13}\text{C-RMN}$ pentru toți compușii studiați. Acestea au evidențiat în mod univoc pentru toți coloranții studiați prezența grupării reactive sulfato-etilsulfonice, precum și elementele caracteristice ale cromogenului.
- Coloranții reactivi vinilsulfonici cu structură azoică sintetizați au masă moleculară mică fapt care asigură coeficienți de difuzie mari, gamă extinsă de culori, nuanțe strălucitoare, dar o afinitate relativ redusă față de fibră (vezi capitolul III.2).
- Colorantul reactiv vinilsulfonic cu structură ftalocianinică obținut(XIV) conduce la nuanțe albastre-verzui foarte strălucitoare și cu rezistență mare la lumină, dar din cauza masei moleculare mari difuzează greu. Îndepărtarea prin spălare a colorantului nefixat reactiv este dificilă, fapt care conduce la înrăutățirea rezistențelor umido-termice ale vopsirilor obținute.
- Rezultatele obținute în cazul rezistențelor vopsirilor sunt bune și foarte bune încadrându-se în categoria celor obținute în mod obișnuit cu astfel de coloranți.
- Din datele prezentate se observă că rezistențele la lumină ale coloranților sintetizați sunt puternic influențate de structura componentei de cuplare, iar rezistențele vopsirilor la tratamente umido-termice sunt determinate de afinitatea față de fibra celulozică a colorantului nefixat reactiv.

II.3. SINTEZA COLORANȚILOR MONOCLORTRIAZINICI

În scopul extinderii paletei coloristice a coloranților reactivi de tip monoclorotriazinic și a îmbunătățirii proprietăților coloristice și tinctoriale au fost sintetizați 9 noi coloranți monoazoici monoclorotriazinici.

Metoda preparativă elaborată cuprinde: diazotarea unor amine primare aromatice mono și polisubstituite cu substituenți electronoacceptori (QNH₂ vezi tabelul II.3.1.) și cuplare azoică cu o componentă de cuplare cu structură triazinică sintetizată pentru acest scop și anume: acid 4-[4-clor-6-(4-sulfo-fenilamino)-[1,3,5]triazin-2-ilamino]-5-hidroxi-naftalen-2,7-disulfonic, urmată de condiționarea și izolarea coloranților obținuți.



Schema II.10. Reacția de obținere a coloranților azoici reactivi monoclorotriazinici

Diazotarea aminelor s-a efectuat în mod clasic și anume: suspendarea și dizolvarea aminei aromatice în mediu apos cu adaos de bicarbonat de sodiu, urmată de adăgarea de acid clorhidric la o temperatură adecvată formării clorhidratului aminei la un anumit raport molar, după care într-un anumit timp și la o anumită temperatură se adaugă soluția de nitrit de sodiu, după care se menține la o anumită temperatură și un anumit timp, determinat de consumul total al aminei[120].

Parametrii care influențează mersul reacției de diazotare sunt:

- concentrația aminei în masa de reacție
- raportul molar amină aromatică: acid clorhidric
- raportul molar amină aromatică: nitrit de sodiu
- temperatura, timpul și modul de adăugare a soluției de nitrit de sodiu
- temperatura și timpul de perfectare a reacției de diazotare

În cadrul studiului de laborator au fost stabiliți parametrii optimi pentru realizarea diazotării totale a aminelor aromatice și anume:

- funcție de bazicitatea aminei, raportul molar amină:acid clorhidric este 1:3,62 (compuşii XV, XIX, XXIII), 1:2,76 (compusul XVI) și 1:2,52 (compuşii XVII și XVIII)
- temperatura de formare a clorhidratului aminei este 0-5°C
- raportul molar amină aromatică: nitrit de sodiu este 1:1,02 și 1:1,1 (compusul XVI)
- se diazotează cu soluție apoasă de nitrit de sodiu 1 N, la o temperatură de 3-5°C și într-un timp de picurare de 10-15 minute a soluției de nitrit în masa de reacție
- reacția de diazotare se perfectează la temperatura 8-10°C un timp de 0,5 ore, excepție făcând compusul (XVI) cu un timp de 2 ore

Pentru realizarea reacției de cuplare s-au luat în considerare ambele variante cunoscute din literatură și anume: introducerea sării de diazoniu a aminei aromatice peste cuplanta

condiționată convenabil cu reglarea pH-ului la o anumită valoare și la o anumită temperatură pentru a asigura consumul cât mai complet al sării de diazoniu – varianta cuplării directe; introducerea cuplantei condiționate convenabil peste sarea de diazoniu a aminei aromatice la o anumită temperatură și la un anumit pH – varianta cuplării indirecte.

Având în vedere că pentru a se realiza cuplarea în poziția orto față de grupa OH grefată pe restul naftalinic, pH-ul indicat este neutru la slab alcalin, limitat și de posibilitatea de hidroliză a atomului de clor din restul triazinic, componenta de cuplare: acidul 4-[4-clor-6-(4-sulfo-fenilamino)-[1,3,5]triazin-2-ilamino]-5-hidroxi-naftalen-2,7-disulfonic a fost utilizată ca sare trisodică sub formă de soluție apoasă slab acidă cu $\text{pH} = 5,5-6,5$ și cu o concentrație de 4,4%.

În contextul modului de lucru general prezentat parametrii care influențează desfășurarea reacției de cuplare sunt:

- raportul molar amină aromatică: componentă de cuplare
- pH-ul sării de diazoniu
- modul de introducere a reactanților
- timpul de adăugare a reactanților
- temperatura și timpul de reacție

În ceea ce privește raportul molar amină aromatică: componentă de cuplare, acesta s-a variat sensibil în limitele 1:1 la 1:1,2 urmărindu-se consumul integral al sării de diazoniu, precum și existența unui exces cât mai mic de cuplantă în masa de reacție. Valoarea optimă stabilită este de 1;1,02, la valori mai mari ale raportului molar rămâne o cantitate mare de cuplantă în masa de reacție, iar la valori mai mici ale acestuia rămâne o cantitate de sare de diazoniu nereacționată care se poate descompune influențând în mod negativ nuanța colorantului finit prin ternarea acesteia.

Întrucât viteza reacției de cuplare a sărurilor de diazoniu ale aminelor aromatice utilizate cu componenta de cuplare cu structură hidroxinaftalen-clortriazinică depinde de pH-ul masei de reacție și crește pentru valori ale pH-ului situate în domeniul neutru sau slab alcalin, s-a procedat la reducerea acidității sărurilor de diazoniu de la valoarea $\text{pH} = 0,5 - 1$ la valoarea $\text{pH} = 4 - 4,5$ prin adaos de soluție de bicarbonat de sodiu 9%, pentru a asigura o cuplare menajantă, fără variații mari ale intervalului de pH.

Componenta de cuplare (acid liber) a fost utilizată sub forma soluției apoase a sării sale trisodice obținută prin adaos de soluție de bicarbonat de sodiu 9%, având o concentrație de 4,4% și $\text{pH} = 5,5-6,5$.

În experimentările efectuate s-au abordat cele două variante de cuplare directă și indirectă, rezultatele cele mai bune obținându-se prin introducerea soluției de cuplantă aflată la pH slab acid peste soluția de sare de diazoniu, în acest mod realizându-se un control riguros al consumului acesteia și implicit determinarea timpului optim necesar reacției de cuplare la o anumită temperatură, corelat cu valorile pH-ului.

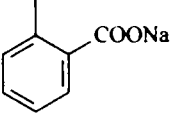
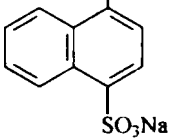
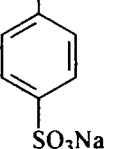
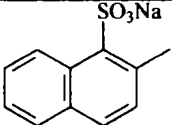
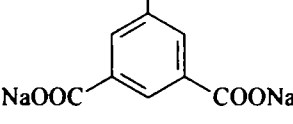
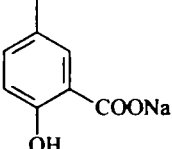
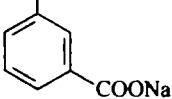
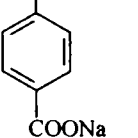
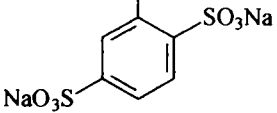
Pentru realizarea cât mai completă a reacției de cuplare, timpul de adăugare a reactanților s-a variat între 5 minute și 0,5 ore. S-a constatat că o adăugare continuă a unuia dintre reactanți fără un control al pH-ului și implicit o corecție a acestuia determină o viteză de cuplare mai mică. S-a stabilit că timpul optim de adăugare a soluției de cuplantă concomitent cu controlul pH-ului este de 15 minute.

Un parametru de o deosebită importanță pentru realizarea unei cuplări cât mai complete este timpul de reacție determinat de consumul total a sării de diazoniu la pH optim și la o anumită temperatură. În contextul respectării parametrilor optimi prezentați anterior, timpul de reacție a fost variat între 0,5-4 ore pentru un domeniu de temperatură cuprins între 10 și 25°C. Rezultatele cele mai bune s-au obținut prin realizarea reacției de cuplare la $\text{pH}=7$ folosindu-se ca agent de neutralizare soluție de bicarbonat de sodiu 9% cu menținerea temperaturii la 15-

20°C timpul de reacție fiind de 0,5 ore, excepție făcând compusul (XVI) la care timpul de reacție este de 2 ore.

Sfârșitul reacției de cuplare se determină prin controlul prezenței/absenței sării de diazoniu în aureola colorantului salifiat pe hârtie cu o soluție alcalină de acid 4-amino-5-hidroxi-naftalen-2,7-disulfonic[121].

Tabelul II.3.1 Componentele de diazotare și condițiile de lucru pentru obținerea coloranților reactivi monoclorotriazinici (XV-XXIII)

Nr. compus	Q din componenta de diazotare	Cantitate diazotantă (g)	Temp. de cuplare (°C)	pH	Timp de reacție (ore)	Randament (%)	p. t. (°C)
XV		1,34 (acid liber)	15-20	7	3,5	93	302 (desc.)
XVI		2,18 (acid liber)	15-20	7	4,5	90	287 (desc.)
XVII		1,7 (acid liber)	15-20	7	5	91	292 (desc.)
XVIII		2,18 (acid liber)	15-20	7	5	85	305 (desc.)
XIX		1,77 (acid liber)	15-20	7	5	88	272 (desc.)
XX		1,5 (acid liber)	15-20	7	4	95,5	283 (desc.)
XXI		1,34 (acid liber)	15-20	7	5	94	277 (desc.)
XXII		1,34 (acid liber)	15-20	7	5	85	285 (desc.)
XXIII		2,48 (acid liber)	15-20	7	4	92,5	275 (desc.)

Pentru izolarea coloranților din masele de reacție de la faza de cuplare s-au abordat două variante de lucru: prin evaporare și prin salefieri cu clorură de sodiu.

Izolarea coloranților prin evaporarea maselor de reacție de la cuplare s-a efectuat la temperaturi de 35-40°C și în timpi ce au variat între 24 și 48 ore.

Salefierea s-a efectuat prin varierea cantității de clorură de sodiu utilizată pentru o cât mai completă precipitare a colorantului corelată însă cu o concentrație finală cât mai mare în colorant chimic pur și o nuanță cât mai strălucitoare. În acest sens pentru salefiere s-au utilizat cantități variabile de clorură de sodiu cuprinse între 10-35% față de volumul masei de reacție. Rezultatele cele mai bune atât din punct de vedere al purității, concentrației și testelor coloristice s-au obținut la efectuarea precipitării la temperatura ambiantă cu adaos de clorură de sodiu de 13% (compusul XV), de 20% (compuşii XVI-XVIII), de 22% (compusul XX) și de 26% (compuşii XIX, XXI-XXIII) pentru timpi de agitare cuprinși între 2 și 4 ore. Coloranții izolați prin filtrare s-au uscat la vid la 40°C și s-au micronizat prin mojarare. Prin utilizarea variantei prin salefiere s-au obținut produse cu o puritate mai avansată, respectiv cu un conținut mai mic de coloranți secundari în special colorant hidrolizat și implicit cu concentrații coloristice mai mari, selectându-se ca variantă optimă.

Randamentele obținute precum și condițiile de lucru pentru obținerea celor 9 noi coloranți reactivi monoazoici monoclorotriazinici sunt prezentate în tabelul II.3.1.

Tabelul II.3.2 Rezultatele spectroscopiei de absorbție VIS (XV-XXIII)

Nr. compus	XV	XVI	XVII	XVIII	XIX	XX	XXI	XXII	XXIII
Masa moleculară (săruri de sodiu)	840,04	926,15	876,09	926,15	906,03	856,04	840,04	840,04	978,14
$c \times 10^5$ (mol/l)	6,990	3,654	4,493	4,293	4,680	4,327	3,828	4,705	5,005
λ_{max} (nm)	515 / 544	544 / 565	515 / 534	522 / 547	512 / 536	532 / 561	509 / 537	518 / 541	515 / 528
$lg \epsilon_{max}$	4,090 / 4,120	4,257 / 4,223	4,279 / 4,284	4,253 / 4,270	4,091 / 4,101	4,060 / 4,071	4,037 / 4,049	4,045 / 4,047	4,178 / 4,178

Spectrele de absorbție în domeniul vizibil prezintă două maxime de absorbție cu diferența între lungimile de undă între 13-29 nm probabil corespunzătoare celor două forme hidroxi-azoică și ceto-hidrazonică. Echilibrul tautomer determină probabil și raportul dintre coeficienții molari de absorbție corespunzători fiecărui maxim de absorbție[122-125].

Cel mai puternic efect batocrom se înregistrează pentru compuşii (XVI) și (XX), cazuri în care lungimea de undă a maximului de absorbție se situează la 565 nm, respectiv 561 nm. În primul caz, explicația acestui fapt constă în introducerea în structura colorantului prin intermediul componentei de diazotare a unui rest naftalenic cu efect de extindere a conjugării și deci în final deplasarea batocromă a maximului de absorbție. În cel de al doilea caz existența pe nucleul benzenic a unei grupe donoare de electroni în conjugare cu cromogenul, precum și plasarea grupelor solubilizante cu efect atrăgător de electroni în poziția meta față de grupa azo explică de asemenea obținerea unei valori mari pentru lungimea de undă a maximului de absorbție[126].

Cea mai scăzută valoare înregistrată pentru lungimea de undă a maximului de absorbție se obține în cazul compusului (XXIII) care are grefate pe nucleul benzenic din structura componentei de diazotare două grupe sulfonice cu efect electronoatrăgător explicând valoarea $\lambda_{max}=528$ nm.

Comparând poziția maximelor de absorbție pentru compuşii (XVII) și (XXII) a căror structură diferă prin existența în componenta de diazotare, în cazul primului a unei grupe sulfonice în poziția 4 față de grupa azo, în timp ce în cazul celui de al doilea compus în poziția 4 față de grupa azo este o grupă carboxil demonstrează efectul electronoatrăgător mult mai puternic exercitat de grupa sulfonică care are ca rezultat obținerea unei lungimi de undă a maximului de absorbție situată la 534 nm cu 7 nm mai mic decât cel obținut în cazul compusului (XXII).

Comparând compușii (XV), (XXI) și (XXII) care diferă ca structură numai prin poziția grupei carboxil față de grupa azo se observă că efectul batocrom cel mai puternic se obține în ordine în cazul compusului (XV) ($\lambda_{\max.}=544$ nm) apoi pentru compusul (XXII) ($\lambda_{\max.}=541$ nm) și în final pentru compusul (XXI) ($\lambda_{\max.}=537$ nm), după cum poziția grupei carboxil față de grupa azo este 2,4 sau 3.

Se observă de asemenea efectul hipercrom obținut prin extinderea conjugării în cazul introducerii în structura colorantului a unui nucleu naftalenic în locul unui benzenic, coeficienții molari de absorbție cei mai mari obținându-se în cazul compușilor (XVI) și (XVIII).

Tabelul II.3.3 Valorile R_f pentru coloranții reactivi monoclorotriazinici (XV-XXIII)

Nr. compus	XV	XVI	XVII	XVIII	XIX	XX	XXI	XXII	XXIII
R_f	0,32	0,28	0,27	0,30	0,12	0,28	0,26	0,26	0,24

Urmărirea desfășurării reacțiilor chimice și verificarea purității coloranților obținuți s-a efectuat prin cromatografie pe strat subțire prin tehnica unidimensională ascendentă, utilizându-se ca fază staționară Plastikfolien Silicagel G Merck, iar ca fază mobilă un amestec format din piridină:amoniac 17%:alcool n-amilic în raport 1,1:1:1 (vol/vol).

Obținerea compușilor unitari reclamă separarea amestecurilor obținute în urma sintezei, prin cromatografie pe coloană utilizând ca fază staționară Silicagel G Merck, iar ca fază mobilă același amestec utilizat la cromatografia pe strat subțire.

Conținutul în carbon, hidrogen și azot s-a determinat cu un analizor Carlo-Erba M 1106, iar conținutul în sulf prin combustie Schoniger.

În urma efectuării analizei elementale pe produsele purificate prin metoda descrisă în partea experimentală, s-a constatat o bună concordanță între valorile obținute experimental și cele calculate teoretic.

Tabelul II.3.4 Rezultatele analizei elementale (XV-XXIII)

Nr. compus	Formula brută	Masa moleculară	Analiza elementală (%)							
			C		H		N		S	
			Calculat	Găsit	Calculat	Găsit	Calculat	Găsit	Calculat	Găsit
XV	$C_{26}H_{14}ClN_7Na_4O_{12}S_3$	840,04	37,17	36,95	1,68	1,52	11,67	11,35	11,45	11,74
XVI	$C_{29}H_{16}ClN_7Na_4O_{13}S_4$	926,15	37,61	37,42	1,74	1,58	10,59	10,35	13,85	13,97
XVII	$C_{25}H_{14}ClN_7Na_4O_{13}S_4$	876,09	34,27	34,04	1,61	1,47	11,19	11,01	14,64	14,87
XVIII	$C_{29}H_{16}ClN_7Na_4O_{13}S_4$	926,15	37,61	37,36	1,74	1,52	10,59	10,42	13,85	14,05
XIX	$C_{27}H_{13}ClN_7Na_5O_{14}S_3$	906,03	35,79	35,54	1,45	1,31	10,82	10,68	10,62	10,77
XX	$C_{26}H_{14}ClN_7Na_4O_{13}S_3$	856,04	36,48	36,32	1,65	1,59	11,45	11,23	11,24	11,43
XXI	$C_{26}H_{14}ClN_7Na_4O_{12}S_3$	840,04	37,17	36,89	1,68	1,45	11,67	11,35	11,45	11,48
XXII	$C_{26}H_{14}ClN_7Na_4O_{12}S_3$	840,04	37,17	37,02	1,68	1,49	11,67	11,48	11,45	11,51
XXIII	$C_{25}H_{13}ClN_7Na_5O_{16}S_5$	978,14	30,70	30,56	1,34	1,27	10,02	9,89	16,39	16,45

În ceea ce privește spectrele de absorbție în domeniul infraroșu efectuate pentru coloranții azoici reactivi monoclorotriazinici în pastilă de bromură de potasiu pot fi identificate cu ușurință benzile caracteristice scheletului de bază al componentei de cuplare pentru toți compușii sintetizați, precum și elementele structurale ale componentelor de diazotare.

În spectrul de absorbție în domeniul infraroșu, vibrația de întindere a grupei hidroxil este identificată ușor ca bandă largă spre deosebire de cea a grupei amino care este relativ îngustă. Și în acest caz din cauza existenței legăturilor de hidrogen diferența între cele două grupări este greu de făcut. Pentru compușii studiați grupele hidroxil prezintă legături de

hidrogen intramoleculare datorită vecinătății grupei azo, astfel că apar benzi largi corespunzătoare vibrației de întindere a grupei hidroxil (ν_{OH}) care se suprapun cu benzile vibrațiilor de întindere ale grupei amino secundare din legăturile restului triazinic și cu benzile vibrației de valență a atomilor de hidrogen aromatici. Benzile combinate astfel apărute se situează la 3405-3450 cm^{-1} .

În cazul tuturor compușilor investigați banda largă și foarte intensă situată la 1600-1615 cm^{-1} corespunde suprapunerii benzilor vibrațiilor scheletului inelelor aromatice izolate și condensate, cu vibrațiile asimetrice ale legăturii carbonilice din acizii carboxilici utilizați drept componente de diazotare în cazul compușilor (XV) și (XIX-XXII).

Banda foarte largă și intensă situată în zona 1180-1200 cm^{-1} și prezentă în spectrele IR ale tuturor compușilor studiați rezultă prin suprapunerea mai multor vibrații, contribuția majoritară fiind dată de vibrația de valență asimetrică a grupelor sulfonice și de asemenea de vibrația de valență a grupei fenolice (ν_{C-OH}).

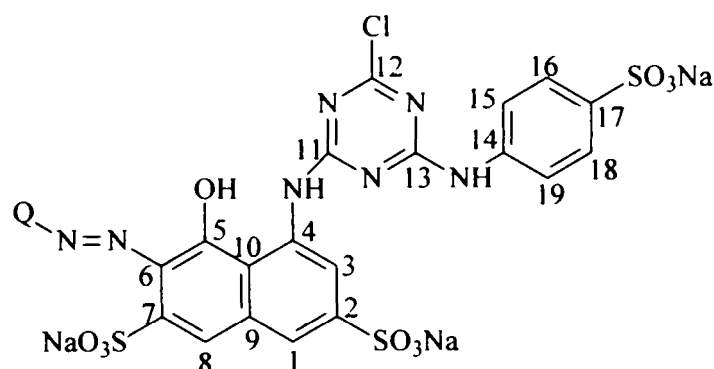
Tabelul II.3.5 Rezultatele spectrometriei de absorbție IR pentru coloranții (XV-XXIII)

Nr. compus	Frecvențe caracteristice (cm^{-1}) și intensități
XV	3420f.i., 1605f.i., 1582f.i., 1560f.i., 1540f.i., 1522i, 1490f.i., 1475f.i., 1438f.i., 1427i, 1402f.i., 1395f.i., 1360i, 1322m, 1180f.i., 1115i, 1037f.i., 1010m, 992s, 973m, 942s, 911s, 882m, 850s, 825m, 795m, 787m, 755s, 708m, 665i, 608m, 545m, 510s, 440s, 414s
XVI	3440f.i., 1602f.i., 1573m, 1535f.i., 1485f.i., 1470f.i., 1420m, 1400i, 1352i, 1315s, 1310s, 1200f.i., 1122m, 1110m, 1040f.i., 1012m, 980s, 950s, 930s, 880m, 825m, 790m, 860m, 710m, 685m, 680m, 667i, 625i, 545m, 510s, 467s, 410m
XVII	3420f.i., 1612f.i., 1535f.i., 1480f.i., 1420m, 1408i, 1390m, 1355m, 1322m, 1303s, 1194f.i., 1118f.i., 1033f.i., 1002m, 990s, 965s, 903s, 885m, 833i, 790s, 775s, 705i, 678m, 627i, 560s, 515s, 467s, 410m
XVIII	3405f.i., 1615f.i., 1590s, 1572s, 1535f.i., 1482m, 1455i, 1450i, 1420m, 1395f.i., 1352i, 1327m, 1315m, 1287s, 1195f.i., 1120i, 1035f.i., 1005m, 985s, 970m, 935s, 905s, 897s, 825m, 785m, 710m, 662i, 620m, 605i, 560s, 505s, 457s, 432s
XIX	3450f.i., 1605f.i., 1535f.i., 1505f.i., 1487f.i., 1465i, 1435m, 1405i, 1370s, 1355i, 1327m, 1285s, 1200f.i., 1172f.i., 1114i, 1025f.i., 1000s, 957s, 892s, 830s, 815s, 775m, 762s, 733s, 700m, 663m, 650m, 623m, 600s, 560s, 525s, 465s
XX	3440f.i., 1603f.i., 1580f.i., 1540f.i., 1515f.i., 1487f.i., 1472f.i., 1435m, 1400i, 1382i, 1358f.i., 1285i, 1185f.i., 1120f.i., 1035f.i., 1005s, 910s, 885s, 822m, 783m, 705s, 668i, 635m, 600s, 555s, 514s, 460s, 420m
XXI	3425f.i., 1605f.i., 1590f.i., 1575f.i., 1554i, 1533f.i., 1488f.i., 1465m, 1420s, 1383f.i., 1359f.i., 1325s, 1297s, 1263s, 1190f.i., 1123m, 1110m, 1100i, 1033f.i., 1000m, 965s, 930s, 885s, 863s, 820m, 785m, 760m, 700i, 665m, 610m, 560s, 515s, 470s, 415m
XXII	3435f.i., 3395f.i., 1600f.i., 1575f.i., 1560f.i., 1537f.i., 1475f.i., 1465m, 1385i, 1370f.i., 1358i, 1320s, 1195f.i., 1150m, 1120m, 1105s, 1032f.i., 1003m, 980s, 965s, 897s, 825m, 780m, 762m, 705i, 665f.i., 622m, 605m, 540s, 505s, 455s, 410s
XXIII	3420f.i., 1605f.i., 1568f.i., 1542f.i., 1468f.i., 1415m, 1405m, 1375m, 1360i, 1310m, 1185f.i., 1110m, 1032f.i., 1005s, 995m, 960m, 912s, 880s, 820i, 775i, 710i, 660f.i., 605i, 560s, 515s, 495s, 440s, 415s

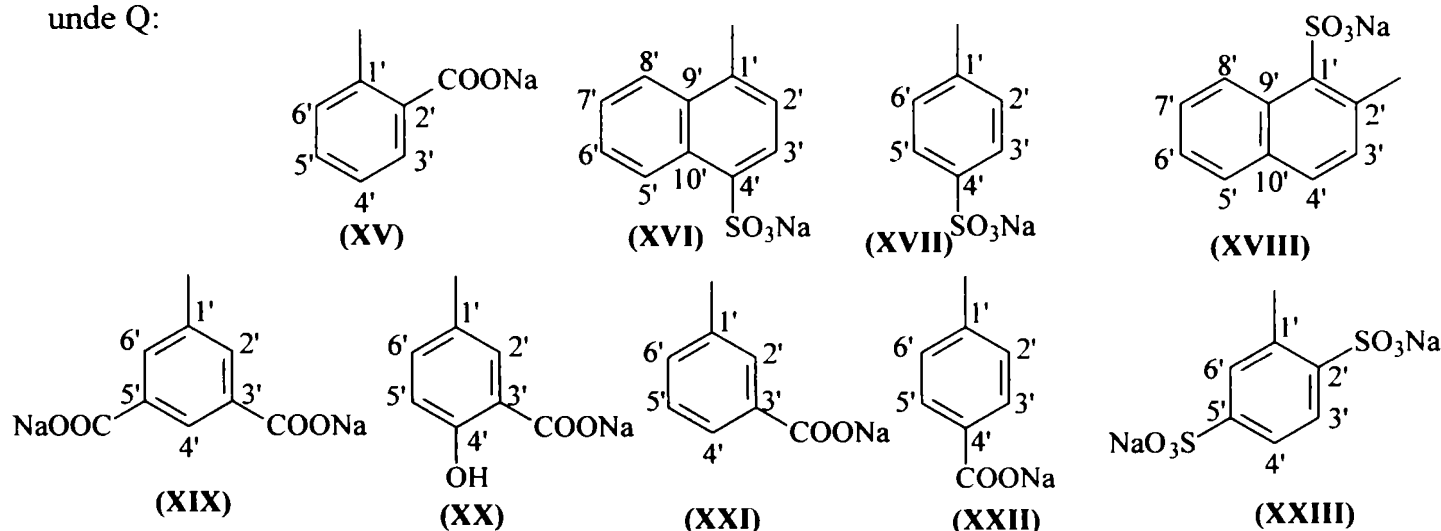
Spectrele de absorbție în infraroșu mai prezintă ca elemente caracteristice vibrația de schelet caracteristică arenelor disubstituite situată la 815-830 cm^{-1} . Se remarcă în acest caz slaba influență a structurii cromogenului asupra poziției acestei benzi în spectru, manifestându-se și în acest caz rolul de componentă separatoare al restului aminotriazinic[152].

Vibrația de valență simetrică a grupei carbonilice din compușii carboxilici se manifestă în spectru prin apariția unor benzi situate la 1383-1405 cm^{-1} . Mai trebuie menționate și vibrațiile simetrice ale grupelor sulfonice situate ca benzi intense la 1025-1040 cm^{-1} , dar și vibrațiile de întindere (ν_{C-N}) situate la 1352-1350 cm^{-1} .

Caracteristic elementelor structurale de tipul inelelor aromatice condensate din componenta de cuplare, precum și restului triazinic sunt vibrațiile de valență ($\nu_{C=C}$, ν_{C-N}) de la $1535-1590\text{ cm}^{-1}$, respectiv $1400-1438$ și $1455-1488\text{ cm}^{-1}$. Benzile caracteristice vibrației de deformare în afara planului (γ_{CH}) și dependente de tipul de substituție se situează la $700-882\text{ cm}^{-1}$.



unde Q:



Schema II.11. Localizarea atomilor pentru spectrele ^1H și ^{13}C -RMN

Atribuirea semnalelor ^1H -RMN a fost realizată având în vedere intensitatea și multiplicitatea picurilor în condiții de decuplare “off resonance”, iar valorile deplasărilor au fost verificate în urma experimentelor de decuplare selectivă a protonilor. Încă de la început trebuie precizat faptul că datorită solubilității relativ scăzute în solventul deuterat (dimetilsulfoxid) spectrele conțin semnale cuplate și multipleți în care protonii magnetic neechivalenți dau semnale confundate a căror rezolvare a necesitat și o înregistrare a spectrelor în acid sulfuric deuterat și efectuarea de comparații între spectre.

Examinarea spectrelor ^1H -RMN a condus la concluzia că în $(\text{CD}_3)_2\text{SO}$, protonii din componenta de cuplare, respectiv din restul cu structură naftalenică sunt singleți, cei din pozițiile H-1 și H-8 fiind puternic dezecrați de vecinătatea grupelor sulfonice, ei situându-se la o valoare a deplasării $\delta=7,80-8,17\text{ ppm}$, de cele mai multe ori făcând parte dintr-un multiplet. Mai ecranat și în multe cazuri ușor de identificat în spectru, protonul H-3 se situează ca singlet la o valoare a deplasării $\delta=7,47-7,54\text{ ppm}$ (anexa II).

Tabel II.3.6 Rezultatele spectrometriei $^1\text{H-RMN}$ pentru coloranții (XV-XXIII)

Nr. compus	$^1\text{H-RMN}$ ($(\text{CD}_3)_2\text{SO}$)
XV	NH - 4,19 (s); OH - 5,20 (s); COOH - 10,46 (s); OH (chelatic) - 9,17 (s); H-4' - 7,18 (t) $J_o=7,4$ Hz; H-15,H-19 - 7,37-7,50 (m); H-3 - 7,54 (s); H-16,H-18 - 7,61 (d); H-1,H-8,H-2',H-3' - 7,8-8,17 (m); H-5' - 8,33 (d) $J_o=8,15$ Hz
XVI	NH - 4,19 (s); OH - 5,20 (s); OH (chelatic) - 9,20 (s); H-1,H-3,H-15,H-16,H-18,H-19,H-5',H-6',H-7',H-8' - 7,50-7,88 (m); H-8 - 7,92 (s); H-16,H-18 - 7,61 (d); H-2',H-3' - 8,03-8,30 (m)
XVII	NH - 4,20 (s); OH - 5,20 (s); OH (chelatic) - 9,20 (s); H-15,H-19 - 7,43 (d); H-1,H-3,H-8,H-16,H-18 - 7,52-7,85 (m); H-2',H-3',H-5',H-6' - 8,00-8,50 (m)
XVIII	NH - 4,20 (s); OH - 5,20 (s); OH (chelatic) - 9,15 (s); H-1,H-3,H-8,H-15,H-19,H-5',H-6',H-7',H-8' - 7,40-7,70 (m); H-16,H-18 - 7,87 (d) $J_o=7,8$ Hz; H-4' - 7,94 (d) $J_o=9,33$ Hz; H-3' - 8,73 (d) $J_o=9,2$ Hz
XIX	NH - 4,20 (s); OH - 5,20 (s); OH (chelatic) - 9,15 (s); COOH - 10,62 (s); H-3 - 7,52 (s); H-1,H-8,H-15,H-16,H-18,H-19 - 7,59-7,77 (m); H-2',H-4',H-6' - 8,28-8,34 (m)
XX	NH - 4,20 (s); OH - 5,20 (s); OH (chelatic) - 9,12 (s); COOH - 10,56 (s); H-15,H-19 - 6,84 (d); H-3 - 7,47 (s); H-1,H-16,H-18 - 7,52-7,80 (m); H-5' - 7,89 (d) $J_o=8,85$ Hz; H-8,H-6' - 7,90-8,15 (m); H-2' - 8,70 (s)
XXI	NH - 4,20 (s); OH - 5,20 (s); OH (chelatic) - 9,18 (s); COOH - 10,58 (s); H-3,H-15,H-19 - 7,40-7,55 (m); H-5',H-16,H-18 - 7,55-7,85 (m); H-1,H-8 - 7,90-8,10 (m); H-4',H-6' - 8,20-8,50 (m); H-2' - 8,80 (s)
XXII	NH - 4,20 (s); OH - 5,20 (s); OH (chelatic) - 9,20 (s); COOH - 10,58 (s); H-3 - 7,49 (s); H-1,H-8,H-15,H-16,H-18,H-19 - 7,57-7,69 (m); H-1',H-6' - 7,82 (d) $J_o=8,32$ Hz; H-3',H-5' - 7,98 (d) $J_o=8,00$ Hz
XXIII	NH - 4,20 (s); OH - 5,20 (s); OH (chelatic) - 9,20 (s); H-15,H-19 - 7,44 (d) $J_o=7,30$ Hz; H-3 - 7,53 (s); H-1,H-8,H-16,H-18,H-3',H-4' - 7,53-8,00 (m); H-6' - 8,51 (s)

Restul aromatic de acid sulfanilic legat de ciclul triazinic prezintă doi dubleți identificați în multipletul prezent în zona deplasărilor chimice situată în majoritatea cazurilor la $\delta=7,40-7,90$ ppm. Din mărimea constantelor de cuplaj *orto*, $J_o=7,30-7,80$ Hz și conform rezultatelor obținute prin integrarea picurilor se confirmă atribuirea acestor semnale protonilor precizați.

În cazul componentelor de diazotare protonii din structură sunt puternic dezecranați atât de vecinătatea grupei azo, cât și de prezența grupelor sulfonice sau carboxilice cu efect electronoatrăgător, astfel că aceștia se situează în spectru la o valoare a deplasării $\delta=8,00-8,70$ ppm, de cele mai multe ori ca multipleți și având o mărime a constantei de cuplaj *orto*, $J_o=8,00-8,70$ Hz. Se remarcă în acest context identificarea ușoară a dubletului H-5'=8,33 ppm, $J_o=8,15$ Hz în cazul compusului (XV), dubleții din compusul (XVIII) H-4'=7,94 ppm, $J_o=9,33$ Hz, respectiv H-3'=8,73 ppm, $J_o=9,2$ Hz, pentru compusul (XX) dubletul H-5'=7,89 ppm, $J_o=8,85$ Hz și singletul H-2'=8,70 ppm, pentru compusul cu structura (XXI) singletul H-2'=8,80 ppm, pentru compusul (XXII) dubleții H-1',H-6'=7,82 ppm, $J_o=8,32$ Hz și H-3',H-5'=7,98 ppm, $J_o=8,00$ Hz, iar în cazul compusului (XXIII), singletul corespunzător H-6'=8,51 ppm.

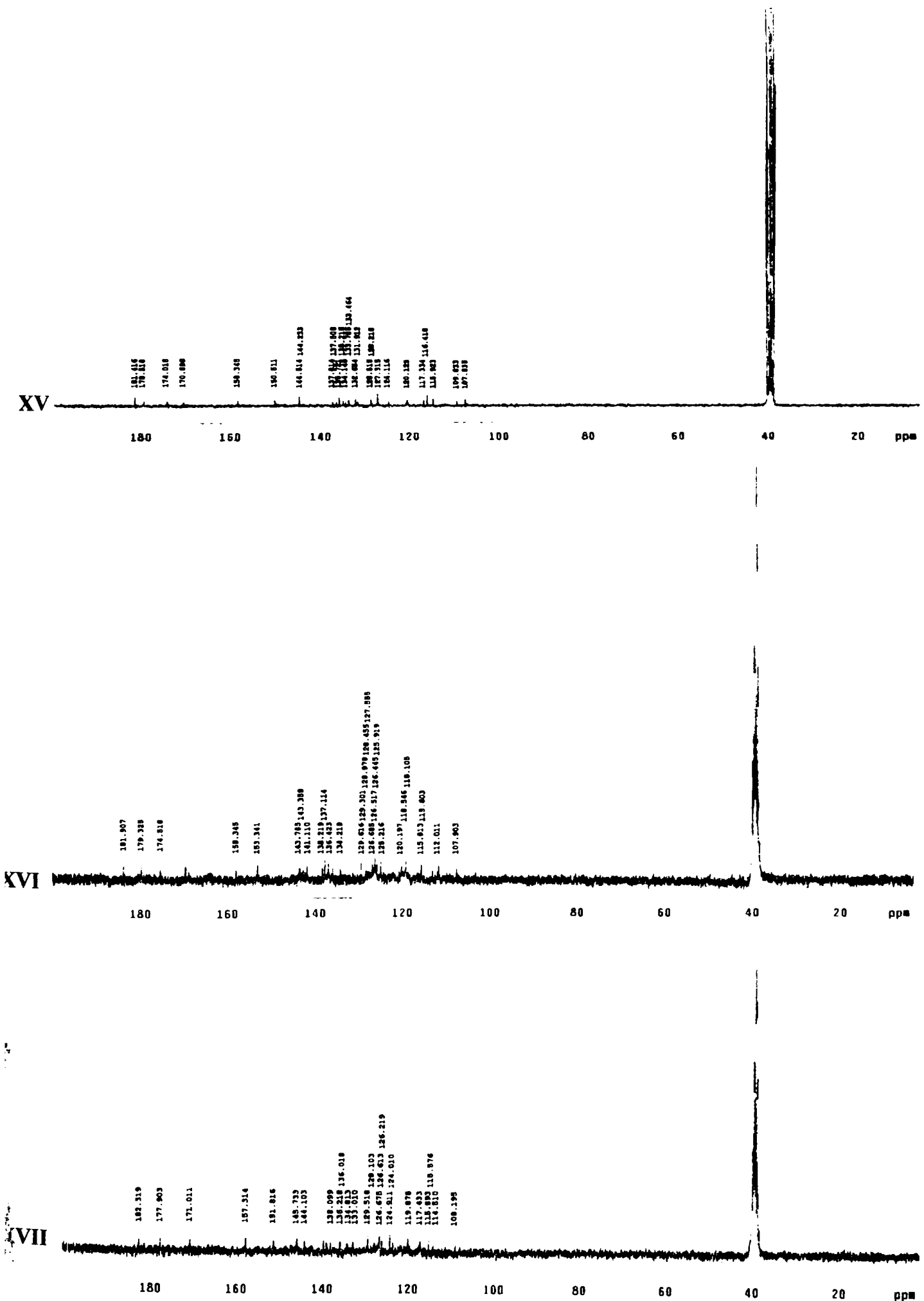
Tabel II.3.7 Rezultatele spectrometriei ^{13}C -RMN pentru coloranții (XV-XXIII)

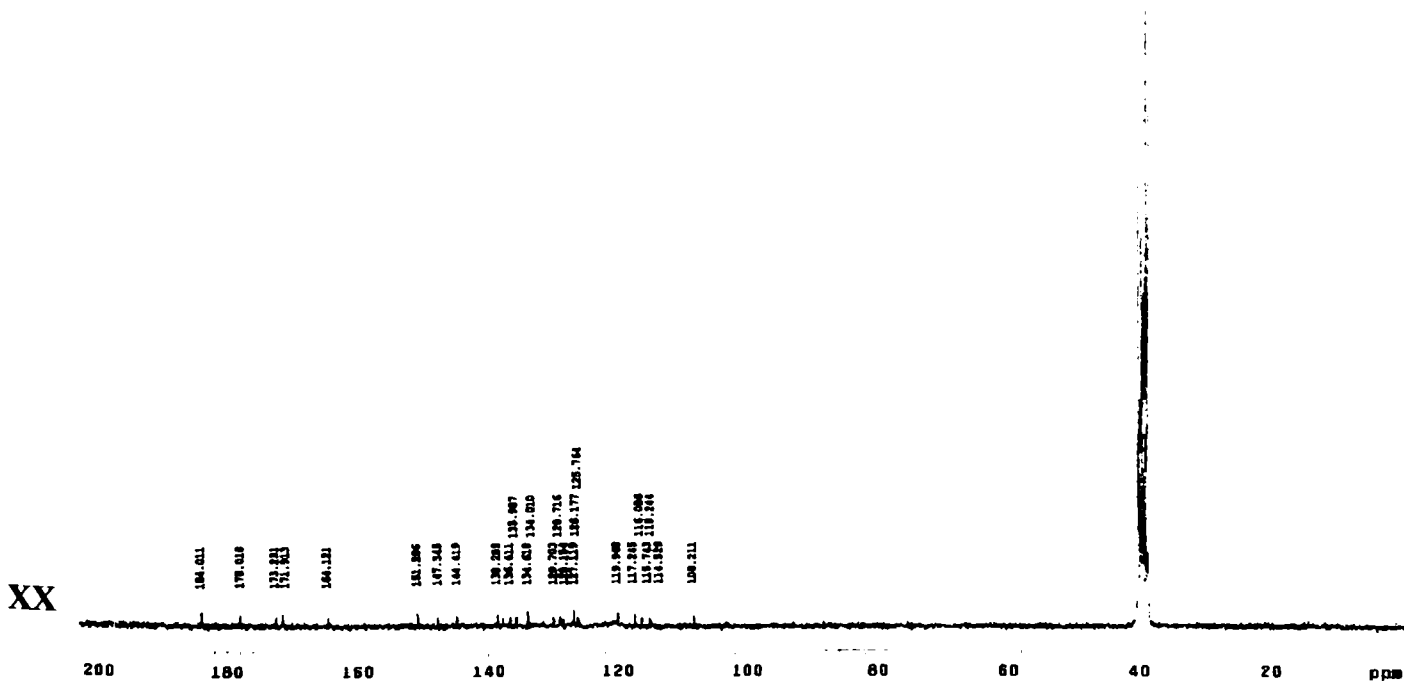
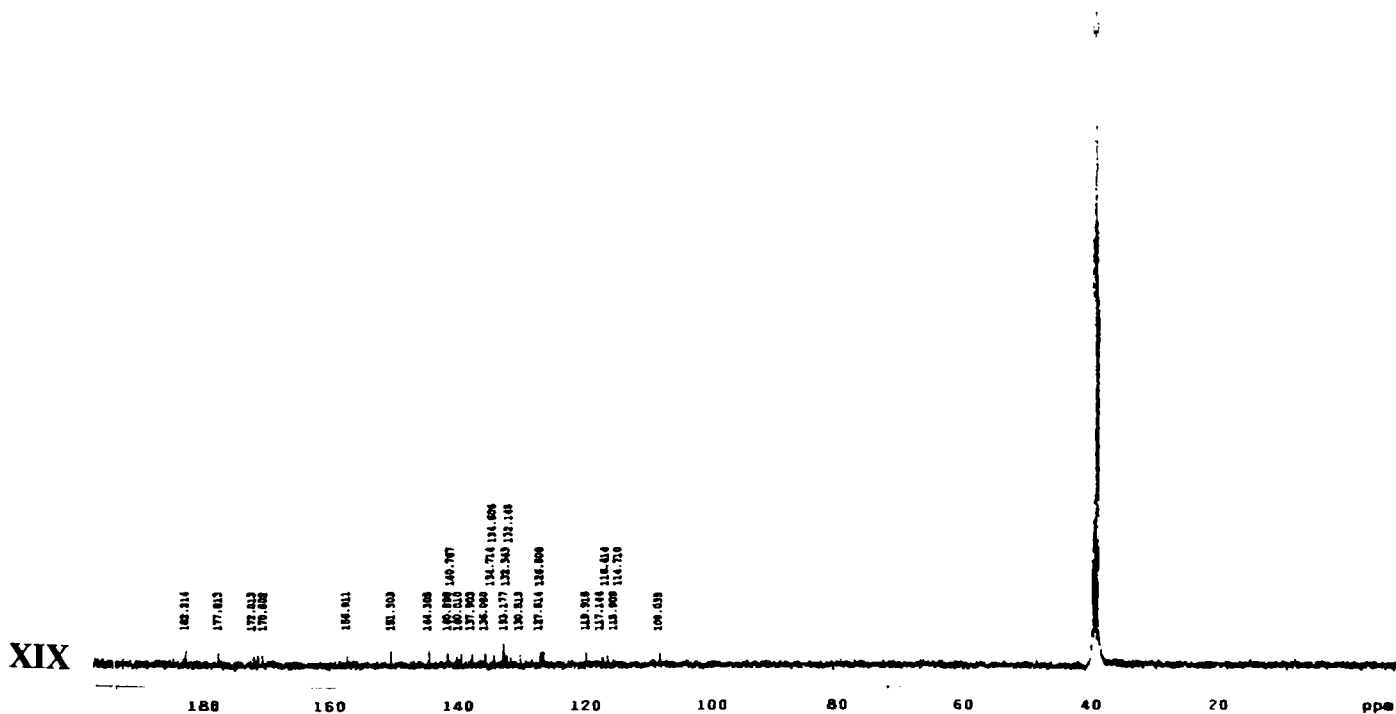
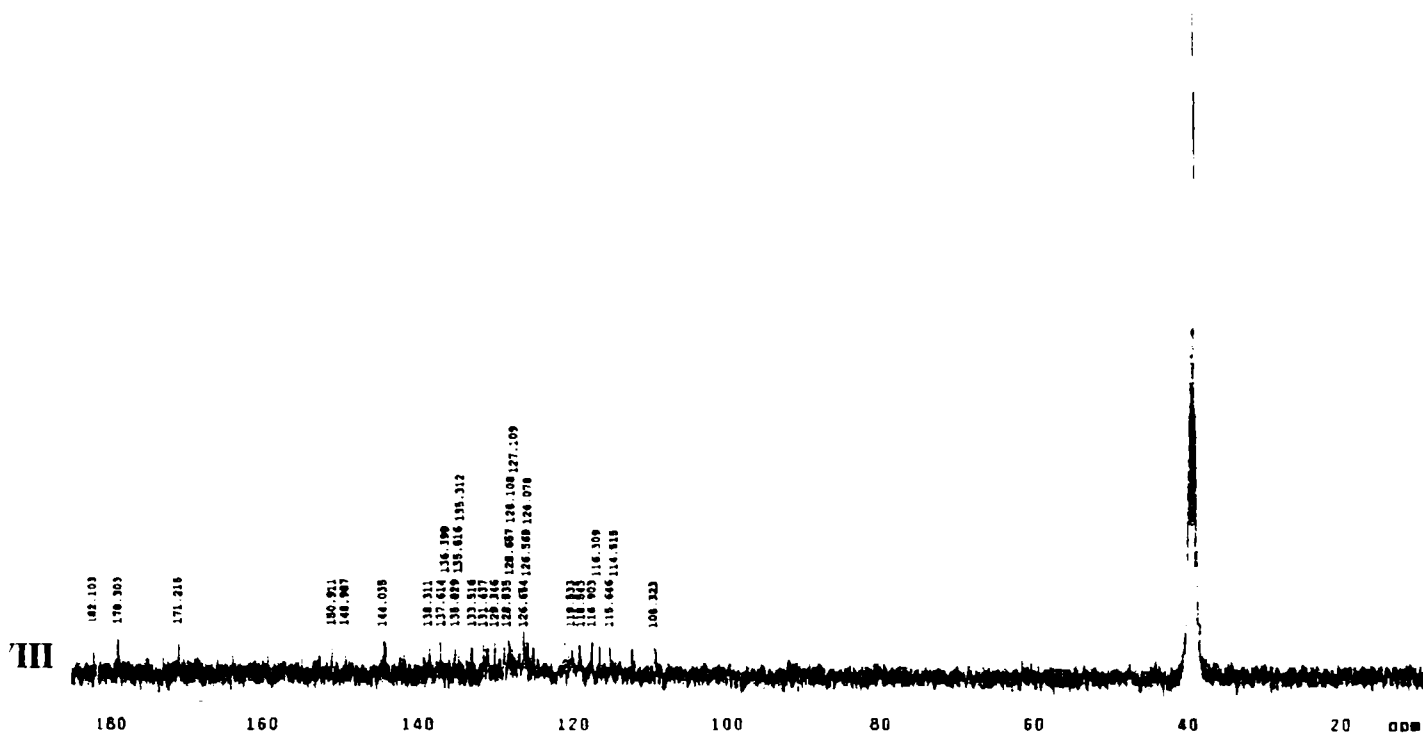
Nr. compus	^{13}C -RMN ($(\text{CD}_3)_2\text{SO}$) – (ppm)
XV	$C_1=115,923$; $C_2=144,233$; $C_3=107,835$; $C_4=135,721$; $C_5=137,814$; $C_6=128,515$; $C_7=137,508$; $C_8=120,125$; $C_9=135,218$; $C_{10}=109,833$; $C_{11}=181,416$; $C_{12}=174,015$; $C_{13}=178,518$; $C_{14}=150,511$; $C_{15}=116,418$; $C_{16}=128,218$; $C_{17}=133,785$; $C_{18}=127,315$; $C_{19}=117,334$; $C_{1'}=157,345$; $C_{2'}=132,654$; $C_{3'}=133,464$; $C_{4'}=131,912$; $C_{5'}=134,145$; $C_{6'}=124,116$; COOH=170,898
XVI	$C_1=115,813$; $C_2=143,785$; $C_3=107,903$; $C_4=137,114$; $C_5=138,219$; $C_6=129,616$; $C_7=141,110$; $C_8=120,197$; $C_9=136,423$; $C_{10}=112,011$; $C_{11}=181,907$; $C_{12}=174,518$; $C_{13}=179,325$; $C_{14}=153,341$; $C_{15}=115,603$; $C_{16}=127,555$; $C_{17}=134,218$; $C_{18}=126,445$; $C_{19}=118,105$; $C_{1'}=158,345$; $C_{2'}=118,546$; $C_{3'}=125,216$; $C_{4'}=143,358$; $C_{5'}=126,685$; $C_{6'}=126,517$; $C_{7'}=125,919$; $C_{8'}=128,455$; $C_{9'}=128,978$; $C_{10'}=129,301$
XVII	$C_1=115,576$; $C_2=144,103$; $C_3=108,195$; $C_4=136,018$; $C_5=138,099$; $C_6=129,518$; $C_7=136,218$; $C_8=119,878$; $C_9=134,813$; $C_{10}=114,510$; $C_{11}=182,319$; $C_{12}=171,011$; $C_{13}=177,903$; $C_{14}=151,816$; $C_{15}=115,893$; $C_{16}=128,103$; $C_{17}=133,010$; $C_{18}=126,219$; $C_{19}=117,433$; $C_{1'}=157,314$; $C_{2'}=124,010$; $C_{3'}=126,613$; $C_{4'}=145,733$; $C_{5'}=126,675$; $C_{6'}=124,911$
XVIII	$C_1=115,646$; $C_2=144,035$; $C_3=108,323$; $C_4=135,816$; $C_5=138,311$; $C_6=128,835$; $C_7=137,614$; $C_8=119,533$; $C_9=135,829$; $C_{10}=114,515$; $C_{11}=182,103$; $C_{12}=171,215$; $C_{13}=178,303$; $C_{14}=150,911$; $C_{15}=116,309$; $C_{16}=128,108$; $C_{17}=133,516$; $C_{18}=127,109$; $C_{19}=116,903$; $C_{1'}=135,312$; $C_{2'}=148,987$; $C_{3'}=118,543$; $C_{4'}=131,437$; $C_{5'}=128,657$; $C_{6'}=126,078$; $C_{7'}=126,569$; $C_{8'}=126,654$; $C_{9'}=129,346$; $C_{10'}=136,399$
XIX	$C_1=115,909$; $C_2=144,305$; $C_3=108,035$; $C_4=134,714$; $C_5=137,903$; $C_6=130,513$; $C_7=136,080$; $C_8=119,918$; $C_9=134,606$; $C_{10}=114,710$; $C_{11}=182,214$; $C_{12}=172,013$; $C_{13}=177,813$; $C_{14}=151,303$; $C_{15}=116,414$; $C_{16}=127,514$; $C_{17}=133,177$; $C_{18}=126,508$; $C_{19}=117,144$; $C_{1'}=156,911$; $C_{2'}=132,145$; $C_{3'}=140,767$; $C_{4'}=140,010$; $C_{5'}=140,898$; $C_{6'}=132,343$; COOH=170,802
XX	$C_1=115,244$; $C_2=144,419$; $C_3=108,211$; $C_4=135,987$; $C_5=138,285$; $C_6=129,703$; $C_7=136,411$; $C_8=119,968$; $C_9=134,618$; $C_{10}=114,529$; $C_{11}=184,011$; $C_{12}=171,913$; $C_{13}=178,018$; $C_{14}=151,286$; $C_{15}=115,743$; $C_{16}=127,119$; $C_{17}=134,010$; $C_{18}=126,177$; $C_{19}=117,086$; $C_{1'}=147,345$; $C_{2'}=128,154$; $C_{3'}=125,764$; $C_{4'}=164,121$; $C_{5'}=116,245$; $C_{6'}=128,716$; COOH=173,231
XXI	$C_1=115,090$; $C_2=144,179$; $C_3=108,003$; $C_4=136,107$; $C_5=138,175$; $C_6=130,010$; $C_7=136,299$; $C_8=118,710$; $C_9=134,226$; $C_{10}=115,177$; $C_{11}=182,313$; $C_{12}=171,677$; $C_{13}=177,687$; $C_{14}=152,019$; $C_{15}=115,916$; $C_{16}=127,613$; $C_{17}=133,797$; $C_{18}=126,443$; $C_{19}=117,818$; $C_{1'}=154,701$; $C_{2'}=127,399$; $C_{3'}=138,523$; $C_{4'}=135,301$; $C_{5'}=131,645$; $C_{6'}=127,319$; COOH=172,112
XXII	$C_1=115,519$; $C_2=143,898$; $C_3=108,025$; $C_4=135,185$; $C_5=138,144$; $C_6=130,473$; $C_7=136,010$; $C_8=119,223$; $C_9=134,090$; $C_{10}=115,696$; $C_{11}=182,144$; $C_{12}=170,331$; $C_{13}=176,098$; $C_{14}=152,586$; $C_{15}=115,783$; $C_{16}=126,813$; $C_{17}=133,418$; $C_{18}=126,267$; $C_{19}=116,916$; $C_{1'}=157,101$; $C_{2'}=124,932$; $C_{3'}=133,485$; $C_{4'}=140,416$; $C_{5'}=133,433$; $C_{6'}=124,878$; COOH=172,345
XXIII	$C_1=115,413$; $C_2=143,927$; $C_3=108,216$; $C_4=135,076$; $C_5=138,013$; $C_6=130,313$; $C_7=136,177$; $C_8=120,080$; $C_9=133,908$; $C_{10}=115,787$; $C_{11}=180,123$; $C_{12}=170,033$; $C_{13}=178,141$; $C_{14}=152,133$; $C_{15}=115,835$; $C_{16}=126,787$; $C_{17}=133,809$; $C_{18}=126,303$; $C_{19}=116,211$; $C_{1'}=151,655$; $C_{2'}=141,529$; $C_{3'}=127,909$; $C_{4'}=129,805$; $C_{5'}=149,603$; $C_{6'}=121,854$

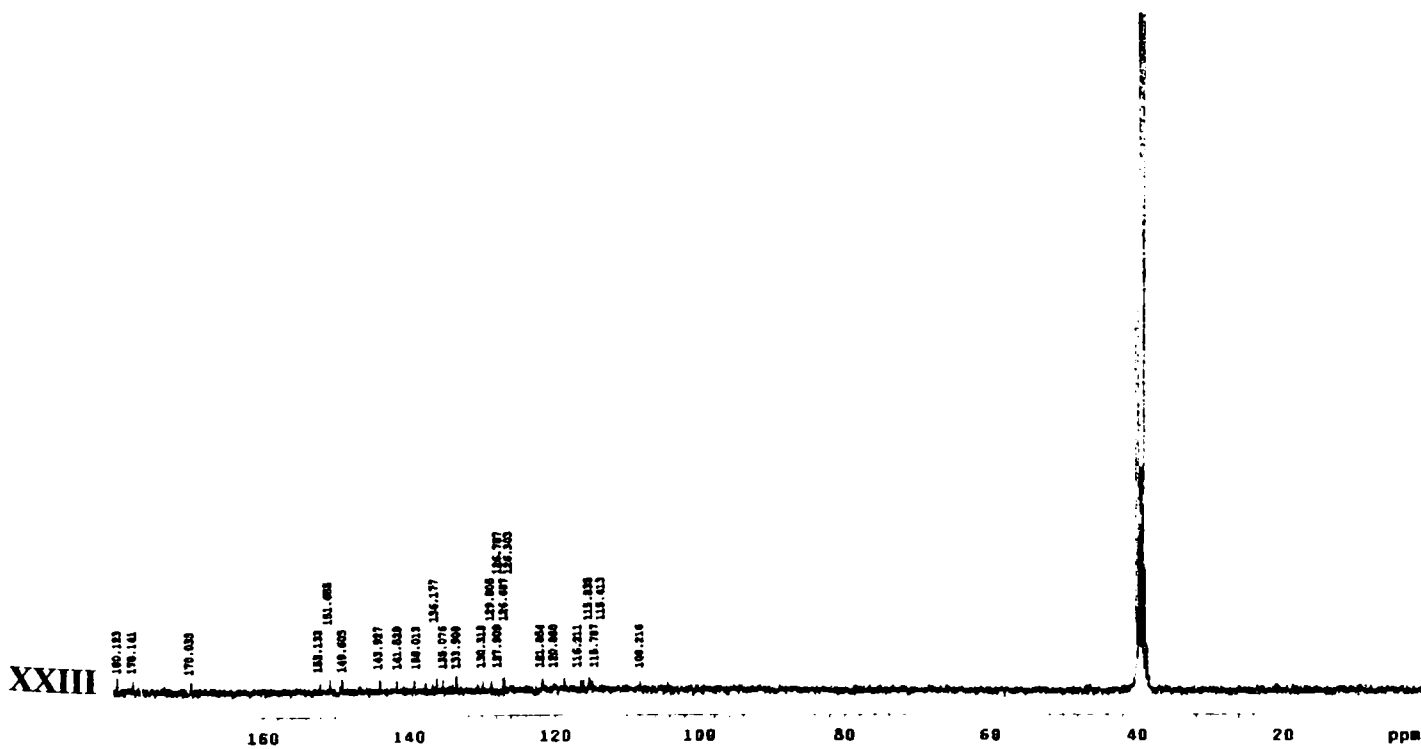
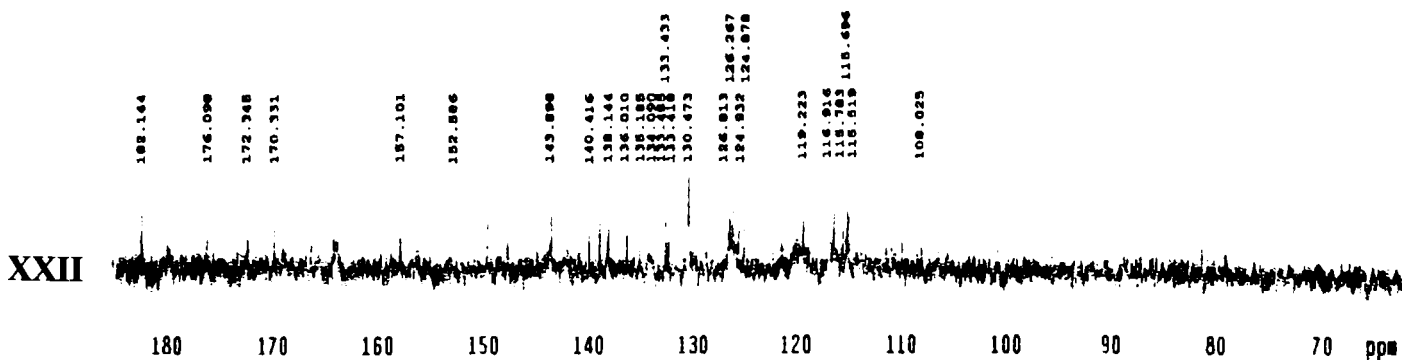
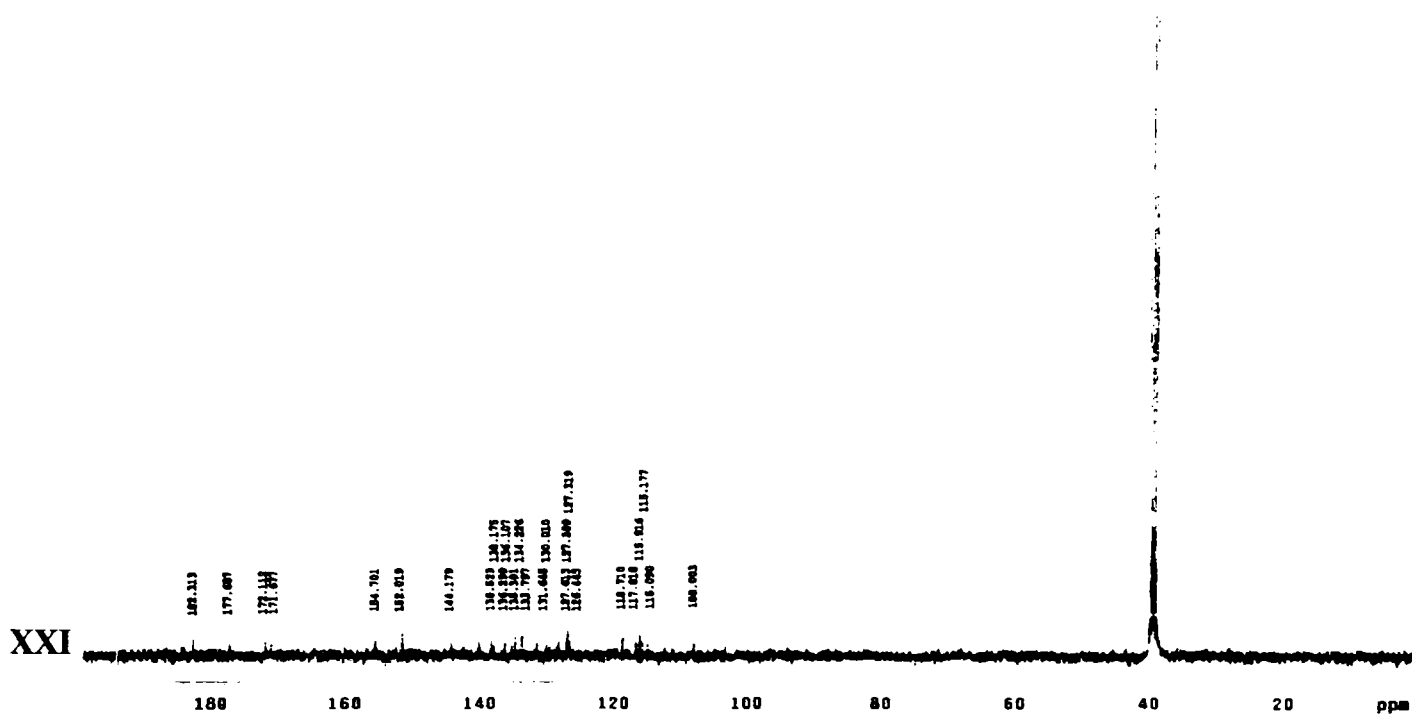
Semnalele corespunzătoare protonilor grupei hidroxil și amino secundară se identifică în spectru ca singleți situați la o valoare a deplasării $\delta=5,20$ ppm, respectiv $\delta=4,19-4,20$ ppm. Pentru compușii care conțin în moleculă grupele carboxil (compușii XV, XIX-XXII) protonul acestei grupe rezonază la o valoare a deplasării $\delta=10,46-10,58$ ppm.

Pentru toți compușii conform informațiilor furnizate de spectrul COSY (Homonuclear Correlation) se stabilește poziția protonilor confirmându-se influența diferiților substituenți existenți asupra deplasării la care se regăsesc aceștia. Multiplicitatea semnalelor, scindările acestora și constantele de cuplaj confirmă poziția acestor protoni.

Fig. II.3.1. Spectrele ^{13}C -RMN ale compușilor (XV – XXIII)







Așa cum se cunoaște pentru studiul compușilor aromatici policiclici cu schelet carbociclic sau heterociclic o importanță deosebită o prezintă spectrele ^{13}C -RMN. La astfel de compuși cuplajele multiple J_{H-H} nu permit elucidarea completă a spectrelor ^1H -RMN, de aceea spectrele ^{13}C -RMN rămân singurele care aduc informații structurale importante pentru elucidarea structurii compușilor investigați[126].

Spectrul HETCOR (Heteronuclear Chemical Shift Correlation) confirmă în cazul compușilor (XV), (XIX-XXII) prezența atomului de carbon carboxilic situat la o valoare a deplasării $\delta=170,802-173,231$ ppm.

Atomii de carbon ai restului triazinic sunt situați la o valoare a deplasării $\delta=170,033-184,011$ ppm, cel legat de atomul de clor situându-se la valoarea cea mai mică a deplasării, iar atomul de carbon de care se leagă restul de acid sulfanilic se situează la o valoare mare a deplasării.

Mai trebuie remarcat faptul că atomul de carbon C-3 din componenta de cuplare se regăsește la o valoare scăzută a deplasării chimice $\delta=107,835-108,323$ ppm, în timp ce atomul de carbon C-6 legat de grupa azo se regăsește la o valoare a deplasării $\delta=128,515-130,473$ ppm.

În ceea ce privește atomii de carbon legați de grupele amino, respectiv hidroxil, aceștia rezonează la o valoare a deplasării $\delta=134,714-137,114$ ppm, respectiv $\delta=137,814-138,311$ ppm.

Atribuirile corecte ale deplasărilor chimice ^1H -RMN și ^{13}C -RMN au fost obținute prin experimente HH COSY, de cuplare ^1H - ^1H , APT și (2D) HETCOR. Deplasările chimice în cazul tuturor compușilor sintetizați și variația acestora în funcție de substituenții grefați susțin structurile propuse pentru compușii studiați.

Concluzii

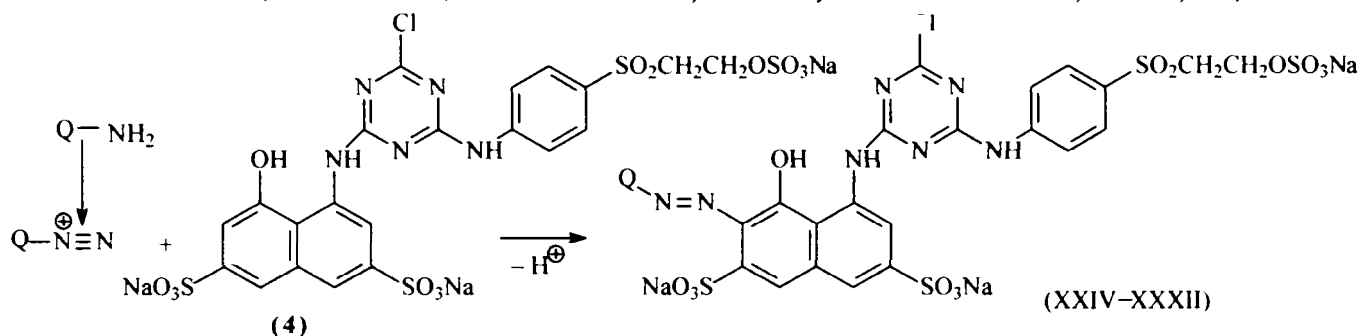
- În cadrul studiului efectuat au fost stabilite metode de sinteză pentru o serie de 9 coloranți azoici reactivi monoclorotriazinici, produsii obținuți fiind caracterizați prin analiză elementală, puncte de topire, spectroscopie de absorbție în domeniul vizibil și infraroșu, spectroscopie de reflexie, spectrometrie ^1H și ^{13}C -RMN, constatându-se că formulele de structură propuse pentru compușii descriși sunt corecte.
- Benzile de absorbție în domeniul vizibil sunt largi și asimetrice pentru toți compușii prezentând câte două maxime probabil datorită existenței echilibrului tautomer hidroxiazonic-cetohidrazonic.
- Prin efectuarea spectrelor de absorbție în domeniul infraroșu și a spectrelor de rezonanță magnetică nucleară (^1H și ^{13}C) sunt evidențiate caracteristicile structurale ale compușilor sintetizați.
- Au fost analizate și interpretate corelații între structura chimică a compușilor studiați și culoarea acestora, atât în soluție cât și după aplicare pe fibra celulozică (vezi capitolul III.3)
- Spectrometria de reflexie și măsurătorile de culoare în sistem CIELAB caracterizează obiectiv culorile obținute prin aplicarea coloranților pe suportul celulozic verificând faptul că prin modificarea concentrației de aplicare coeficienții tricromatici nu variază.
- Lungimile de undă dominante definesc foarte corect culorile obținute prin vopsire.
- Coloranții obținuți au o putere de colorare foarte ridicată ca dovadă și intensitatea mare a vopsirilor obținute la o concentrație mică de aplicare; de asemenea prezintă o solubilitate foarte mare în apă.

-
- Proprietățile de rezistență ale vopsirilor obținute sunt foarte bune ceea ce confirmă faptul că după vopsire, în toate cazurile coloranții hidrolizați au fost îndepărtați în totalitate prin spălare de pe fibră. De asemenea se remarcă o bună difuzie a colorantului în fibră în timpul vopsirii, în ciuda maselor moleculare relativ mari ale acestor compuși.

II.4. SINTEZA COLORANȚILOR REACTIVI HETEROFUNCTIONALI

În scopul extinderii paletei coloristice a coloranților reactivi heterofuncționali ce conțin în structura lor o grupare reactivă monoclorotriazinică și o grupare reactivă vinilsulfonică și a îmbunătățirii proprietăților coloristice și tinctoriale au fost sintetizați 9 noi coloranți monoazoici heterofuncționali.

Metoda preparativă elaborată cuprinde: diazotarea unor amine primare aromatice mono și polisubstituie cu substituenți electronoacceptori (QNH₂ vezi tabelul II.4.1.) și cuplare azoică cu o componentă de cuplare cu structură heterofuncțională sintetizată pentru acest scop și anume: acid 4-{4-clor-6-[4-(2-sulfoxi-etilsulfonil)-fenilamino]-[1,3,5]triazin-2-ilamino}-5-hidroxi-naftalen-2,7-disulfonic, urmată de condiționarea și izolarea coloranților obținuți.



Schema II.12. Reacția de obținere a coloranților azoici reactivi heterofuncționali

În ceea ce privește diazotarea aminelor aromatice mono și disubstituie, aceasta s-a efectuat abordându-se metoda clasică și anume: suspendarea și dizolvarea aminei aromatice în mediu apos cu adaos de agent alcalin, urmată de adăgarea de acid clorhidric la o temperatură adecvată formării clorhidratului aminei la un anumit raport molar, după care într-un anumit timp și la o anumită temperatură se adaugă soluția de nitrit de sodiu, după care se menține la o anumită temperatură și un anumit timp pentru perfectarea reacției de diazotare, funcție de consumul total al aminei din sistem[127-130].

Parametrii care influențează mersul reacției de diazotare sunt:

- condițiile de solubilizare a aminei aromatice
- concentrația aminei în masa de reacție
- raportul molar amină aromatică: acid clorhidric
- raportul molar amină aromatică: nitrit de sodiu
- temperatura, timpul și modul de adăgare a soluției de nitrit de sodiu
- temperatura și timpul de perfectare a reacției de diazotare

Parametrii optimi stabiliți ce determină realizarea diazotării totale a aminelor aromatice sunt următorii:

- deoarece aminele aromatice utilizate sunt acizi sulfonici sau carboxilici, aducerea lor în soluție apoasă s-a efectuat prin trecerea lor în săruri de sodiu utilizându-se pentru acest scop soluții apoase de hidroxid de sodiu, carbonat de sodiu și bicarbonat de sodiu cu opțiunea finală pentru soluția de bicarbonat de sodiu 9% care permite o reglare menajată a pH-ului, corelată cu utilizarea totală a agentului alcalin și o spumare redusă a masei de reacție
- pentru aceeași concentrație molară a aminelor aromatice în masă au rezultat concentrații procentuale situate între 3,1 și 5,7% corelate cu masele lor moleculare
- raportul molar amină:acid clorhidric este 1:3,62 (compușii XXIV, XXVIII-XXXII), 1:2,76 (compusul XXV) și 1:2,52 (compușii XXVI și XXVII) funcție de bazicitatea aminei

- raportul molar amină aromatică: nitrit de sodiu este 1:1,02, cu excepția compusului 2 pentru care raportul molar are valoarea 1:1,1 (compusul 2)
- se diazotează cu soluție apoasă de nitrit de sodiu 1 N, la o temperatură de 3-5⁰C și un timp de picurare a soluției de nitrit de 10-15 minute
- reacția de diazotare se perfectează la temperatura 8-10⁰C un timp de 0,5 ore, cu excepția compusului XXV cu un timp de 2 ore

Pe parcursul desfășurării reacției de diazotare se urmărește controlul permanent al excesului de nitrit cu hârtie iodamidonată și prezența/absența aminei în aureolă pe hârtie de filtru cu soluție alcoolică 1% de 4-dimetilamino-benzaldehidă.

Reacția de cuplare s-a realizat luând în considerare ambele variante cunoscute din literatură și anume:- varianta cuplării directe - prin introducerea sării de diazoniu a aminei aromatice peste cuplanta condiționată convenabil cu reglarea pH-ului la o anumită valoare și la o anumită temperatură pentru a asigura consumul cât mai complet al sării de diazoniu;- varianta cuplării indirecte – prin introducerea cuplantei condiționate convenabil peste sarea de diazoniu a aminei aromatice la o anumită temperatură și la un anumit pH [131].

Realizarea cuplării în poziția orto față de grupa OH grefată pe restul naftalinic, impune ca domeniul de pH indicat să fie neutru la slab alcalin, limitat și de posibilitatea de hidroliză a atomului de clor din restul triazinic și al grupei sulfoxietilsulfonice. În acest scop componenta de cuplare: acidul 4 - { 4 - clor - 6-[4-(2 - sulfoxi - etilsulfonil) - fenilamino]-[1,3,5] triazin-2-ilamino}-5-hidroxi-naftalen-2,7-disulfonic, a fost condiționat ca sare trisodică sub formă de soluție apoasă slab acidă cu pH = 5,5-6,5 și cu o concentrație de 4,9%.

Modul de lucru general prezentat a necesitat studiul parametrilor care influențează desfășurarea reacției de cuplare și anume:

- raportul molar amină aromatică: componentă de cuplare
- pH-ul sării de diazoniu
- modul de introducere a reactanților
- timpul de adăugare a reactanților
- temperatura și timpul de reacție

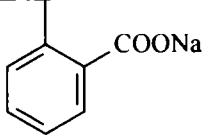
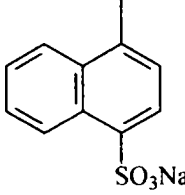
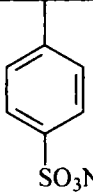
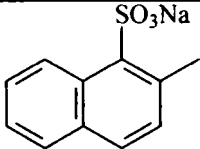
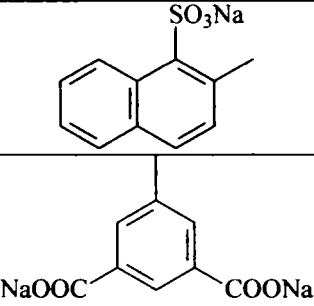
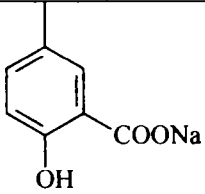
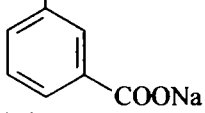
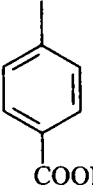
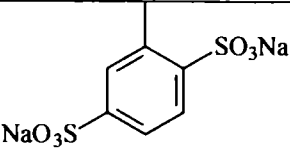
Raportul molar amină aromatică: componentă de cuplare s-a variat în limitele 1:1 la 1:1,2 urmărindu-se consumul cât mai complet al sării de diazoniu, precum și existența unui exces minim de cuplantă în masa de reacție. Raportul molar optim stabilit este de 1:1,02, la valori mai mari ale acestuia rămâne o cantitate mare de cuplantă în masa de reacție, iar la valori mai mici rămâne o cantitate de sare de diazoniu nereacționată care se poate descompune influențând în mod negativ nuanța colorantului finit prin ternarea acesteia.

Deoarece viteza reacției de cuplare a sărurilor de diazoniu ale aminelor aromatice utilizate cu componeta de cuplare cu structură hidroxinaftalen-clortriazinică depinde de pH-ul masei de reacție și crește pentru valori ale pH-ului situate în domeniul neutru sau slab alcalin, s-a procedat la reducerea acidității sărurilor de diazoniu de la valoarea pH=0,5-1 la valoarea pH=4-4,5 prin adaos de soluție de bicarbonat de sodiu 9%, pentru a asigura o cuplare menajantă, fără variații mari ale intervalului de pH, protejându-se în acest mod cele două grupe reactive existente în structura cuplantei.

Componenta de cuplare (acid liber) a fost utilizată sub forma soluției apoase a sării sale trisodice obținută prin adaos de soluție de bicarbonat de sodiu 9%, având o concentrație de 4,9% și pH=5,5-6,5.

În experimentările efectuate s-au abordat cele două variante de cuplare, rezultatele cele mai bune obținându-se prin varianta cuplării indirecte realizabilă prin introducerea soluției de cuplantă aflată la pH slab acid peste soluția de sare de diazoniu, în acest mod efectuându-se un control riguros al consumului acesteia și implicit determinarea timpului optim necesar reacției de cuplare la o anumită temperatură, corelat cu valorile pH-ului.

Tabelul II.4.1 Componentele de diazotare și condițiile de lucru pentru obținerea coloranților reactivi heterofuncționali

Nr. compus	Q din componenta de diazotare	Cantitate diazotantă (g)	Temp. de cuplare (°C)	pH	Timp de reacție (ore)	Randament (%)	p.t. (°C)
XXIV		1,34 (acid liber)	15-20	7	3,5	92	285 desc
XXV		2,18 (acid liber)	15-20	7	4,5	91	278 desc
XXVI		1,7 (acid liber)	15-20	7	5	89	240 desc
XXVII		2,18 (acid liber)	15-20	7	5	86	275 desc
XXVIII		1,77 (acid liber)	15-20	7	5	85	187 desc
XXIX		1,5 (acid liber)	15-20	7	4	92	235 desc
XXX		1,34 (acid liber)	15-20	7	5	91	264 desc
XXXI		1,34 (acid liber)	15-20	7	5	86	215 desc
XXXII		2,48 (acid liber)	15-20	7	4	88	292 desc

Pentru realizarea cât mai completă a reacției de cuplare, timpul de adăugare a reactanților s-a variat între 5 minute și 0,5 ore. S-a constatat că o adăugare continuă a unuia dintre reactanți fără un control al pH-ului și implicit o corecție a acestuia determină o viteză de

cuplare mai mică. Timpul optim stabilit pentru adăugarea soluției de cuplantă concomitent cu controlul pH-ului este de 15 minute.

Un parametru de o deosebită importanță pentru realizarea unei cuplări cât mai complete este timpul de reacție determinat de consumul total a sării de diazoniu la pH optim și la o anumită temperatură. În contextul respectării parametrilor optimi prezentați anterior, timpul de reacție a fost variat între 0,5-4 ore pentru un domeniu de temperatura cuprins între 10 și 25°C. Rezultatele cele mai bune s-au obținut prin realizarea reacției de cuplare la pH=7 folosindu-se ca agent de neutralizare soluție de bicarbonat de sodiu 9% cu menținerea temperaturii la 15-20°C timpul de reacție fiind de 0,5 ore, excepție făcând compusul (XXV) la care timpul de reacție este de 2 ore

Sfârșitul reacției de cuplare se determină prin controlul prezenței/absenței sării de diazoniu în aureola colorantului salifiat pe hârtie cu o soluție alcalină de acid 4-amino-5-hidroxi-naftalen-2,7-disulfonic.

Izolarea coloranților din masele de reacție de la faza de cuplare s-au realizat utilizându-se două variante de lucru: prin evaporare și prin salefiere cu clorură de sodiu.

Evaporarea soluțiilor de coloranți reactivi heterofuncționali s-a efectuat la temperatura de 35-40°C și presiune normală timp de 24-48 ore.

Salefierea s-a efectuat prin varierea cantității de clorură de sodiu utilizată determinată de o cât mai completă precipitare a colorantului corelată însă cu o concentrație finală cât mai mare în colorant chimic pur și o nuanță cât mai strălucitoare. Pentru salefiere s-au utilizat cantități variabile de clorură de sodiu cuprinse între 10-35% față de volumul masei de reacție. Rezultatele cele mai bune atât din punct de vedere al purității, concentrației și testelor coloristice s-au obținut la efectuarea precipitării la temperatura ambiantă cu adaos de clorură de sodiu de 25% (compusul XXVI), de 26% (compușii XXVIII,XXX-XXXII), de 28% (compușii XXIV,XXV,XXVII) și de 30% (compușii XXIX,XXXI) pentru timpi de agitare cuprinși între 3 și 5 ore. Coloranții izolați prin filtrare s-au uscat la vid la 40°C și s-au micronizat prin mojarare.

Coloranții izolați prin salefiere au fost mai unitari, cantitatea de colorant hidrolizat fiind mai mică decât în cazul celor izolați prin evaporare, caracteristici confirmate prin analiza purității prin metoda cromatografică și prin testele coloristice.

Randamentele obținute precum și condițiile de lucru pentru obținerea celor 9 noi coloranți reactivi monoazoici heterofuncționali sunt prezentate tabelat.

Tabelul II.4.2 Rezultatele spectroscopiei de absorbție VIS (XXIV-XXXII)

Nr. compus	XXIV	XXV	XXVI	XXVII	XXVIII	XXIX	XXX	XXXI	XXXII
Masa moleculară (săruri de Na)	948,16	1034,27	984,21	1034,27	1014,15	964,16	948,16	948,16	1086,26
$c \times 10^5$ (mol/l)	5,332	8,392	8,616	7,735	7,238	7,820	7,826	9,366	9,298
$\lambda_{max.}$ (nm)	515/538	543	524	521/547	515	536/561	516	522	513
$lg \epsilon_{max.}$	4,273/ 4,025	4,076	4,065	4,112/ 3,969	4,140	4,107/ 4,063	4,106	4,028	4,032

Spectrele de absorbție în domeniul vizibil prezintă două maxime de absorbție diferențiate cu diferența între lungimile de undă cuprinsă între 23-26 nm probabil corespunzătoare celor două forme hidroxi-azoică și ceto-hidrazonică numai în cazul a trei dintre compușii studiați (compușii XXIV,XXVII,XXIX). Și în aceste cazuri este de presupus că echilibrul tautomer determină probabil și raportul dintre coeficienții molari de absorbție corespunzători fiecărui maxim de absorbție. Pentru ceilalți compuși în spectrele de absorbție nu apar net diferențiate două maxime de absorbție ci mai degrabă se înregistrează o curbă de

absorbție deformată, asimetrică cu unul dintre maxime sub forma unui umăr puternic aplatizat. Probabil că înregistrarea unor familii de curbe de absorbție la concentrații diferite și în amestecuri de solvenți cu polaritate diferită ar putea pune în evidență o asemenea comportare și pentru ceilalți compuși.

Efectul batocrom cel mai important se înregistrează pentru compusul (XXIX), caz în care lungimea de undă a maximumului de absorbție se situează la 561 nm. În acest caz existența pe nucleul benzenic a unei grupe donoare de electroni în conjugare cu cromogenul, precum și existența grupei carboxil cu efect atrăgător de electroni slab în poziția meta față de grupa azo explică de asemenea obținerea unei valori mari pentru lungimea de undă a maximumului de absorbție.

Cea mai scăzută valoare înregistrată pentru lungimea de undă a maximumului de absorbție se obține în cazul compusului (XXXII) care are grefate pe nucleul benzenic din structura componentei de diazotare două grupe sulfonice cu efect electronoatrăgător în pozițiile 2 și 5 față de grupa azo care conduc la scăderea generală a densității electronice la nivelul cromogenului explicând valoarea obținută pentru lungimea de undă $\lambda_{\max.}=513$ nm.

Extinderea conjugării prin introducerea unui rest naftalenic în locul unuia benzenic și deplasarea batocromă a maximumului de absorbție se constată comparând compușii (XXV) și (XXVI), pentru aceștia lungimile de undă ale poziției maximelor de absorbție fiind situate la $\lambda_{\max.}=543$ nm, respectiv $\lambda_{\max.}=524$ nm.

Față de coloranții cu grupă reactivă monoclorotriazinică, coloranții cu grupă reactivă heterofuncțională monoclorotriazino-vinilsulfonică cu același cromogen nu diferă în ceea ce privește spectrele de absorbție în domeniul vizibil confirmându-se încă o dată rolul de componentă separatoare a restului triazinic.

Tabelul II.4.3 Valorile R_f pentru coloranții reactivi heterofuncționali (XXIV-XXXII)

Nr. compus	XXIV	XXV	XXVI	XXVII	XXVIII	XXIX	XXX	XXXI	XXXII
R_f	0,35	0,26	0,19	0,23	0,21	0,21	0,23	0,17	0,18

Desfășurarea reacțiilor chimice și verificarea purității coloranților obținuți s-a efectuat prin cromatografie pe strat subțire prin tehnica unidimensională ascendentă, utilizându-se ca fază staționară Silicagel G Merck depus pe folie de plastic, iar ca fază mobilă un amestec format din piridină:amoniac 17%:alcool n-amilic în raport 1,1:1:1 (vol/vol).

Separarea amestecurilor obținute în urma sintezei se poate face prin cromatografie pe coloană utilizând ca fază staționară Silicagel G Merck, iar ca fază mobilă același amestec utilizat la cromatografia pe strat subțire.

Tabelul II.4.4 Rezultatele analizei elementale (XXIV-XXXII)

Nr. compus	Formula brută	Masa moleculară	Analiza elementală (%)							
			C		H		N		S	
			Calculat	Găsit	Calculat	Găsit	Calculat	Găsit	Calculat	Găsit
XXIV	$C_{28}H_{18}ClN_7Na_4O_{15}S_4$	948,16	35,47	35,37	1,91	1,78	10,34	10,21	13,53	13,68
XXV	$C_{31}H_{20}ClN_7Na_4O_{16}S_5$	1034,27	36,00	35,87	1,95	1,83	9,48	9,29	15,50	15,67
XXVI	$C_{27}H_{18}ClN_7Na_4O_{16}S_5$	984,21	32,95	32,79	1,84	1,72	9,96	9,77	16,29	16,36
XXVII	$C_{31}H_{20}ClN_7Na_4O_{16}S_5$	1034,27	36,00	35,91	1,95	1,79	9,48	9,18	15,50	15,63
XXVIII	$C_{29}H_{17}ClN_7Na_5O_{17}S_4$	1014,15	34,35	34,16	1,69	1,48	9,67	9,55	12,65	12,78
XXIX	$C_{28}H_{18}ClN_7Na_4O_{16}S_4$	964,16	34,88	34,69	1,88	1,74	10,17	10,03	13,30	13,53
XXX	$C_{28}H_{18}ClN_7Na_4O_{15}S_4$	948,16	35,47	35,31	1,91	1,76	10,34	10,24	13,53	13,65
XXXI	$C_{28}H_{18}ClN_7Na_4O_{15}S_4$	948,16	35,47	35,29	1,91	1,72	10,34	10,12	13,53	13,75
XXXII	$C_{27}H_{17}ClN_7Na_5O_{19}S_6$	1086,26	29,85	29,68	1,58	1,34	9,03	8,89	17,71	17,95

Conținutul în carbon, hidrogen și azot s-a determinat cu un analizor Carlo-Erba M 1106, iar conținutul în sulf prin combustie Schoniger. În urma efectuării analizei elementale pe produsele purificate prin metoda descrisă în partea experimentală, s-a constatat o bună concordanță între valorile obținute experimental și cele calculate teoretic.

Spectrele de absorbție în domeniul infraroșu efectuate în pastilă de bromură de potasiu conduc la identificarea cu ușurință a benzilor caracteristice scheletului de bază al componentei de cuplare pentru toți compușii sintetizați, precum și elementele structurale ale componentelor de diazotare[132-133].

Tabelul II.4.5 Rezultatele spectroscopiei de absorbție IR pentru compușii (XXIV-XXXII)

Nr. compus	Frecvențe caracteristice (cm^{-1}) și intensități
XXIV	3410i, 1710s, 1605f.i., 1575f.i., 1550f.i., 1532f.i., 1475f.i., 1455i, 1430i, 1395f.i., 1382f.i., 1310i, 1220f.i., 1133f.i., 1080s, 1035f.i., 978m, 872s, 825s, 785s, 748m, 737m, 721m, 685s, 655i, 614i, 550m, 518i, 450m
XXV	3420f.i., 1610f.i., 1575f.i., 1530f.i., 1478f.i., 1420m, 1392i, 1375i, 1318i, 1220f.i., 1190f.i., 1133f.i., 1040f.i., 1010m, 985m, 935s, 885s, 875s, 838s, 787s, 758m, 740m, 678i, 650i, 625i, 580m, 568m, 540i, 521i, 470m, 430m
XXVI	3440i, 1621f.i., 1570i, 1550i, 1535i, 1475f.i., 1410m, 1390f.i., 1350i, 1338s, 1310s, 1285s, 1190f.i., 1140f.i., 1112f.i., 1035f.i., 1000m, 910s, 880m, 832i, 750i, 714i, 661i, 630f.i., 568f.i., 526i, 455i, 405i
XXVII	3420i, 3040i, 1615f.i., 1558f.i., 1542f.i., 1480i, 1461f.i., 1405f.i., 1350i, 1315s, 1220f.i., 1192f.i., 1140f.i., 1049f.i., 980i, 880s, 816m, 800i, 770i, 736i, 662i, 610f.i., 570i, 550i, 508i, 420m
XXVIII	3440f.i., 3080s, 1700f.i., 1610f.i., 1580f.i., 1562f.i., 1535f.i., 1489f.i., 1423i, 1400f.i., 1383f.i., 1345f.i., 1310f.i., 1235f.i., 1190f.i., 1162f.i., 1133f.i., 1040f.i., 985m, 957m, 908s, 883s, 815s, 758i, 735i, 668i, 655i, 618i, 590m, 568m, 522i, 478m, 460m, 430m
XXIX	3435f.i., 3040s, 1715i, 1600f.i., 1575f.i., 1563f.i., 1535f.i., 1480f.i., 1400f.i., 1375f.i., 1328m, 1283m, 1215f.i., 1195f.i., 1140f.i., 1040f.i., 987i, 885m, 830m, 795i, 738i, 663f.i., 630i, 600i, 575i, 550m, 522m, 450m, 425m
XXX	3420f.i., 1688f.i., 1600f.i., 1578f.i., 1565f.i., 1529f.i., 1512i, 1480f.i., 1385f.i., 1315s, 1220f.i., 1190f.i., 1165f.i., 1135f.i., 1035f.i., 978i, 878m, 825m, 792m, 745i, 730i, 665f.i., 610f.i., 580m, 560m, 510i, 462m
XXXI	3425f.i., 1675f.i., 1600f.i., 1547f.i., 1468f.i., 1388f.i., 1315m, 1215f.i., 1190f.i., 1131f.i., 1100m, 1032f.i., 975i, 882s, 831m, 789s, 755i, 723i, 657i, 618i, 579m, 548s, 516m, 438s
XXXII	3415f.i., 1614f.i., 1555f.i., 1538f.i., 1475f.i., 1400i, 1375i, 1322s, 1220f.i., 1195f.i., 1135f.i., 1038f.i., 1010i, 980i, 922s, 875m, 822i, 760i, 730i, 661f.i., 618i, 572i, 545i, 516i, 445m

Vibrația de întindere a grupei hidroxil este identificată ușor ca bandă largă spre deosebire de cea a grupei amino din cauza existenței legăturilor de hidrogen, diferența între cele două grupări fiind de aceea greu de făcut. Grupele hidroxil prezintă legături de hidrogen intramoleculare datorită vecinătății grupei azo, astfel că apar benzi largi corespunzătoare vibrației de întindere a grupei hidroxil (ν_{OH}) care se suprapun cu benzile vibrațiilor de întindere ale grupei amino secundare din legăturile restului triazinic și cu benzile vibrației de valență a atomilor de hidrogen aromatici. Benzile combinate astfel apărute se situează la $3410\text{-}3440\text{ cm}^{-1}$.

Prezența în spectrele de absorbție în domeniul infraroșu ale compușilor (XXIV) și (XXVI-XXXI) a unor benzi situate la $1675\text{-}1715\text{ cm}^{-1}$ conduce la concluzia existenței în cazul acestor compuși a grupelor carboxilice libere, aceste benzi fiind caracteristice vibrației de valență a grupei carbonil din restul carboxil. În același timp existența în amestec și a sărurilor

de sodiu ale acizilor carboxilici conduce la suprapunerea benzilor caracteristice vibrației de valență asimetrică a grupei carbonil cu benzile vibrațiilor scheletului inelelor aromatice izolate și condensate într-o bandă largă și foarte intensă situată la $1600-1621\text{ cm}^{-1}$. În aceeași zonă se regăsesc și benzile vibrației scheletului aromatic pentru ceilalți compuși.

Vibrația de valență simetrică a grupei carbonilice din compușii carboxilici se manifestă în spectru prin apariția unor benzi intense caracteristice situate la $1383-1405\text{ cm}^{-1}$.

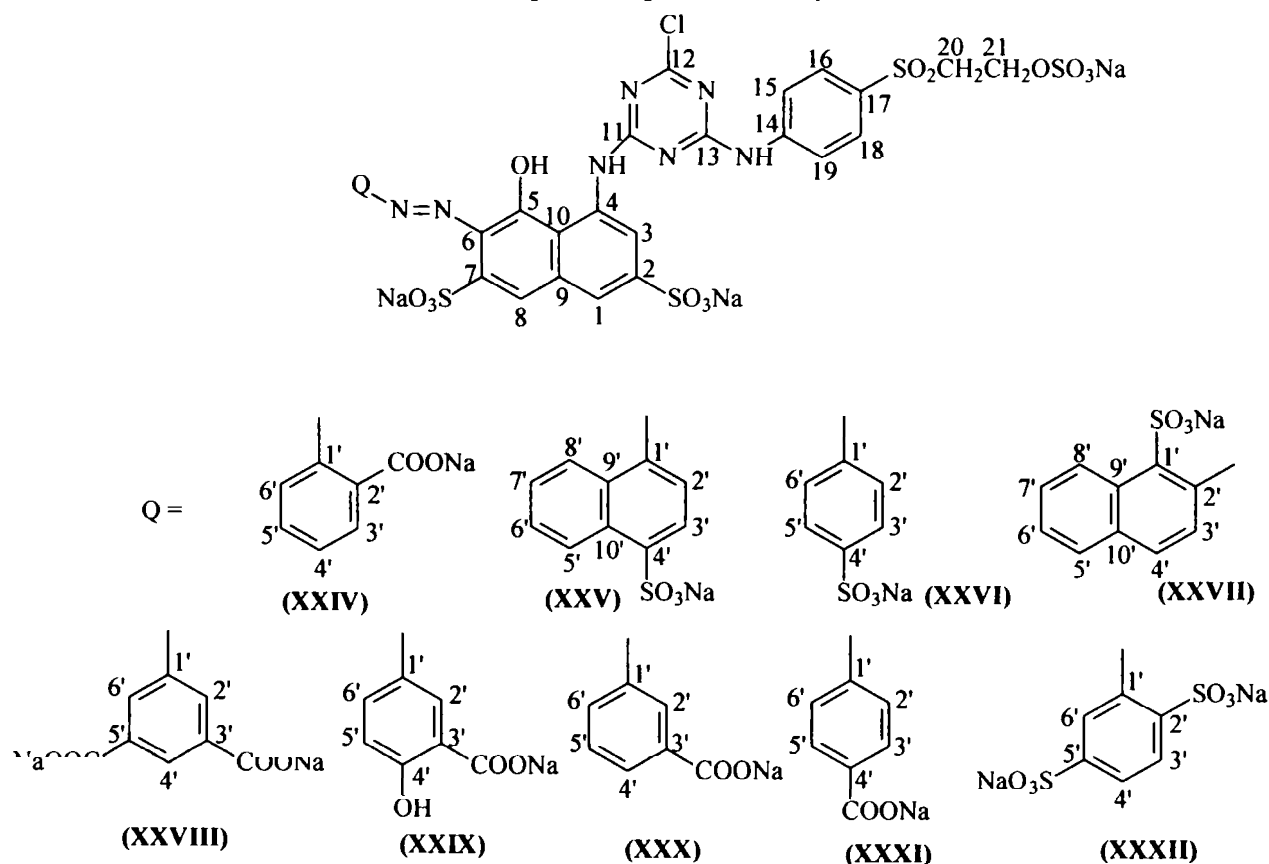
Banda foarte largă și intensă situată în zona $1190-1220\text{ cm}^{-1}$ și prezentă în spectrele IR ale tuturor compușilor studiați rezultă prin suprapunerea mai multor vibrații, contribuția majoritară fiind dată de vibrația de valență asimetrică a grupelor sulfonice și de asemenea de vibrația de valență a grupei fenolice (ν_{C-OH}), caracteristici structurale comune tuturor compușilor studiați. Vibrațiile simetrice ale grupelor sulfonice se situează în spectru ca benzi intense la $1032-1049\text{ cm}^{-1}$.

Pentru restul triazinic sunt caracteristice vibrațiile de valență ($\nu_{C=C}$, ν_{C-N}) de la $1538-1580\text{ cm}^{-1}$, respectiv $1375-1398\text{ cm}^{-1}$, iar pentru restul naftalenic benzile situate la $1385-1405$ și $1468-1489\text{ cm}^{-1}$.

Benzile caracteristice vibrației de deformație în afara planului (γ_{CH}) și dependente de tipul de substituție se situează la $730-758\text{ cm}^{-1}$. Vibrațiile de întindere ale grupelor metilenice din grupa reactivă sulfoxietilsulfonică se regăsesc în domeniul $3100-2850\text{ cm}^{-1}$ și sunt foarte slabe ca intensitate, ele fiind greu detectabile în acest caz doar pentru compușii (XXVII-XXIX).

Atribuirea semnalelor $^1\text{H-RMN}$ a fost realizată având în vedere intensitatea și multiplicitatea picurilor în condiții de decuplare "off resonance", iar valorile deplasărilor au fost verificate în urma experimentelor de decuplare selectivă a protonilor. Atribuirile corecte ale deplasărilor chimice $^1\text{H-RMN}$ și $^{13}\text{C-RMN}$ au fost obținute prin experimente HH COSY, de cuplare $^1\text{H-}^1\text{H}$, APT și (2D) HETCOR. Pentru toți compușii conform informațiilor furnizate de spectrul COSY (Homonuclear Correlation) se stabilește poziția protonilor confirmându-se influența diferiților substituenți existenți asupra deplasării la care se regăsesc aceștia.

Schema II.13. Localizarea atomilor pentru spectrele ^1H și $^{13}\text{C-RMN}$



Tabel II.4.6 Rezultatele spectrometriei $^1\text{H-RMN}$ pentru compusii (XXIV-XXXII)

Nr. compus	$^1\text{H-RMN}$ ($(\text{CD}_3)_2\text{SO}$) (ppm)
XXIV	NH-4,19 (s); COOH-10,46 (s); OH-9,12 (s); H-20-3,73 (t); H-21-3,97 (t); H-3'-8,44 (d) $J_0=7,9$ Hz; H-3-7,30 (s); H-15,H-16,H-18,H-19,H-4',H-5'-7,40-7,90 (m); H-1,H-8,H-6'-7,90-8,30 (m);
XXV	NH-4,19 (s); OH-9,18 (s); H-20-3,78 (t); H-21-3,93 (t); H-2'-8,44 (d) $J_0=8,25$ Hz; H-3'-8,32 (d) $J_0=8,25$ Hz; H-1,H-8-7,90-8,30 (m); H-3-7,22 (s); H-15,H-16,H-18,H-19,H-5',H-6',H-7',H-8'-7,50-7,90 (m);
XXVI	NH-4,20 (s); OH-9,20 (s); H-20-3,78 (t); H-21-3,91 (t); H-3-7,22 (s); H-15,H-19,H-16,H-18-7,40-7,90 (m); H-1,H-8,H-2',H-3',H-5',H-6'-7,90-8,30 (m)
XXVII	NH-4,20 (s); OH-9,05 (s); H-20-3,80 (t); H-21-3,97 (t); H-1,H-8,H-15,H-16,H-18,H-19,H-5',H-8'-7,40-8,10 (m); H-3-7,28 (s); H-6',H-7'-7,28 (t) $J_0=8,20$ Hz; H-4'-8,39 (d) $J_0=9,19$ Hz; H-3'-8,46 (d) $J_0=9,19$ Hz
XXVIII	NH-4,20 (s); OH-9,22 (s); COOH-10,42 (s); H-20-3,85 (t); H-21-3,98 (t); H-3-7,24 (s); H-1-7,92 (s); H-8-8,15 (s); H-15,H-16,H-18,H-19-7,40-7,90 (m); H-2',H-4',H-6'-8,10-8,60 (m);
XXIX	NH-4,20 (s); OH-9,12 (s); COOH-10,37 (s); H-20-3,82 (t); H-21-3,97 (t); H-3-7,25 (s); H-15,H-16,H-18,H-19-7,40-7,90 (m); H-1,H-8-7,90-8,40 (m); H-6'-8,85 (s); H-2'-8,95 (s)
XXX	NH-4,20 (s); OH-9,18 (s); COOH-10,38 (s); H-20-3,80 (t); H-21-3,98 (t); H-3-7,27 (s); H-1,H-8-7,90-8,20 (m); H-5',H-15,H-16,H-18,H-19-7,40-7,90 (m); H-6'-8,23 (d); H-4'-8,35 (d); H-2'-8,98 (s)
XXXI	NH-4,20 (s); OH-8,97 (s); COOH-10,40 (s); H-20-3,82 (t); H-21-3,98 (t); H-3-7,25 (s); H-1-7,95 (s); H-8-8,02 (s); H-15,H-16,H-18,H-19-7,40-7,90 (m); H-2',H-3',H-5',H-6'-8,00-8,50 (m)
XXXII	NH-4,20 (s); OH-9,05 (s); H-20-3,78 (t); H-21-3,95 (t); H-15,H-16,H-18,H-19-7,40-7,90 (m); H-1-7,96 (s); H-8-8,00 (s); H-3-7,23 (s); H-3',H-4'-8,49 (d); H-6'-9,02 (s)

Ca și în cazul coloranților reactivi monoclorotriazinici, examinarea spectrelor $^1\text{H-RMN}$ pentru coloranții reactivi heterofuncționali a condus la concluzia că în $(\text{CD}_3)_2\text{SO}$, protonii din componenta de cuplare, respectiv din restul cu structură naftalenică sunt singleți, protonul H-3 fiind cel mai ecranat din cauza vecinătății grupei amino secundară, el situându-se la $\delta=7,22-7,30$ ppm, protonii H-8 și H-1 fiind puternic dezecrațați de vecinătatea grupelor sulfonice, ei situându-se la o valoare a deplasării $\delta=7,90-8,40$ ppm, de cele mai multe ori făcând parte dintr-un multiplet (anexa II).

Restul aromatic de ester monosulfuric al 2-(4-amino-benzensulfonil)etanolului legat de ciclul triazinic prezintă doi dubleți identificați în multipletul prezent în zona deplasărilor chimice situată în majoritatea cazurilor la $\delta=7,40-7,90$ ppm. Conform rezultatelor obținute prin integrarea picurilor obținute se confirmă atribuirea acestor semnale protonilor precizați.

În spectre se identifică de asemenea protonii aparținând componentelor de diazotare aceștia fiind în general puternic dezecrațați atât de vecinătatea grupei azo, cât și de prezența grupelor sulfonice sau carboxilice cu efect electronoatrăgător. Aceștia se situează în spectru la o valoare a deplasării $\delta=7,90-8,60$ ppm în funcție de structura componentei de diazotare, de cele mai multe ori ca multipleți [134-135].

Se remarcă în acest context identificarea ușoară a dubletului H-3'=8,44 ppm, $J_0=7,9$ Hz în cazul compusului (XXIV), dubleții din compusul (XXVII) H-4'=8,39 ppm, $J_0=9,19$ Hz, respectiv H-3'=8,46 ppm, $J_0=9,19$ Hz, pentru compusul (XXIX) dubletul H-6'=8,85 ppm și singletul H-2'=8,25 ppm, pentru compusul cu structura (XXX) singletul H-2'=8,98 ppm, iar în cazul compusului (XXXII), singletul corespunzător H-6'=9,02 ppm și dubleții H-3',H-4'=8,49 ppm.

Protonii grupelor hidroxil și amino secundară se identifică în spectru ca singeleți situați la o valoare a deplasării $\delta=8,97-9,22$ ppm, respectiv $\delta=4,19-4,20$ ppm. Pentru compușii care conțin în moleculă grupe carboxil (compușii XXIV, XXVIII-XXXI) protonul acestei grupe rezonează la o valoare a deplasării $\delta=10,37-10,46$ ppm.

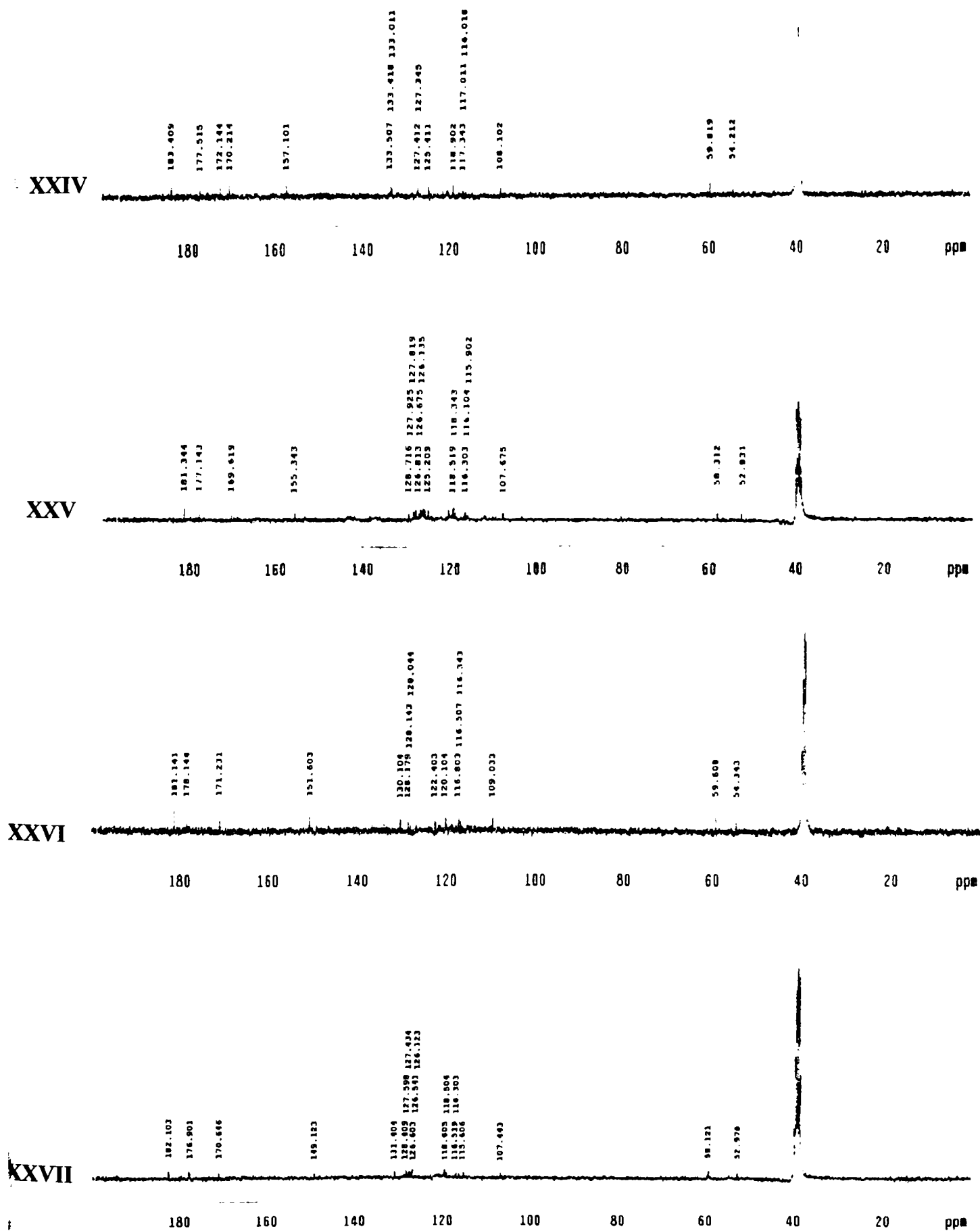
Caracteristice grupeii reactive sulfoxietilsulfonice sunt semnalele protonilor restului etil, acestea fiind corespunzătoare unor tripleți situați la o valoare a deplasării chimice, pentru H-20 $\delta=3,73-3,85$ ppm, respectiv H-21 $\delta=3,91-3,98$ ppm.

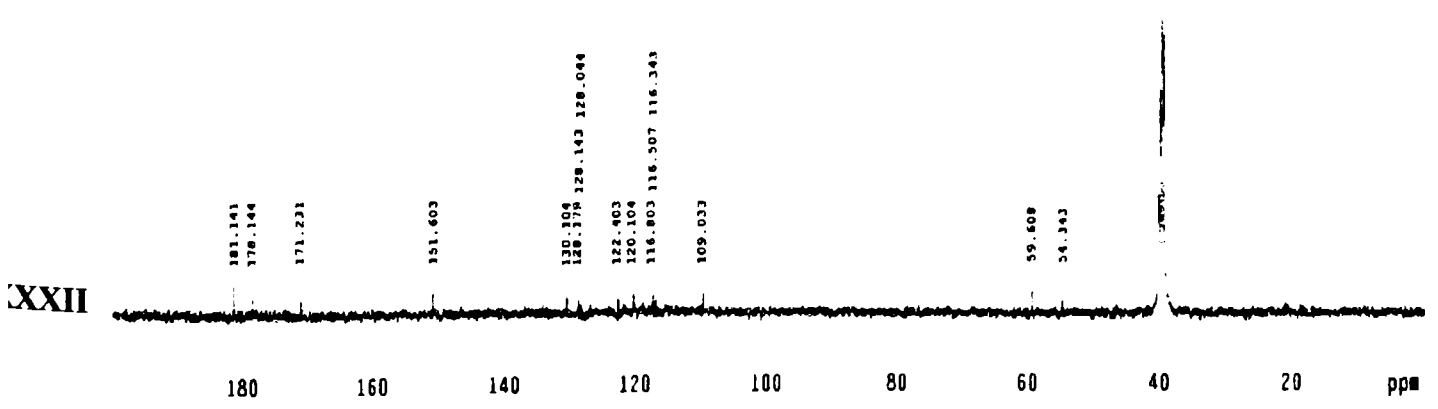
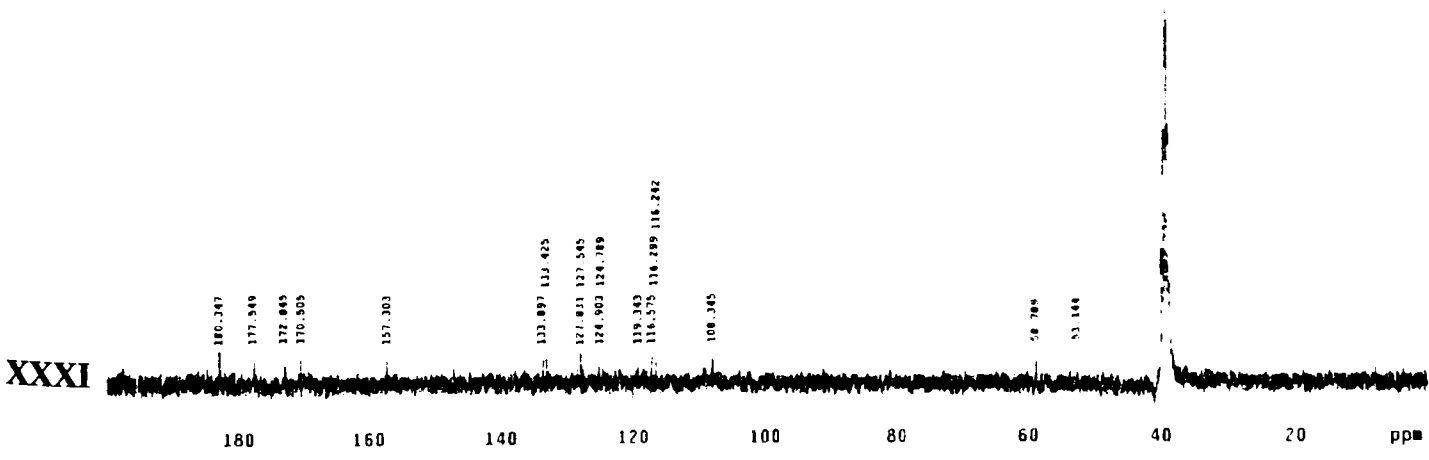
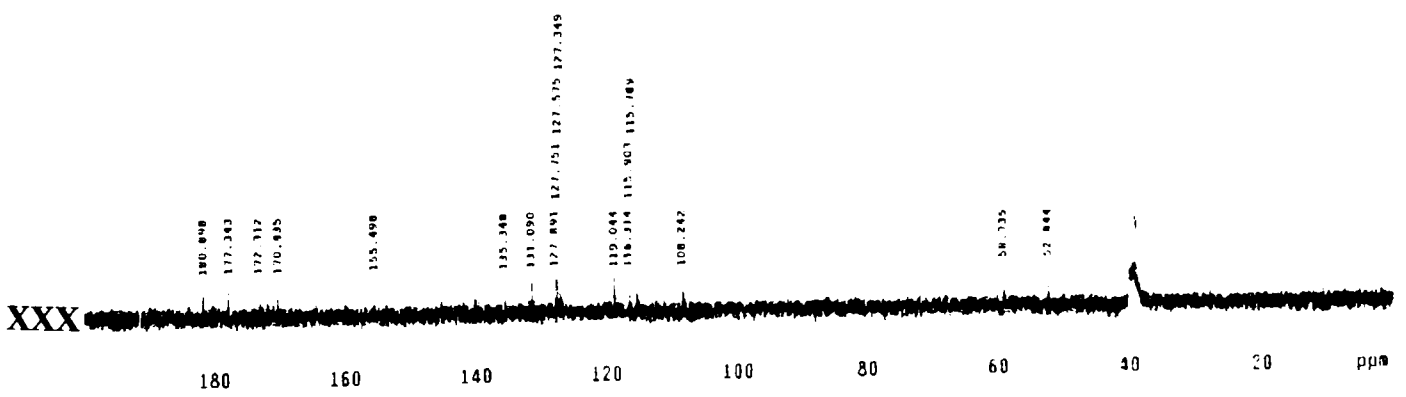
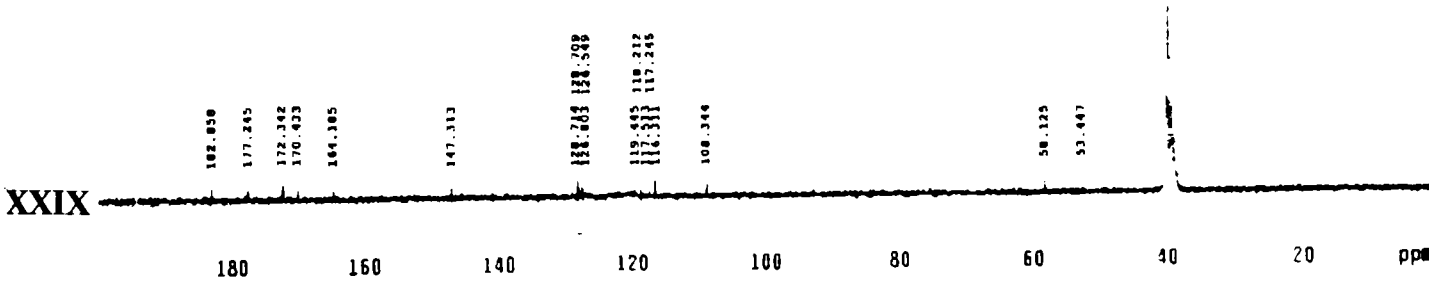
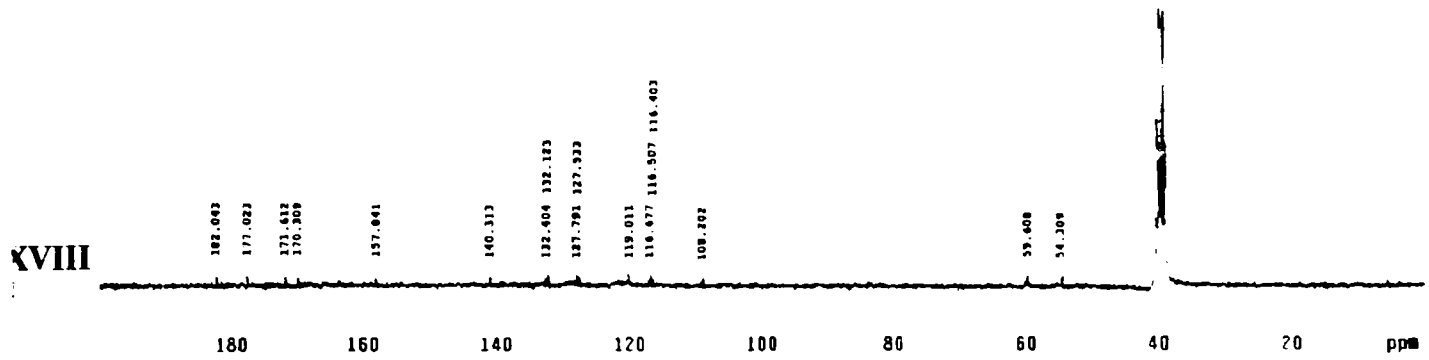
În cazul compușilor studiați cuplajele multiple J_{H-H} nu permit elucidarea completă a structurii numai din analiza spectrelor $^1\text{H-RMN}$, de aceea spectrele $^{13}\text{C-RMN}$ rămân singurele care aduc informații structurale importante. În cazul acestor compuși însă spectrele $^{13}\text{C-RMN}$ sunt mai sărace în informații din cauza solubilității mai mici a coloranților în solventul în care s-a efectuat determinarea, astfel că așa cum se observă se pot identifica numai o parte din atomii de carbon, în spectru nefiind vizibili decât atomii de carbon secundari și terțiari și mai puțin cei cuaternari.

Spectrul HETCOR (Heteronuclear Chemical Shift Correlation) confirmă în cazul compușilor (XXIV), (XXVII-XXXI) prezența atomului de carbon carboxilic situat la o valoare a deplasării $\delta=171,612-172,845$ ppm.

Tabel II.4.7 Rezultatele spectrometriei $^{13}\text{C-RMN}$ pentru compușii (XXIV-XXXII)

Nr. compus	$^{13}\text{C-RMN}$ ($(\text{CD}_3)_2\text{SO}$) – (ppm)
XXIV	$C_1=116,018$; $C_3=108,102$; $C_8=118,902$; $C_{11}=177,515$; $C_{12}=170,214$; $C_{13}=183,409$; $C_{15}=117,011$; $C_{16}=127,345$; $C_{18}=127,412$; $C_{19}=117,343$; $C_{20}=54,212$; $C_{21}=59,819$; $C_{1'}=157,101$; $C_{3'}=133,418$; $C_{4'}=133,011$; $C_{5'}=133,507$; $C_{6'}=125,411$; COOH=172,144
XXV	$C_1=115,902$; $C_3=107,675$; $C_8=118,343$; $C_{11}=177,143$; $C_{12}=169,619$; $C_{13}=181,344$; $C_{15}=116,104$; $C_{16}=127,819$; $C_{18}=127,925$; $C_{19}=116,303$; $C_{20}=52,831$; $C_{21}=58,312$; $C_{1'}=155,343$; $C_{2'}=118,519$; $C_{3'}=125,209$; $C_{5'}=126,675$; $C_{6'}=126,813$; $C_{7'}=126,135$; $C_{8'}=128,716$
XXVI	$C_1=115,795$; $C_3=107,314$; $C_8=117,499$; $C_{11}=176,543$; $C_{12}=170,298$; $C_{13}=182,522$; $C_{15}=115,434$; $C_{16}=127,308$; $C_{18}=127,543$; $C_{19}=115,919$; $C_{20}=53,878$; $C_{21}=57,412$; $C_{1'}=156,408$; $C_{2'}=124,070$; $C_{3'}=126,618$; $C_{5'}=126,909$; $C_{6'}=124,145$
XXVII	$C_1=115,606$; $C_3=107,443$; $C_8=118,605$; $C_{11}=176,901$; $C_{12}=170,646$; $C_{13}=182,103$; $C_{15}=116,303$; $C_{16}=127,434$; $C_{18}=127,598$; $C_{19}=116,519$; $C_{20}=52,978$; $C_{21}=58,121$; $C_{1'}=149,123$; $C_{3'}=118,504$; $C_{4'}=131,404$; $C_{5'}=128,409$; $C_{6'}=126,123$; $C_{7'}=126,541$; $C_{8'}=126,603$
XXVIII	$C_1=116,403$; $C_3=108,202$; $C_8=119,011$; $C_{11}=177,023$; $C_{12}=170,309$; $C_{13}=182,043$; $C_{15}=116,507$; $C_{16}=127,533$; $C_{18}=127,791$; $C_{19}=116,677$; $C_{20}=54,309$; $C_{21}=59,608$; $C_{1'}=157,841$; $C_{2'}=132,123$; $C_{4'}=140,313$; $C_{6'}=132,404$; COOH=171,612
XXIX	$C_1=116,311$; $C_3=108,344$; $C_8=119,445$; $C_{11}=177,245$; $C_{12}=170,433$; $C_{13}=182,858$; $C_{15}=117,245$; $C_{16}=126,549$; $C_{18}=126,803$; $C_{19}=117,513$; $C_{20}=53,447$; $C_{21}=58,125$; $C_{1'}=147,313$; $C_{2'}=128,709$; $C_{4'}=164,185$; $C_{5'}=118,212$; $C_{6'}=128,714$; COOH=172,342
XXX	$C_1=116,314$; $C_3=108,242$; $C_8=119,044$; $C_{11}=177,343$; $C_{12}=170,435$; $C_{13}=180,898$; $C_{15}=115,789$; $C_{16}=127,349$; $C_{18}=127,575$; $C_{19}=115,903$; $C_{20}=52,844$; $C_{21}=58,735$; $C_{1'}=155,498$; $C_{2'}=127,751$; $C_{4'}=135,348$; $C_{5'}=131,090$; $C_{6'}=127,891$; COOH=172,312
XXXI	$C_1=116,299$; $C_3=108,345$; $C_8=119,343$; $C_{11}=177,549$; $C_{12}=170,505$; $C_{13}=180,347$; $C_{15}=116,242$; $C_{16}=127,545$; $C_{18}=127,831$; $C_{19}=116,575$; $C_{20}=53,144$; $C_{21}=58,789$; $C_{1'}=157,303$; $C_{2'}=124,789$; $C_{3'}=133,425$; $C_{5'}=133,897$; $C_{6'}=124,903$; COOH=172,845
XXXII	$C_1=116,803$; $C_3=109,033$; $C_8=120,104$; $C_{11}=178,144$; $C_{12}=171,231$; $C_{13}=181,141$; $C_{15}=116,343$; $C_{16}=128,044$; $C_{18}=128,179$; $C_{19}=116,507$; $C_{20}=54,343$; $C_{21}=59,608$; $C_{1'}=151,603$; $C_{3'}=128,143$; $C_{4'}=130,104$; $C_{6'}=122,403$

Fig.II.4.1. Spectrele ^{13}C -RMN ($(\text{CD}_3)_2\text{SO}$) – (ppm) ale compușilor XXIV – XXXII



Restul triazinic are atomii de carbon situați în spectru la o valoare a deplasării $\delta=169,619-183,409$ ppm, cel legat de atomul de clor situându-se la valoarea cea mai mică a deplasării, iar atomul de carbon de care se leagă restul de ester monosulfuric al 2-(4-amino-benzensulfonil)-etanolului se situează la o valoare mare a deplasării.

Mai trebuie remarcat faptul că atomul de carbon C-3 din componenta de cuplare se regăsește la o valoare scăzută a deplasării chimice $\delta=107,314-109,033$ ppm, în timp ce atomul de carbon C-1' din componenta de diazotare legat de grupa azo se regăsește la o valoare a deplasării $\delta=147,313-157,841$ ppm.

Deplasările chimice în cazul tuturor compușilor sintetizați și variația acestora în funcție de substituenții greați susțin structurile propuse pentru compușii studiați.

Concluzii

- În cadrul studiului efectuat au fost stabilite metode de sinteză pentru o serie de 9 coloranți azoici reactivi heterofuncționali (XXIV-XXXII), produsele obținute fiind caracterizate prin analiză elementală, puncte de topire, spectroscopie de absorbție în domeniul vizibil și infraroșu, spectroscopie de reflexie, spectrometrie ^1H și ^{13}C -RMN, constatându-se că formulele de structură propuse pentru compușii descriși sunt corecte.
- Au fost analizate și interpretate corelații între structura chimică a compușilor studiați și culoarea acestora, atât în soluție cât și după aplicare pe fibra celulozică.
- Benzile de absorbție în domeniul vizibil sunt largi și asimetrice pentru toți compușii ceea ce prognozează posibilitatea obținerii prin aplicare a unor culori mult diferite de cele așteptate conform lungimii de undă a maximumului de absorbție.
- Prin efectuarea spectrelor de absorbție în domeniul infraroșu și a spectrelor de rezonanță magnetică nucleară (^1H și ^{13}C) au fost evidențiate caracteristicile structurale ale compușilor sintetizați.
- Măsurătorile de culoare în sistem CIELAB caracterizează obiectiv culorile obținute prin aplicarea coloranților pe suportul celulozic verificând faptul că prin modificarea concentrației de aplicare coeficienții tricromatici nu variază.
- Lungimile de undă dominante definesc foarte bine culorile obținute prin vopsire.
- Proprietățile de rezistență ale vopsirilor obținute sunt foarte bune ceea ce confirmă faptul că după vopsire, în toate cazurile coloranții hidrolizați au fost îndepărtați în totalitate prin spălare de pe fibră. De asemenea se remarcă o bună difuzie a colorantului în fibră în timpul vopsirii, chiar dacă masele moleculare ale acestor compuși sunt relativ mari.

III. APLICAREA COLORANȚILOR SINTETIZAȚI PE SUPORT CELULOZIC

III.1. PROCESUL DE VOPSIRE CU COLORANȚI REACTIVI

Vopsirea unor suporturi celulozice (mai rar poliamidice) cu coloranți reactivi reprezintă un proces ireversibil care implică o reacție chimică a colorantului cu suportul în urma căreia se stabilește o legătură covalentă de tip eteric, tioeteric, iminic [44-47]. Din punct de vedere practic este deosebit de important să se poată stabili un factor care să exprime raportul dintre viteza de reacție cu celuloză și viteza de reacție cu apa, a colorantului. Un asemenea factor reprezintă, în fond, gradul de eficacitate sau randamentul coloristic (R).[136-140]

$$R = \frac{K_{\text{cel}} [\text{CelO-}] [\text{Col - X}]_f}{K_{\text{H}_2\text{O}} [\text{HO-}] [\text{Col - X}]_s} \quad (\text{III.1})$$

unde: K_{Cel} = constanta de viteză a reacției colorantului cu celuloza

$K_{\text{H}_2\text{O}}$ = constanta de viteză a reacției de hidroliză a colorantului

La pH-uri situate între 7 și 11 raportul $\frac{[\text{CelO-}]}{[\text{HO-}]} \cong 30$ iar $K_{\text{Cel}} \cong K_{\text{H}_2\text{O}}$

În acest caz, relația de mai sus devine:

$$R = 30 \frac{[\text{Col - X}]_f}{[\text{Col - X}]_s} \quad (\text{III.2})$$

Aplicând această relație pentru cazul în care epuizarea flotei se situează la 65 – 70 %, ținând seama de volumul efectiv de vopsire ($\cong 0,22$ l/kg celuloză) și admitând un raport de flotă de 1:20, rezultă că viteza de reacție cu celuloza este de aproximativ 6000 de ori mai mare decât viteza reacției de hidroliză.

Ținând seama de reactivitate, în practică se folosește o clasificare a coloranților în:

- coloranți „fierbinți” (de mică reactivitate) aplicați la cca. 80°C
- coloranți „calzi” (de mare reactivitate) care vopsesc la 40° – 50°C

Trebuie însă precizat că în toate cazurile pentru ambele tipuri de coloranți, la vopsirea prin epuizare, odată cu creșterea temperaturii și a concentrației de colorant, flota trebuie să conțină cantități mărite de sare.

În ultima perioadă, marii producători de coloranți pentru a prezenta comportarea tehnologică și tinctorială a coloranților, oferă curbele SERF (substantivitate, epuizare, reactivitate, fixare) ale coloranților reactivi. Prin aceste curbe se prezintă comportarea colorantului separat, în procesul de epuizare și de fixare pe fibră. Deci, cele două faze sunt:

- adsorbția colorantului pe fibră în prezența electrolitului
- fixarea colorantului pe fibră în prezența de alcalii

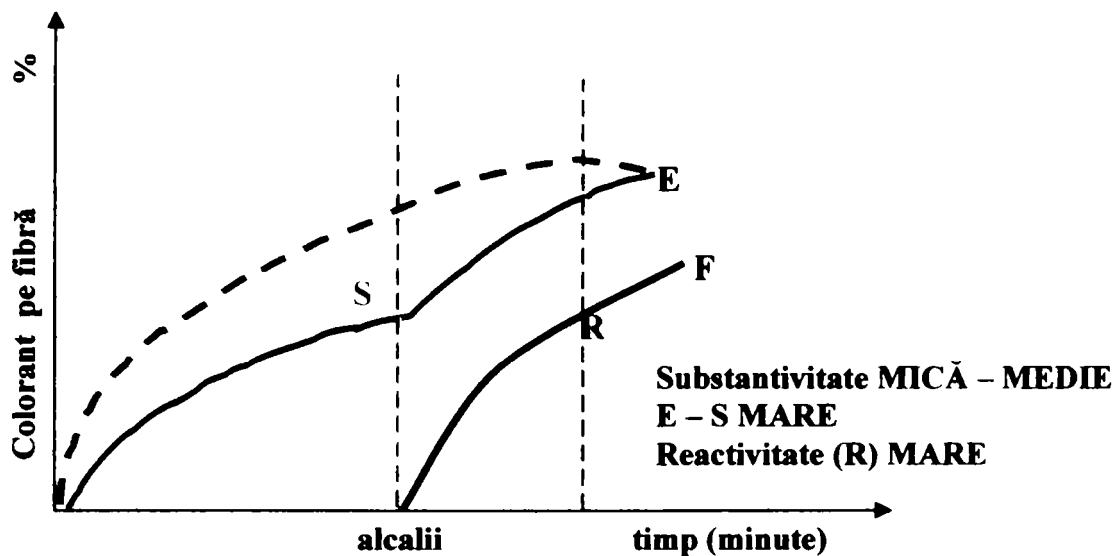


Fig. III.1 Diagrama SERF pentru coloranți „CALZI”

S = substantivitatea – cantitatea de colorant epuizat pe fibră, în mediu neutru, cu electrolit
 E = epuizarea – adsorția suplimentară de colorant care are loc după adăugarea alcaliilor
 R = reactivitatea – mărimea vitezei cu care colorantul se fixează pe fibră
 F = fixarea – cantitatea de colorant care se fixează în final, pe fibră prin reacție chimică

Hotărâtoare pentru comportarea și proprietățile unui colorant reactiv sunt valorile:

EF – reprezentând cantitatea de colorant care se pierde prin hidroliză și care trebuie îndepărtat după încheierea procesului de vopsire, pentru a obține rezistențe umede bune.

ES – nivelul de epuizare atins în stadiul inițial al fixării cu alcalii. Egalizarea, respectiv uniformitatea unei vopsiri este cu atât mai bună cu cât valoarea E – S este mai mică. În acest caz se evită epuizarea bruscă a colorantului pe fibră, în condițiile în care poate fi și fixat. Se înțelege că după fixarea colorantului, migrarea respectiv egalizarea ulterioară, nu mai poate avea loc [141].

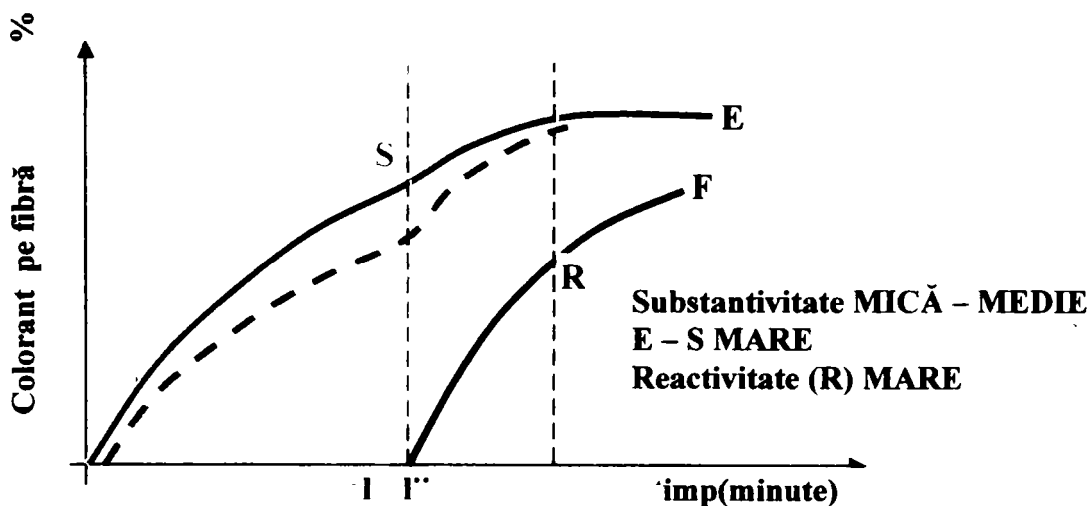


Fig. III.2 Diagrama SERF pentru coloranți „FIERBINȚI”

Dacă se compară diverse sisteme reactive se pot observa următoarele:

- la coloranți cu substantivitate mică sau medie dar cu reactivitate mare la adăosul de alcalii încă o parte importantă de colorant epuizează și se fixează brusc pe fibră, ceea ce în anumite condiții, poate conduce la neuniformitate.

- coloranți cu substantivitate medie sau mare, dar reactivitate mică oferă posibilități de egalizare-uniformizare, în special pentru faptul că la temperatura de 80° C se stimulează migrarea și pătrunderea.

În concluzie, se poate afirma că la vopsire toți coloranții solicită prezenta unui electrolit, alcalii temperatură și un timp pentru definitivarea reacției de fixare.

Migrarea sau egalizarea are loc în prima perioadă și este favorizată de auxiliarii adecvați și de temperatură. Fixarea coloranților de fibră celulozică este determinată de alcalii, în majoritatea cazurilor la un pH = 10-11.

III.1.1. VOPSIREA PRIN EPUIZARE

Vopsirea în flote diluate se realizează în mod obișnuit în două faze: adsorbția fizică din flota cu săruri datorită substantivității și reacția cu fibra, accelerată prin adăugarea de alcalii după ce s-a ajuns la un echilibru de adsorbție. Prima fază durează în mod obișnuit 30 minute iar cea de a doua 90 minute. Față de coloranții convenționali există unele deosebiri de principiu, care trebuie respectate. Coloranții reactivi având o tehnologie de aplicare relativ simplă cu bune proprietăți de egalizare, determină de multe ori, unele inconsecvențe în aplicare și rezultate mai slabe. Pentru rezultate corespunzătoare rețetele de lucru trebuie respectate cu multă atenție.

Coloranții monoclorotriazinici monoreactivi sau direactivi cum sunt Procion H, HEXL, Sinten H, Cibacron E, P, Basilen E și P, Ostazin H, Reactiv M, fac parte din grupa coloranți „fierbinți”. Pentru aplicare acestor coloranți au fost elaborate mai multe metode de vopsire. Alegerea celei mai potrivite metode se face în funcție de natura materiei prime și de tipul instalațiilor de vopsit din dotare.

Principalele metode recomandate pentru vopsirea cu acești coloranți pe bumbac, bumbac mercerizat și vâscoză –celofibră, sub diverse forme (puf, fire sau în bucată) sunt prezentate în tabelul III.1.1.1:

Tabel III.1.1.1. Metode de vopsire

Metode și utilaje de vopsit	Bumbac nemercerizat Metoda	Bumbac mercerizat, vâscoză, celofibră Metoda
Vopsirea în puf sau fibre		
-aparatus de vopsit în container	2	2
-mașini de vopsit sculuri	1	1
-aparatus de vopsit bobine sau suluri de urzeli	2	2
-aparatus de vopsit bobine sau suluri de urzeli	3	2
Vopsirea în bucată		
-cadă cu vârtelniță	2	1
-jet	2	2
-jet (cu grad foarte ridicat de automatizare)	3	2
-jigher	1,2	2

Metoda 1.- această metodă se recomandă pentru suporturi dificil de vopsit și în general în toate cazurile când este necesară îmbunătățirea uniformității și a pătrunderii.

Modul de desfășurare a procesului tehnologic de vopsire este prezentat în fig. III.3.

Tehnologiile prezentate au un caracter de principiu, fiind imposibil să se elaboreze o metodă care să corespundă din toate punctele de vedere pentru toți coloranții monoclorotriazinici care sunt oferii de zeci de producători.

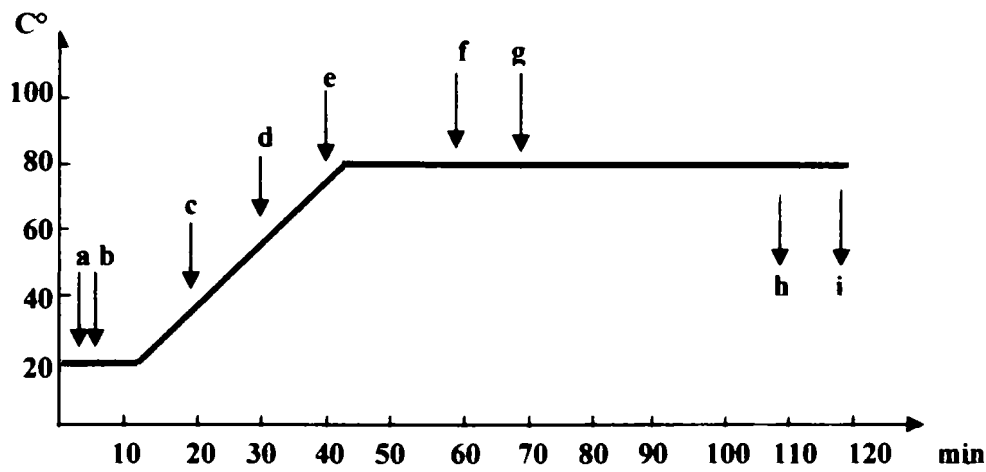


Fig. III.3 Diagrama de vopsire a suporturilor textile din bumbac cu coloranți rectivi la temperatura de 80°C

a=auxiliar chimic; b=colorant; c=electrolit 10%; d=electrolit 25%; e=electrolit 65%;
f=alcalii 50%; g=alcalii 50%; h=spălare(pentru culori pastel si medii);
i = spălare pentru culori închise

Comparațiile de sare, sodă calcinată și sodă caustică sunt variabile în funcție de concentrația colorantului[142]. O variantă a acestei metode recomandată pentru textilele din bumbac, bumbac mercerizat, celofibră, vâscoză este prezentat în figura III.4.

Această metodă se bazează pe proprietatea coloranților triazinici de a fi stabili chiar la 100° C în medii nealcaline, deci se recomandă controlarea mediului de vopsire și reglarea pH-ului la $3,3 - 6,3$.

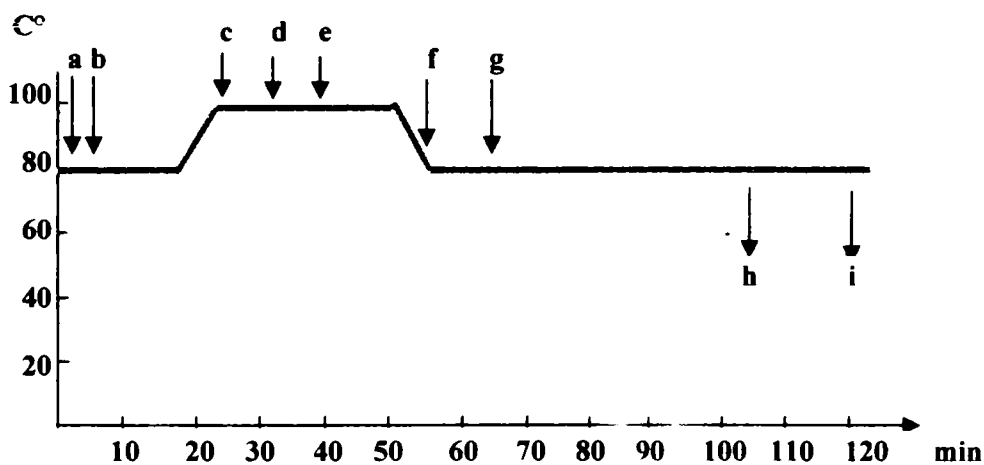


Fig. III.4 Diagrama de vopsire a suporturilor textile din bumbac cu coloranți reactivi la temperatura de 80°C

Metoda 2. (*salt of start*) se recomandă pentru vopsiri pe jigher, căzi cu vârtelniță, aparate tip jet.

Diagrama de vopsire este prezentată în figura III.5

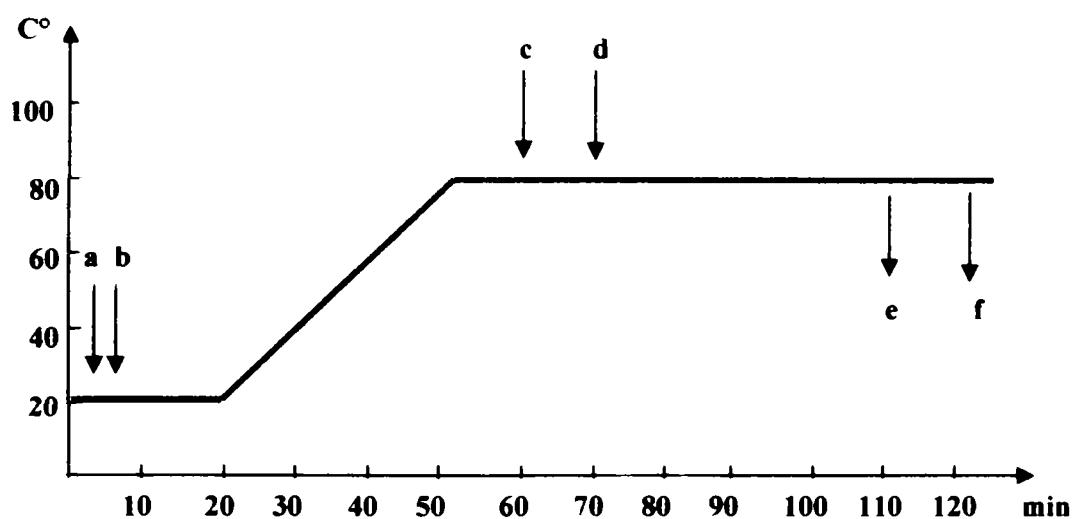


Fig. III.5 Diagrama de vopsire a suporturilor textile din bumbac cu coloranți reactivi la temperatura de 80°C

a=auxiliar+electrolit; b=colorant; c=alcalii 50%; d=alcalii 50%;
e=spălare pentru culori pastel și medii; f=spălare pentru culori intense;

Metoda 3. - (*all in*) este mai puțin utilizată deoarece necesită o supraveghere atentă a desfășurării, o automatizare avansată pentru conducerea procesului tehnologic. Astăzi această metodă nu mai este recomandată.

Coloranții Procion M, Basilen M, Levafix E, EA, EN precum și similarii lor fabricați de diverse firme din SUA, India, Japonia, China fac parte din grupa coloranților „calzi”.

Spre deosebire de grupa coloranților „fierbinți” care sunt formați din coloranți monoclorotriazinici din grupa coloranților „calzi” fac parte coloranți diclorotriazinici, difluorclorpirimidinici, diclorchinoxalinici, vinilsulfonici. Toți acești coloranți au comun faptul că vopsesc la temperaturi de 40° -60° C [143-144]

Metoda standard de vopsire cu acești coloranți este prezentată în figura III.6.

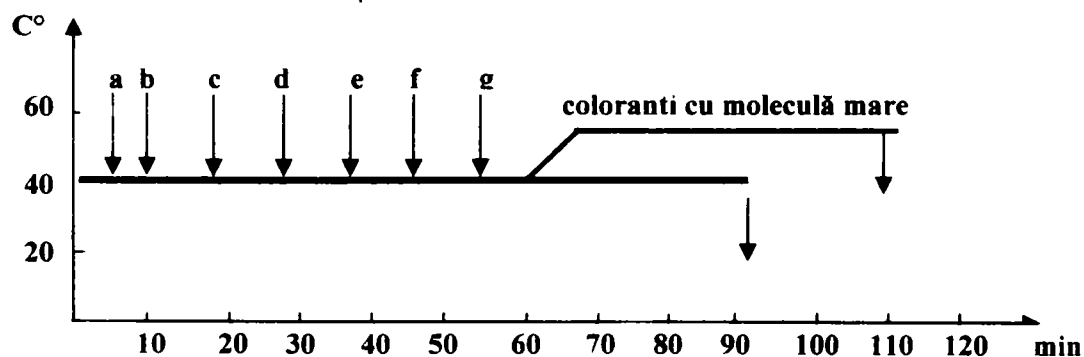


Fig. III.6 Diagrama de vopsire a suporturilor textile din bumbac cu coloranți reactivi la temperatura de 60°C

a=auxiliari chimici; b=colorant; c=electrolit 10%; d=electrolit 20%; e=electrolit 70%;
f=alcalii 1/3; g=alcalii 2/3

În cazul acestei metode deosebim două variante: vopsirea dirijată prin temperatură și vopsirea dirijată prin pH cu diagramele prezentate în figurile III.7, III.8, III.9.

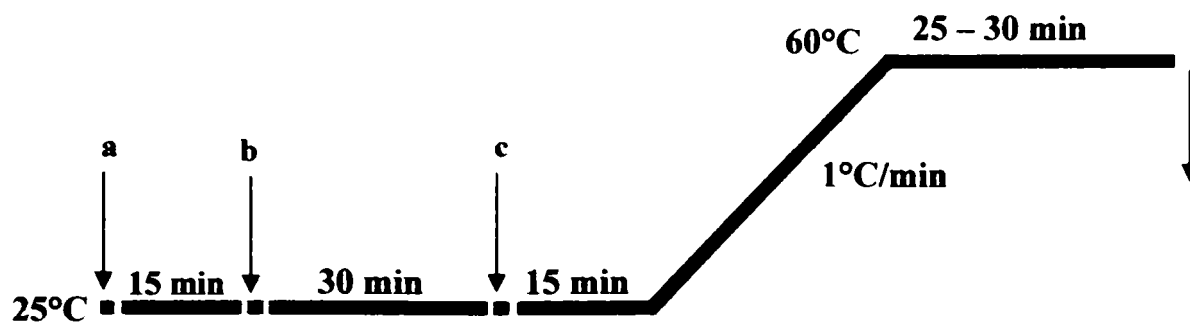


Fig. III.7 Diagrama de vopsire a suporturilor textile din bumbac cu coloranți reactivi la temperatura de 60°C

a=colorant

b=electrolit

c=alcalii

Prin utilizarea acestei tehnologii cele mai bune rezultate se obțin cu aparatele de vopsit fire și materiale depuse pe sul perforat.

În cazul metodei de vopsire dirijată prin pH reglarea și conducerea procesului de vopsire se face prin dozarea alcaliilor, vopsirea se face la temperatura constantă de 50°C.

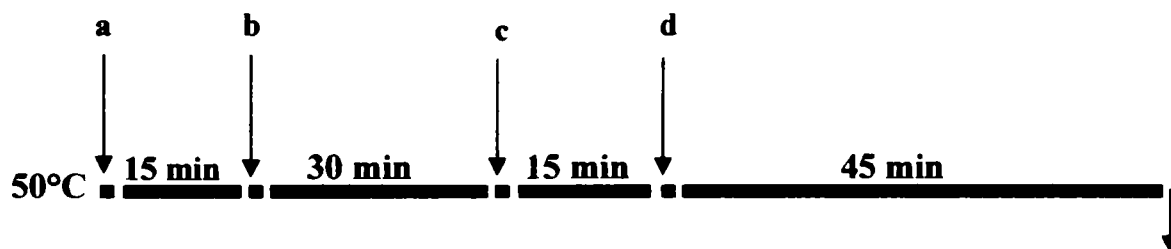


Fig. III.8 Diagrama de vopsire a suporturilor textile din bumbac cu coloranți reactivi la temperatura de 50°C

a=colorant; b=electrolit; c=2-4 g/l sodă calcinată; d=0,3-2 ml/l soluție NaOH 38°Be

În cazul dozării automate diagrama se prezintă astfel:

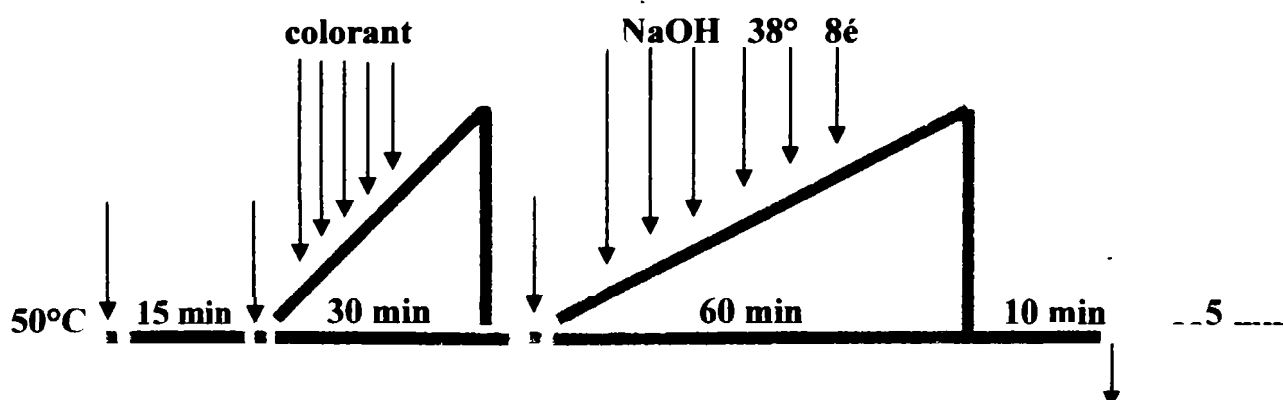


Fig. III.9 Diagrama de vopsire a suporturilor textile din bumbac cu coloranți reactivi la temperatura de 50°C

a=electrolit + bicarbonat

b=colorant

c=x ml/l NaOH 38°Be

III.1.2. VOPSIREA SEMICONTINUĂ ȘI CONTINUĂ CU COLORANȚI REACTIVI

Prin metoda semicontinuă se înțeleg acele procese în care au loc cel puțin două faze între care există întreruperi tehnologice.

Metoda prin impregnare – depozitare la rece („pad batch”) este o metodă simplă din punct de vedere tehnic și avantajoasă economic. Metoda constă în impregnarea suportului cu soluția de colorant împreună cu auxiliarii și alcaliile necesare, rolarea lui pe suluri sau role

uriaeșe, care după învelire în folie se depozitează pe o durată necesară procesului de vopsire. Durata depozitării este un parametru important al tehnologiei și este în funcție de reactivitatea colorantului.

În cazul coloranților diclorotriazinici cu reactivitate mare se utilizează pompa de dozare pentru dozarea automata a alcaliilor.

Temperatura flotei de impregnare și a spațiului de depozitare este 20°- 25°C durata de depozitare este de 4 ore, excepție fac coloranții ftalocianinici ce au durata de depozitare până la 24 ore.

Și în cazul coloranților monoclorotriazinici se recomandă ca vopsirea să se facă prin dozarea automata a alcaliilor. Această tehnologie este indicată pentru articolele din celuloză regenerată sau din bumbac mercerizat, articole tricotate, articole structurate, țesături grele foarte netede[145].

În cazul vopsirii cu coloranți reactivi fără dozare automata, o atenție deosebită trebuie acordată coloranților cu reactivitate ridicată, care în mediu alcalin au o stabilitate limitată. În acest caz, la coloranții diclorotriazinici, se utilizează bicarbonatul de sodiu pentru alcalinizarea flotelor. Coloranții monoclorotriazinici având o reactivitate scăzută, pentru fixare necesită alcalinitate mai puternică. Se recomandă procedeul cu sodă caustică și silicat de sodiu.

Metoda de vopsire prin impregnare-developare pe jigher (pad –jig) are importanță mai mult istorică.

Dintre procedeele continue de vopsire o importanță deosebită o prezintă următoarele:

- procedeul de termofixare (fixare termică pad – thermofix)
- procedeul prin aburire cu uscare intermediară (pad –dry – steam)
- procedeul de aburire fără uscare intermediară (pad – steam)

Prin procedeul prin fixarea termică (pad – thermofix) fixarea coloranților reactivi are loc fără apă, rolul acesteia fiind preluat de uree. Pentru reducerea posibilităților de migrare a coloranților în timpul uscării este necesară ca după impregnare, stoarcerea pe foulard să fie cât mai avansată. La culori deschise se recomandă ca soluția de colorant să fie îngroșată cu un aglutinant.

Rolul decisiv în fixare este determinat de alcalii, în funcție de structura coloranților.

Tabel III.1.2.1. Adaosul de alcalii la coloranții monoclorotriazinici

Substanța	Concentrația g/l		
	până la 10	10 – 50	peste 50
Colorant monoclorotriazinic	până la 10	10 – 50	peste 50
Hidroxid de sodiu	10	20	30
Oxidant HBS	2	2	2

Tabel III.1.2.2. Adaosul de alcalii la coloranții diclorotriazinici

Substanța	Concentrația g/l		
	până la 10	10 – 50	peste 50
Colorant diclorotriazinic	până la 10	10 – 50	peste 50
Bicarbonat de sodiu	10	15 – 30	30
Oxidant HBS	2	2	2

Procedeul prin aburire cu uscare intermediară este clasic și comportă următoarele faze intermediare: fulardare cu soluție de colorant, uscare impregnare pe fulardul al doilea cu auxiliari, aburire, spălare.

Temperatura de impregnare pe fulard poate fi de 20°-25°C sau 80°C, temperatura de uscare poate fi 120° -140° C.

Impregnarea pe al doilea fular se face cu soluția de alcalii și electrolit necesară fixării. Soluția de fixare conține clorură de sodiu și soluție de hidroxid de sodiu 38°Bé. Aburirea se realizează cu abur saturat la 102°-103°C timp de 60-90 secunde pentru coloranții monoclorotriazinici și 30-60 secunde pentru coloranții diclorotriazinici [146].

Procedeul prin aburire fără uscare intermediară nu poate fi aplicat decât în cazul vopsirilor pastel și medii. Prin acest procedeu se economisește o fază de uscare. Firma austriacă Kusters afirmă că în instalația „Flexnip” prin impregnare ud pe ud se obțin rezultate identice cu cele obținute prin aburire cu uscare intermediară.

III.2. VOPSIREA CU COLORANȚI REACTIVI VINILSULFONICI (I-XIV)

Măsurătorile de culoare pentru eșantioanele de tricot din bumbac vopsite cu coloranții reactivi vinilsulfonici permit o tratare obiectivă a caracteristicilor culorilor obținute în primul rând datorită faptului că așa cum se cunoaște, coordonatele tricromatice nu variază în funcție de concentrația coloranților, ele fiind proprietăți intrinseci ale acestora, identificând cu precizie nuanța obținută (anexa I).

Tabelul III.2.1 Lungimea de undă dominantă în spectrele de reflexie

Nr. compus		I	II	III	IV	V	VI	VII	VIII	IX	X	XI	XII	XIII	XIV
Lungimea de undă dominantă λ_D (nm)	Concentrație colorant pe tricot de bumbac 1%	509	515	493	393	495	492	503	372	605	647	598	654	614	675

Determinările efectuate au permis calcularea coeficienților cromatici în sistem CIE1931 și a coeficienților cromatici în sistem CIELAB. Pe baza acestora s-a calculat diferența de culoare înregistrată pe mostrele vopsite la două concentrații de aplicare diferite (1% și 3%) (tabelul III.2.2., III.2.3.). Diferențele de culoare (ΔE) astfel obținute sunt exprimate ca diferențe de luminozitate (ΔL), diferențe de saturație (ΔC) și diferențe de nuanță (ΔH) (tabelul III.2.4).

Tabelul III.2.2 Rezultatele spectrometriei de reflexie (concentrația de aplicare 1%)

Nr. compus		I	II	III	IV	V	VI	VII	VIII	XIX	X	XI	XII	XIII	XIV	
A	Valori Tristimulus	X	38,50	40,75	41,90	79,07	62,65	61,43	52,01	69,53	10,82	12,39	15,76	13,13	7,38	32,99
		Y	24,45	28,74	26,75	70,64	43,84	42,50	37,32	57,64	10,68	13,55	15,23	13,59	8,07	38,26
		Z	4,31	7,51	3,70	14,44	7,27	5,28	7,26	9,15	6,31	7,69	8,27	7,91	3,45	21,48
	Coordonate cromatice	x	0,5724	0,5292	0,5792	0,4817	0,5508	0,5625	0,5384	0,5101	0,3892	0,3685	0,4014	0,3791	0,3906	0,3558
		y	0,3635	0,3732	0,3697	0,4303	0,3854	0,3892	0,3864	0,4228	0,3840	0,4029	0,3879	0,3926	0,4270	0,4126
	CIELAB 77	L	56,53	60,55	58,74	87,31	72,12	71,22	67,52	80,54	39,03	43,58	45,95	43,64	34,13	68,21
		a	38,53	27,90	39,04	1,06	33,22	34,41	28,20	11,53	-7,19	-16,15	-6,27	-11,77	-13,57	-29,44
		b	25,74	12,46	34,51	29,51	33,72	44,11	25,82	38,80	-17,87	-17,72	-16,62	-18,75	-5,77	-24,46
	C	Valori Tristimulus	X	27,31	31,19	29,26	63,59	46,55	44,50	39,09	53,64	10,79	12,99	15,25	13,40	7,26
Y			19,44	24,95	21,10	68,08	36,54	34,81	32,00	52,87	11,78	15,32	16,50	15,18	8,82	43,95
Z			15,03	25,62	12,71	44,85	25,15	17,82	24,42	28,61	21,03	25,38	27,50	26,27	11,22	70,10
Coordonate cromatice		x	0,4421	0,3815	0,4639	0,3602	0,4301	0,4582	0,4093	0,3970	0,2474	0,2419	0,2574	0,2443	0,2659	0,2373
		y	0,3146	0,3051	0,3346	0,3857	0,3376	0,3584	0,3350	0,3913	0,2702	0,2854	0,2785	0,2768	0,3230	0,2939
CIELAB 77		L	51,19	57,02	53,06	86,05	66,93	65,60	63,34	77,80	40,87	46,08	47,63	45,88	35,63	72,20
		a	37,77	27,46	37,32	-5,93	33,63	33,54	26,97	5,70	-4,90	-12,04	-4,65	-8,50	-12,06	-22,92
		b	14,68	5,05	23,41	30,30	22,89	33,61	17,86	36,35	-15,10	-13,43	-14,02	-15,17	-2,76	-16,96
D 65		Valori Tristimulus	X	26,69	30,44	28,64	62,38	45,55	43,61	38,22	52,63	10,42	12,57	14,75	12,96	7,06
	Y		19,24	24,78	20,90	68,24	36,21	34,47	31,76	52,83	11,81	15,38	16,53	15,24	8,86	44,17
	Z		13,86	23,63	11,75	41,71	23,15	16,46	22,52	26,56	19,43	23,48	25,40	24,27	10,39	64,85
	Coordonate cromatice	x	0,4464	0,3861	0,4673	0,3620	0,4342	0,4613	0,4132	0,3987	0,2501	0,2445	0,2603	0,2470	0,2684	0,2398
		y	0,3218	0,3143	0,3410	0,3960	0,3452	0,3646	0,3433	0,4002	0,2835	0,2991	0,2917	0,2904	0,3368	0,3080
	CIELAB 77	L	50,97	56,86	52,84	86,12	66,68	65,33	63,15	77,77	40,91	46,15	47,67	45,96	35,72	72,34
		a	39,04	28,32	38,76	-5,32	35,22	35,41	28,22	6,72	-5,83	-12,91	-5,49	-9,51	-12,54	-24,23
		b	14,38	4,86	23,02	30,13	22,62	33,17	17,61	36,13	-15,01	-13,34	-13,93	-15,01	-2,65	-16,76

A= iluminant normal, corespunzator luminii artificiale

C= iluminant corespunzator luminii zilei

D65= iluminant standard

Structura coloranților azoici sintetizați, respectiv componenta de cuplare influențează decisiv nuanța obținută. Astfel, așa cum era de așteptat componentele de cuplare de tipul acidului 2-hidroxibenzoic din structura colorantului (VIII) și a acidului 2,5-dicloro-4-(3-metil-5-oxo-4,5-dihidro-pirazol-1-il)-benzensulfonic din structura colorantului (IV) conduc la obținerea unor coloranți cu nuanță galbenă – lungimea de undă dominantă se situează în jurul valorii $\lambda_D = 400$ nm, ceilalți compuși monoazoici având nuanțe de roșu – lungimea de undă dominantă situându-se în intervalul $\lambda_D = 492-515$ nm – deplasările batocrome cele mai mari înregistrându-se în cazul compușilor (I) și (II) unde cuplarea sării de diazoniu a esterului monosulfuric al 2-(4-amino-benzensulfonil)-etanolului se realizează în vecinătatea unei grupe amino cu care grupa azo realizează legături de hidrogen intramoleculare.

Tabelul III.2.3 Rezultatele spectrometriei de reflexie (concentrația de aplicare 3%)

Nr. compus		I	II	III	IV	V	VI	VII	VIII	XIX	X	XI	XII	XIII	XIV
Valori Tristimulus	X	24,59	29,94	27,75	76,88	50,22	49,53	37,88	62,09	3,04	5,36	5,84	3,69	3,43	18,76
	Y	14,04	19,48	16,01	66,83	30,57	30,72	24,67	50,06	2,96	6,04	5,72	3,95	3,79	25,03
	Z	1,66	4,28	1,33	7,76	2,43	2,05	3,24	5,87	1,92	3,98	3,64	2,69	1,62	17,79
Coordonate cromatice	x	0,6103	0,5576	0,6155	0,5075	0,6034	0,6018	0,5759	0,5261	0,3836	0,3485	0,3842	0,3574	0,3880	0,3046
	y	0,3485	0,3628	0,3551	0,4412	0,3673	0,3733	0,3749	0,4242	0,3733	0,3926	0,3763	0,3823	0,4286	0,4065
CIELAB 77	L	44,29	51,24	46,99	85,42	62,15	62,27	56,75	76,10	19,87	29,52	28,69	23,50	22,96	57,11
	a	42,53	33,09	43,37	5,05	46,86	44,53	35,70	14,79	-3,99	-14,17	-5,38	-9,54	-11,10	-38,79
	b	31,73	16,89	41,54	54,02	52,65	57,38	35,15	48,71	-14,07	-18,26	-16,82	-16,75	-4,53	-33,27
Valori Tristimulus	X	16,22	21,84	18,10	58,77	34,04	33,53	26,77	46,47	3,08	5,94	5,87	3,98	3,38	23,00
	Y	10,22	15,92	11,60	62,02	22,73	23,09	19,55	44,79	3,29	7,04	6,38	4,56	4,16	30,93
	Z	5,85	14,78	4,59	22,69	8,64	7,00	11,06	17,84	6,45	13,20	12,14	8,96	5,26	57,53
Coordonate cromatice	x	0,5023	0,4157	0,5280	0,4096	0,5204	0,5271	0,4665	0,4259	0,2398	0,2269	0,2409	0,2273	0,2638	0,2063
	y	0,3164	0,3029	0,3382	0,4322	0,3475	0,3629	0,3408	0,4106	0,2568	0,2689	0,2615	0,2607	0,3250	0,2775
CIELAB 77	L	38,23	46,87	40,57	82,92	54,80	55,16	51,33	72,76	21,18	31,90	30,35	25,45	24,20	62,45
	a	41,45	32,93	41,63	-3,72	47,17	43,83	35,00	8,29	-2,15	-9,57	-3,60	-6,41	-10,14	-28,98
	b	19,63	7,79	29,42	54,50	37,95	44,29	24,75	45,92	-12,22	-14,30	-14,30	-13,68	-2,01	-22,99
Valori Tristimulus	X	15,85	21,33	17,72	57,84	33,38	32,90	26,21	45,66	2,96	5,74	5,66	3,83	3,29	22,20
	Y	10,08	15,77	11,45	62,17	22,44	22,78	19,34	44,74	3,30	7,06	6,39	4,58	4,19	31,13
	Z	5,40	13,62	4,25	21,23	7,94	6,46	10,18	16,60	5,96	12,21	11,21	6,83	4,87	53,26
Coordonate cromatice	x	0,5059	0,4206	0,5303	0,4095	0,5236	0,5294	0,4703	0,4267	0,2425	0,2293	0,2435	0,2297	0,2663	0,2083
	y	0,3218	0,3110	0,3426	0,4402	0,3519	0,3666	0,3471	0,4181	0,2699	0,2825	0,2747	0,2746	0,3390	0,2920
CIELAB 77	L	37,99	46,67	40,33	83,00	54,49	54,85	51,09	72,72	21,20	31,95	30,37	25,50	24,28	62,61
	a	42,73	33,97	43,08	-2,69	49,24	45,98	36,54	9,51	-2,84	-10,41	-4,44	-7,31	-10,55	-30,68
	b	19,25	7,57	28,97	54,16	37,58	43,78	24,47	45,61	-12,16	-14,23	-14,23	-13,54	-1,91	-22,79

A= iluminant normal, corespunzator luminii artificiale

C= iluminant corespunzator luminii zilei

D65= iluminant standard

Pentru compușii bisazoici (VIII, IX, X)[147], în cazul în care aceștia se obțin fie prin bicuplarea sării de diazoniu a esterului monosulfuric al 2-(4-amino-benzensulfonil)-etanolului cu acid 4-amino-5-hidroxi-naftalen-2,7-disulfonic, fie prin cuplarea succesivă a sării de diazoniu a acidului 4-amino-benzensulfonic și apoi cu sarea de diazoniu a esterului monosulfuric al 2-(4-amino-benzensulfonil)-etanolului se obțin compuși cu nuanță albastră (compusul IX și XI). Prin introducerea unei componente de diazotare ce conține o grupă nitro în moleculă, 4-nitro-fenilamina din compusul (XII) sau prin introducerea unei componente de diazotare cu nucleu naftalenic, acid 4-amino-naftalen-1-sulfonic (compusul X), are loc o deplasare spre verde a lungimii de undă dominante din spectrele de reflexie. O

astfel de deplasare se înregistrează și în cazul compusului (XIII), compus cu structură stilbentrisazoică, în care efectul batocrom se obține prin extinderea conjugării[148].

Datorită conjugării se obține un colorant cu nuanță albastru-verzuie și în cazul colorantului reactiv cu structură ftalocianinică (XIV), caz în care lungimea de undă dominantă se situează la $\lambda_D = 675$ nm.

Interpretarea direcției de schimbare a nuanței coloranților în funcție de semnul diferenței de nuanță din diagrama (a,b, ΔH) conduce în cazul compușilor (I-VIII) la concluzia că, deoarece $a > 0$, $b > 0$ și $\Delta H > 0$ la mărirea concentrației de aplicare a coloranților pe tricot din bumbac de la 1% la 3% are loc o abatere de nuanță spre galben cu excepția colorantului reactiv cu structura IV caz în care prin efectuarea măsurătorilor de culoare pe epruvetele vopsite, prin modificarea concentrației de aplicare în același sens, se obține $a < 0$, $b > 0$, $\Delta H > 0$ ceea ce indică o abatere de nuanță spre verde[149].

Tabelul III.2.4 Măsurători de culoare

Iluminant/ Diferențe de culoare	Număr compus														
	I	II	III	IV	V	VI	VII	VIII	XIX	X	XI	XII	XIII	XIV	
A	ΔE	14,21	11,54	14,36	24,90	25,38	18,93	16,10	11,33	19,80	14,21	17,28	20,37	11,50	16,98
	ΔL	-12,24	-9,31	-11,76	-1,89	-9,97	-8,94	-10,77	-4,43	-19,17	-14,06	-17,26	-20,15	-11,17	-11,11
	ΔC	6,73	6,59	7,95	24,72	23,15	16,68	11,87	10,43	-4,64	-0,86	-0,10	-2,86	-2,76	12,82
	ΔH	2,58	1,75	2,24	2,30	2,93	0,16	1,59	0,27	1,77	1,86	0,90	0,88	0,19	0,70
C	ΔE	14,35	11,85	14,52	24,50	23,61	18,14	16,00	11,12	20,09	14,42	17,32	20,60	11,62	12,96
	ΔL	-12,96	-10,16	-12,49	-3,13	-12,14	-10,44	-12,01	-5,04	-19,69	-14,18	-17,28	-20,43	-11,44	-9,74
	ΔC	5,34	5,91	6,93	23,75	19,86	14,83	10,51	9,87	-3,47	-0,83	-0,03	-2,28	-2,04	8,48
	ΔH	3,08	1,55	2,61	5,14	3,96	0,22	1,14	0,96	1,96	2,48	1,08	1,17	0,34	1,09
D 65	ΔE	14,34	11,96	14,51	24,37	23,86	18,28	16,17	11,10	20,14	14,44	17,33	20,62	11,64	13,13
	ΔL	-12,98	-10,19	-12,51	-3,12	-12,20	-10,48	-12,06	-5,06	-19,72	-14,20	-17,30	-20,45	-11,45	-9,73
	ΔC	5,26	6,07	6,84	23,63	20,09	14,97	10,71	9,84	-3,61	-0,93	-0,07	-2,39	-2,10	8,75
	ΔH	3,11	1,56	2,71	5,09	4,13	0,45	1,23	0,89	1,99	2,48	1,09	1,15	0,34	1,13

ΔE =diferența de culoare;

ΔL =diferența de luminozitate;

ΔC =diferența de saturatie;

ΔH =diferența de nuanță;

A= iluminant normal, corespunzător luminii artificiale

C= iluminant corespunzător luminii zilei

D65= iluminant standard

În cazul coloranților reactivi bisazoici (IX-XII), a colorantului cu structură stilbentrisazoică (XIII) și a celui cu structură ftalocianinică (XIV) în urma măsurătorilor de culoare pe mostrele din tricot de bumbac vopsite cu aceștia, se obține $a < 0$, $b < 0$, $\Delta H > 0$ ceea ce înseamnă că prin creșterea concentrației de aplicare are loc o abatere a nuanței spre albastru.

În cazul coloranților azoici, așa cum se poate observa din rezultatele obținute pentru rezistențele la lumină (tabelul III.2.5), acestea sunt influențate în mică măsură de natura componentei de cuplare, ele situându-se în intervalul 3-4, mai ales că substituenții prezenți în componenta de cuplare sunt, pe lângă grupele amino și hidroxi, grupe sulfonice sau carboxilice necesare pentru obținerea unor solubilități bune. Prezența grupelor amino libere în moleculă (compusii I, II, III, XIII) conduce la obținerea unor rezistențe relativ scăzute la

lumină, iar acetilarea acestora nu conduce la obținerea unor rezistențe superioare așa cum se poate observa și în cazul compusului (VII)[150].

Rezistențele la spălare sunt bune și foarte bune pentru toți termenii sintetizați, ceea ce este normal pentru coloranții fixați reactiv. În cazul coloranților nelegați chimic de fibră și neîndepărtați total prin spălare indică o hidrofilitate scăzută a acestora dar și o fixare bună prin legături van der Waals și legături de hidrogen în interiorul fibrei. Acest fenomen este sesizat sub acțiunea unor factori exteriori mai energici de îndepărtare a colorantului nelegat reactiv de fibră și anume în cazul rezistențelor la frecare umedă unde se remarcă o scădere a valorii acestora.

Tabelul III.2.5 Rezistențele vopsirilor pe tricot din bumbac

Nr. compus		I	II	III	IV	V	VI	VII	VIII	IX	X	XI	XII	XIII	XIV	
Rezistența a spălare	Bumbac	5	5	5	5	4-5	4-5	5	5	5	4-5	5	5	3-4	4-5	
	Nylon	5	5	5	5	5	5	5	5	5	5	5	5	5	5	
	Modificare nuanță	5	5	5	5	3-4	4-5	5	5	5	5	5	5	5	5	
Rezistența a apă rece	Bumbac	5	4	5	5	5	2	5	5	4-5	3	5	4	2-3	2-3	
	Nylon	3-4	5	5	5	5	2-3	5	4	5	4	5	5	4	3	
	Modificare nuanță	4	4-5	4-5	5	3-4	3-4	5	3	5	5	5	5	4-5	3-4	
Rezistența la transpirație	acidă	Bumbac	5	5	5	5	4-5	2-3	5	5	5	3-4	4-5	3-4	2-3	3-4
		Nylon	5	5	5	5	5	3	5	4	5	4	5	5	3-4	5
		Modif. nuanță	5	5	5	5	5	5	4-5	4-5	5	4	4-5	5	4	4-5
	alcalină	Bumbac	5	4-5	5	5	5	2	5	4-5	5	3	5	4-5	5	3-4
		Nylon	5	5	5	5	5	2-3	5	5	5	5	5	5	5	5
		Modif. nuanță	5	4-5	5	5	3	3	5	4-5	4	5	5	5	5	4-5
Rezistența la frecare	uscătă	5	5	5	4-5	5	5	5	5	5	5	5	5	4-5	5	
	umedă	5	4-5	3-4	4-5	5	3-4	5	4-5	4/5	4	4-5	4-5	3-4	3-4	
Rezistența la lumină		3	4	3	5	3-4	3-4	3-4	4	4	3	3-4	3-4	3-4	6-7	

1-rezistența foarte slabă; 2-rezistența slabă; 3-rezistența medie; 4-rezistența bună;
5-rezistența foarte bună;

Cele mai scăzute valori ale rezistențelor umido-termice se înregistrează în cazul compusului (VI) unde structura colorantului permite asocierea intra- și intermoleculară prin legături de hidrogen puternice, explicându-se astfel cel puțin parțial că o parte din colorantul hidrolizat a aderat puternic la fibra celulozică, fapt confirmat și de rezistența bună la spălare a vopsirii și deci de faptul că este greu de îndepărtat prin spălare, dar așa cum se constată el cedând în cazul celorlalte tratamente la care este supus materialul vopsit.

Cea mai ridicată rezistență la lumină este înregistrată în cazul colorantului cu structură ftalocianinică (XIV) unde stabilitatea ciclului porfirinic explică valoarea (VI-VII) obținută pe scara de albastru. Spre deosebire de aceasta, rezistențele umido-termice sunt relativ scăzute din cauza afinității mari a colorantului hidrolizat pentru fibra celulozică și îndepărtarea greoaie a acestuia prin spălare după vopsire. Molecula colorantului (XIII) sugerează o comportare de tip colorant direct datorită caracteristicilor structurale (planaritate, conjugare extinsă, etc.) ceea ce înrăutățește calitatea vopsirii din cauza faptului că produsul de hidroliză al colorantului vopsește fibra ca un colorant direct [151].

Rezistența la lumină cea mai ridicată din seria coloranților azoici se înregistrează în cazul compusului (IV) derivat care are în structura componentei de cuplare doi atomi de clor care îmbunătățesc considerabil această proprietate.

III.3. VOPSIREA CU COLORANȚI REACTIVI MONOCLORTRIAZINICI (XV-XXIII)

Dacă se compară valorile înregistrate pentru lungimile de undă ale maximelor de absorbție ale coloranților în soluție apoasă cu lungimile de undă dominante obținute în spectrele de reflexie pentru eșantioanele de bumbac vopsite cu coloranții reactivi monoclortriazinici se constată o deplasare generală batocromă, diferențele dintre lungimile de undă situându-se în domeniul $\lambda_D - \lambda_{abs} = 7-13$ nm (anexa I).

Tabelul III.3.1 Lungimea de undă dominantă în spectrele de reflexie

Nr. compus		XV	XVI	XVII	XVIII	XIX	XX	XXI	XXII	XXIII
Lungimea de undă dominantă λ_D (nm)	Concentrație colorant pe tricot de bumbac 1%	553	558	544	558	546	574	549	552	540

Deplasările batocrome ale lungimii de undă dominante în spectrele de reflexie se datorează interacțiunilor în special prin legături de hidrogen intermoleculare cu fibra textilă.

Structura compușilor studiați influențează culoarea obținută astfel că menținând aceeași componentă de cuplare și variind componenta de diazotare se obțin coloranți cu nuanță roșie, lungimea de undă dominantă situându-se în jurul valorii $\lambda_D = 550$ nm. Deplasările batocrome cele mai mari se înregistrează în cazul compușilor (XVI) și (XVIII) din cauza extinderii conjugării prin intermediul nucleelor naftalenice din componenta de diazotare.

Tabelul III.3.2 Rezultatele spectrometriei de reflexie (concentrația de aplicare 1%)

Nr. compus		XV	XVI	XVII	XVIII	XIX	XX	XXI	XXII	XXIII	
A	Valori Tristimulus	X	48,85	27,62	52,62	40,32	56,06	36,25	59,07	50,80	59,60
		Y	31,22	20,16	35,33	23,83	39,08	26,49	40,66	33,68	41,88
		Z	10,88	11,62	12,73	8,55	13,75	14,43	15,07	13,10	14,14
	Coordonate cromatice	x	0,5372	0,4650	0,5226	0,5546	0,5148	0,4697	0,5145	0,5206	0,5155
		y	0,3433	0,3394	0,3509	0,3277	0,3589	0,3432	0,3542	0,3452	0,3622
	CIELAB 77	L	62,69	52,01	66,01	55,91	68,81	58,50	69,94	64,71	70,79
		a	40,98	21,18	36,21	46,64	32,47	23,07	34,58	37,26	32,14
		b	0,46	-20,95	-1,10	-0,81	0,01	-20,15	-2,56	-4,71	2,08
	C	Valori Tristimulus	X	37,29	23,67	41,17	29,55	44,46	31,05	46,98	39,79
Y			26,22	19,67	30,68	19,24	34,54	25,53	35,87	29,36	36,90
Z			37,83	39,48	43,99	29,73	47,27	49,17	52,01	45,21	48,75
Coordonate cromatice		x	0,3680	0,2858	0,3554	0,3764	0,3521	0,2936	0,3483	0,3479	0,3563
		y	0,2587	0,2375	0,2648	0,2450	0,2735	0,2414	0,2660	0,2568	0,2773
CIELAB 77		L	58,24	51,47	62,24	50,97	65,39	57,59	66,42	61,10	67,20
		a	43,19	21,36	38,17	47,47	34,33	24,50	37,00	38,82	34,87
		b	-9,60	-23,26	-9,82	-11,53	-7,89	-23,29	-10,91	-13,10	-6,30
D 65		Valori Tristimulus	X	36,31	22,77	40,07	28,72	43,30	29,99	45,72	38,69
	Y		25,98	19,51	30,44	19,02	34,29	25,35	35,61	29,13	36,61
	Z		34,76	36,41	40,47	27,37	43,50	45,34	47,84	41,60	44,86
	Coordonate cromatice	x	0,3741	0,2894	0,3611	0,3824	0,3575	0,2979	0,3539	0,3536	0,3618
		y	0,2677	0,2479	0,2743	0,2533	0,2832	0,2518	0,2757	0,2662	0,2868
	CIELAB 77	L	58,02	51,27	62,03	50,71	65,20	57,42	66,22	60,89	66,99
		a	44,05	20,83	38,89	48,26	35,05	24,22	37,68	39,41	35,71
		b	-9,73	-23,49	-9,95	-11,80	-8,01	-23,48	-11,01	-13,24	-6,45

A= iluminant normal, corespunzator luminii artificiale

C= iluminant corespunzator luminii zilei

D65= iluminant standard

Efectul hipsocrom cel mai pronunțat se înregistrează așa cum era de așteptat în cazul compusului (XX) unde efectul atrăgător de electroni al celor două grupe sulfonice din componenta de diazotare provoacă acest efect ($\lambda_D=540$ nm).

Efectul batocrom cel mai pronunțat se înregistrează în cazul compusului (XX) unde pe de o parte grupele hidroxil și carboxil din componenta de diazotare pot forma legături de hidrogen intermoleculare cu substratul celulozic, iar pe de altă, parte existența grupei hidroxil donoare de electroni aflată în conjugare cu grupa azo explică această comportare. Lungimea de undă dominantă se situează în acest caz la $\lambda_D=574$ nm, culoarea obținută fiind violet.

Măsurătorile de culoare pentru eșantioanele de tricot din bumbac vopsite cu coloranții reactivi monoclorotriazinici au permis calcularea coeficienților tricromatici și a coeficienților CIELAB, permițând calcularea pe baza acestora a diferențelor de culoare înregistrate prin variația concentrației de aplicare a coloranților pe fibră (1% și 3%). Diferențele de culoare (ΔE) obținute se exprimă ca diferențe de luminozitate (ΔL), diferențe de saturație (ΔC) și diferențe de nuanță (ΔH).

Tabelul III.3.3 Rezultatele spectrometriei de reflexie (concentrația de aplicare 3%)

Nr. compus		XV	XVI	XVII	XVIII	XIX	XX	XXI	XXII	XXIII	
A	Valori Tristimulus	X	38,07	18,18	41,94	30,56	48,49	22,72	47,98	40,57	50,40
		Y	21,46	12,04	24,67	16,23	29,78	15,24	29,45	23,81	30,90
		Z	6,14	7,74	7,54	4,70	9,00	9,67	9,88	8,41	8,28
	Coordonate cromatice	x	0,5798	0,4789	0,5656	0,5935	0,5556	0,4770	0,5495	0,5574	0,5626
		y	0,3267	0,3172	0,3327	0,3152	0,3413	0,3200	0,3373	0,3271	0,3450
	CIELAB 77	L	53,45	41,28	56,76	47,28	61,47	45,96	61,17	55,90	62,43
		a	50,52	26,53	47,72	52,38	45,31	27,47	45,24	47,45	46,10
		b	8,00	-21,95	5,79	6,87	6,64	-23,18	2,10	-0,12	11,78
	C	Valori Tristimulus	X	26,89	15,13	30,36	20,77	35,75	19,32	35,88	29,74
Y			16,26	11,41	19,41	11,89	24,07	14,39	24,00	19,04	24,58
Z			21,76	26,52	26,54	16,55	31,48	33,31	34,70	29,48	29,10
Coordonate cromatice		x	0,4143	0,2851	0,3978	0,4220	0,3915	0,2882	0,3794	0,3800	0,4072
		y	0,2505	0,2151	0,2544	0,2417	0,2637	0,2147	0,2538	0,2433	0,2714
CIELAB 77		L	47,32	40,27	51,17	41,05	56,16	44,79	56,09	50,73	56,66
		a	52,79	26,35	49,64	52,95	47,10	29,69	47,85	49,19	48,64
		b	-5,27	-25,23	-6,47	-6,11	-5,02	-27,09	-9,40	-11,58	-0,81
D 65		Valori Tristimulus	X	26,19	14,48	29,55	20,17	34,83	18,59	34,93	28,90
	Y		16,06	11,26	19,19	11,71	23,82	14,23	23,75	18,81	24,31
	Z		19,95	24,44	24,36	15,22	28,90	30,69	31,84	27,07	26,72
	Coordonate cromatice	x	0,4211	0,2886	0,4043	0,4282	0,3978	0,2926	0,3859	0,3864	0,4135
		y	0,2582	0,2244	0,2625	0,2487	0,2721	0,2241	0,2624	0,2516	0,2794
	CIELAB 77	L	47,05	40,01	50,90	40,75	55,91	44,57	55,84	50,47	56,40
		a	53,88	25,83	50,64	53,85	48,14	29,39	48,79	50,00	49,93
		b	-5,42	-25,56	-6,64	-6,44	-5,16	-27,33	-9,52	-11,76	-0,98

A= iluminant normal, corespunzator luminii artificiale

C= iluminant corespunzator luminii zilei

D65= iluminant standard

Analizând rezultatele obținute se poate afirma că diferențele de culoare obținute prin creșterea concentrației de aplicare se încadrează în domeniul $\Delta E=12-19$, ceea ce calitativ corespunde unor diferențe observabile și se datorează în principal unei întunecări a nuanței ($\Delta L=7-12$), respectiv o creștere a saturației în aceeași măsură ($\Delta C=4-15$) și mai puțin din cauza unei diferențe de nuanță ($\Delta H=0-7$). Se remarcă că diferențele de culoare cele mai mici se înregistrează în cazul compușilor (XVI) și (XX) în care se manifestă efectul batocrom cel mai pronunțat asupra lungimii de undă dominante în spectrele de reflexie. Aceste diferențe de culoare sunt foarte puțin influențate de tipul de iluminant.

Din analiza datelor obținute în sistem CIELAB, se constată că pentru toți compușii, parametrul **a** are o valoare apreciabilă și este pozitiv, parametrul **b** are o valoare mică și semn negativ, iar diferența de nuanță (ΔH) are o valoare mică și este pozitivă.

Tabelul III.3.4 Măsurători de culoare

Iluminant/ Diferențe de culoare	Număr compus									
	XV	XVI	XVII	XVIII	XIX	XX	XXI	XXII	XXIII	
A	ΔE	15,28	12,03	16,30	12,91	16,21	13,62	14,56	14,23	18,95
	ΔL	-9,24	-10,73	-9,25	-8,64	-7,34	-12,53	-8,77	-8,81	-8,36
	ΔC	10,17	4,64	11,84	6,18	13,33	5,31	10,61	9,89	15,38
	ΔH	6,67	2,83	6,31	7,34	5,60	0,56	4,77	5,20	7,25
C	ΔE	15,17	12,42	16,29	12,56	16,01	14,32	15,05	14,75	18,19
	ΔL	-10,93	-11,20	-11,07	-9,92	-9,23	-12,80	-10,33	-10,37	-10,54
	ΔC	8,80	4,90	10,65	4,45	12,14	6,38	10,18	9,57	13,22
	ΔH	5,77	2,19	5,42	6,29	4,89	0,76	4,02	4,29	6,72
D 65	ΔE	15,34	12,49	16,51	12,62	16,30	14,38	15,28	14,94	18,56
	ΔL	-10,97	-11,26	-11,12	-9,96	-9,29	-12,85	-10,38	-10,43	-10,59
	ΔC	9,04	4,94	10,92	4,55	12,46	6,39	10,45	9,79	13,66
	ΔH	5,78	2,20	5,44	6,27	4,92	0,76	4,04	4,30	6,77

ΔE =diferența de culoare;

ΔL =diferența de luminozitate;

ΔC =diferența de saturație;

ΔH =diferența de nuanță;

A= iluminant normal, corespunzător luminii artificiale

C= iluminant corespunzător luminii zilei

D65= iluminant standard

Având în vedere aceste considerații prin prisma diagramei interpretării direcției de schimbare a nuanței în funcție de semnul diferenței de nuanță, se constată că în toate cazurile prin creșterea concentrației de aplicare are loc o abatere de nuanță spre roșu.

Pentru toți compușii sintetizați așa cum se poate observa din rezultatele obținute, pentru rezistențele la lumină, acestea sunt influențate în mică măsură de natura componentei de diazotare, ele situându-se în majoritate în intervalul 4-5.

Componentele de diazotare conțin grupe sulfonice și/sau carboxilice pentru obținerea unor coloranți cu solubilitate mare în apă. Cea mai mare rezistență la lumină se obține în cazul compusului (XV) în care probabil legătura de hidrogen intramoleculară realizată între grupa carboxil și grupa azo stabilizează molecula în reacții de descompunere fotochimică.

Rezistențele la spălare sunt bune și foarte bune pentru toți compușii studiați, fapt absolut normal pentru coloranții fixați prin legături covalente cu substratul textil.

Tabelul III.3.5 Rezistențele vopsirilor pe tricot din bumbac

Nr. compus		XV	XVI	XVII	XVIII	XIX	XX	XXI	XXII	XXIII	
Rezistența la spălare	Bumbac	5	5	5	5	5	4-5	5	5	5	
	Nylon	5	5	5	5	5	4-5	5	5	5	
	Modificare nuanță	5	5	5	5	4-5	3	5	5	5	
Rezistența la apă rece	Bumbac	5	5	5	5	3	2-3	5	5	3	
	Nylon	5	5	5	5	3-4	3	5	5	5	
	Modificare nuanță	5	5	5	5	4-5	3-4	5	5	5	
Rezistența la transpirație	acidă	Bumbac	5	5	5	5	4-5	3-4	5	5	5
		Nylon	5	5	5	5	5	5	5	5	5
		Modif. nuanță	4-5	5	5	4-5	5	3-4	5	5	5
	alcalină	Bumbac	5	5	5	5	3-4	3-4	5	5	5
		Nylon	5	5	5	5	4-5	4	5	5	5
		Modif. nuanță	5	4-5	5	5	5	3	5	5	5
Rezistența la frecare	uscată	5	5	5	5	5	5	5	5	5	
	umedă	5	5	5	4-5	5	5	5	5	5	
Rezistența la lumină		5	4	4	4-5	3-4	3-4	4	5	4-5	

1-rezistența foarte slabă; 2-rezistența slabă; 3-rezistența medie; 4-rezistența bună; 5-rezistența foarte bună;

Analizând rezistențele umido-termice se constată că valorile cele mai scăzute se înregistrează în cazul compuşilor (XIX) și (XX) unde structura coloranților permite asocierea intermoleculară puternică prin legături de hidrogen favorizând aderarea la fibră a colorantului hidrolizat în procesul de vopsire și îndepărtarea dificilă a acestuia prin spălare. Acest fapt conduce astfel la obținerea de rezistențe ale vopsirii mai scăzute la tratamente mai energice (transpirație acidă și/sau alcalină).

III.4. VOPSIREA CU COLORANȚI REACTIVI HETEROFUNCȚIONALI (XXIV-XXXII)

Comparând lungimile de undă dominante obținute în spectrele de reflexie pentru eșantioanele de bumbac vopsite cu coloranții reactivi heterofuncționali se constată o deplasare batocromă de la $\lambda_D=518$ nm înregistrat în cazul compusului (XXII) până la $\lambda_D=576$ nm, diferența dintre lungimile de undă fiind de 58nm, cu 10 nm mai mare decât cea înregistrată în spectrele de absorbție(anexa I).

Tabelul III.4.1 Lungimea de undă dominantă în spectrele de reflexie

Nr. compus		XXIV	XXV	XXVI	XXVII	XXVIII	XXIX	XXX	XXXI	XXXII
Lungimea de undă dominantă λ_D (nm)	Concentrație colorant pe tricot de bumbac 1%	552	555	533	559	544	576	547	533	518

Dacă se compară lungimile de undă ale maximelor de absorbție și lungimile de undă dominante din spectrele de reflexie pentru fiecare compus se constată o deplasare batocromă obținută în cazul spectrelor de reflexie situată în domeniul $\lambda_D-\lambda_{abs}= 5-31$ nm, din cauza interacțiunilor colorant-fibră mai puternice decât cele colorant-apă. Astfel se explică obținerea prin vopsire a unor culori diferite de cele prognozate de lungimea de undă a maximului de absorbție.

Tabelul III.4.2 Rezultatele spectrometriei de reflexie (concentrația de aplicare 1%)

Nr. compus		XXIV	XXV	XXVI	XXVII	XXVIII	XXIX	XXX	XXXI	XXXII	
A	Valori Tristimulus	X	55,10	49,65	57,39	52,24	57,68	39,02	56,03	48,54	60,35
		Y	37,70	40,68	41,37	36,16	40,64	29,80	38,55	32,90	45,63
		Z	13,07	17,97	14,45	13,55	14,15	14,72	13,38	12,01	14,22
	Coordonate cromatice	x	0,5204	0,4584	0,5069	0,5124	0,5129	0,4671	0,5190	0,5194	0,5021
		y	0,3561	0,3756	0,3654	0,3547	0,3613	0,3568	0,3571	0,3521	0,3796
	CIELAB 77	L	67,80	69,95	70,43	66,64	69,92	61,48	68,42	64,08	73,30
		a	34,51	11,74	28,58	32,54	31,46	18,74	34,04	34,18	22,99
b		0,74	-11,66	0,37	-2,99	0,55	-15,96	0,67	-1,69	6,12	
C	Valori Tristimulus	X	43,19	42,97	45,88	41,21	45,76	33,33	43,95	37,91	48,63
		Y	32,97	40,25	37,30	32,26	36,15	29,00	33,86	28,89	41,62
		Z	44,92	60,11	49,18	46,10	48,44	49,62	45,93	41,12	48,04
	Coordonate cromatice	x	0,3567	0,2998	0,3466	0,3447	0,3511	0,2977	0,3552	0,3513	0,3517
		y	0,2723	0,2808	0,2818	0,2698	0,2773	0,2590	0,2737	0,2677	0,3009
	CIELAB 77	L	64,13	69,65	67,50	63,56	66,63	60,78	64,85	60,68	70,61
		a	36,03	11,61	29,26	32,60	32,70	18,93	35,15	34,66	23,52
b		-7,56	-12,91	-6,22	-9,81	-6,96	-18,26	-7,40	-9,27	0,30	
D 65	Valori Tristimulus	X	42,07	41,67	44,68	40,12	44,57	32,27	42,80	36,89	47,41
		Y	32,73	40,13	37,08	32,06	35,91	28,85	33,63	28,69	41,40
		Z	41,35	55,52	45,32	42,51	44,60	45,80	42,28	37,87	44,31
	Coordonate cromatice	x	0,3622	0,3035	0,3516	0,3498	0,3563	0,3018	0,3606	0,3566	0,3562
		y	0,2818	0,2922	0,2918	0,2795	0,2871	0,2698	0,2833	0,2773	0,3110
	CIELAB 77	L	63,94	69,56	67,34	63,39	66,45	60,65	64,66	60,50	70,45
		a	36,78	11,38	29,88	33,17	33,38	18,71	35,87	35,28	24,24
b		-7,69	-13,02	-6,36	-9,99	-7,08	-18,42	-7,53	-9,42	0,14	

A= iluminant normal, corespunzator luminii artificiale

C= iluminant corespunzator luminii zilei

D65= iluminant standard

În cazul compusului (XXIX) se înregistrează cel mai puternic efect batocrom. În acest compus, pe de o parte grupele hidroxil și carboxil din componenta de diazotare pot forma legături de hidrogen intermoleculare cu substratul celulozic, iar pe de altă parte existența grupei hidroxil donoare de electroni aflată în conjugare cu grupa azo explică această comportare. Lungimea de undă dominantă se situează în acest caz la $\lambda_D=576$ nm, culoarea obținută fiind violet.

Diferențele de culoare înregistrate prin variația concentrației de aplicare a coloranților pe fibră (1% și 3%) se pot calcula prin măsurători de culoare pentru eșantioanele de tricot din bumbac vopsite cu coloranții reactivi heterofuncționali. Diferențele de culoare (ΔE) obținute se exprimă ca diferențe de luminozitate (ΔL), diferențe de saturație (ΔC) și diferențe de nuanță (ΔH).

Tabelul III.4.3 Rezultatele spectrometriei de reflexie (concentrația de aplicare 3%)

Nr. compus		XXIV	XXV	XXVI	XXVII	XXVIII	XXIX	XXX	XXXI	XXXII	
A	Valori Tristimulus	X	43,08	36,57	48,37	34,77	47,98	25,50	46,57	41,85	57,30
		Y	26,29	28,52	32,82	20,75	30,28	18,01	28,98	25,69	40,74
		Z	8,16	13,78	11,13	7,14	9,49	10,23	9,19	8,80	12,20
	Coordonate cromatice	x	0,5557	0,4637	0,5240	0,5549	0,5468	0,4745	0,5496	0,5482	0,5198
		y	0,3391	0,3616	0,3555	0,3312	0,3450	0,3352	0,3420	0,3365	0,3695
	CIELAB 77	L	58,31	60,35	64,01	52,67	61,89	49,51	60,77	57,74	69,99
		a	44,27	16,08	34,03	43,40	42,15	23,71	43,27	43,21	30,28
		b	5,25	-14,68	1,71	0,90	5,10	-19,52	4,52	1,13	7,77
	C	Valori Tristimulus	X	31,76	31,37	37,53	25,42	35,93	21,58	34,68	31,08
Y			21,21	27,94	28,56	16,80	24,98	17,22	23,75	21,12	35,84
Z			28,53	46,44	38,19	24,74	33,07	34,87	32,07	30,58	41,71
Coordonate cromatice		x	0,3897	0,2967	0,3599	0,3796	0,3823	0,2930	0,3833	0,3754	0,3665
		y	0,2602	0,2642	0,2738	0,2510	0,2658	0,2337	0,2624	0,2552	0,2927
CIELAB 77		L	53,18	59,84	60,39	48,01	57,05	48,53	55,83	53,08	66,39
		a	46,10	16,00	34,75	43,74	43,87	24,53	44,92	44,04	31,16
		b	-5,99	-16,59	-6,34	-9,07	-5,63	-22,66	-6,38	-9,08	-0,10
D 65		Valori Tristimulus	X	30,94	30,35	36,55	24,72	35,01	20,81	33,78	30,23
	Y		20,99	27,80	28,34	16,63	24,74	17,07	23,51	20,91	35,59
	Z		26,20	42,86	35,16	22,77	30,38	32,16	29,45	28,12	38,42
	Coordonate cromatice	x	0,3960	0,3004	0,3653	0,3856	0,3884	0,2972	0,3894	0,3814	0,3715
		y	0,2686	0,2752	0,2833	0,2593	0,2745	0,2437	0,2711	0,2638	0,3022
	CIELAB 77	L	52,94	59,71	60,20	47,79	56,82	48,35	55,60	52,85	66,20
		a	47,09	15,70	35,46	44,50	44,83	24,26	45,86	44,82	32,03
		b	-6,14	-16,75	-6,49	-9,30	-5,76	-22,87	-6,52	-9,26	-0,27

A= iluminant normal, corespunzator luminii artificiale

C= iluminant corespunzator luminii zilei

D65= iluminant standard

Diferențele de culoare înregistrate prin creșterea concentrației de aplicare se situează în domeniul $\Delta E=8-18$ fiind puțin influențate de tipul de iluminant utilizat și se datorează în

principal unei întunecări a nuanței ($\Delta L=3-14$), în aceeași măsură a unei creșteri a saturației ($\Delta C=5-11$) și mai puțin diferenței de nuanță ($\Delta H=0-4$).

Cele mai mici diferențe de culoare se înregistrează în cazul compușilor (XXVI) și (XXXII).

Analizând datele obținute în sistem CIELAB, se constată că pentru toți compușii, parametrul **a** are o valoare mare și este pozitiv, în timp ce parametrul **b** are o valoare mică și semn negativ, iar diferența de nuanță (ΔH) are o valoare mică și este pozitivă. Având în vedere aceste considerații prin prisma diagramei interpretării direcției de schimbare a nuanței în funcție de semnul diferenței de nuanță, se constată că în toate cazurile prin creșterea concentrației de aplicare are loc o abatere de nuanță spre roșu.

Tabelul III.4.4 Măsurători de culoare

Illuminant/ Diferențe de culoare	Număr compus									
	XXIV	XXV	XXVI	XXVII	XXVIII	XXIX	XXX	XXXI	XXXII	
A	ΔE	14,34	10,96	8,52	18,12	14,13	13,44	12,60	11,38	8,18
	ΔL	-9,49	-9,60	-6,42	-13,97	-8,03	-11,97	-7,66	-6,34	-3,31
	ΔC	10,06	5,23	5,49	10,73	11,00	6,10	9,46	9,00	7,48
	ΔH	3,79	0,80	1,16	4,23	3,76	0,45	3,26	2,91	0,24
C	ΔE	14,96	11,36	8,99	19,14	14,77	14,17	13,34	12,07	8,73
	ΔL	-10,96	-9,81	-7,12	-15,55	-9,58	-12,25	-9,02	-7,60	-4,21
	ΔC	9,67	5,69	5,41	10,62	10,80	7,10	9,45	9,09	7,63
	ΔH	3,21	0,70	0,94	3,42	3,16	0,64	2,68	2,33	0,44
D 65	ΔE	15,16	11,38	9,07	19,30	15,02	14,21	13,53	12,24	8,88
	ΔL	-11,00	-9,85	-7,14	-15,61	-9,63	-12,30	-9,07	-7,65	-4,25
	ΔC	9,91	5,66	5,50	10,83	11,07	7,09	9,68	9,25	7,79
	ΔH	3,23	0,70	0,95	3,43	3,19	0,63	2,71	2,34	0,40

ΔE =diferența de culoare;

ΔL =diferența de luminozitate;

ΔC =diferența de saturație;

ΔH =diferența de nuanță;

A= iluminant normal, corespunzător luminii artificiale

C= iluminant corespunzător luminii zilei

D65= iluminant standard

În ceea ce privește comportarea tinctorială a coloranților reactivi heterofuncționali așa cum era de așteptat rezistențele vopsirilor sunt mai bune decât în cazul coloranților monoclorotriazinici din cauza fixării mai bune a coloranților prin cel puțin una dintre cele două grupe reactive. Ținând cont că vopsirea se efectuează practic în condițiile aplicării coloranților reactivi monoclorotriazinici, este cert că grupa reactivă vinilsulfonică reacționează total. Coloranții hidrolizați cu grupă hidroxietilsulfonică nu prezintă afinitate foarte bună pentru fibra textilă astfel că aceștia se îndepărtează ușor prin spălare astfel încât rezistențele umido-termice se îmbunătățesc vizibil. Acestea se situează în jurul valorii 4-5 pentru toți coloranții și la toate testele efectuate. Se remarcă că pentru același colorant introdu-

cerea grupei reactive sulfoxietilsulfonice îmbunătățește foarte mult rezistențele umido-termice așa cum se poate constata comparând compușii (XXVIII) și (XXIX) din seria heterofuncțională cu aceiași compuși din seria monoclortriazinică [152].

Analizând rezistențele la lumină se constată o scădere aparentă a acestora în comparație cu seria monoclortriazinică, comportare care se explică prin intensitatea mai scăzută a vopsirilor obținute cu coloranții heterofuncționali la aceeași concentrație de vopsire din cauza conținutului mai mic de colorant în produsul tehnic cu care s-a efectuat vopsirea. Conținutul scăzut de colorant în produsul tehnic se explică prin cantitatea mare de sare utilizată pentru salefieră din cauza solubilității mult mai mari a acestor coloranți în apă față de coloranții monoclortriazinici. Dacă se testează mostre de tricot vopsite la aceeași intensitate (intensitate tip) și nu la aceeași concentrație de aplicare se constată că rezistențele la lumină sunt similare pentru cele două serii de coloranți.

Tabelul III.4.5 Rezistențele vopsirilor pe tricot din bumbac

Nr. compus		XXIV	XXV	XXVI	XXVII	XXVIII	XXIX	XXX	XXXI	XXXII	
Rezistența la spălare	Bumbac	5	5	5	5	5	5	5	5	5	
	Nylon	5	5	5	5	5	5	5	5	5	
	Modificare nuanță	3-4	5	5	5	4	3-4	4-5	5	4-5	
Rezistența la apă rece	Bumbac	4-5	5	5	5	5	5	5	5	5	
	Nylon	4-5	5	5	5	5	4-5	5	5	4-5	
	Modificare nuanță	4	4-5	5	5	4	5	4	4-5	5	
Rezistența la transpirație	acidă	Bumbac	5	5	4	5	4	5	4	5	5
		Nylon	5	5	5	5	4	4-5	5	5	5
		Modif. nuanță	5	5	5	5	4-5	3-4	5	5	5
	alcalină	Bumbac	5	5	5	5	4-5	5	4	5	5
		Nylon	5	5	5	5	5	4	5	5	5
		Modif. nuanță	5	5	5	5	4-5	3-4	4-5	5	5
Rezistența la frecare	uscătă	5	5	5	5	5	5	5	5	5	
	umedă	5	5	5	5	5	5	5	5	5	
Rezistența la lumină		4	2-3	3-4	4	3-4	2-3	3-4	3-4	3-4	

1-rezistența foarte slabă; 2-rezistența slabă; 3-rezistența medie; 4-rezistența bună; 5-rezistența foarte bună;

IV. PARTEA EXPERIMENTALĂ

IV.1. INSTALAȚIA PENTRU SINTEZĂ, INSTALAȚIA PENTRU VOPSIRE, REACTIVII UTILIZAȚI

IV.1.1. INSTALAȚIA PENTRU SINTEZĂ

Instalația folosită pentru sinteză cuprinde:

- Balon cu fund rotund cu 3 gâturi (1000ml, 1500ml, 2000ml)
- Agitator ancora, agitator cu paleți
- Termometru
- Pâlnie de picurare (500ml)
- Refrigerent ascendent cu apă
- Refrigerent descendent conectat la vid
- Baie electrică de încălzire

IV.1.2. INSTALAȚIE PENTRU VOPSIRE

Instalația folosită pentru vopsirea materialului textil cuprinde:

- Pahar Berzelius
- O baie de vopsire cu agitare manuala si sistem de incalzire-racire
- Termometru

IV.1. 3. REACTIVII UTILIZAȚI

- Acid clorhidric p.a.– Merck – concentrație 32%
- Acid clorsulfonic – Merck – concentrație 97%
- N-fenilacetamidă – Merck – concentrație 98%
- Sulfit de sodiu anh. – Merck – concentrație 98%
- Hidroxid de sodiu – Merck – concentrație 99%
- Etilenclorhidrină – Fluka – concentrație 99% Toluen – SC Chimopar SA – concentrație 99,5%
- Acid sulfuric – Merck – concentrație 95-97%
- 1,3,5-triclor-triazină – Fluka – concentrație 99%
- Metiletilcetonă p.a.– SC Chimopar SA – concentrație 99,5%
- Bicarbonat de sodium p.a. – SC Chimopar SA – concentrație 99%
- Acid 4-amino-5-hidroxi-naftalen-2,7-disulfonic sare monosodică – Merck – concentrație 85%
- Acid 1-amino-benzen-4-sulfonic p.a.- Fluka – concentrație 99%
- Azotit de sodiu p.a. – SC Chimopar SA – concentrație 99%
- Acid sulfamic p.a. – Merck – concentrație 99,5%
- Carbonat de sodiu anh. p.a. – SC Chimopar SA – concentrație 99%
- Clorură de sodiu p.a. – SC Chimopar SA – concentrație 99%

- Fenol p.a. – SC Chimopar SA – concentrație 99%
- Ftalocianină de cupru tehn. – SC Colorom SA – concentrație 90%
- Piridină p.a. – Merck – concentrație 99,5%
- Acid 1-amino-naftalen-5-sulfonic – Fluka – concentrație 90-95%
- Acid 6-amino-4-hidroxi-naftalen-2-sulfonic – Fluka – concentrație 90%
- 4-hidroxi-naftalen-1-sulfonat de sodiu – Fluka – concentrație 70%
- Acid 3-hidroxi-naftalen-2-carboxilic – Merck – concentrație 96%
- Acid 2-hidroxi-benzoic – Merck – concentrație 99%
- Acid 1-amino-naftalen-4-sulfonic . – Merck – concentrație 99%
- 1-amino-4-nitrobenzen – Fluka – concentrație 98%
- Acid 1-amino-benzen-2 carboxilic – Merck – concentrație 99%
- Acid 2-amino-naftalen-1- sulfonic – Fluka – concentrație 98%
- Acid 5-amino-izoftalic – Merck – concentrație 98%
- Acid 5-amino-2-hidroxi-benzoic – Merck – concentrație 99%
- Acid 3-amino-benzoic – Merck – concentrație 98%
- Acid 4-amino-benzoic – Merck – concentrație 99%
- Acid 1-amino-benzen-2,5-disulfonic – Fluka – concentrație 80%
- Acid 1-amino-naftalen-6-sulfonic – Fluka – concentrație 90-95%
- Acid 2,5-diclor-4-(3-metil-5-oxo-4,5-dihidro-pirazol-1-il)benzensulfonic – Merck – concentrație 98%
- 6-acetilamino-4-hidroxi-naftalen-2-sulfonat de sodiu – Fluka – concentrație 90%
- Acid 4,4'-diaminostilben-2,2'-disulfonic – Riedel – concentrație 94%

IV.2. METODE DE ANALIZĂ UTILIZATE

IV.2.1. METODE CROMATOGRAFICE

Urmărirea reacțiilor ca și aprecierea calitativă a purității produselor sintetizate (materii prime nereacționate, produși secundari) s-a făcut prin cromatografie pe strat subțire, urmărindu-se formarea colorantului și transformarea materiilor prime.

S-a lucrat cu următoarele sisteme de eluenți:

- *pentru intermediari (1-4)* s-a utilizat ca faza mobilă un amestec format din: 1-propanol:apă:cloroform:acid acetic în raport 80:4:16:4 (vol./vol.). Solubilizarea probelor s-a făcut într-un amestec de amoniac 25%: apă=1:1 (vol./vol.) la o concentrație de 1%, iar aplicarea soluțiilor de analizat s-a făcut la nivelul de 2 μl, placa fiind activată 30 min. la 110°C. Punerea în evidență a compușilor se face prin stropire cu un amestec 1:1 (vol./vol.) constituit dintr-o soluție apoasă de iodură de potasiu 1% și o soluție 3% de amidon, culoarea rezultată fiind mov în ambele cazuri;
- *pentru coloranții vinilsulfonici (I-XIV)* un amestec format din 1-propanol:1-butanol:acetat de etil:apă în raport 2:4:1:3 (vol/vol);
- *pentru coloranții monoclorotriazinici (XV-XXIII)* un amestec format din piridina: amoniac 17%: alcool n-amilic în raport 1,1:1:1 (vol/vol);
- *pentru coloranții heterofuncionali (XXIV-XXXII)* un amestec format din piridina: amoniac 17%: alcool n-amilic în raport 1,1:1:1 (vol/vol).

Ca faza staționară s-a utilizat Plasticfolien Silicagel G. Merck. Pe faza stationara se aplică pe linia de start cu o micropipetă un volum de 5 μ l, din soluția de materii prime. După uscarea spoturilor, placa cromatografică se introduce în cuva cromatografică. Când frontul eluentului a parcurs distanța de 15 cm de la linia de start, se scoate placa cromatografică din cuva cromatografică, se marchează linia frontului, se usucă la temperatura camerei și apoi se identifică compușii separați prin pulverizarea fină a soluției de dezvoltare pe placa cromatografică. Intermediarii (3,4) respectiv coloranții obținuți (I-XXXII) au fost în prealabil purificați prin dizolvare în apa cu adaos de acid sulfuric, la nevoie filtrare. Prin adăugare de alcool etilic a precipitat sulfatul de sodiu care s-a îndepărtat prin filtrare, după care soluția de colorant, fie a fost concentrată în vid și analizată ca atare, fie alcalinizată pentru precipitare ca sare de sodiu necesară aplicațiilor tinctoriale. Coloranții purificați au prezentat un spot mic bine definit fără urme de materie primă sau produși secundari. În unele cazuri, pentru a purifica coloranții s-a apelat la cromatografia pe coloană. A fost utilizată o coloană cilindrică de sticlă, cu diametrul de 20 cm și înălțimea de 80 cm, prevăzută la partea inferioară cu un robinet și un disc filtrant de porțelan peste care s-a așezat un strat de vată de sticlă de 1 cm înălțime. Coloana a fost umplută cu faza fixă (aceeași ca în cazul cromatografiei pe strat subțire) dispersată în eluent (faza mobilă utilizată în cazul cromatografiei pe strat subțire) înălțimea umpluturii fiind de circa 60 cm. Deasupra stratului de umplură se așează un strat de nisip tratat corespunzător de cca 1 cm înălțime. Aerul din coloană s-a scos prin lovirea ușoară a coloanei în timpul și la sfârșitul umplerii. În final s-a scurs eluentul din coloană până la înălțimea stratului de umplură. Coloranții bruți supuși purificării s-au dizolvat în eluent la concentrații similare celor utilizate în cromatografia pe strat subțire și soluția rezultată s-a pipetat în coloană.

Cromatografia se execută prin adăugarea fazei mobile (aceeași ca în cazul cromatografiei pe strat subțire) pe la partea superioară a coloanei și evacuarea acesteia pe la partea inferioară, regându-se viteza de curgere cu ajutorul robinetului de la partea inferioară a coloanei. Compușii s-au separat pe toată lungimea coloanei cu specificația că ordinea acestora este inversă față de cromatografia pe strat subțire (compusul cu R_f -ul cel mai mare în cromatografia pe strat subțire se află la baza coloanei). Prin continuarea adăugării solventului s-a separat și s-a izolat ca soluții în faza mobilă pe la partea inferioară a coloanei, pe rând în vase de captare diferite toți compușii separați. După evaporarea solventului în vid, soluția a fost analizată ca atare sau alcalinizată pentru transformare în sare de sodiu.

IV.2.2. ANALIZA ELEMENTALĂ

Conținutul în carbon, hidrogen și azot s-a determinat cu un analizor Carlo-Erba M 1106, iar conținutul în sulf prin combustie Schoniger.

IV.2.3. METODE SPECTROSCOPICE

Spectrele în domeniul UV-VIS, au fost efectuate pe soluții de concentrații 10^{-5} molar, termostatate la o temperatură de $25 \pm 0,5^\circ\text{C}$, în cuve rectangulare de cuarț, cu o grosime a stratului de 1 cm, pe un spectrometru Carl Zeiss Jena M 40.

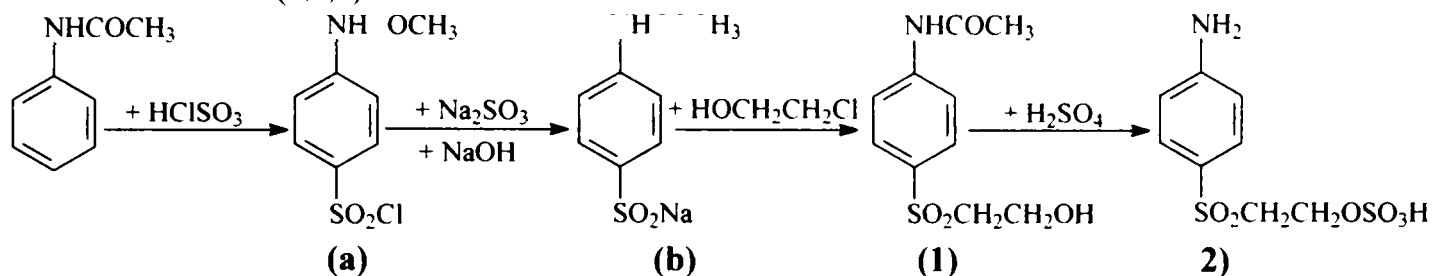
Spectrele de reflexie și măsurătorile de culoare au fost efectuate pe eșantioane vopsite din bumbac (în cazul coloranților azoici de dezvoltare) pe un spectrometru Carl Zeiss Jena M 40 echipat cu dispozitiv de reflexie la 10° , pentru trei iluminanți standard (A,C,D65), rezultatele fiind calculate după metoda CIELAB 77.

Spectrele în domeniul infraroșu au fost înregistrate pe probe în pastilă de bromură de potasiu, pe un spectrometru Carl Zeiss Jena 75 IR.

Spectrele ^1H și ^{13}C - RMN au fost înregistrate pe un spectrometru VARIAN GEMINI 2000 - 300 MHz, la o temperatură de $25 \pm 0,5^\circ\text{C}$.

IV.3. SINTEZE DE INTERMEDIARI SPECIFICI

Unul dintre intermediarii principali este esterul monosulfuric al 2-(4-amino-benzensulfonil)-etanolului. Sinteza acestuia a implicat patru faze materializate prin obtinerea a trei compusi organici intermediari diferiti (a,b,1).



Obținerea 4-acetilamino-benzensulfoclorurii (a)

Se suspendă sub agitare 135g N-fenilacetamidă (1 mol) în 579,5g acid clorsulfonic (4,98 moli) în timp de 2 ore menținându-se temperatura în limitele 5-10°, după care se încălzește treptat la 60°C cu menținere timp de o oră la această temperatură în vederea perfectării reacției de clorosulfonare. În continuare clorosulfomasa se răcește la temperatura de 20°C și se scurge peste un amestec format din: 500ml apă și 2000g gheață, sub agitare, astfel ca temperatura să se mențină în limitele 5-8°C. Masa de reacție sub formă de suspensie fină de culoare alb-gri se filtrează, precipitatul de pe filtru se spală cu apă de 3-5°C pentru îndepărtarea acidității, obținându-se 500g pastă de culoare albă ce conține 187g 4-acetilamino-benzensulfoclorură, corespunzător unui randament pe fază de sulfoclorurare de 80%.

Obținerea sării de sodiu a acidului 4-acetilamino-benzensulfonic (b)

Se suspendă sub agitare 252g sulfite de sodiu (2 moli) în 1126ml apă și se omogenizează cu solubilizare parțială timp de 0,5 ore la o temperatură de 10°C, după care se adaugă în porții 187g 4-acetilamino-benzensulfoclorură (0,8 moli) în decurs de 1,5 ore concomitent cu corecția pH-ului la 8 prin alcalinizare cu cca. 96ml soluție apoasă de hidroxid de sodiu 40% și menținerea temperaturii în limitele 15-20°C. Apoi, masa de reacție se încălzește în decurs de 0,5 ore la 35°C pentru perfectarea reacției de reducere cu menținere un timp de 1,5 ore. În continuare masa de reacție se răcește la 25°C pentru precipitarea insolubilelor (impurități organice și săruri minerale), după care se filtrează pentru îndepărtarea acestora. Se obțin 1760ml filtrat de culoare gri-maroni cu $d=1,075 \text{ g/cm}^3$, $\text{pH}=8-8,4$ ce conține 159,1g sare de sodiu a acidului 4-acetilamino-benzensulfonic, corespunzător unui randament pe faza de reducere de 90%.

IV.3.1. OBȚINEREA N[4-(2-HIDROXI-ETILSULFONIL)-FENIL]-ACETAMIDEI

(1)

Se suspendă 159,1 g sare de sodiu a acidului 4-acetilamino-benzensulfonic (0,72 moli) sub forma soluției apoase alcaline obținute de la faza de reducere (1760 ml) cu $\text{pH}=8-8,4$, aflată la temperatura de 20°C și sub agitare se reglează pH-ul la 6,5 prin adăos de 7 ml soluție de acid clorhidric 10%, după care se adaugă în timp de 45 minute 140 g 1-clor-2-hidroxi-etan (1,74 moli), timp în care pH-ul rămâne constant. În continuare masa de reacție se încălzește la 70°C cu menținere la această temperatură timp de 2 ore, cu corecția pH-ului în limitele 6,5-7,5 prin

adaos de soluție apoasă de hidroxid de sodiu 10%. Apoi, masa de reacție se încălzește la 96-98°C cu menținere un timp de 8 ore și corecția pH-ului în limitele 6,5-7,5, folosindu-se pentru alcalinizare 132 ml soluție apoasă de hidroxid de sodiu 10% pentru toată durata reacției de hidroxietilare. Masa de reacție se lasă în răcire liberă sub agitare până la 70°C, după care se răcește exterior până la 20°C în timp de 2 ore, temperatura la care se menține încă o oră pentru o cât mai completă cristalizare a produsului hidroxietilat. În continuare, suspensia de culoare gri-închis se filtrează, obținându-se 205 g pastă de culoare gri deschis ce conține 157,4 g N[4-(2-hidroxi-etilsulfonil)-fenil]-acetamidă, corespunzător unui randament pe faza de hidroxietilare de 90%.

(1) $C_{10}H_{13}N_4O_4S$; $M=243,28$; p.t.: 183 °C; Analiza elementală [(%), (calc./găsit)]: C (49,37/48,87), H (5,39/ 5,12), N (5,76/5,52), S (13,18/13,31); UV [I_{max} (nm),(lg e_{max})] : 202 (4,136), 262 (4,249); IR [KBr, (cm⁻¹)]: 3235f.i. (n_{N-H}), 3160i (n_{OH}), 2922s (n_{CH_2}), 1672f.i. ($n_{C=O}$, CH_3CO), 1535f.i. ($n_{C=C}$), 1372f.i. ($n_{SO_2}^{as}$), 1138f.i. ($n_{SO_2}^s$), 742f.i. (g_{CH}); ¹H-RMN [(CD₃)₂SO, d (ppm), J (Hz)] NH – 10,47 (s), OH – 4,89 (t, $J_0=5,80$), CH₃ – 2,09 (s), H-7 – 3,37 (t, $J_0=6,22$), H-8 – 3,63 (t, $J_0=6,22$), H-2, H-3, H-5, H-6 – 7,80 (coalescent); ¹³C-RMN [(CD₃)₂SO, d (ppm)] 144,145 (C₁), 118,695(C₂), 129,179(C₃), 133,483 (C₄), 129,179(C₅), 118,776 (C₆), 57,879 (C₇), 55,129 (C₈), 24,195 (CH₃) 169,529 (CO).

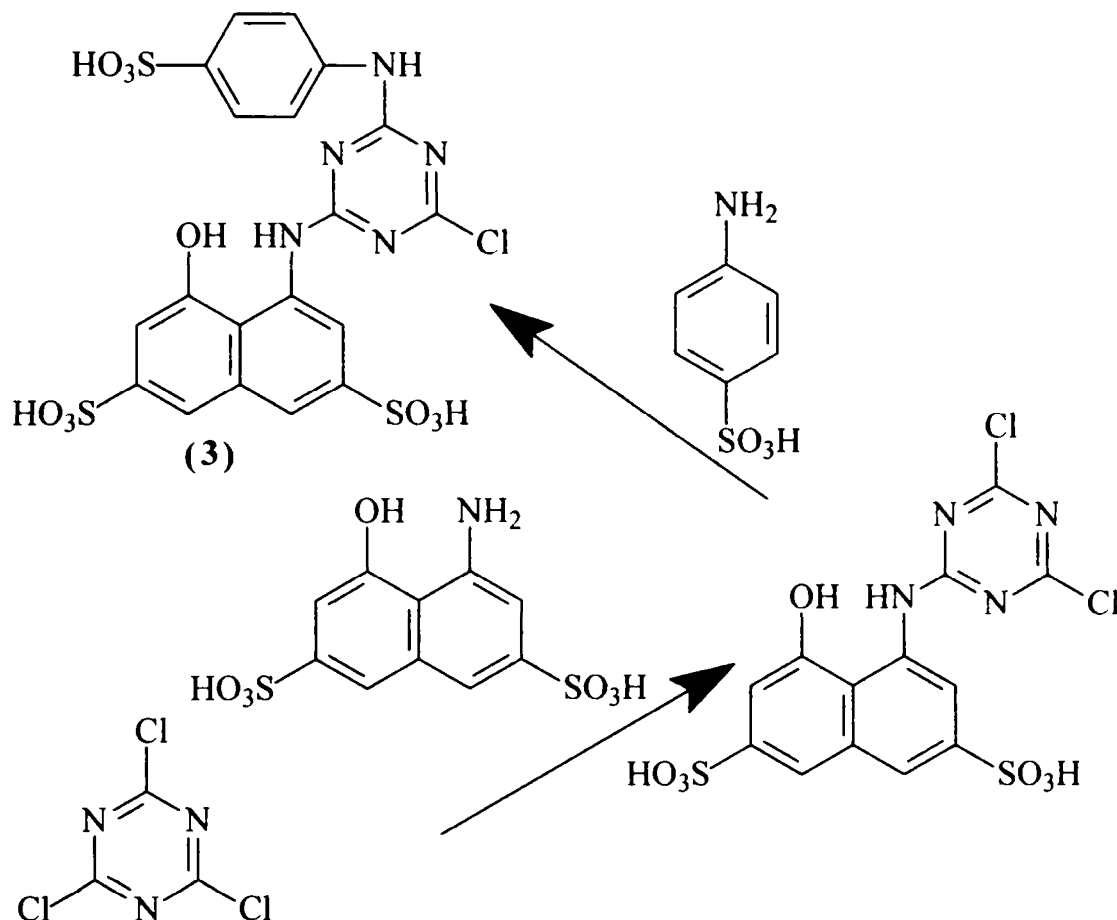
IV.3.2. OBTINEREA ESTERULUI MONOSULFURIC AL 2-(4-AMINO-BENZENSULFONIL) ETANOLULUI (2)

Într-un amestec format din 600 ml toluen, 95 g acid sulfuric (0,97 moli) și 10 g nonilfenol polietoxilat (n=6) se încarcă sub agitare în timp de o oră 157,4 g N[4-(2-hidroxi-etilsulfonil)-fenil]-acetamidă (0,64 moli), când temperatura crește de la 20 la 35°C, se menține pentru dispersare și omogenizare la această temperatură o oră. Masa de reacție se încălzește în decurs de 0,5 ore la 50°C, când începe distilarea la presiune redusă (400 mm Hg) a apei și a acidului acetic rezultate în urma reacției de hidroliză. În continuare se ridică temperatura la 100°C în timp de 1,5 ore și se menține la această temperatură 3,5 ore, când se distilă la presiune normală un amestec de toluen, apă și acid acetic,, cantitatea de toluen separată din amestec fiind reintrodusă în sistem pentru menținerea relativ constantă a concentrației reactanților și produsului de reacție în masă. După terminarea reacției de sulfatare, masa de reacție se răcește sub agitare la 20°C, apoi se lasă în repaos o oră când produsul de reacție cu aspect nisipos de culoare gri-verzui decantează, iar toluenul limpede, incolor se separă la partea superioară. Apoi, toluenul se sifonează în cea mai mare parte, solventul rămas în pasta de produs se îndepărtează prin introducerea unei cantități de 300 ml apă urmată de distilarea azeotropă a amestecului toluen-apă la 50°C și presiune redusă (400 mm Hg). Masa de reacție sub formă de suspensie apoasă de culoare alb-gri se răcește la 20°C și se filtrează, se spală precipitatul pe filtru cu apă pentru îndepărtarea acidității, se tasează și se usucă la temperatura de 45-50°C. Se obțin 127,8 g ester monosulfuric al 2-(4-amino-benzensulfonil)etanolului de 99% concentrație, respectiv 126,5 g produs 100% corespunzător unui randament pe faza hidroliză-sulfatare de 70%.

(2) $C_8H_{11}NO_6S_2$; $M= 281,31$; p.t.: 275 °C (desc.); Analiza elementală [(%), (calc./găsit)]: C (34,16 /33,95), H (3,94/3,78), N (4,98/4,75), S (22,80/22,93); UV [I_{max} (nm),(lg e_{max})] : 207 (4,354), 266 (4,423); IR [KBr, (cm⁻¹)]: 3235f.i. ($n_{NH_2}^{as}$), 3160i($n_{NH_2}^s$), 2922s (n_{CH_2}), 1672f.i. (d_{NH_2}), 1535f.i. ($n_{C=C}$), 1372f.i. ($n_{SO_2}^{as}$), 1138f.i. ($n_{SO_2}^s$), 795m (g_{CH}), 742f.i. (g_{NH_2}); ¹H-RMN [(CD₃)₂SO, d (ppm), J (Hz)] NH₂ – 5,06 (s), H-7 – 3,45 (t, $J_0=7,10$), H-8 – 3,87 (t, $J_0=7,10$), H-2, H-6 – 6,80 (d, $J_0=8,40$, $J_m=1,40$), H-3, H-5 – 7,55 (d, $J_0=8,40$,

$J_m=1,40$); ^{13}C -RMN [$(\text{CD}_3)_2\text{SO}$, d (ppm)] 150,787 (C_1), 115,006 (C_2), 129,923 (C_3), 132,145 (C_4), 129,923 (C_5), 115,006 (C_6), 55,242 (C_7), 59,578 (C_8).

Al doilea intermediar este sarea trisodică a acidului 4-[4-clor-6-(4-sulfo-fenilamino)-[1,3,5]triazin-2-ilamino]-5-hidroxi-naftalen-2,7-disulfonic (3). S-a obținut conform reacțiilor:

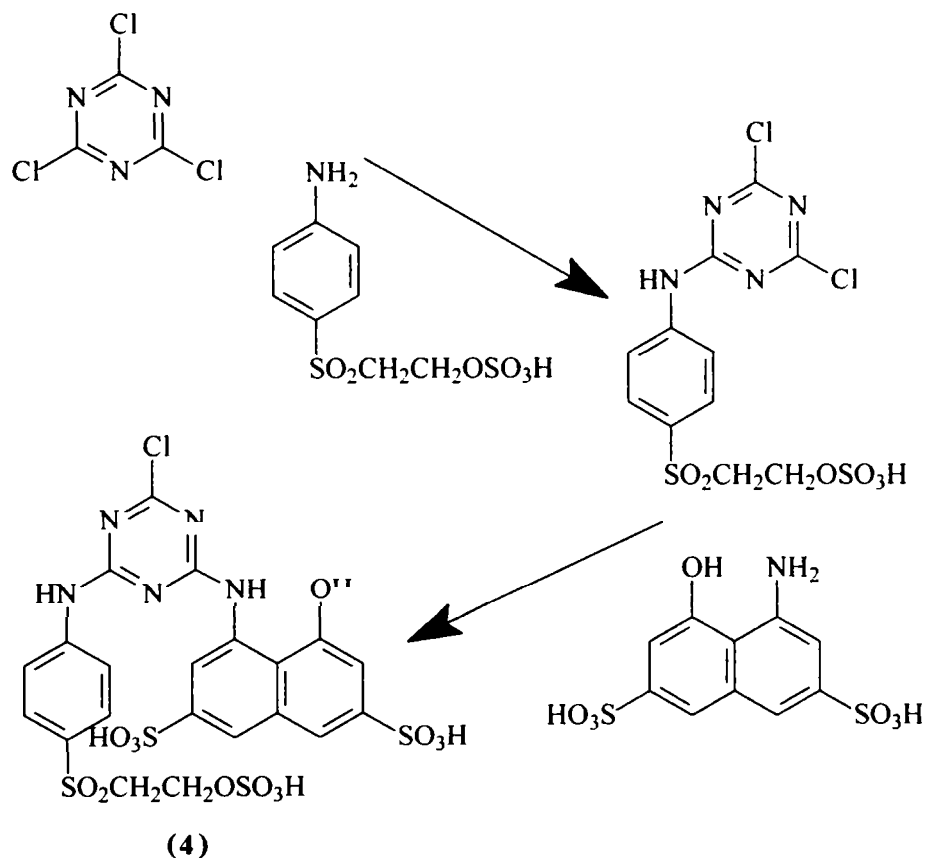


IV.3.3 OBTINEREA SĂRII TRISODICE A ACIDULUI 4-[4-CLOR-6-(4-SULFO-FENILAMINO)-[1,3,5]TRIAZIN-2-ILAMINO]-5-HIDROXI-NAFTALEN-2,7-DISULFONIC (3)

Se dizolvă 19,6 g 1,3,5-triclor-triazină (0,106 moli) în 110 g metiletilcetonă, soluția obținută se adaugă în timp de 0,5 ore sub agitare la un amestec format din 200 ml apă și 400 g gheață rezultând o suspensie fină, albă de triazină aflată la temperatura de 0°C , peste care se adaugă în timp de 0,5 ore o soluție obținută în prealabil din: 34,13 g acid 4-amino-5-hidroxi-naftalen-2,7-disulfonic sare monosodică (0,1 moli), 8,8 g bicarbonat de sodiu și 300 ml apă, masa de reacție de culoare cafenie se menține sub agitare pentru realizarea condensării 2,5 ore la temperatura de $0-5^\circ\text{C}$ și corecția pH-ului prin adaosul unei cantități de 125 ml soluție apoasă de bicarbonat de sodiu 9% la valoarea $\text{pH}=4,5$. După terminarea primei condensări, controlata cromatografic, peste masa de reacție se adaugă în timp de 0,5 ore o soluție obținută anterior din: 17,13 g acid 1-amino-benzen-4-sulfonic (0,099 moli), 8,8 g bicarbonat de sodiu și 100 ml apă, în continuare se încălzește la 50°C cu menținere 4,5 ore și se alcalinizează la $\text{pH}=5,5-6,5$ cu 100 ml soluție apoasă de bicarbonat de sodiu 9%. După terminarea celei de a doua condensări, controlata cromatografic, masa de reacție se diluează cu apă până la un volum de 1500 ml, soluția apoasă conținând cca.66,3 g acid 4-[4-clor-6-(4-sulfo-fenilamino)-[1,3,5]triazin-2-ilamino]-5-hidroxi-naftalen-2,7-disulfonic sare tri-sodică, ce corespunde unui randament de 93%.

(3) $C_{19}H_{14}ClN_5O_{10}S_3$; $M=603,99$; p.t.: $301^{\circ}C$ (desc.) ; Analiza elementală [(%), (calc./găsit)]: C (37,78 /37,46), H (2,34/2,09), N (11,60/11,43), S (15,93/16,01); UV [λ_{max} (nm),(lg e_{max})]: 242 (4,636), 270 (4,324), 325 (4,195), 339 (4,131); IR [KBr, cm^{-1}]: 3440f.i. (n_{N-H}), 3362f.i. (n_{OH}), 1615f.i. ($n_{C=C}$), 1570f.i. ($n_{C=C}$, n_{C-N}), 1491f.i. ($n_{C=C}$, n_{C-N}), 1417f.i. ($n_{C=C}$, n_{C-N}), 1370f.i. (n_{SO_2}), 1210i (n_{C-OH}), 1180f.i. (n_{SO_2}), 783m (g_{CH}); 1H -RMN [$(CD_3)_2SO$, d (ppm)]: NH - 4,20 (s), OH - 5,20 (s), OH - 9,20 (s), H-1 - 8,12 (s), H-8 - 8,24 (s), H-3, H-6 - 7,18 (s), H-15, H-16, H-18, H-19 - 7,40-7,90 (m); ^{13}C -RMN [$(CD_3)_2SO$, d(ppm)] 115,943 (C_1),144,143 (C_2), 108,121 (C_3), 135,725 (C_4),144,515 (C_5),105,801 (C_6),142,910 (C_7),118,610 (C_8),133,111 (C_9),114,709 (C_{10}), 180,023 (C_{11}),173,409 (C_{12}), 177,505 (C_{13}),150,503 (C_{14}),116,404 (C_{15}),127,123 (C_{16}), 133,504 (C_{17}), 127,123 (C_{18}), 116,404 (C_{19}).

Intermediarul sarea trisodica a acidului 4-{4-clor-6-[4-(2-sulfoxi-etilsulfonil)-fenilamino]-[1,3,5]triazin-2-ilamino}-5-hidroxi-naftalen-2,7-disulfonic (4) s-a obtinut prin urmatoarea succesiune de reactii:



IV.3.4. OBȚINEREA SĂRII TRISODICE A ACIDULUI 4-{4-CLOR-6-[4-(2-SULFOXI-ETILSULFONIL)-FENILAMINO]-[1,3,5]TRIAZIN-2-ILAMINO}-5-HIDROXI-NAFTALEN-2,7-DISULFONIC (4)

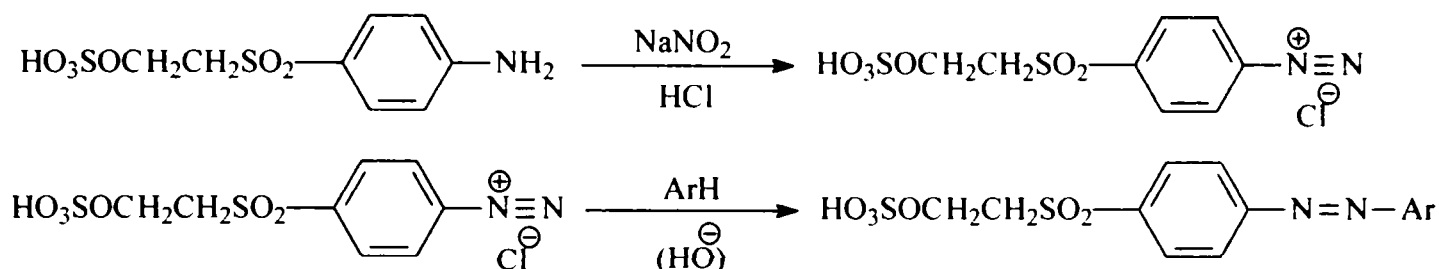
Se dizolvă 19,6 g 1,3,5-triclor-triazină (0,106 moli) în 110 g metiletilcetonă, soluția obținută se adaugă în timp de 0,5 ore sub agitare la un amestec format din 200 ml apă și 400 g gheață rezultând o suspensie fină, albă de triazină aflată la temperatura de $0^{\circ}C$, peste care se adaugă în timp de 0,5 ore o soluție obținută în prealabil din: 26,7g ester monosulfuric al 2-(4-amino-benzensulfonil)etanolului (0,095 moli), 8,5 g bicarbonat de sodiu și 150 ml apă, masa de reacție sub formă de suspensie de culoare albă se menține sub agitare pentru realizarea condensării 2 ore la temperatura de $10-15^{\circ}C$ și corecția pH-ului prin adaosul unei cantități de 130 ml soluție apoasă de bicarbonat de sodiu 8,5% la valoarea $pH=4-4,5$. După terminarea primei condensări, peste masa de reacție se adaugă în timp de o oră o soluție obținută anterior din: 34,13 g acid 4-amino-5-hidroxi-naftalen-2,7-disulfonic sare monosodică (0,1 moli), 8,8 g

bicarbonat de sodiu și 300 ml apă, în continuare se încălzește la 60°C cu menținere 20 ore și se alcalinizează la pH =5,5-6 cu 170 ml soluție apoasă de bicarbonat de sodiu 8,5%. După terminarea celei de a doua condensări, masa de reacție se diluează cu apă până la un volum de 1500 ml, soluția apoasă conținând cca.73,9 g acid 4-{4-clor-6-[4-(2-sulfoxi-etilsulfonil)-fenilamino]-[1,3,5]triazin-2-ilamino}-5-hidroxi-naftalen-2,7-disulfonic sare trisodică, ce corespund unui randament de 89,6%.

(4) $C_{21}H_{18}ClN_5O_{13}S_4$; $M = 712,11$; p.t.: 289 °C (desc.) ; Analiza elementală [(%), (calc./găsit)]: C (35,42 /35,09), H (2,55/2,31), N (9,83/9,61), S (18,01/18,27); UV [I_{max} (nm), (lg e_{max})]: 243 (4,549), 285 (4,309), 324 (3,946), 340 (3,864); IR [KBr, (cm^{-1})]: 3450f.i. (n_{N-H}), 2910s (n_{CH_2}), 1615f.i. ($n_{C=C}$), 1553f.i. ($n_{C=C}$, n_{C-N}), 1530f.i. ($n_{C=C}$, n_{C-N}), 1395f.i. ($n_{SO_2}^{as}$), 1220f.i. (n_{C-OH}), 1180f.i. ($n_{SO_2}^s$), 785m (g_{CH}); 1H -RMN [(CD_3) $_2$ SO, d (ppm)] NH - 4,20 (s), OH - 5,20 (s), OH - 9,20 (s), H-1 - 7,98 (s), H-8 - 8,05 (s), H-3, H-6 - 7,20 (s), H-15, H-16, H-18, H-19 - 7,60-7,90 (m); ^{13}C -RMN [(CD_3) $_2$ SO, d (ppm)] 115,109 (C₁), 144,652 (C₂), 107,323 (C₃), 135,206 (C₄), 143,311 (C₅), 104,635 (C₆), 142,258 (C₇), 118,533 (C₈), 133,804 (C₉), 114,515 (C₁₀), 180,212 (C₁₁), 173,002 (C₁₂), 177,103 (C₁₃), 151,741 (C₁₄), 116,143 (C₁₅), 127,319 (C₁₆), 128,507 (C₁₇), 127,319 (C₁₈), 116,143 (C₁₉), 54,212 (C₂₀), 61,214 (C₂₁).

IV.4. OBȚINEREA COLORANȚILOR AZOICI REACTIVI VINILSULFONICI

Sinteza acestor coloranți s-a realizat după metoda generală prezentată în reacțiile de mai jos:



În toate sintezele ce au implicat reacții de diazotare s-a controlat permanent excesul de nitrit cu hârtie iod-amidonată și prezența/absența aminei cu soluție alcoolică 1% de 4-dimetilamino-benzaldehida în aureola pe hârtie de filtru.

În toate sintezele ce au implicat o reacție de cuplare, sfârșitul reacției de cuplare s-a determinat prin controlul prezenței/absenței sării de diazoniu în aureola colorantului salifiat pe hartie cu o soluție alcalină de acid 4-amino-5-hidroxi-naftalen-2,7 disulfonic.

Diazotarea esterului monosulfuric al 2-(4-amino-benzensulfonil) etanolului (2)

La o suspensie formată din 5,62 g ester monosulfuric al 2-(4-amino-benzensulfonil)-etanolului (0,02 moli) în 80 ml apă și 10 g gheață se adaugă sub agitare energetică la o temperatură de 10°C, 4 g soluție acid clorhidric 32% (0,035 moli), apoi se răcește masa la 0-2°C și se introduce peste aceasta o soluție formată din 1,45 g azotit de sodiu (0,021 moli) în 10 ml apă. Masa de reacție se menține la o temperatură de 0-2°C, timp de 2,5 ore pentru terminarea reacției de diazotare, după care excesul de acid azotos se distruge cu acid sulfamic, iar sarea de diazoniu obținută (cca. 110 ml) se tratează cu diferite componente de cuplare.

IV.4.1. OBȚINEREA SĂRII DE SODIU A ACIDULUI 5-AMINO-6-[4-(2-SULFOXI-ETILSULFONIL)-FENILAZO]NAFTALEN-1-SULFONIC (I)

Peste suspensia de cuplantă obținută din: 4,68 g acid 1-amino-naftalen-5-sulfonic (0,021 moli), 50 ml apă, 0,8 g hidroxid de sodiu (0,02 moli), la o temperatură de 10°C, se introduc sub agitare cca. 110 ml suspensie de sare de diazoniu a esterului monosulfuric al 2-(4-amino-benzensulfonil)etanolului în decurs de 0,5 ore, concomitent cu menținerea pH-ului în limitele 6,5-7 prin adăugarea unei soluții apoase de carbonat de sodiu 20%. Masa de reacție se menține în agitare la o temperatură de 15°C timp de 2 ore pentru perfectarea reacției de cuplare. Sfârșitul reacției de cuplare se determină prin controlul prezenței/absenței sării de diazoniu în aureola colorantului salifiat pe hârtie cu o soluție alcalină de acid 4-amino-5-hidroxi-naftalen-2,7-disulfonic [121 de 26 g clo]. Suspensia apoasă de culoare roșu închis ce conține colorantul monoazoic reactiv (175 ml) se supune salifierii prin adaos rură de sodiu, menținând temperatura la 15-20°C timp de 8 ore. Colorantul monoazoic reactiv salifiat se filtrează, iar produsul izolat se usucă în vid la 40°C. Se obțin cca 20,4 g colorant monoazoic reactiv roșu ce conține 9,2 g sare de sodiu a acidului 5-amino-6-[4-(2-sulfoxi-etilsulfonil)-fenilazo]naftalen-1-sulfonic, corespunzător unui randament de 82%.

(1) C₁₈H₁₅N₃Na₂O₉S₃; M=559,5; p.t.: 297°C (desc); Analiza elementală [(%), (calc./găsit)]: C (38,64/38,45), H (2,70/2,63), N (7,51/7,45), S (17,19/17,45); UV [I_{max}.

(nm), (lg e_{\max}): 493 (4,082); IR [KBr, (cm⁻¹): 3555i (n^{as}_{NH2}), 3435i (n^s_{NH2}), 2965s (n_{CH2}), 1600i (d_{NH2}), 1582i (n_{C=C}), 1363f.i. (n^{as}_{SO2}), 1130f.i. (n^s_{SO2}), 773i (g_{CH}), 735f.i. (g_{NH2}); ¹H-RMN [(CD₃)₂SO, d (ppm), J (Hz)] H₂ – 8,15 (d, J_o=8,03), H₃ – 7,45 (t, J_o=8,03), H₄ – 7,73 (d, J_o=8,03), H₇ – 7,99 (d, J_o=8,16), H₈ – 8,47 (d, J_o=8,16), H_{2'}, H_{6'} – 8,15 (d, J_o=7,57), H_{3'}, H_{5'} – 8,07 (d, J_o=7,57), H_{7'} – 3,68 (t, J_o=6,6), H_{8'} – 3,98 (t, J_o=6,6); ¹³C-RMN [(CD₃)₂SO, d (ppm)]: 146,010 (C₁), 127,836 (C₂), 124,002 (C₃), 125,652 (C₄), 132,390 (C₅), 131,240 (C₆), 118,550 (C₇), 115,880 (C₈), 130,580 (C₉), 129,870 (C₁₀), 155,826 (C_{1'}), 122,546 (C_{2',C6'}), 129,050 (C_{3',C5'}), 144,436 (C_{4'}), 54,676 (C_{7'}), 59,109 (C_{8'}).

IV.4.2. OBȚINEREA SĂRII DE SODIU A ACIDULUI 6-AMINO-4-HIDROXI-5-[4-(2-SULFOXI-ETILSULFONIL)-FENILAZO]NAFTALEN-2-SULFONIC(II)

Peste suspensia de cuplantă obținută din: 5,02 g acid 6-amino-4-hidroxi-naftalen-2-sulfonic (0,021 moli), 50 ml apă, 0,8 g hidroxid de sodiu (0,02 moli), la o temperatură de 10⁰C, se introduc sub agitare cca. 110 ml suspensie de sare de diazoniu a esterului monosulfuric al 2-(4-amino-benzensulfonil)etanolului în decurs de 0,5 ore, concomitent cu menținerea pH-ului la valoarea 4 prin adăugarea unei soluții apoase de carbonat de sodiu 20%. Masa de reacție se menține în agitare la o temperatură de 20⁰C timp de 3,5 ore pentru perfectarea reacției de cuplare. Suspensia apoasă de culoare roșu albăstrui ce conține colorantul monoazoic reactiv (180 ml) se supune salifierii prin adaos de 21,6 g clorură de sodiu, menținând temperatura la 15-20⁰C timp de 8 ore. Colorantul monoazoic reactiv salifiat se filtrează, iar produsul izolat se usucă în vid la 40⁰C. Se obțin cca 22,8 g colorant monoazoic reactiv roșu ce conține 9,8 g sare de sodiu a acidului 6-amino-4-hidroxi-5-[4-(2-sulfoxi-etilsulfonil)-fenilazo]naftalen-2-sulfonic, corespunzător unui randament de 85%.

(2); C₁₈H₁₅N₃Na₂O₁₀S₃ M=575,5; p.t.: 311⁰C (desc); Analiza elementală [(%), (calc./găsit)]: C (37,57/37,28), H (2,63/2,51), N (7,30/7,22), S (16,72/17,18); UV [I_{max} (nm), (lg e_{\max}): 504 (3,549); IR [KBr, (cm⁻¹): 3390i (n^s_{NH2}), 2945s (n_{CH2}), 1635f.i. (d_{NH2}), 1540i (n_{C=C}), 1350m (n^{as}_{SO2}), 1200f.i. (n_{C-OH}), 1145f.i. (n^s_{SO2}), 765m (g_{CH}); ¹H-RMN [(CD₃)₂SO, d (ppm), J (Hz)] H₁ – 7,98 (s), H₃ – 7,54 (s), H₇ – 7,21 (d, J_o=8,2), H₈ – 7,91 (d, J_o=8,2), OH – 5,4 (s), H_{2'}, H_{6'} – 8,13 (d, J_o=7,6), H_{3'}, H_{5'} – 8,05 (d, J_o=7,6), H_{7'} – 3,61 (t, J_o=6,6), H_{8'} – 3,92 (t, J_o=6,6); ¹³C-RMN [(CD₃)₂SO, d (ppm)]: 115,893 (C₁), 137,432 (C₂), 105,856 (C₃), 147,576 (C₄), 125,672 (C₅), 138,125 (C₆), 118,325 (C₇), 130,263 (C₈), 126,854 (C₉), 118,343 (C₁₀), 154,753 (C_{1'}), 124,374 (C_{2',C6'}), 129,211 (C_{3',C5'}), 143,346 (C_{4'}), 54,335 (C_{7'}), 58,211 (C_{8'}).

IV.4.3. OBȚINEREA SĂRII DE SODIU A ACIDULUI 5-AMINO-8-[4-(2-SULFOXI-ETILSULFONIL)-FENILAZO]NAFTALEN-2-SULFONIC (III)

Peste suspensia de cuplantă obținută din: 4,68 g acid 1-amino--naftalen-6-sulfonic (0,021 moli), 50 ml apă, 0,8 g hidroxid de sodiu (0,02 moli), la o temperatură de 10⁰C, se introduc sub agitare cca. 110 ml suspensie de sare de diazoniu a esterului monosulfuric al 2-(4-amino-benzensulfonil)etanolului în decurs de 0,5 ore, concomitent cu menținerea pH-ului la valoarea 5 prin adăugarea unei soluții apoase de carbonat de sodiu 20%. Masa de reacție se menține în agitare la temperatura de 15⁰C timp de 5 ore pentru perfectarea reacției de cuplare. Suspensia apoasă de culoare roșu gălbui ce conține colorantul monoazoic reactiv (175 ml) se supune salifierii prin adaos de 22,5 g clorură de sodiu, menținând temperatura la 15-20⁰C timp de 8 ore. Colorantul monoazoic reactiv salifiat se filtrează, iar produsul izolat se usucă în vid la

40°C. Se obțin cca 16,5 g colorant monoazoic reactiv roșu cărămiziu ce conține 10,7 g sare de sodiu a acidului 5-amino-8-[4-(2-sulfoxi-etilsulfonil)-fenilazo]naftalen-2-sulfonic corespunzător unui randament de 96%.

(3) $C_{18}H_{15}N_3Na_2O_9S_3$; $M=559,50$; p.t.: 308°C (desc); Analiza elementală [(%), (calc./găsit)]: C (38,64/38,47), H (2,70/2,58), N (7,51/7,43), S (17,19/17,52); UV [l_{max} (nm), (lg e_{max})] : 488 (4,148); IR [KBr, (cm^{-1})]: 3400f.i. ($n^{as}_{NH_2}$), 3290f.i. ($n^s_{NH_2}$), 2920s (n_{CH_2}), 1663f.i. (d_{NH_2}), 1560f.i. ($n_{C=C}$), 1400f.i. ($n^{as}_{SO_2}$), 1135f.i. ($n^s_{SO_2}$), 775i (g_{CH}), 733i (g_{NH_2}); 1H -RMN [(CD_3) $_2SO$, δ (ppm), J (Hz)]: H_1 – 8,50 (s), H_3 – 7,88 (d, $J_0=8,96$), H_4 – 8,02 (d, $J_0=8,96$), H_6 – 6,82 (d, $J_0=8,66$), H_7 – 7,70 (d, $J_0=8,66$), H_2 , H_6 – 8,20 (d, $J_0=7,84$), H_3 , H_5 – 8,02 (d, $J_0=7,84$), H_7 – 3,67 (t, $J_0=6,8$), H_8 – 3,99 (t, $J_0=6,8$); ^{13}C -RMN [(CD_3) $_2SO$, δ (ppm)] : 125,173 (C_1), 142,546 (C_2), 121,656 (C_3), 122,724 (C_4), 147,671 (C_5), 111,241 (C_6), 119,456 (C_7), 143,523 (C_8), 126,882 (C_9), 134,292 (C_{10}), 155,822 ($C_{1'}$), 123,241 (C_2, C_6); 129,373 (C_3, C_5); 145,714 (C_4), 54,773 (C_7), 59,222 (C_8).

IV.4.4. OBȚINEREA SĂRII DE SODIU A ACIDULUI 2,5-DICLOR-4-{3-METIL-5-OXO-4-[4-(2-SULFOXI-ETILSULFONIL)-FENILAZO]-4,5-DIHI-DRO-PIRAZOL-1-IL}-BENZENSULFONIC (IV)

Peste suspensia de cuplantă obținută din: 6,78 g acid 2,5-diclor-4-(3-metil-5-oxo-4,5-dihidro-pirazol-1-il)benzensulfonic (0,021 moli), 60 ml apă, 0,8 g hidroxid de sodiu (0,02 moli), la o temperatură de 15°C, se introduc sub agitare cca. 110 ml suspensie de sare de diazoniu a esterului monosulfuric al 2-(4-amino-benzensulfonil)etanolului în decurs de 45 minute, concomitent cu menținerea pH-ului la valoarea 5 prin adăugarea unei soluții apoase de carbonat de sodiu 20%. Masa de reacție se menține în agitare la o temperatură de 20°C timp de 2 ore pentru perfectarea reacției de cuplare. Suspensia apoasă de culoare galben verzuie ce conține colorantul monoazoic reactiv (185 ml) se supune salifierii prin adaos de 33,3 g clorură de sodiu, menținând temperatura la 15-20°C timp de 8 ore. Colorantul monoazoic reactiv salifiat se filtrează, iar produsul izolat se usucă în vid la 40°C. Se obțin cca 25,2 g colorant monoazoic reactiv galben ce conține 12,1 g sare de sodiu a acidului 2,5-diclor-4-{3-metil-5-oxo-4-[4-(2-sulfoxi-etilsulfonil)-fenilazo]-4,5-dihidro-pirazol-1-il}-benzensulfonic corespunzător unui randament de 92%.

(4) $C_{18}H_{14}Cl_2N_4Na_2O_{10}S_3$; $M=659,41$; p.t.: 216°C (desc) ; Analiza elementală [(%), (calc./găsit)]: C (32,79/32,58), H (2,14/2,08), N (8,50/8,42), S (14,59/14,9); UV [l_{max} (nm), (lg e_{max})] : 401 (4,012); IR [KBr, (cm^{-1})]: 3400i, 3350i, 3145i, 3032i, 2922m, 2887m, 2820s, 1615i, 1580f.i., 1540s, 1520m, 1490s, 1428i, 1395f.i., 1320s, 1230i, 1180i, 1170i, 1132f.i., 1020m, 980m, 870s, 815m, 780s, 725m, 655s, 610s, 540s, 510s, 450s, 435s; 1H -RMN [(CD_3) $_2SO$, δ (ppm), J (Hz)]: H_3 – 7,64 (s), H_6 – 8,00 (s), H_7 – 3,72 (s), OH – 5,26 (s), H_2 , H_6 – 7,91 (d, $J_0=8,7$), H_3 , H_5 – 7,84 (d, $J_0=8,7$), H_7 – 3,62 (t, $J_0=6,9$), H_8 – 3,94 (t, $J_0=6,9$); ^{13}C -RMN [(CD_3) $_2SO$, δ (ppm)] : 146,086 (C_1), 128,079 (C_2), 129,290 (C_3), 141,243 (C_4), 129,859 (C_5), 123,175 (C_6), 69,183 (C_7), 155,675 (C_8), 156,182 ($C_{1'}$), 123,456 (C_2, C_6), 129,600 (C_3, C_5), 149,192 (C_4), 54,757 (C_7), 59,173 (C_8), 168,123 (CO). 3555i ($n^{as}_{NH_2}$), 3435i ($n^s_{NH_2}$), 2965s (n_{CH_2}), 1600i (d_{NH_2}), 1582i ($n_{C=C}$), 1363f.i. ($n^{as}_{SO_2}$), 1130f.i. ($n^s_{SO_2}$), 773i (g_{CH}), 735f.i. (g_{NH_2}); 1553f.i. ($n_{C=C}$, n_{C-N}), 1530f.i. ($n_{C=C}$, n_{C-N}), 1220f.i. (n_{C-OH}),

IV.4.5. OBȚINEREA SĂRII DE SODIU A ACIDULUI 4-HIDROXI-3-[4-(2-SULFOXI-ETILSULFONIL)-FENILAZO]-NAFTALEN-1-SULFONIC (V)

Peste suspensia de cuplantă obținută din: 5,17 g 4-hidroxi-naftalen-1-sulfonat de sodiu (0,021 moli), 50 ml apă, 0,8 g hidroxid de sodiu (0,02 moli), la o temperatură de 10°C, se introduc sub agitare cca. 110 ml suspensie de sare de diazoniu a esterului monosulfuric al 2-(4-amino-benzensulfonil)etanolului în decurs de 0,5 ore, concomitent cu menținerea pH-ului la valoarea 5 prin adăugarea unei soluții apoase de carbonat de sodiu 20%. Masa de reacție se menține în agitare la o temperatură de 17-20°C timp de 0,5 ore pentru perfectarea reacției de cuplare. Suspensia apoasă de culoare grenă ce conține colorantul monoazoic reactiv (170 ml) se supune salifierii prin adaos de 25,5 g clorură de sodiu, menținând temperatura la 15-20°C timp de 6 ore. Colorantul monoazoic reactiv salifiat se filtrează, iar produsul izolat se usucă în vid la 40°C. Se obțin cca 22,9 g colorant monoazoic reactiv roșu albăstrui ce conține 11 g sare de sodiu a acidului 4-hidroxi-3-[4-(2-sulfoxi-etilsulfonil)-fenilazo]-naftalen-1-sulfonic corespunzător unui randament de 98%.

(5) $C_{18}H_{14}N_2Na_2O_{10}S_3$; $M=560,49$; p.t.: 286 °C (desc) ; Analiza elementală [(%), (calc./găsit)]: C (38,57/38,36), H (2,52/2,41), N (5,00/4,89), S (17,16/17,49); UV [I_{max} (nm),(lg e_{max})] : 363 (4,081), 488 (4,368); IR [KBr, (cm⁻¹)] 3435i, 2950s, 2890s, 1622f.i., 1590f.i., 1565s, 1550s, 1498f.i., 1450f.i., 1395f.i., 1360s, 1320m, 1290s, 1255f.i., 1225i, 1190s, 1172s, 1135f.i., 1080s, 1050m, 1000f.i., 950s, 875m, 830i, 768f.i., 732i, 700s, 627m, 610s, 583m, 545s, 510s, 450s, 435s; ¹H-RMN [(CD₃)₂SO, d (ppm), J (Hz)] : H₂ – 7,95 (s), H₅ – 7,97 (d, J_o=7,6), H₆ – 7,74 (t, J_o=7,6), H₇ – 7,54 (t, J_o=7,6), H₈ – 7,64 (d, J_o=7,6), H_{2'}, H_{6'} – 8,56 (d, J_o=7,84), H_{3'}, H_{5'} – 8,31 (d, J_o=7,84), H_{7'} – 3,65 (t, J_o=6,8), H_{8'} – 3,96 (t, J_o=6,8); ¹³C-RMN [(CD₃)₂SO, d (ppm)]: 133,580 (C₁), 118,080 (C₂), 130,312 (C₃), 147,348 (C₄), 124,552 (C₅), 126,655 (C₆), 128,467 (C₇), 127,027 (C₈), 132,852 (C₉), 125,144 (C₁₀), 155,443 (C_{1'}), 123,414 (C_{2',C_{6'}}), 130,085 (C_{3',C_{5'}}), 140,909 (C_{4'}), 54,870 (C_{7'}), 59,351 (C_{8'}).

IV.4.6. OBȚINEREA SĂRII DE SODIU A ACIDULUI 3-HIDROXI-4-[4-(2-SULFOXI-ETILSULFONIL)-FENILAZO]-NAFTALEN-2-CARBOXILIC (VI)

Peste suspensia de cuplantă obținută din: 3,95 g acid 3-hidroxi-naftalen-2-carboxilic (0,021 moli), 50 ml apă, 1 g hidroxid de sodiu (0,025 moli), la o temperatură de 10°C, se introduc sub agitare cca. 110 ml suspensie de sare de diazoniu a esterului monosulfuric al 2-(4-amino-benzensulfonil)etanolului în decurs de 0,5 ore, concomitent cu menținerea pH-ului la valoarea 7-7,5 prin adăugarea unei soluții apoase de carbonat de sodiu 20%. Masa de reacție se menține în agitare la o temperatură de 15-20°C timp de 6 ore pentru perfectarea reacției de cuplare. Suspensia apoasă de culoare portocalie ce conține colorantul monoazoic reactiv (190 ml) se supune salifierii prin adaos de 35,5 g clorură de sodiu, menținând temperatura la 15-20°C timp de 8 ore. Colorantul monoazoic reactiv salifiat se filtrează, iar produsul izolat se usucă în vid la 40°C. Se obțin cca 18,7 g colorant monoazoic reactiv portocaliu ce conține 9,75 g sare de sodiu a acidului 3-hidroxi-4-[4-(2-sulfoxi-etilsulfonil)-fenilazo]-naftalen-2-carboxilic corespunzător unui randament de 93%.

(6) $C_{19}H_{14}N_2Na_2O_9S_2$; $M=524,43$; p.t.:237°C (desc.);Analiza elementală [(%), (calc./găsit)]: C (43,51/43,46), H (2,69/2,57), N (5,34/5,26), S (12,23/12,48); UV [I_{max} (nm),(lg e_{max})] : 490 (4,055); IR [KBr, (cm⁻¹)] 3115i, 2910s, 2835s, 1620i, 1590f.i., 1485m, 1430m, 1382i, 1295f.i., 1210i, 1185s, 1135f.i., 1080i, 1028f.i., 900s, 865s, 820m, 810s, 740f.i., 700s, 670s, 630s, 610i, 580s, 555s, 520s, 450s, 435s; ¹H-RMN [(CD₃)₂SO, d (ppm), J (Hz)]:

$H_1 - 8,52$ (s), $H_5 - 8,81$ (d, $J_0=8,55$), $H_6 - 7,31$ p (t, $J_0=8,55$), $H_7 - 7,56$ (t, $J_0=8,55$), $H_8 - 7,69$ (d, $J_0=8,55$), $H_2', H_6' - 8,05$ (d, $J_0=7,44$), $H_3', H_5' - 7,99$ (d, $J_0=7,44$), $H_7' - 3,69$ (t, $J_0=6,65$), $H_8' - 4,00$ (t, $J_0=6,65$); $^{13}\text{C-RMN}$ [$(\text{CD}_3)_2\text{SO}$, d (ppm)] : 136,880 (C_1), 121,996 (C_2), 146,800 (C_3), 134,481 (C_4), 124,924 (C_5), 129,681 (C_6), 122,287 (C_7), 129,794 (C_8), 128,807 (C_9), 131,654 (C_{10}), 157,240 ($C_{1'}$), 123,193 ($C_{2'}$, $C_{6'}$), 130,506 ($C_{3'}$, $C_{5'}$), 138,482 ($C_{4'}$), 54,740 ($C_{7'}$), 59,141 ($C_{8'}$).

IV.4.7. OBȚINEREA SĂRII DE SODIU A ACIDULUI 6-ACETILAMINO-4-HIDROXI-3-[4-(2-SULFOXI-ETILSULFONIL)-FENILAZO]NAFTALEN-2-SULFONIC (VII)

Peste suspensia de cuplantă obținută din: 6,36 g 6-acetilamino-4-hidroxi-naftalen-2-sulfonat de sodiu (0,021 moli), 50 ml apă, 0,8 g hidroxid de sodiu (0,02 moli), la o temperatură de 10°C , se introduc sub agitare cca. 110 ml suspensie de sare de diazoniu a esterului monosulfuric al 2-(4-amino-benzensulfonil)etanolului în decurs de 0,5 ore, concomitent cu menținerea pH-ului la valoarea 4,5 prin adăugarea unei soluții apoase de carbonat de sodiu 20%. Masa de reacție se menține în agitare la o temperatură de $15-20^\circ\text{C}$ timp de 6 ore pentru perfectarea reacției de cuplare. Suspensia apoasă de culoare portocalie ce conține colorantul monoazoic reactiv (180 ml) se supune salifierii prin adaos de 27 g clorură de sodiu, menținând temperatura la $20-24^\circ\text{C}$ timp de 6 ore. Colorantul monoazoic reactiv salifiat se filtrează, iar produsul izolat se usucă în vid la 40°C . Se obțin cca 21 g colorant monoazoic reactiv portocaliu ce conține 10,9 g sare de sodiu a acidului acidului 6-acetilamino-4-hidroxi-3-[4-(2-sulfoxi-etilsulfonil)-fenilazo]naftalen-2-sulfonic corespunzător unui randament de 88,5%.

(7) $\text{C}_{20}\text{H}_{17}\text{N}_3\text{Na}_2\text{O}_{11}\text{S}_3$; $M=617,54$; p.t.: 295°C (desc.); Analiza elementală [(%), (calc./găsit)]: C (38,90/38,79), H (2,77/2,53), N (6,80/6,72), S (15,58/15,92); UV [I_{max} (nm), (lg e_{max})] : 387 (3,619), 490 (3,790); IR [KBr, (cm^{-1})] 3410i, 2905s, 2825s, 1655i, 1615s, 1585f.i., 1565m, 1550s, 1500f.i., 1470i, 1410s, 1395i, 1355s, 1320m, 1273i, 1220f.i., 1185i, 1170i, 1130f.i., 1080s, 1045f.i., 995f.i., 955s, 875m, 825s, 763f.i., 740i, 720i, 700m, 643m, 620s, 590s, 570s, 520s, 485s, 450s, 435s; $^1\text{H-RMN}$ [$(\text{CD}_3)_2\text{SO}$, d (ppm), J (Hz)]: $H_1 - 8,22$ (s), $H_5 - 7,48$ (s), $H_7 - 7,38$ (d, $J_0=8,15$), $H_8 - 7,60$ (d, $J_0=8,15$), $H_2', H_6' - 8,15$ (d, $J_0=7,74$), $H_3', H_5' - 8,03$ (d, $J_0=7,74$), $H_7' - 3,69$ (t, $J_0=6,6$), $H_8' - 4,02$ (t, $J_0=6,6$); $^{13}\text{C-RMN}$ [$(\text{CD}_3)_2\text{SO}$, d (ppm)] : 114,586 (C_1), 130,829 (C_2), 128,953 (C_3), 141,273 (C_4), 111,445 (C_5), 145,128 (C_6), 120,281 (C_7), 127,945 (C_8), 128,230 (C_9), 124,940 (C_{10}), 157,125 ($C_{1'}$), 123,937 ($C_{2'}$, $C_{6'}$), 126,849 ($C_{3'}$, $C_{5'}$), 139,226 ($C_{4'}$), 54,724 ($C_{7'}$), 59,190 ($C_{8'}$).

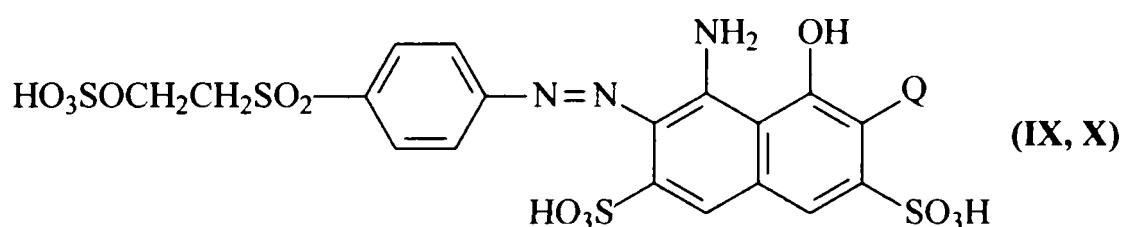
IV.4.8. OBȚINEREA SĂRII DE SODIU A ACIDULUI 2-HIDROXI-5-[4-(2-SULFOXI-ETILSULFONIL)-FENILAZO]-BENZOIC (VIII)

Peste suspensia de cuplantă obținută din: 2,9 g acid 2-hidroxi-benzoic (0,021 moli), 50 ml apă, 0,8 g hidroxid de sodiu (0,02 moli), la o temperatură de 10°C , se introduc sub agitare cca. 110 ml suspensie de sare de diazoniu a esterului monosulfuric al 2-(4-amino-benzensulfonil)etanolului în decurs de 0,5 ore, concomitent cu menținerea pH-ului la valoarea 6,8-7 prin adăugarea unei soluții apoase de carbonat de sodiu 20%. Masa de reacție se menține în agitare la o temperatură de 10°C timp de 8 ore pentru perfectarea reacției de cuplare. Suspensia apoasă de culoare grenă ce conține colorantul monoazoic reactiv (170 ml) se supune salifierii prin adaos de 28 g clorură de sodiu, menținând temperatura la $15-20^\circ\text{C}$ timp de 5 ore. Colorantul monoazoic reactiv salifiat se filtrează, iar produsul izolat se usucă în vid la 40°C . Se

obțin cca 19,3 g colorant monoazoic reactiv galben brun ce conține 8,9 g sare de sodiu a acidului 2-hidroxi-5-[4-(2-sulfoxi-etilsulfonil)-fenilazo]-benzoic corespunzător unui randament de 94%.

(8) $C_{15}H_{12}N_2Na_2O_9S_2$; $M=474,38$; p.t.: $286^{\circ}C$ (desc.); Analiza elementală [(%), (calc./găsit)]: C (37,98/37,82), H (2,55/2,36), N (5,91/5,85), S (13,52/13,89); UV [l_{max} (nm), (lg e_{max})]: 360 (4,171); IR [KBr, (cm^{-1})] 3405f.i., 2930s, 2895s, 1650i, 1615i, 1575f.i., 1475f.i., 1400m, 1372i, 1325i, 1250i, 1175f.i., 1122f.i., 1065m, 1035i, 1010s, 930s, 900s, 870s, 820m, 730m, 705m, 660i, 620i, 515i, 430s; 1H -RMN [$(CD_3)_2SO$, d (ppm), J (Hz)]: H_3 – 8,3 (s), H_5 – 7,84 (d, $J_0=8,9$), H_6 – 7,15 (t, $J_0=8,9$), OH – 5,45 (s), H_2 , H_6 – 8,09 (d, $J_0=7,6$), H_3 , H_5 – 7,91 (d, $J_0=7,6$), H_7 – 3,68 p (t, $J_0=6,65$), H_8 – 3,97 (t, $J_0=6,65$); ^{13}C -RMN [$(CD_3)_2SO$, d (ppm)]: 168,860 (C_1), 122,934 (C_2), 129,131 (C_3), 147,73 (C_4), 129,357 (C_5), 118,517 (C_6), 170,969 (COOH), 159,890 (C_1), 122,627 (C_2, C_6), 127,610 (C_3, C_5), 139,598 (C_4), 54,935 (C_7), 59,384 (C_8).

Sinteza colorantilor reactivi vinilsulfonici bisazoici de tip A



IV.4.9. OBȚINEREA SĂRII DE SODIU A ACIDULUI 4-AMINO-5-HIDROXI-3,6-BIS-[4-(2-SULFOXI-ETILSULFONIL)-FENILAZO]-NAFTALEN-2,7-DISULFONIC (IX)

Peste suspensia de sare de diazoniu a esterului monosulfuric al 2-(4-amino-benzensulfonil)-etanolului (110 ml) aflată la o temperatură de $10^{\circ}C$, se adaugă în timp de 15 minute o suspensie formată din 30 ml apă și 6,8 g sare monosodică a acidului 4-amino-5-hidroxi-naftalen-2,7-disulfonic (0,02 moli), menținându-se pentru cuplare la această temperatură timp de 2,5 ore. Peste masa de reacție conținând colorantul monoazoic roșu se adaugă o cantitate similară de sare de diazoniu a esterului monosulfuric al 2-(4-amino-benzensulfonil)-etanolului obținută în același mod (110 ml) concomitent cu menținerea pH-ului în limitele 6,5-7 prin adăugarea unei soluții apoase de carbonat de sodiu 20%. Masa de reacție de culoare neagră se menține în agitare la o temperatură de $15-20^{\circ}C$ timp de o oră pentru perfectarea reacției de bicuplare. Soluția apoasă de colorant bisazoic reactiv (280 ml) se supune salifierii prin adaos de 56 g clorură de sodiu, menținând temperatura la $15-20^{\circ}C$ timp de 4 ore. Colorantul bisazoic reactiv salifiat obținut se filtrează, iar produsul izolat se usucă în vid la $40^{\circ}C$. Se obțin cca. 47 g colorant bisazoic reactiv negru-albăstru ce conține 18,8 g sare de sodiu a acidului 4-amino-5-hidroxi-3,6-bis-[4-(2-sulfoxi-etilsulfonil)-fenilazo]-naftalen-2,7-disulfonic corespunzător unui randament de 95%.

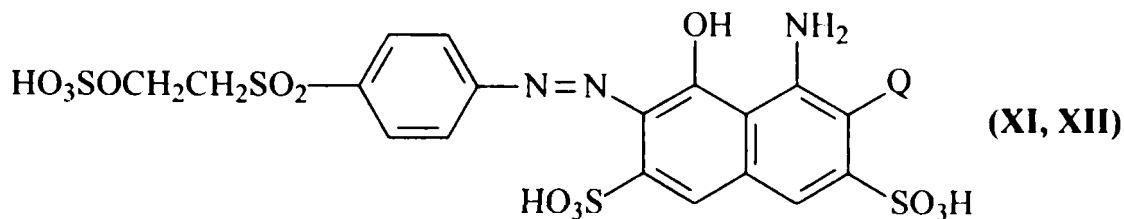
(9) $C_{26}H_{21}N_5Na_4O_{19}S_6$; $M=991,82$; p.t.: $328^{\circ}C$ (desc.); Analiza elementală [(%), (calc./găsit)]: C (31,49/31,37), H (2,13/1,98), N (7,06/6,97), S (19,40/19,68); UV [l_{max} (nm), (lg e_{max})]: 596 (4,335); IR [KBr, (cm^{-1})] 3400f.i., 2960s, 2880s, 1610f.i., 1585f.i., 1560i, 1480f.i., 1405s, 1330i, 1265i, 1210f.i., 1185f.i., 1135f.i., 1040f.i., 980f.i., 885s, 840m, 815m, 735f.i., 705s, 660s, 630f.i., 515f.i., 510f.i., 460s; 1H -RMN [$(CD_3)_2SO$, d (ppm), J (Hz)]: H_1 – 8,0 (s), H_8 – 8,09 (s), OH – 5,42 (s), H_2 , H_6 – 8,25 (d, $J_0=8,23$), H_3 , H_5 – 7,91 (d, $J_0=8,23$),

H_7 – 3,64 (t, $J_o=6,65$), H_8 – 3,97 (t, $J_o=6,65$); ^{13}C -RMN [$(CD_3)_2SO$, d (ppm)] : 117,595 (C_1), 138,125 (C_2), 132,315 (C_3), 129,541 (C_4), 138,743 (C_5), 129,228 (C_6), 137,121 (C_7), 117,270 (C_8), 137,941 (C_9), 113,890 (C_{10}), 156,234 ($C_{1'}$), 123,360 (C_2',C_6'), 128,953 (C_3',C_5'), 141,313(C_4'), 54,676 (C_7'), 59,125 (C_8').

IV.4.10. OBȚINEREA SĂRII DE SODIU A ACIDULUI 4-AMINO-5-HIDROXI-6-(4-SULFO-NAFTALEN-1-ILAZO)-3-[4-[2-SULFOXI-ETILSULFONIL)-FENILAZO]-NAFTALEN-2,7-DISULFONIC (X)

Peste suspensia de sare de diazoniu a esterului monosulfuric al 2-(4-amino-benzensulfonil)-etanolului (110 ml) aflată la o temperatură de $10^{\circ}C$, se adaugă în timp de 15 minute o suspensie formată din 30 ml apă și 6,8 g sare monosodică a acidului 4-amino-5-hidroxi-naftalen-2,7-disulfonic (0,02 moli), menținându-se pentru cuplare la această temperatură timp de 2,5 ore. Peste masa de reacție conținând colorantul monoazoic roșu se adaugă suspensia apoasă a sării de diazoniu a acidului 1-amino-naftalen-4-sulfonic obținută prin diazotarea unei suspensii formate din: 4,46 g acid 1-amino-naftalen-4-sulfonic(0,02 moli), 40 ml apă, 2,3 g carbonat de sodiu și 6,6 g soluție acid clorhidric 32% (0,054 moli), la temperatura de $25^{\circ}C$, sub agitare, prin introducerea unei soluții formate din 1,45 g azotit de sodiu (0,021 moli) în 10 ml apă, menținându-se un timp de 2 ore la $30-35^{\circ}C$ pentru terminarea reacției de diazotare, urmată de distrugerea excesului de acid azotos cu acid sulfamic. Reacția de bicuplare se realizează la temperatura de $15-20^{\circ}C$ și prin introducerea concomitentă cu sarea de diazoniu a unei soluții apoase de carbonat de sodiu 20% pentru menținerea pH-ului în limitele 6,5-7. Masa de reacție de culoare albastru închis se menține în agitare la temperatura de $15-20^{\circ}C$ timp de o oră pentru perfectarea reacției de bicuplare. Soluția apoasă de colorant bisazoic reactiv (230 ml) se supune salifierii prin adaos de 46 g clorură de sodiu menținând temperatura la $15-20^{\circ}C$ timp de 4 h. Colorantul bisazoic reactiv salifiat obținut se filtrează, iar produsul izolat se usucă în vid la $40^{\circ}C$. Se obțin cca. 47 g colorant bisazoic reactiv albastru verzui ce conține 43,5 g sare de sodiu a acidului 4-amino-5-hidroxi-6-(4-sulfo-naftalen-1-ilazo)-3-[4-[2-sulfoxi-etilsulfonil)-fenilazo]-naftalen-2,7-disulfonic, corespunzător unui randament de 93,5%.

(10) $C_{28}H_{19}N_5Na_4O_{16}S_5$; $M=933,76$; p.t.: $335^{\circ}C$ (desc.); Analiza elementală [(%), (calc./găsit)]: C (36,02/35,89), H (2,05/1,91), N (7,50/7,43), S (17,17/17,48); UV [I_{max} (nm),(lg e_{max})] : 634 (4,299); IR [KBr, cm^{-1}] 3430f.i., 2900s, 2850s, 1625i, 1600i, 1558i, 1485f.i., 1450s, 1405m, 1375s, 1360s, 1330m, 1280m, 1220i, 1185f.i., 1175f.i., 1120i, 1075s, 1040f.i., 1010m, 985s, 830s, 805s, 790s, 735i, 680m, 655m, 635m, 610m, 550s, 515s, 450s, 435s; 1H -RMN [$(CD_3)_2SO$, d (ppm), J (Hz)] : H_1 – 8,0 (s), H_8 – 8,05 (s), OH – 5,4 (s), H_2' , H_6' – 8,22 (d, $J_o=8,23$), H_3' , H_5' – 8,13 (d, $J_o=8,23$), H_7' – 3,7 (t, $J_o=6,65$), H_8' – 4,0 (t, $J_o=6,65$), H_2'' – 8,03 (d, $J_o=8,9$), H_3'' – 8,27 (d, $J_o=8,9$), H_5'' – 7,51 (d, $J_o=10,68$), H_6'' – 7,68 (t, $J_o=7,6$), H_7'' – 7,78 (t, $J_o=7,6$), H_8'' – 7,51 (d, $J_o=10,68$); ^{13}C -RMN [$(CD_3)_2SO$, d (ppm)] : 116,214 (C_1), 138,321(C_2), 133,121 (C_3), 130,114 (C_4), 139,040 (C_5), 129,309 (C_6), 137,143 (C_7), 119,431 (C_8), 137,418 (C_9), 115,343 (C_{10}), 157,518 ($C_{1'}$), 123,918 (C_2',C_6'), 127,195 (C_3',C_5'), 141,315 (C_4'), 54,916 (C_7'), 59,416 (C_8').

Sinteza coloranților reactivi vinilsulfonici bisazoici de tip B**IV.4.11. OBTINEREA SĂRII DE SODIU A ACIDULUI 4-AMINO-5-HIDROXI-6-[4-(2-SULFOXI-ETILSULFONIL)-FENILAZO]-3-(4-SULFO-FENILAZO)-NAFTALEN-2,7-DISULFONIC (XI)**

La o soluție formată din 3,5 g acid 1-amino-benzen-4-sulfonic (0,02 moli) în 20 ml apă și 1,1 g carbonat de sodiu (0,021) se adaugă sub agitare o soluție formată din 1,45 g azotit de sodiu (0,021 moli) în 15 ml apă, soluția astfel obținută se adaugă în 0,5 ore sub agitare într-un amestec format din: 20 g gheață 6,2 g soluție acid clorhidric 32% (0,054 moli) și 20 ml apă. Masa de reacție se menține la o temperatură de 10-15⁰C, timp de 0,5 ore pentru terminarea reacției de diazotare, după care excesul de acid azotos se distruge cu acid sulfamic. Peste suspensia de sare de diazoniu obținută (85 ml) răcită la o temperatură de 8-10⁰C, se adaugă sub agitare în timp de o oră o suspensie formată din 30 ml apă și 6,8 g sare monosodică a acidului 4-amino-5-hidroxi-naftalen-2,7-disulfonic (0,02 moli), menținându-se pentru cuplare la această temperatură 3 ore. Peste masa de reacție conținând colorantul monoazoic roșu se adaugă suspensia apoasă a sării de diazoniu a esterului monosulfuric al 2-(4-amino-benzensulfonil)-etanolului (110 ml), concomitent cu menținerea pH-ului în limitele 6,5-7 prin adăugarea unei soluții apoase de carbonat de sodiu 20%. Masa de reacție de culoare albastru închis se menține în agitare la o temperatură de 15-20⁰C timp de 1 oră, iar suspensia apoasă de colorant bisazoic reactiv (240 ml) se supune salifierii prin adaos de 48 g clorură de sodiu, menținând temperatura la 15-20⁰C timp de 4 ore. Colorantul bisazoic reactiv salifiat obținut se filtrează, iar produsul izolat se usucă în vid la 40⁰C. Se obțin cca.32,5 g colorant bisazoic reactiv albastru ce conține 15 g sare de sodiu a acidului 4-amino-5-hidroxi-6-[4-(2-sulfoxi-etilsulfonil)-fenilazo]-3-(4-sulfo-fenilazo)-naftalen-2,7-disulfonic corespunzător unui randament de 85%.

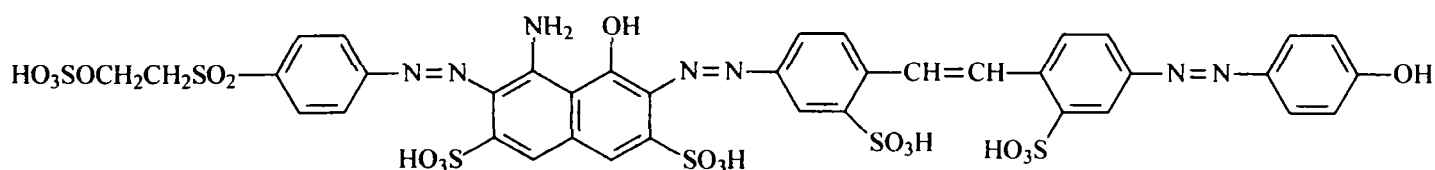
(11) C₂₄H₁₇N₅Na₄O₁₆S₅; M=883,70; p.t.: 314⁰C (desc.); Analiza elementală [(%), (calc./găsit)]: C (32,62/32,49), H (1,94/1,82), N (7,93/7,85), S (18,14/18,43); UV [λ_{max} (nm), (lg ε_{max})] : 591 (4,317); IR [KBr, (cm⁻¹)] 3410f.i., 2910s, 2850s, 1735s, 1655f.i., 1625s, 1585f.i., 1489f.i., 1380s, 1360m, 1280s, 1250m, 1215f.i., 1130f.i., 1045f.i., 990f.i., 880m, 835m, 820m, 750m, 735m, 700s, 655s, 620f.i., 560s, 530s, 450s, 435s; ¹H-RMN [(CD₃)₂SO, δ (ppm), J (Hz)]: H₁ - 7,99 (s), H₈ - 8,02 (s), OH - 5,3 (s), H₂, H₆ - 7,90 (d, J_o=8,25), H₃, H₅ - 7,72 (d, J_o=8,25), H₇ - 3,64 (t, J_o=6,65), H₈ - 3,97 (t, J_o=6,65), H₂, H₆ - 7,65 (d, J_o=8,23), H₃, H₅ - 7,85 (d, J_o=8,23); ¹³C-RMN [(CD₃)₂SO, δ (ppm)]: 116,228 (C₁), 138,345 (C₂), 132,118 (C₃), 130,128 (C₄), 138,798 (C₅), 130,131 (C₆), 137,44 (C₇), 118,919 (C₈), 137,514 (C₉), 115,518 (C₁₀), 157,328 (C₁), 123,744 (C₂, C₆), 126,818 (C₃, C₅), 141,212 (C₄), 54,219 (C₇), 59,891 (C₈).

IV.4.12. OBȚINEREA SĂRII DE SODIU A ACIDULUI 4-AMINO-5-HIDROXI-3-(4-NITRO-FENILAZO)-6-[4-(2-SULFOXI-ETILSULFONIL)-FENILAZO]-NAFTALEN-2,7-DISULFONIC (XII)

La o suspensie formată din 2,75 g 1-amino-4-nitrobenzen (0,02 moli) în 20 ml apă se adaugă sub agitare o soluție formată din 1,45 g azotit de sodiu (0,021 moli) în 15 ml apă, suspensia astfel obținută se adaugă în 0,5 ore sub agitare într-un amestec format din: 20 g gheață 6,2 g soluție acid clorhidric 32% (0,054 moli) și 20 ml apă. Masa de reacție se menține la o temperatură de 5-10°C, timp de 1,5 ore pentru terminarea reacției de diazotare, după care excesul de acid azotos se distruge cu acid sulfamic. Peste suspensia de sare de diazoniu obținută (80 ml) aflată la o temperatură de 8-10°C, se adaugă sub agitare în timp de o oră o suspensie formată din 30 ml apă și 6,8 g sare monosodică a acidului 4-amino-5-hidroxi-naftalen-2,7-disulfonic (0,02 moli), menținându-se pentru cuplare la această temperatură 2,5 ore. Peste masa de reacție conținând colorantul monoazoic roșu se adaugă suspensia apoasă a sării de diazoniu a esterului monosulfuric al 2-(4-amino-benzensulfonil)-etanolului (110 ml), concomitent cu menținerea pH-ului în limitele 6,5-7 prin adăugarea unei soluții apoase de carbonat de sodiu 20%. Masa de reacție de culoare albastru închis se menține în agitare la o temperatură de 15-20°C timp de 1 oră, iar suspensia apoasă de colorant bisazoic reactiv (240 ml) se supune salifierii prin adaos de 48 g clorură de sodiu, menținând temperatura la 15-20°C timp de 4 h. Colorantul bisazoic reactiv salifiat obținut se filtrează, iar produsul izolat se usucă în vid la 40°C. Se obțin cca.23,5 g colorant bisazoic reactiv albastru ce conține 15 g sare de sodiu a acidului 4-amino-5-hidroxi-3-(4-nitro-fenilazo)-6-[4-(2-sulfoxi-etilsulfonil)-fenilazo]-naftalen-2,7-disulfonic corespunzător unui randament de 91%.

(12) $C_{24}H_{17}N_6Na_3O_{15}S_4$; $M=826,66$; p.t.: 287°C.; Analiza elementală [(%), (calc./găsit)]: C (34,87/34,72), H (2,07/1,95), N (10,17/10,05), S (15,52/15,86); UV [I_{max} (nm), (lg e_{max})]: 605 (4,324); IR [KBr, (cm⁻¹)] 3380f.i., 2910s, 2865s, 2810s, 1615i, 1585i, 1482f.i., 1395s, 1370s, 1335i, 1280s, 1200i, 1180i, 1110f.i., 1040f.i., 995i, 880s, 830m, 720m, 660m, 630s, 615s, 560s, 550s, 520s, 480s, 450s, 415s; ¹H-RMN [(CD₃)₂SO, d (ppm), J (Hz)]: H₁ – 7,45 (s), H₈ – 7,48 (s), OH – 5,27 (s), H₂, H₆ – 7,99 (d, J_o=9,98), H₃, H₅ – 7,92 (d, J_o=9,98), H₇ – 3,64 (t, J_o=6,75), H₈ – 3,73 (t, J_o=6,75), H₂, H₆ – 8,26 (d, J_o=8,90), H₃, H₅ – 8,39 (d, J_o=8,90); ¹³C-RMN [(CD₃)₂SO, d (ppm)]: 117,644 (C₁), 136,414 (C₂), 133,325 (C₃), 129,713 (C₄), 139,121 (C₅), 129,14 (C₆), 136,345 (C₇), 118,433 (C₈), 135,818 (C₉), 115,914 (C₁₀), 156,861 (C₁'), 123,662 (C₂', C₆'), 125,054 (C₃', C₅'), 141,685 (C₄'), 55,355 (C₇'), 59,416 (C₈'), 158,413 (C₁''), 123,662 (C₂'', C₃'', C₅'', C₆''), 160,143 (C₄'').

IV.4.13. OBȚINEREA SĂRII DE SODIU A ACIDULUI 4-AMINO-5-HIDROXI-6-(4-{2-[4-(4-HIDROXI-FENILAZO)-2-SULFO-FENIL]-VINIL}-3-SULFO-FENILAZO)-3-[4-SULFOXI-ETILSULFONIL)-FENILAZO]-NAFTALEN-2,7-DISULFONIC (XIII)

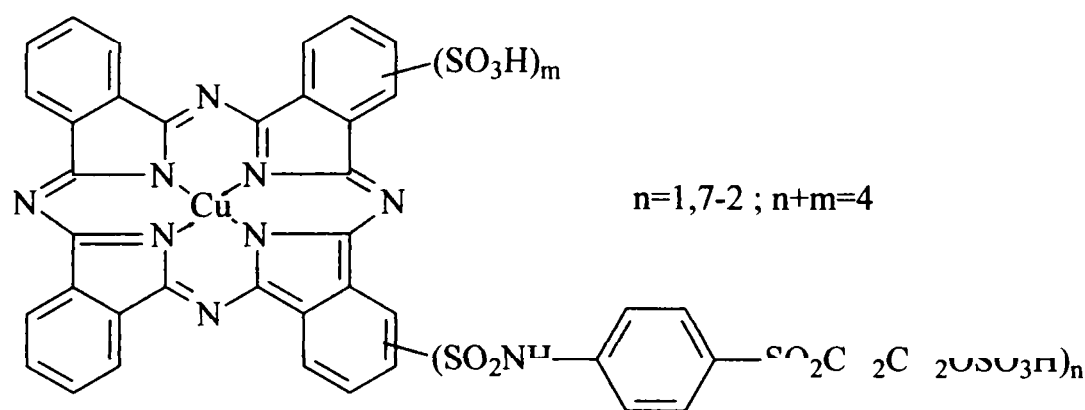


Peste suspensia de sare de diazoniu a esterului monosulfuric al 2-(4-amino-benzensulfonil)-etanolului (cca. 110 ml) aflată la o temperatură de 10°C, se adaugă în timp de

0,25 ore o suspensie formată din 30 ml apă și 6,8 g sare monosodică a acidului 4-amino-5-hidroxi-naftalen-2,7-disulfonic (0,02 moli), menținându-se pentru cuplare la această temperatură timp de 2,5 ore. La o soluție formată din 50 ml apă, 2,2 g carbonat de sodiu (0,021 moli) și 7,4 g acid 4,4'-diaminostilben-2,2'-disulfonic (0,02 moli) aflată la o temperatură de 5⁰C se adaugă 12,4 g soluție de acid clorhidric 32% (0,108 moli) și se tetrazotează cu o soluție formată din 10 ml apă și 2,8 g azotit de sodiu (0,041 moli), menținându-se pentru perfectarea reacției timp de 3 ore. Peste soluția sării de tetrazoniu se adaugă în decurs de o oră suspensia de colorant monoazoic roșu obținută anterior, menținându-se pentru cuplare la temperatura de 10-15⁰C timp de 4,5 ore, ajustând pH-ul la 4-4,5 prin adăugarea unei soluții apoase de carbonat de sodiu 20%. Sarea de diazoniu a colorantului albastru stilbenbisazoic obținut se supune cuplării prin adăugarea în timp de 0,5 ore a unei soluții obținute din 12 ml apă, 1,34 g carbonat de sodiu și 1,88 g fenol (0,02 moli), la temperatura de 15-20⁰C, menținându-se pH-ul la 6,5-7 prin adăugarea unei soluții apoase de carbonat de sodiu 20%. Perfectarea reacției de cuplare se realizează prin încălzire la 40⁰C și menținere la această temperatură timp de 4,5 h, iar suspensia apoasă de colorare verde închis ce conține colorantul trisazoic reactiv (250 ml) se supune salifierii prin adaos de 50 g clorură de sodiu cu menținere la această temperatură timp de 5 ore. Colorantul trisazoic reactiv salifiat obținut se filtrează la 20⁰C, iar produsul izolat se usucă în vid la 40⁰C. Se obțin 54 g colorant trisazoic reactiv verde ce conține 23 g sare de sodiu a acidului 4-amino-5-hidroxi-6-(4-{2-[4-(4-hidroxi-fenilazo)-2-sulfo-fenil]-vinil}-3-sulfo-fenilazo)-3-[4-sulfoxi-etilsulfonil]-fenilazo]-naftalen-2,7-disulfonic corespunzător unui randament de 95,5%.

(13) C₃₈H₂₆N₇Na₅O₂₀S₆; M=1207,99; p.t.: 308⁰C (desc.) ; Analiza elementală [(%), (calc./găsit)]: C (37,78/37,65), H (2,17/2,03), N (8,12/7,99), S (15,93/16,27); UV [I_{max} (nm), (lg e_{max})]: 401 (4,345), 642 (4,398); IR [KBr, (cm⁻¹)]: 3330i, 3270i, 3140s, 2910s, 2850s, 1670i, 1620s, 1575f.i., 1480f.i., 1450f.i., 1390f.i., 1320f.i., 1275s, 1200i, 1190i, 1155s, 1115m, 1080i, 1070i, 1035i, 990f.i., 930s, 910m, 850s, 830m, 720f.i., 655f.i., 600f.i., 535s, 520s, 475s, 435s; ¹H-RMN [(CD₃)₂SO, d (ppm)]: -CH=CH- = 6,98 (d), OH = 5,45 (s), -SO₂CH₂- = 3,73 (t), -CH₂OSO₃H = 4,09 (t), Ar-H = 7,7-8,4 (m); ¹³C-RMN [(CD₃)₂SO, d (ppm)]: 125,342 (-CH=CH-), 160,213 (C-OH), 140,125 (C-SO₃H), 116,213 (C₁), 119,314 (C₂), 123,785 (C₂, C₆), 125,833 (C₃, C₅), 55,478 (C₇), 59,253 (C₈).

IV.4.14. OBȚINEREA COLORANTULUI REACTIV VINILSULFONIC FTALOCIANINIC (XIV)

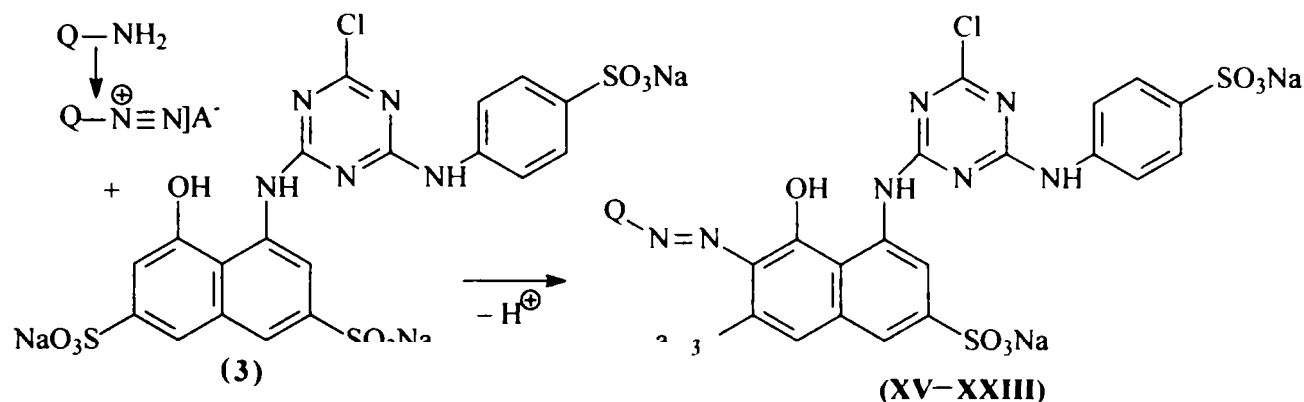


Se suspendă sub agitare în timp de 1,5 ore 14,8 g ftalocianină de cupru (0,025 moli) în 116,2 g acid clorsulfonic (0,96 moli) la o temperatură de 35-40⁰C, după care masa de reacție se încălzește la 70-75⁰C menținându-se o oră la această temperatură, apoi se continuă încălzirea în

decurs de 0,5 ore până la 135-140⁰C cu menținere 4 ore pentru perfectarea reacției de sulfoclorurare. Clorosulfomasa de culoare albastru intens (70 ml) se răcește liber la 20⁰C, după care se adaugă sub agitare energetică în timp de 15-20 minute la un amestec format din: 100 ml apă, 600 g gheață și 35 g clorură de sodiu, menținându-se temperatura la 2-5⁰C. Suspensia albastră de ftalocianină de cupru sulfoclorurată se filtrează, se spală cu un amestec de apă și gheață pentru îndepărtarea acidității excedentare și produsul se esorează corespunzător. Se obțin cca 130 g pastă de fsulfoclorură ce conține cca. 22,7 g ftalocianină de cupru trisulfoclorurată-monosulfonată corespunzător unui randament de cca 91%. La o suspensie formată din 40 ml apă, 16,3 g ester monosulfuric al 2-(4-amino-benzensulfonil)-etanolului (0,058 moli) și 7 g bicarbonat de sodiu (0,082 moli) răcită la temperatura de 5⁰C se adaugă în timp de o oră 22,7 g ftalocianină de cupru trisulfoclorurată-monosulfonată (0,023 moli), concomitent cu reglarea pH-ului la 6 prin adăugare de bicarbonat de sodiu. Masa de reacție se agită la o temperatură de 10⁰C timp de 0,5 ore, după care se adaugă 1,3 g piridină (0,064 moli) și se menține pentru perfectarea condensării la această temperatură timp de 6 ore și apoi la 40⁰C timp de 2 ore. După terminarea reacției de condensare, soluția de colorant reactiv de culoare albastru verzuie (150 ml) se supune salifierii prin adaos de 30 g clorură de sodiu, menținând temperatura la 40⁰C timp de 1 oră. Colorantul reactiv ftalocianinic salifiat obținut se izolează prin filtrare la 20⁰C, iar produsul izolat se spală pe filtru cu soluție de clorură de sodiu 15% și se usucă în vid la 40⁰C. Se obțin 50 g colorant reactiv ftalocianinic de culoare albastră-verzuie ce conține 33,7 g colorant chimic pur ca sare de sodiu, ceea ce corespunde unui randament de 97% față de ftalocianina sulfoclorurată.

(14) C₄₈H₃₀CuN₁₀Na₄O₂₂S₈; M=1510,84; p.t.: 292⁰C (desc.) ; Analiza elementală [(%), (calc./găsit)]: C (38,16/37,98), H (2,00/1,93), N (9,27/9,15), S (16,98/17,21); UV [l_{max} (nm), (lg e_{max})] :666 (3,907); IR [KBr, (cm⁻¹)] 3415i, 3360i, 3180i, 3030s, 2940s, 2880s, 1615f.i., 1580f.i., 1480f.i., 1455f.i., 1420f.i., 1385f.i., 1290f.i., 1250m, 1200f.i., 1190f.i., 1130f.i., 1065f.i., 990m, 950m, 835f.i., 825f.i., 800f.i., 750f.i., 710s, 700m, 668i, 650i, 610s, 565i, 530s, 490s, 470s, 435s; ¹H-RMN [(CD₃)₂SO, d (ppm), J (Hz)]: -SO₂NH- =6,19 (s), H₂, H₆ - 6,64 (d), H₃, H₅- 7,43 (d, J_o=8,20), -SO₂CH₂- = 3,83 (t), -CH₂OSO₃H = 4,10 (t), Ar-H (ftalocianinic)= 6,85-6,98 (m); ¹³C-RMN [(CD₃)₂SO, d (ppm)]: 118,314 (-C=N-), 142,125 (C-SO₃H), 116,255 (C₂,C₆), 128,139 (C₃,C₅), 54,313 (C₇), 58,72 (C₈).

IV.5. OBȚINEREA COLORANȚILOR MONOCLORTRIAZINICI



IV.5.1. OBȚINEREA SĂRII DE SODIU A ACIDULUI 2-{8-[4-CLOR-6-(4-SULFO-FENILAMINO)-[1,3,5]TRIAZIN-2-ILAMINO]-1-HIDROXI-3,6-DISULFO-NAFTALEN-2-ILAZO}-BENZOIC (XV)

La o suspensie formată din: 1,34 g acid 1-amino-benzen-2 carboxilic (0,0098 moli) în 20 ml apă se adaugă sub agitare 0,84 g bicarbonat de sodiu (0,01 moli) și 14 g gheață, la soluția obținută se adaugă în continuare 4 g soluție acid clorhidric 32% (0,0355 moli), apoi la temperatura de 0°C se introduce în timp de 15 minute o soluție formată din 0,7 g azotit de sodiu (0,01 moli) în 10 ml apă. Masa de reacție se menține la o temperatură de 5-10°C, timp de 0,5 ore pentru terminarea reacției de diazotare, după care se corectează pH-ul la 7 prin adăugarea unei soluții apoase de bicarbonat de sodiu 8,5% (13 ml). Peste soluția de sare de diazoniu obținută (60 ml) aflată la o temperatură de 8-10°C, se adaugă în timp de 15 minute soluția apoasă de cuplantă (152 ml) conținând cca. 6,69 g acid 4-[4-clor-6-(4-sulfo-fenilamino)-[1,3,5]triazin-2-ilamino]-5-hidroxi-naftalen-2,7-disulfonic sare trisodică (0,01 moli). Masa de reacție se menține în agitare pentru perfectarea reacției de cuplare la o temperatură de 15-20°C timp de 3,5 ore cu menținerea pH-ului la 7 prin adăugarea unei soluții apoase de bicarbonat de sodiu 8,5% (12,5 ml). Sfârșitul reacției de cuplare se determină prin controlul prezenței/absenței sării de diazoniu în aureola colorantului salifiat pe hârtie cu o soluție alcalină de acid 4-amino-5-hidroxi-naftalen-2,7-disulfonic. Suspensia apoasă de culoare roșu albastrui ce conține colorantul monoazoic reactiv (223 ml) se supune salifierii prin adaos de 30 g clorură de sodiu, menținând temperatura la 15-20°C timp de 3 ore. Colorantul monoazoic reactiv salifiat se filtrează, iar produsul izolat se usucă în vid la 40°C. Se obțin cca 12 g colorant monoazoic reactiv roșu albastrui ce conține 7,65 g sare de sodiu a acidului 2-{8-[4-clor-6-(4-sulfo-fenilamino)-[1,3,5]triazin-2-ilamino]-1-hidroxi-3,6-disulfo-naftalen-2-ilazo}-benzoic, corespunzător unui randament 93%.

(1) $C_{26}H_{14}ClN_7Na_4O_{12}S_3$; $M=840,04$; p.t.: 302 °C (desc.) ; Analiza elementală [(%), (calc./găsit)]: C (37,17/36,95), H (1,68/1,52), N (11,67/11,35), S (11,45/11,74); UV [λ_{max} (nm), (lg e_{max})] : 515 (4,090), 544 (4,120); IR [KBr, (cm⁻¹)] 3420f.i., 1605f.i., 1582f.i., 1560f.i., 1540f.i., 1522i, 1490f.i., 1475f.i., 1438f.i., 1427i, 1402f.i., 1395f.i., 1360i, 1322m, 1180f.i., 1115i, 1037f.i., 1010m, 992s, 973m, 942s, 911s, 882m, 850s, 825m, 795m, 787m, 755s, 708m, 665i, 608m, 545m, 510s, 440s, 414s; ¹H-RMN [(CD₃)₂SO, d (ppm), J (Hz)] : NH - 4,19 (s), OH - 5,20 (s), COOH - 10,46 (s), OH (chelatic) 9,17(s), H-4' - 7,18 (t, J_o=7,4), H-15,H-19 - 7,37-7,50 (m), H-3 - 7,54 (s), H-16,H-18 - 7,61 (d), H-1,H-8,H-2',H-3' - 7,8-8,17 (m), H-5' - 8,33 (d, J_o=8,15); ¹³C-RMN [(CD₃)₂SO, d (ppm)]: 115,923 (C₁), 144,233 (C₂), 107,835 (C₃), 135,721 (C₄), 137,814 (C₅), 128,515 (C₆), 137,508 (C₇), 120,125 (C₈), 135,218 (C₉), 109,833 (C₁₀), 181,416 (C₁₁), 174,015 (C₁₂), 178,518 (C₁₃), 150,511 (C₁₄), 116,418 (C₁₅),

128,218 (C₁₆), 133,785 (C₁₇), 127,315 (C₁₈), 117,334 (C₁₉), 157,345 (C_{1'}), 132,654 (C_{2'}), 133,464 (C_{3'}), 131,912 (C_{4'}), 134,145 (C_{5'}), 124,116 (C_{6'}), 170,898 (COOH).

IV.5.2. OBȚINEREA SĂRII DE SODIU A ACIDULUI 5-[4-CLOR-6-(SULFO-FENILAMINO)-[1,3,5]TRIAZIN-2-ILAMINO]-4-HIDROXI-3-(4-SULFO-NAFTALEN-1-ILAZO)-NAFTALEN-2,7-DISULFONIC (XVI)

La o suspensie formată din: 2,18 g acid 1-amino-naftalen-4- sulfonic (0,0098 moli) în 20 ml apă se adaugă sub agitare 0,84 g bicarbonat de sodiu (0,01 moli) și 14 g gheață, la soluția obținută se adaugă în continuare 3,1 g soluție acid clorhidric 32% (0,02712 moli), apoi la temperatura de 5⁰C se introduce în timp de 20 minute o soluție formată din 0,75 g azotit de sodiu (0,011 moli) în 11 ml apă. Masa de reacție se menține la o temperatură de 10-15⁰C, timp de 2 ore pentru terminarea reacției de diazotare, după care se corectează pH-ul la 7 prin adăugarea unei soluții apoase de bicarbonat de sodiu 8,5% (4,5 ml). Peste soluția de sare de diazoniu obținută (50 ml) aflată la o temperatură de 10-15⁰C, se adaugă în timp de 15 minute soluția apoasă de cuplantă (152 ml) conținând cca. 6,69 g acid 4-[4-clor-6-(4-sulfo-fenilamino)-[1,3,5]triazin-2-ilamino]-5-hidroxi-naftalen-2,7-disulfonic sare trisodică (0,01 moli). Masa de reacție se menține în agitare pentru perfectarea reacției de cuplare la o temperatură de 15-20⁰C timp de 4,5 ore cu menținerea pH-ului la 7 prin adăugarea unei soluții apoase de bicarbonat de sodiu 8,5% (13,5 ml). Soluția apoasă de culoare violetă ce conține colorantul monoazoic reactiv (215 ml) se supune salifierii prin adaos de 40 g clorură de sodiu, menținând temperatura la 15-20⁰C timp de 2 ore. Colorantul monoazoic reactiv salifiat se filtrează, iar produsul izolat se usucă în vid la 40⁰C. Se obțin cca 11 g colorant monoazoic reactiv violet ce conține 8.2 g sare de sodiu a acidului 5-[4-clor-6-(sulfo-fenilamino)-[1,3,5]triazin-2-ilamino]-4-hidroxi-3-(4-sulfo-naftalen-1-ilazo)-naftalen-2,7-disulfonic, corespunzător unui randament de 90%.

(2) C₂₉H₁₆ClN₇Na₄O₁₃S₄; M=926,15; p.t.:287⁰C (desc.) ; Analiza elementală [(%), (calc./găsit)]: C (37,61/37,42), H (1,74/1,58), N (10,59/10,35), S (13,85/13,97); UV [I_{max} (nm), (lg e_{max})] : 544 (4,257), 565 (4,223); IR [KBr, (cm⁻¹)] 3440f.i., 1602f.i., 1573m, 1535f.i., 1485f.i., 1470f.i., 1420m, 1400i, 1352i, 1315s, 1310s, 1200f.i., 1122m, 1110m, 1040f.i., 1012m, 980s, 950s, 930s, 880m, 825m, 790m, 860m, 710m, 685m, 680m, 667i, 625i, 545m, 510s, 467s, 410m; ¹H-RMN [(CD₃)₂SO, d (ppm)] : NH - 4,19 (s), OH - 5,20 (s), OH (chelatic) - 9,20 (s), H-1, H-3, H-15, H-16, H-18, H-19, H-5', H-6', H-7', H-8' - 7,50-7,88 (m), H-8 - 7,92 (s), H-16, H-18 - 7,61 (d), H-2', H-3' - 8,03-8,30 (m); ¹³C-RMN [(CD₃)₂SO, d (ppm)]: 115,813 (C₁), 143,785 (C₂), 107,903 (C₃), 137,114 (C₄), 138,219 (C₅), 129,616 (C₆), 141,110 (C₇), 120,197 (C₈), 136,423 (C₉), 112,011 (C₁₀), 181,907 (C₁₁), 174,518 (C₁₂), 179,325 (C₁₃), 153,341 (C₁₄), 115,603 (C₁₅), 127,555 (C₁₆), C₁₇=134,218 (C₁₇), 126,445 (C₁₈), 118,105 (C₁₉), 158,345 (C_{1'}), 118,546 (C_{2'}), 125,216 (C_{3'}), 143,358 (C_{4'}), C_{5'}=126,685 (C_{5'}), C_{6'}=126,517 (C_{6'}), 125,919 (C_{7'}), C_{8'}=128,455 (C_{8'}), C_{9'}=128,978 (C_{9'}), 129,301 (C_{10'}).

IV.5.3. OBȚINEREA SĂRII DE SODIU A ACIDULUI 5-[4-CLOR-6-(4-SULFO-FENILAMINO)-[1,3,5]TRIAZIN-2-ILAMINO]-4-HIDROXI-3-(4-SULFO-FENILAZO)-NAFTALEN-2,7-DISULFONIC (XVII)

La o suspensie formată din: 1,7 g acid 1-amino-benzen-4- sulfonic (0,0098 moli) în 20 ml apă se adaugă sub agitare 0,84 g bicarbonat de sodiu (0,01 moli) și 10 g gheață, la soluția obținută se adaugă în continuare 2,8 g soluție acid clorhidric 32% (0,02465 moli), apoi la temperatura de 5⁰C se introduce în timp de 15 minute o soluție formată din 0,7 g azotit de sodiu

(0,01 moli) în 10 ml apă. Masa de reacție se menține la o temperatură de 10-15⁰C, timp de 0,5 ore pentru terminarea reacției de diazotare, după care se corectează pH-ul la 7 prin adăugarea unei soluții apoase de bicarbonat de sodiu 8,5% (4 ml). Peste soluția de sare de diazoniu obținută (45 ml) aflată la o temperatură de 8-10⁰C, se adaugă în timp de 15 minute soluția apoasă de cuplantă (152 ml) conținând cca. 6,69 g acid 4-[4-clor-6-(4-sulfo-fenilamino)-[1,3,5]triazin-2-ilamino]-5-hidroxi-naftalen-2,7-disulfonic sare trisodică (0,01 moli). Masa de reacție se menține în agitare pentru perfectarea reacției de cuplare la o temperatură de 15-20⁰C timp de 5 ore cu menținerea pH-ului la 7 prin adăugarea unei soluții apoase de bicarbonat de sodiu 8,5% (11,5 ml). Suspensia apoasă de culoare roșu albastrui ce conține colorantul monoazoic reactiv (200 ml) se supune salifierii prin adaos de 40 g clorură de sodiu, menținând temperatura la 15-20⁰C timp de 3 ore. Colorantul monoazoic reactiv salifiat se filtrează, iar produsul izolat se usucă în vid la 40⁰C. Se obțin cca 11 g colorant monoazoic reactiv roșu albastrui ce conține 7,8 g sare de sodiu a acidului 5-[4-clor-6-(4-sulfo-fenilamino)-[1,3,5]triazin-2-ilamino]-4-hidroxi-3-(4-sulfo-fenilazo)-naftalen-2,7-disulfonic, corespunzător unui randament de 91%.

(3) C₂₅H₁₄ClN₇Na₄O₁₃S₄; M=876,09; p.t.:292⁰C (desc.) ; Analiza elementală [(%), (calc./găsit)]: C (34,27/34,04), H (1,61/1,47), N (11,19/11,01), S (14,64/14,87); UV [I_{max} (nm),(lg e_{max})] : 515 (4,279), 534 (4,284); IR [KBr, (cm⁻¹)] 3420f.i., 1612f.i., 1535f.i., 1480f.i., 1420m, 1408i, 1390m, 1355m, 1322m, 1303s, 1194f.i., 1118f.i., 1033f.i., 1002m, 990s, 965s, 903s, 885m, 833i, 790s, 775s, 705i, 678m, 627i, 560s, 515s, 467s, 410m; ¹H-RMN [(CD₃)₂SO, d (ppm)] : NH - 4,20 (s), OH - 5,20 (s), OH (chelatic) - 9,20 (s), H-15,H-19 - 7,43 (d), H-1,H-3,H-8,H-16,H-18 - 7,52-7,85 (m), H-2',H-3',H-5',H-6' - 8,00-8,50 (m); ¹³C-RMN [(CD₃)₂SO, d (ppm)]: 115,576 (C₁), 144,103 (C₂), 108,195 (C₃), 136,018 (C₄), 138,099 (C₅), 129,518(C₆), 136,218 (C₇), 119,878 (C₈), 134,813 (C₉), 114,510 (C₁₀), 182,319(C₁₁), 171,011 (C₁₂), 177,903 (C₁₃), 151,816 (C₁₄), 115,893 (C₁₅), 128,103 (C₁₆), 133,010 (C₁₇), 126,219 (C₁₈), 117,433 (C₁₉), 157,314 (C_{1'}), 124,010 (C_{2'}), 126,613 (C_{3'}), 145,733 (C_{4'}), 126,675 (C_{5'}), 124,911 (C_{6'}).

IV.5.4. OBTINEREA SĂRII DE SODIU A ACIDULUI 5-[4-CLOR-6-(4-SULFO-FENILAMINO)-[1,3,5]TRIAZIN-2-ILAMINO]-4-HIDROXI-3-(1-SULFO-NAFTALEN-2-ILAZO)-NAFTALEN-2,7-DISULFONIC (XVIII)

La o suspensie formată din: 2,18 g acid 2-amino-naftalen-1- sulfonic (0,0098 moli) în 20 ml apă se adaugă sub agitare 0,84 g bicarbonat de sodiu (0,01 moli) și 10 g gheață, la soluția obținută se adaugă în continuare 2,74 g soluție acid clorhidric 32% (0,024 moli), apoi la temperatura de 5⁰C se introduce în timp de 15 minute o soluție formată din 0,7 g azotit de sodiu (0,01 moli) în 10 ml apă. Masa de reacție se menține la o temperatură de 15-18⁰C, timp de 0,5 ore pentru terminarea reacției de diazotare, după care se corectează pH-ul la 7 prin adăugarea unei soluții apoase de bicarbonat de sodiu 8,5% (5 ml). Peste soluția de sare de diazoniu obținută (45 ml) aflată la o temperatură de 8-10⁰C, se adaugă în timp de 15 minute soluția apoasă de cuplantă (152 ml) conținând cca. 6,69 g acid 4-[4-clor-6-(4-sulfo-fenilamino)-[1,3,5]triazin-2-ilamino]-5-hidroxi-naftalen-2,7-disulfonic sare trisodică (0,01 moli). Masa de reacție se menține în agitare pentru perfectarea reacției de cuplare la o temperatură de 15-20⁰C timp de 5 ore cu menținerea pH-ului la 7 prin adăugarea unei soluții apoase de bicarbonat de sodiu 8,5% (7 ml). Soluția apoasă de culoare grenă închis ce conține colorantul monoazoic reactiv (207 ml) se supune salifierii prin adaos de 40 g clorură de sodiu, menținând temperatura la 15-20⁰C timp de 4 ore. Colorantul monoazoic reactiv salifiat se filtrează, iar produsul izolat se usucă în vid la 40⁰C. Se obțin cca 12 g colorant monoazoic reactiv roșu albastrui ce conține

7.7 g sare de sodiu a acidului 5-[4-clor-6-(4-sulfo-fenilamino)-[1,3,5]triazin-2-ilamino]-4-hidroxi-3-(1-sulfo-naftalen-2-ilazo)-naftalen-2,7-disulfonic, corespunzător unui randament de 85%.

(4) $C_{29}H_{16}ClN_7Na_4O_{13}S_4$; $M=926,15$; p.t.: $305^{\circ}C$ (desc.) ; Analiza elementală [(%), (calc./găsit)]: C (37,61/37,36), H (1,74/1,52), N (10,59/10,42), S (13,85/14,05); UV [λ_{max} (nm),(lg e_{max})] : 522 (4,253), 547 (4,270); IR [KBr, (cm^{-1})] 3405f.i., 1615f.i., 1590s, 1572s, 1535f.i., 1482m, 1455i, 1450i, 1420m, 1395f.i., 1352i, 1327m, 1315m, 1287s, 1195f.i., 1120i, 1035f.i., 1005m, 985s, 970m, 935s, 905s, 897s, 825m, 785m, 710m, 662i, 620m, 605i, 560s, 505s, 457s, 432s; 1H -RMN [(CD_3) $_2$ SO, δ (ppm), J (Hz)] : NH - 4,20 (s), OH - 5,20 (s), OH (chelatic) - 9,15 (s), H-1,H-3,H-8,H-15,H-19,H-5',H-6',H-7',H-8' - 7,40-7,70 (m), H-16,H-18 - 7,87 (d, $J_o=7,8$), H-4' - 7,94 (d, $J_o=9,33$), H-3' - 8,73 (d, $J_o=9,2$); ^{13}C -RMN [(CD_3) $_2$ SO, δ (ppm)]: 115,646 (C_1), 144,035 (C_2), 108,323 (C_3), 135,816 (C_4), 138,311 (C_5), 128,835 (C_6), 137,614 (C_7), 119,533 (C_8), 135,829 (C_9), 114,515 (C_{10}), 182,103 (C_{11}), 171,215 (C_{12}), 178,303 (C_{13}), 150,911 (C_{14}), 116,309 (C_{15}), 128,108 (C_{16}), 133,516 (C_{17}), 127,109 (C_{18}), 116,903 (C_{19}), 135,312 ($C_{1'}$), 148,987 ($C_{2'}$), 118,543 ($C_{3'}$), 131,437 ($C_{4'}$), 128,657 ($C_{5'}$), 126,078 ($C_{6'}$), 126,569 ($C_{7'}$), 126,654 ($C_{8'}$), 129,346 ($C_{9'}$), 136,399 ($C_{10'}$).

IV.5.5. OBTINEREA SĂRII DE SODIU A ACIDULUI 5-{8-[4-CLOR-6-(4-SULFO-FENILAMINO)-[1,3,5]TRIAZIN-2-ILAMINO]-1-HIDROXI-3,6-DISULFO-NAFTALEN-2-ILAZO}-IZOFTALIC (XIX)

La o suspensie formată din: 1,77 g acid 5-amino-izoftalic (0,0098 moli) în 20 ml apă se adaugă sub agitare 1,68 g bicarbonat de sodiu (0,02 moli) și 14 g gheață, la soluția obținută se adaugă în continuare 4 g soluție acid clorhidric 32% (0,0355 moli), apoi la temperatura de $5^{\circ}C$ se introduce în timp de 15 minute o soluție formată din 0,77 g azotit de sodiu (0,011 moli) în 11 ml apă. Masa de reacție se menține la o temperatură de $10-15^{\circ}C$, timp de 0,5 ore pentru terminarea reacției de diazotare, după care se corectează pH-ul la 7 prin adăugarea unei soluții apoase de bicarbonat de sodiu 8,5% (13 ml). Peste soluția de sare de diazoniu obținută (64 ml) aflată la o temperatură de $8-10^{\circ}C$, se adaugă în timp de 15 minute soluția apoasă de cuplantă (152 ml) conținând cca. 6,69 g acid 4-[4-clor-6-(4-sulfo-fenilamino)-[1,3,5]triazin-2-ilamino]-5-hidroxi-naftalen-2,7-disulfonic sare trisodică (0,01 moli). Masa de reacție se menține în agitare pentru perfectarea reacției de cuplare la o temperatură de $15-20^{\circ}C$ timp de 5 ore cu menținerea pH-ului la 7 prin adăugarea unei soluții apoase de bicarbonat de sodiu 8,5% (12,5 ml). Soluția apoasă de culoare roșu intens ce conține colorantul monoazoic reactiv (225 ml) se supune salifierii prin adaos de 60 g clorură de sodiu, menținând temperatura la $15-20^{\circ}C$ timp de 4 ore. Colorantul monoazoic reactiv salifiat se filtrează, iar produsul izolat se usucă în vid la $40^{\circ}C$. Se obțin cca 14 g colorant monoazoic reactiv roșu albăstrui ce conține 7,8 g sare de sodiu a acidului 5-{8-[4-clor-6-(4-sulfo-fenilamino)-[1,3,5]triazin-2-ilamino]-1-hidroxi-3,6-disulfo-naftalen-2-ilazo}-izoftalic, corespunzător unui randament de 88%.

(5) $C_{27}H_{13}ClN_7Na_5O_{14}S_3$; $M=906,03$; p.t.: $272^{\circ}C$ (desc.) ; Analiza elementală [(%), (calc./găsit)]: C (35,79/35,54), H (1,45/1,31), N (10,82/10,68), S (10,62/10,77); UV [λ_{max} (nm),(lg e_{max})] : 512 (4,091), 536 (4,101); IR [KBr, (cm^{-1})] 3450f.i., 1605f.i., 1535f.i., 1505f.i., 1487f.i., 1465i, 1435m, 1405i, 1370s, 1355i, 1327m, 1285s, 1200f.i., 1172f.i., 1114i, 1025f.i., 1000s, 957s, 892s, 830s, 815s, 775m, 762s, 733s, 700m, 663m, 650m, 623m, 600s, 560s, 525s, 465s; 1H -RMN [(CD_3) $_2$ SO, δ (ppm)] : NH - 4,20 (s), OH - 5,20 (s), OH (chelatic) - 9,15 (s), COOH - 10,62 (s), H-3 - 7,52 (s), H-1,H-8,H-15,H-16,H-18,H-19 - 7,59-7,77 (m), H-2',H-4',H-6' - 8,28-8,34 (m); ^{13}C -RMN [(CD_3) $_2$ SO, δ (ppm)]: 115,909 (C_1), 144,305 (C_2),

108,035 (C₃), 134,714 (C₄), 137,903 (C₅), 130,513 (C₆), 136,080 (C₇), 119,918 (C₈), 134,606 (C₉), 114,710 (C₁₀), 182,214 (C₁₁), 172,013 (C₁₂), 177,813 (C₁₃), 151,303 (C₁₄), 116,414 (C₁₅), 127,514 (C₁₆), 133,177 (C₁₇), 126,508 (C₁₈), 117,144 (C₁₉), 156,911 (C_{1'}), 132,145 (C_{2'}), 140,767 (C_{3'}), 140,010 (C_{4'}), 140,898 (C_{5'}), 132,34 (C_{6'}), 170,802 (COOH).

IV.5.6. OBȚINEREA SĂRII DE SODIU A ACIDULUI 5-{8-[4-CLOR-6-(4-SULFO-FENILAMINO)-[1,3,5]TRIAZIN-2-ILAMINO]-1-HIDROXI-3,6-DISULFO-NAFTALEN-2-ILAZO}-2-HIDROXI-BENZOIC (XX)

La o suspensie formată din: 1,5 g acid 5-amino-2-hidroxi-benzoic (0,0098 moli) în 20 ml apă se adaugă sub agitare 0,82 g bicarbonat de sodiu (0,01 moli) și 14 g gheață, la soluția obținută se adaugă în continuare 4 g soluție acid clorhidric 32% (0,0355 moli), apoi la temperatura de 5⁰C se introduce în timp de 10 minute o soluție formată din 0,77 g azotit de sodiu (0,011 moli) în 11 ml apă. Masa de reacție se menține la o temperatură de 10-15⁰C, timp de 0,5 ore pentru terminarea reacției de diazotare, după care se corectează pH-ul la 7 prin adăugarea unei soluții apoase de bicarbonat de sodiu 8,5% (13 ml). Peste soluția de sare de diazoniu obținută (60 ml) aflată la o temperatură de 8-10⁰C, se adaugă în timp de 15 minute soluția apoasă de cuplantă (152 ml) conținând cca. 6,69 g acid 4-[4-clor-6-(4-sulfo-fenilamino)-[1,3,5]triazin-2-ilamino]-5-hidroxi-naftalen-2,7-disulfonic sare trisodică (0,01 moli). Masa de reacție se menține în agitare pentru perfectarea reacției de cuplare la o temperatură de 15-20⁰C timp de 5 ore cu menținerea pH-ului la 7 prin adăugarea unei soluții apoase de bicarbonat de sodiu 8,5% (12,5 ml). Soluția apoasă de culoare violet roșcat ce conține colorantul monoazoic reactiv (222 ml) se supune salifierii prin adaos de 60 g clorură de sodiu, menținând temperatura la 15-20⁰C timp de 4 ore. Colorantul monoazoic reactiv salifiat se filtrează, iar produsul izolat se usucă în vid la 40⁰C. Se obțin cca 15,5 g colorant monoazoic reactiv violet roșcat ce conține 8 g sare de sodiu a acidului 5-{8-[4-clor-6-(4-sulfo-fenilamino)-[1,3,5]triazin-2-ilamino]-1-hidroxi-3,6-disulfo-naftalen-2-ilazo}-2-hidroxi-benzoic, corespunzător unui randament de 95,5%.

(6) C₂₆H₁₄ClN₇Na₄O₁₃S₃; M=856,04; p.t.:283⁰C (desc.) ; Analiza elementală [(%), (calc./găsit)]: C (36,48/36,32), H (1,65/1,59), N (11,45/11,23), S (11,24/11,43); UV [I_{max} (nm),(lg e_{max})] : 532 (4,060), 561 (4,071); IR [KBr, (cm⁻¹)] 3440f.i., 1603f.i., 1580f.i., 1540f.i., 1515f.i., 1487f.i., 1472f.i., 1435m, 1400i, 1382i, 1358f.i., 1285i, 1185f.i., 1120f.i., 1035f.i., 1005s, 910s, 885s, 822m, 783m, 705s, 668i, 635m, 600s, 555s, 514s, 460s, 420m; ¹H-RMN [(CD₃)₂SO, d (ppm), J (Hz)] : NH - 4,20 (s), OH - 5,20 (s), OH (chelatic) - 9,12 (s), COOH - 10,56 (s), H-15,H-19 - 6,84 (d), H-3 - 7,47 (s), H-1,H-16,H-18 - 7,52-7,80 (m), H-5' - 7,89 (d, J_o=8,85), H-8,H-6' - 7,90-8,15 (m), H-2' - 8,70 (s); ¹³C-RMN [(CD₃)₂SO, d (ppm)]: 115,244 (C₁), 144,419 (C₂), 108,211 (C₃), 135,987 (C₄), 138,285 (C₅), 129,703 (C₆), 136,411 (C₇), 119,968 (C₈), 134,618 (C₉), 114,529 (C₁₀), 184,011 (C₁₁), 171,913 (C₁₂), 178,018 (C₁₃), 151,286 (C₁₄), 115,743 (C₁₅), 127,119 (C₁₆), 134,010 (C₁₇), 126,177 (C₁₈), 117,086 (C₁₉), 147,345 (C_{1'}), 128,154 (C_{2'}), 125,764 (C_{3'}), 164,121 (C_{4'}), 116,245 (C_{5'}), 128,716 (C_{6'}), 173,231 (COOH).

IV.5.7. OBȚINEREA SĂRII DE SODIU A ACIDULUI 3-{8-[4-CLOR-6-(4-SULFO-FENILAMINO)-[1,3,5]TRIAZIN-2-ILAMINO]-1-HIDROXI-3,6-DISULFO-NAFTALEN-2-ILAZO}-BENZOIC (XXI)

La o suspensie formată din: 1,34 g acid 3-amino-benzoic (0,0098 moli) în 20 ml apă se adaugă sub agitare 0,82 g bicarbonat de sodiu (0,01 moli) și 14 g gheață, la soluția obținută se

adaugă în continuare 4 g soluție acid clorhidric 32% (0,0355 moli), apoi la temperatura de 5°C se introduce în timp de 15 minute o soluție formată din 0,77 g azotit de sodiu (0,011 moli) în 11 ml apă. Masa de reacție se menține la o temperatură de 10-15°C, timp de 0,5 ore pentru terminarea reacției de diazotare, după care se corectează pH-ul la 7 prin adăugarea unei soluții apoase de bicarbonat de sodiu 8,5% (13 ml). Peste soluția de sare de diazoniu obținută (64 ml) aflată la o temperatură de 8-10°C, se adaugă în timp de 15 minute soluția apoasă de cuplantă (152 ml) conținând cca. 6,69 g acid 4-[4-clor-6-(4-sulfo-fenilamino)-[1,3,5]triazin-2-ilamino]-5-hidroxi-naftalen-2,7-disulfonic sare trisodică (0,01 moli). Masa de reacție se menține în agitare pentru perfectarea reacției de cuplare la o temperatură de 15-20°C timp de 5 ore cu menținerea pH-ului la 7 prin adăugarea unei soluții apoase de bicarbonat de sodiu 8,5% (12,5 ml). Soluția apoasă de culoare roșu intens ce conține colorantul monoazoic reactiv (225 ml) se supune salifierii prin adaos de 50 g clorură de sodiu, menținând temperatura la 15-20°C timp de 3 ore. Colorantul monoazoic reactiv salifiat se filtrează, iar produsul izolat se usucă în vid la 40°C. Se obțin cca 17 g colorant monoazoic reactiv roșu albastrui ce conține 7,7 g sare de sodiu a acidului 3-{8-[4-clor-6-(4-sulfo-fenilamino)-[1,3,5]triazin-2-ilamino]-1-hidroxi-3,6-disulfo-naftalen-2-ilazo}-benzoic, corespunzător unui randament de 94%.

(7) $C_{26}H_{14}ClN_7Na_4O_{12}S_3$; $M=840,04$; p.t.:277 °C (desc.) ; Analiza elementală [(%), (calc./găsit)]: C (37,17/36,89), H (1,68/1,45), N (11,67/11,35), S (11,45/11,48); UV [I_{max} (nm), (lg e_{max})] : 509 (4,037), 537 (4,049); IR [KBr, (cm⁻¹)] 3425f.i., 1605f.i., 1590f.i., 1575f.i., 1554i, 1533f.i., 1488f.i., 1465m, 1420s, 1383f.i., 1359f.i., 1325s, 1297s, 1263s, 1190f.i., 1123m, 1110m, 1100i, 1033f.i., 1000m, 965s, 930s, 885s, 863s, 820m, 785m, 760m, 700i, 665m, 610m, 560s, 515s, 470s, 415m; ¹H-RMN [(CD₃)₂SO, d (ppm)] : NH - 4,20 (s), OH - 5,20 (s), OH (chelatic) - 9,18 (s), COOH - 10,58 (s), H-3,H-15,H-19 - 7,40-7,55 (m), H-5',H-16,H-18 - 7,55-7,85 (m), H-1,H-8 - 7,90-8,10 (m), H-4',H-6' - 8,20-8,50 (m), H-2' - 8,80 (s); ¹³C-RMN [(CD₃)₂SO, d (ppm)]: 115,090 (C₁), 144,179 (C₂), 108,003 (C₃), 136,107 (C₄), 138,175 (C₅), 130,010 (C₆), 136,299 (C₇), 118,710 (C₈), 134,226 (C₉), 115,177 (C₁₀), 182,313 (C₁₁), 171,677 (C₁₂), 177,687 (C₁₃), 152,019 (C₁₄), 115,916 (C₁₅), 127,613 (C₁₆), 133,797 (C₁₇), 126,443 (C₁₈), 117,818 (C₁₉), 154,701 (C_{1'}), 127,399 (C_{2'}), 138,523 (C_{3'}), 135,301 (C_{4'}), 131,645 (C_{5'}), 127,319 (C_{6'}), 172,112 (COOH).

IV.5.8. OBȚINEREA SĂRII DE SODIU A ACIDULUI 4-{8-[4-CLOR-6-(4-SULFO-FENILAMINO)-[1,3,5]TRIAZIN-2-ILAMINO]-1-HIDROXI-3,6-DISULFO-NAFTALEN-2-ILAZO}-BENZOIC (XXII)

La o suspensie formată din: 1,34 g acid 4-amino-benzoic (0,0098 moli) în 20 ml apă se adaugă sub agitare 0,82 g bicarbonat de sodiu (0,01 moli) și 14 g gheață, la soluția obținută se adaugă în continuare 4 g soluție acid clorhidric 32% (0,0355 moli), apoi la temperatura de 5°C se introduce în timp de 15 minute o soluție formată din 0,77 g azotit de sodiu (0,011 moli) în 11 ml apă. Masa de reacție se menține la o temperatură de 10-15°C, timp de 0,5 ore pentru terminarea reacției de diazotare, după care se corectează pH-ul la 7 prin adăugarea unei soluții apoase de bicarbonat de sodiu 8,5% (13 ml). Peste soluția de sare de diazoniu obținută (64 ml) aflată la o temperatură de 8-10°C, se adaugă în timp de 15 minute soluția apoasă de cuplantă (152 ml) conținând cca. 6,69 g acid 4-[4-clor-6-(4-sulfo-fenilamino)-[1,3,5]triazin-2-ilamino]-5-hidroxi-naftalen-2,7-disulfonic sare trisodică (0,01 moli). Masa de reacție se menține în agitare pentru perfectarea reacției de cuplare la o temperatură de 15-20°C timp de 5 ore cu menținerea pH-ului la 7 prin adăugarea unei soluții apoase de bicarbonat de sodiu 8,5% (12,5 ml). Soluția apoasă de culoare roșu intens ce conține colorantul monoazoic reactiv (225 ml) se supune salifierii prin adaos de 60 g clorură de sodiu, menținând temperatura la 15-20°C timp de 4 ore. Colorantul

monoazoic reactiv salifiat se filtrează, iar produsul izolat se usucă în vid la 40°C. Se obțin cca 12 g colorant monoazoic reactiv roșu albastrui ce conține 7 g sare de sodiu a acidului 4-{8-[4-clor-6-(4-sulfo-fenilamino)-[1,3,5]triazin-2-ilamino]-1-hidroxi-3,6-disulfo-naftalen-2-ilazo}-benzoic, corespunzător unui randament de 85%.

(8) $C_{26}H_{14}ClN_7Na_4O_{12}S_3$; $M=840,04$; p.t.:285 °C (desc.) ; Analiza elementală [(%), (calc./găsit)]: C (37,17/37,02), H (1,68/1,49), N (11,67/11,48), S (11,45/11,51); UV [I_{max} (nm),(lg e_{max})] : 518 (4,045), 541 (4,047); IR [KBr, (cm⁻¹)] 3435f.i., 3395f.i., 1600f.i., 1575f.i., 1560f.i., 1537f.i., 1475f.i., 1465m, 1385i, 1370f.i., 1358i, 1320s, 1195f.i., 1150m, 1120m, 1105s, 1032f.i., 1003m, 980s, 965s, 897s, 825m, 780m, 762m, 705i, 665f.i., 622m, 605m, 540s, 505s, 455s, 410s; ¹H-RMN [(CD₃)₂SO, d (ppm), J (Hz)] : NH - 4,20 (s), OH - 5,20 (s), OH (chelatic) - 9,20 (s), COOH - 10,58 (s), H-3 - 7,49 (s), H-1,H-8,H-15,H-16,H-18,H-19 - 7,57-7,69 (m), H-1',H-6' - 7,82 (d, $J_o=8,32$), H-3',H-5' - 7,98 (d, $J_o=8,00$); ¹³C-RMN [(CD₃)₂SO, d (ppm)]: 115,519 (C₁), 143,898 (C₂), 108,025 (C₃), 135,185 (C₄), 138,144 (C₅), 130,473 (C₆), 136,010 (C₇), 119,223 (C₈), 134,090 (C₉), 115,696 (C₁₀), 182,144 (C₁₁), 170,331 (C₁₂), 176,098 (C₁₃), 152,586 (C₁₄), 115,783 (C₁₅), 126,813 (C₁₆), 133,418 (C₁₇), 126,267 (C₁₈), 116,916 (C₁₉), 157,101 (C_{1'}), 124,932 (C_{2'}), 133,485 (C_{3'}), 140,416 (C_{4'}), 133,433 (C_{5'}), 124,878 (C_{6'}), 172,345 (COOH).

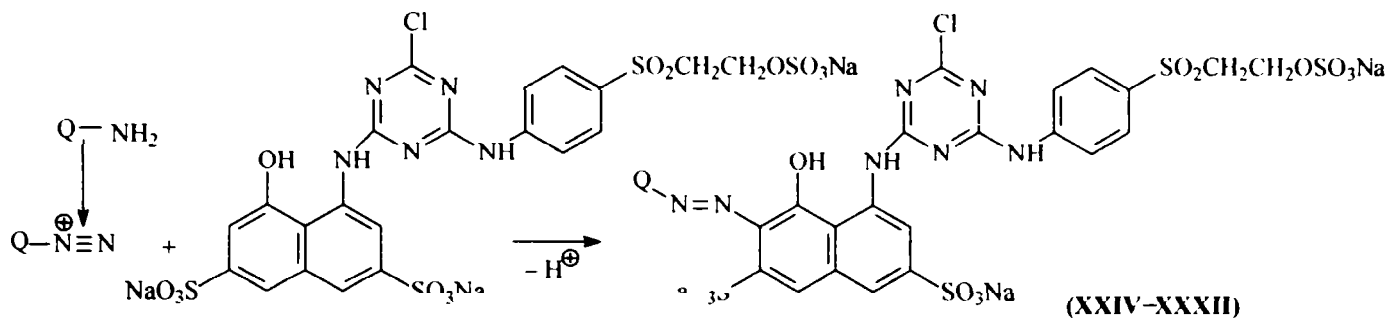
IV.5.9. OBȚINEREA SĂRII DE SODIU A ACIDULUI 5-[4-CLOR-6-(4-SULFO-FENILAMINO)-[1,3,5]TRIAZIN-2-ILAMINO]-3-(2,5-DISULFO-FENILAZO)-4-HIDROXI-NAFTALEN-2,7-DISULFONIC (XXIII)

La o suspensie formată din: 2,48 g acid 1-amino-benzen-2,5-disulfonic (0,0098 moli) în 20 ml apă se adaugă sub agitare 0,82 g bicarbonat de sodiu (0,01 moli) și 14 g gheață, la soluția obținută se adaugă în continuare 4 g soluție acid clorhidric 32% (0,0355 moli), apoi la temperatura de 5°C se introduce în timp de 15 minute o soluție formată din 0,77 g azotit de sodiu (0,011 moli) în 11 ml apă. Masa de reacție se menține la o temperatură de 10-15°C, timp de 0,5 ore pentru terminarea reacției de diazotare, după care se corectează pH-ul la 7 prin adăugarea unei soluții apoase de bicarbonat de sodiu 8,5% (13 ml). Peste soluția de sare de diazoniu obținută (64 ml) aflată la o temperatură de 8-10°C, se adaugă în timp de 15 minute soluția apoasă de cuplantă (152 ml) conținând cca. 6,69 g acid 4-[4-clor-6-(4-sulfo-fenilamino)-[1,3,5]triazin-2-ilamino]-5-hidroxi-naftalen-2,7-disulfonic sare trisodică (0,01 moli). Masa de reacție se menține în agitare pentru perfectarea reacției de cuplare la o temperatură de 15-20°C timp de 5 ore cu menținerea pH-ului la 7 prin adăugarea unei soluții apoase de bicarbonat de sodiu 8,5% (12,5 ml). Soluția apoasă de culoare roșu intens ce conține colorantul monoazoic reactiv (225 ml) se supune salifierii prin adaos de 60 g clorură de sodiu, menținând temperatura la 15-20°C timp de 4 ore. Colorantul monoazoic reactiv salifiat se filtrează, iar produsul izolat se usucă în vid la 40°C. Se obțin cca 14,5 g colorant monoazoic reactiv roșu albastrui ce conține 8,9 g sare de sodiu a acidului 5-[4-clor-6-(4-sulfo-fenilamino)-[1,3,5]triazin-2-ilamino]-3-(2,5-disulfo-fenilazo)-4-hidroxi-naftalen-2,7-disulfonic, corespunzător unui randament de 92,5%.

(9) $C_{25}H_{13}ClN_7Na_5O_{16}S_5$; $M=978,14$; p.t.:275 °C (desc.) ; Analiza elementală [(%), (calc./găsit)]: C (30,70/30,56), H (1,43/1,27), N (10,02/9,89), S (16,39/16,45); UV [I_{max} (nm),(lg e_{max})] : 515 (4,178), 528 (4,178); IR [KBr, (cm⁻¹)] 3420f.i., 1605f.i., 1568f.i., 1542f.i., 1468f.i., 1415m, 1405m, 1375m, 1360i, 1310m, 1185f.i., 1110m, 1032f.i., 1005s, 995m, 960m, 912s, 880s, 820i, 775i, 710i, 660f.i., 605i, 560s, 515s, 495s, 440s, 415s; ¹H-RMN [(CD₃)₂SO, d (ppm)] : NH - 4,20 (s), OH - 5,20 (s), OH (chelatic) - 9,20 (s), H-15,H-19 - 7,44 (d, $J_o=7,30$), H-3 - 7,53 (s), H-1,H-8,H-16,H-18,H-3',H-4' - 7,53-8,00 (m), H-6' - 8,51 (s); ¹³C-

RMN [(CD₃)₂SO, d (ppm)]: 115,413 (C₁), 143,927 (C₂), 108,216 (C₃), 135,076 (C₄), 138,013 (C₅), 130,313 (C₆), 136,177 (C₇), 120,080 (C₈), 133,908 (C₉), 115,787 (C₁₀), 180,123 (C₁₁), 170,033 (C₁₂), 178,141 (C₁₃), 152,133 (C₁₄), 115,835 (C₁₅), 126,787 (C₁₆), 133,809 (C₁₇), 126,303 (C₁₈), 116,211 (C₁₉), 151,655 (C_{1'}), 141,529 (C_{2'}), 127,909 (C_{3'}), 129,805 (C_{4'}), 149,603 (C_{5'}), 121,854 (C_{6'}).

IV.6. OBȚINEREA COLORANȚILOR REACTIVI HETEROFUNCȚIONALI



IV.6.1. OBȚINEREA SĂRII DE SODIU A ACIDULUI 2-(8-{4-CLOR-6-[4-(2-SULFOXI-ETILSULFONIL)-FENILAMINO]-[1,3,5]TRIAZIN-2-ILAMINO}-1-HIDROXI-3,6-DISULFO-NAFTALEN-2-ILAZO)-BENZOIC (XXIV)

La o suspensie formată din: 1,34 g acid 1-amino-benzen-2 carboxilic (0,0098 moli) în 20 ml apă se adaugă sub agitare 0,84 g bicarbonat de sodiu (0,01 moli) și 14 g gheață, la soluția obținută se adaugă în continuare 4 g soluție acid clorhidric 32% (0,0355 moli), apoi la temperatura de 0°C se introduce în timp de 15 minute o soluție formată din 0,7 g azotit de sodiu (0,01 moli) în 10 ml apă. Masa de reacție se menține la o temperatură de 5-10°C, timp de 0,5 ore pentru terminarea reacției de diazotare, după care se corectează pH-ul la 7 prin adăugarea unei soluții apoase de bicarbonat de sodiu 8,5% (13 ml). Peste soluția de sare de diazoniu obținută (60 ml) aflată la o temperatură de 8-10°C, se adaugă în timp de 15 minute soluția apoasă de cuplantă (158 ml) conținând cca. 7,78 g acid 4-{4-clor-6-[4-(2-sulfoxi-etilsulfonil)-fenilamino]-[1,3,5]triazin-2-ilamino}-5-hidroxi-naftalen-2,7-disulfonic sare trisodică (0,01 moli). Masa de reacție se menține în agitare pentru perfectarea reacției de cuplare la o temperatură de 15-20°C timp de 3,5 ore cu menținerea pH-ului la 7 prin adăugarea unei soluții apoase de bicarbonat de sodiu 8,5% (12,5 ml). Suspensia apoasă de culoare roșu albastrui ce conține colorantul monoazoic reactiv (223 ml) se supune salifierii prin adaos de 60 g clorură de sodiu, menținând temperatura la 15-20°C timp de 3 ore. Colorantul monoazoic reactiv salifiat se filtrează, iar produsul izolat se usucă în vid la 40°C. Se obțin cca 15 g colorant monoazoic reactiv roșu albastrui ce conține 8,5 g sare de sodiu a acidului 2-(8{4-clor-6-[4-(2-sulfoxi-etilsulfonil)-fenilamino]-[1,3,5]triazin-2-ilamino}-1-hidroxi-3,6-disulfo-naftalen-2-ilazo)-benzoic, corespunzător unui randament de 92%.

(1) $C_{28}H_{18}ClN_7Na_4O_{15}S_4$; $M=948,16$; p.t.:285 °C (desc.) ; Analiza elementală [(%), (calc./găsit)]: C (35,47/35,37), H (1,91/1,78), N (10,34/10,21), S (13,53/13,63); UV [I_{max} (nm),(lg e_{max})] : 515 (4,273), 538 (4,025); IR [KBr, (cm⁻¹)] 3410i, 1710s, 1605f.i., 1575f.i., 1550f.i., 1532f.i., 1475f.i., 1455i, 1430i, 1395f.i., 1382f.i., 1310i, 1220f.i., 1133f.i., 1080s, 1035f.i., 978m, 872s, 825s, 785s, 748m, 737m, 721m, 685s, 655i, 614i, 550m, 518i, 450m; ¹H-RMN [(CD₃)₂SO, d (ppm), J (Hz)] : NH - 4,19 (s), COOH - 10,46 (s), OH - 9,12 (s), H-20 - 3,73 (t), H-21 - 3,97 (t), H-3' - 8,44 (d, J_o=7,9), H-3 - 7,30 (s), H-15,H-16,H-18,H-19,H-4',H-5' - 7,40-7,90 (m), H-1,H-8,H-6' - 7,90-8,30 (m); ¹³C-RMN [(CD₃)₂SO, d (ppm)]: 116,018 (C₁), 108,102 (C₃), 118,902 (C₈), 177,515 (C₁₁), 170,214 (C₁₂), 183,409 (C₁₃), 117,011 (C₁₅), 127,34 (C₁₆), 127,412 (C₁₈), 117,34 (C₁₉), 54,212 (C₂₀), 59,819 (C₂₁), 157,101 (C_{1'}), 133,418 (C_{3'}), 133,011 (C_{4'}), 133,507 (C_{5'}), 125,411 (C_{6'}), 172,144 (COOH).

IV.6.2. OBȚINEREA SĂRII DE SODIU A ACIDULUI 5-{4-CLOR-6-[4-(2-SULFOXI-ETILSULFONIL)-FENILAMINO]-[1,3,5]TRIAZIN-2-ILAMINO}-4-HIDROXI-3-(4-SULFO-NAFTALEN-1-ILAZO)-NAFTALEN-2,7-DISULFONIC(XXV)

La o suspensie formată din: 2,18 g acid 1-amino-naftalen-4- sulfonic (0,0098 moli) în 20 ml apă se adaugă sub agitare 0,84 g bicarbonat de sodiu (0,01 moli) și 14 g gheață, la soluția obținută se adaugă în continuare 3,1 g soluție acid clorhidric 32% (0,02712 moli), apoi la temperatura de 5°C se introduce în timp de 15 minute o soluție formată din 0,75 g azotit de sodiu (0,011 moli) în 11 ml apă. Masa de reacție se menține la o temperatură de 10-15°C, timp de 2 ore pentru terminarea reacției de diazotare, după care se corectează pH-ul la 7 prin adăugarea unei soluții apoase de bicarbonat de sodiu 8,5% (4,5 ml). Peste soluția de sare de diazoniu obținută (50 ml) aflată la o temperatură de 10-15°C, se adaugă în timp de 15 minute soluția apoasă de cuplantă (158 ml) conținând cca. 7,78 g acid 4-{4-clor-6-[4-(2-sulfoxi-etilsulfonil)-fenilamino]-[1,3,5]triazin-2-ilamino}-5-hidroxi-naftalen-2,7-disulfonic sare trisodică (0,01 moli). Masa de reacție se menține în agitare pentru perfectarea reacției de cuplare la o temperatură de 15-20°C timp de 4,5 ore cu menținerea pH-ului la 7 prin adăugarea unei soluții apoase de bicarbonat de sodiu 8,5% (13,5 ml). Soluția apoasă de culoare violetă ce conține colorantul monoazoic reactiv (215 ml) se supune salifierii prin adaos de 60 g clorură de sodiu, menținând temperatura la 15-20°C timp de 3 ore. Colorantul monoazoic reactiv salifiat se filtrează, iar produsul izolat se usucă în vid la 40°C. Se obțin cca 17 g colorant monoazoic reactiv violet ce conține 9,2 g sare de sodiu a acidului 5-{4-clor-6-[4-(2-sulfoxi-etilsulfonil)-fenilamino]-[1,3,5]triazin-2-ilamino}-4-hidroxi-3-(4-sulfo-naftalen-1-ilazo)-naftalen-2,7-disulfonic, corespunzător unui randament de 91%

(2) C₃₁H₂₀ClN₇Na₄O₁₆S₅; M=1034,27; p.t.: 278 °C (desc.) ; Analiza elementală [(%), (calc./găsit)]: C (36,00/35,87), H (1,95/1,83), N (9,48/9,29), S (15,50/15,67); UV [I_{max} (nm), (lg e_{max})] : 543 (4,076); IR [KBr, (cm⁻¹)] 3420f.i., 1610f.i., 1575f.i., 1530f.i., 1478f.i., 1420m, 1392i, 1375i, 1318i, 1220f.i., 1190f.i., 1133f.i., 1040f.i., 1010m, 985m, 935s, 885s, 875s, 838s, 787s, 758m, 740m, 678i, 650i, 625i, 580m, 568m, 540i, 521i, 470m, 430m; ¹H-RMN [(CD₃)₂SO, δ (ppm), J (Hz)] : NH - 4,19 (s), OH - 9,18 (s), H-20 - 3,78 (t), H-21 - 3,93 (t), H-2' - 8,44 (d, J_o=8,25), H-3' - 8,32 (d, J_o=8,25), H-1, H-8 - 7,90-8,30 (m); H-3 - 7,22 (s), H-15, H-16, H-18, H-19, H-5', H-6', H-7', H-8' - 7,50-7,90 (m); ¹³C-RMN [(CD₃)₂SO, δ (ppm)]: 115,902 (C₁), 107,675 (C₃), 118,343 (C₈), 177,143 (C₁₁), 169,619 (C₁₂), 181,344 (C₁₃), 116,104 (C₁₅), 127,819 (C₁₆), 127,925 (C₁₈), 116,303 (C₁₉), 52,831 (C₂₀), 58,312 (C₂₁), 155,343 (C_{1'}), 118,519 (C_{2'}), 125,20 (C_{3'}), 126,675 (C_{5'}), 126,813 (C_{6'}), 126,135 (C_{7'}), 128,716 (C_{8'}).

IV.6.3. OBȚINEREA SĂRII DE SODIU A ACIDULUI 5-{4-CLOR-6-[4-(2-SULFOXI-ETILSULFONIL)-FENILAMINO]-[1,3,5]TRIAZIN-2-ILAMINO}-4-HIDROXI-3-(4-SULFO-FENILAZO)-NAFTALEN-2,7-DISULFONIC(XXVI)

La o suspensie formată din: 1,7 g acid 1-amino-benzen-4- sulfonic (0,0098 moli) în 20 ml apă se adaugă sub agitare 0,84 g bicarbonat de sodiu (0,01 moli) și 10 g gheață, la soluția obținută se adaugă în continuare 2,8 g soluție acid clorhidric 32% (0,02465 moli), apoi la temperatura de 5°C se introduce în timp de 15 minute o soluție formată din 0,7 g azotit de sodiu (0,01 moli) în 10 ml apă. Masa de reacție se menține la o temperatură de 10-15°C, timp de 0,5 ore pentru terminarea reacției de diazotare, după care se corectează pH-ul la 7 prin adăugarea unei soluții apoase de bicarbonat de sodiu 8,5% (4 ml). Peste soluția de sare de diazoniu

obținută (45 ml) aflată la o temperatură de 8-10⁰C, se adaugă în timp de 15 minute soluția apoasă de cuplantă (158 ml) conținând cca. 7,78 g acid 4-{4-clor-6-[4-(2-sulfoxi-etilsulfonil)-fenilamino]-[1,3,5]triazin-2-ilamino}-5-hidroxi-naftalen-2,7-disulfonic sare trisodică (0,01 moli). Masa de reacție se menține în agitare pentru perfectarea reacției de cuplare la o temperatură de 15-20⁰C timp de 5 ore cu menținerea pH-ului la 7 prin adăugarea unei soluții apoase de bicarbonat de sodiu 8,5% (11,5 ml). Suspensia apoasă de culoare roșu albastrui ce conține colorantul monoazoic reactiv (200 ml) se supune salifierii prin adaos de 50 g clorură de sodiu, menținând temperatura la 15-20⁰C timp de 4 ore. Colorantul monoazoic reactiv salifiat se filtrează, iar produsul izolat se usucă în vid la 40⁰C. Se obțin cca 18 g colorant monoazoic reactiv roșu albastrui ce conține 8,6 g sare de sodiu a acidului 5-{4-clor-6-[4-(2-sulfoxi-etilsulfonil)-fenilamino]-[1,3,5]triazin-2-ilamino}-4-hidroxi-3-(4-sulfo-fenilazo)-naftalen-2,7-disulfonic, corespunzător unui randament de 89%.

(3) C₂₇H₁₈ClN₇Na₄O₁₆S₅; M=984,21; p.t.: 240⁰C (desc.) ; Analiza elementală [(%) (calc./găsit)]: C (32,95/32,79), H (1,84/1,72), N (9,96/9,77), S (16,29/16,36); UV [I_{max} (nm),(lg e_{max})] :524 (4,065); IR [KBr, (cm⁻¹)] : 3440i, 1621f.i., 1570i, 1550i, 1535i, 1475f.i., 1410m, 1390f.i., 1350i, 1338s, 1310s, 1285s, 1190f.i., 1140f.i., 1112f.i., 1035f.i., 1000m, 910s, 880m, 832i, 750i, 714i, 661i, 630f.i., 568f.i., 526i, 455i, 405i; ¹H-RMN [(CD₃)₂SO, d (ppm)] : NH - 4,20 (s), OH - 9,20 (s), H-20 - 3,78 (t), H-21 - 3,91 (t), H-3 - 7,22 (s), H-15,H-19,H-16,H-18 - 7,40-7,90 (m), H-1,H-8,H-2',H-3',H-5',H-6' - 7,90-8,30 (m); ¹³C-RMN [(CD₃)₂SO, d (ppm)]: 115,795 (C₁), 107,314 (C₃), 117,499 (C₈), 176,543 (C₁₁), 170,298 (C₁₂), 182,522 (C₁₃), 115,434 (C₁₅), 127,308 (C₁₆), 127,543 (C₁₈), 115,919 (C₁₉), 53,878 (C₂₀), 57,412 (C₂₁), 156,408 (C₁'), 124,070 (C₂'), 126,618 (C₃'), 126,909 (C₅'), 124,145 (C₆').

IV.6.4. OBȚINEREA SĂRII DE SODIU A ACIDULUI 5-{4-CLOR-6-[4-(2-SULFOXI-ETILSULFONIL)-FENILAMINO]-[1,3,5]TRIAZIN-2-ILAMINO}-4-HIDROXI-3-(1-SULFO-NAFTALEN-2-ILAZO)-NAFTALEN-2,7-DISULFONIC (XXVII)

La o suspensie formată din: 2,18 g acid 2-amino-naftalen-1- sulfonic (0,0098 moli) în 20 ml apă se adaugă sub agitare 0,84 g bicarbonat de sodiu (0,01 moli) și 10 g gheață, la soluția obținută se adaugă în continuare 2,74 g soluție acid clorhidric 32% (0,024 moli), apoi la temperatura de 5⁰C se introduce în timp de 15 minute o soluție formată din 0,7 g azotit de sodiu (0,01 moli) în 10 ml apă. Masa de reacție se menține la o temperatură de 15-18⁰C, timp de 0,5 ore pentru terminarea reacției de diazotare, după care se corectează pH-ul la 7 prin adăugarea unei soluții apoase de bicarbonat de sodiu 8,5% (5 ml). Peste soluția de sare de diazoniu obținută (45 ml) aflată la o temperatură de 8-10⁰C, se adaugă în timp de 15 minute soluția apoasă de cuplantă (158 ml) conținând cca. 7,78 g acid 4-{4-clor-6-[4-(2-sulfoxi-etilsulfonil)-fenilamino]-[1,3,5]triazin-2-ilamino}-5-hidroxi-naftalen-2,7-disulfonic sare trisodică (0,01 moli). Masa de reacție se menține în agitare pentru perfectarea reacției de cuplare la o temperatură de 15-20⁰C timp de 5 ore cu menținerea pH-ului la 7 prin adăugarea unei soluții apoase de bicarbonat de sodiu 8,5% (7 ml). Soluția apoasă de culoare grenă închis ce conține colorantul monoazoic reactiv (210 ml) se supune salifierii prin adaos de 60 g clorură de sodiu, menținând temperatura la 15-20⁰C timp de 4 ore. Colorantul monoazoic reactiv salifiat se filtrează, iar produsul izolat se usucă în vid la 40⁰C. Se obțin cca 15,5 g colorant monoazoic reactiv roșu albastrui ce conține 8,7 g sare de sodiu a acidului 5-{4-clor-6-[4-(2-sulfoxi-etilsulfonil)-fenilamino]-[1,3,5]triazin-2-ilamino}-4-hidroxi-3-(1-sulfo-naftalen-2-ilazo)-naftalen-2,7-disulfonic, corespunzător unui randament de 86%.

(4) $C_{31}H_{20}ClN_7Na_4O_{16}S_5$; $M=1034,27$; p.t.: $225^{\circ}C$ (desc.) ; Analiza elementală [(%), (calc./găsit)]: C (36,00/35,91), H (1,95/1,79), N (9,48/9,18), S (15,50/15,63); UV [λ_{max} (nm), (lg ϵ_{max})] : 521(4,112), 547 (3,969); IR [KBr, (cm^{-1})]: 3420i, 3040i, 1615f.i., 1558f.i., 1542f.i., 1480i, 1461f.i., 1405f.i., 1350i, 1315s, 1220f.i., 1192f.i., 1140f.i., 1049f.i., 980i, 880s, 816m, 800i, 770i, 736i, 662i, 610f.i., 570i, 550i, 508i, 420m; 1H -RMN [(CD_3) $_2$ SO, δ (ppm), J (Hz)] : NH - 4,20 (s), OH - 9,05 (s), H-20 - 3,80 (t), H-21 - 3,97 (t), H-1, H-8, H-15, H-16, H-18, H-19, H-5', H-8' - 7,40-8,10 (m), H-3 - 7,28 (s), H-6', H-7' - 7,28 (t, $J_0=8,20$), H-4' - 8,39 (d, $J_0=9,19$), H-3' - 8,46 (d, $J_0=9,19$); ^{13}C -RMN [(CD_3) $_2$ SO, δ (ppm)]: 115,606 (C_1), 107,443 (C_3), 118,605 (C_8), 176,901 (C_{11}), 170,646 (C_{12}), 182,103 (C_{13}), 116,303 (C_{15}), 127,434 (C_{16}), 127,598 (C_{18}), 116,519 (C_{19}), 52,978 (C_{20}), 58,121 (C_{21}), 149,123 ($C_{1'}$), 118,504 ($C_{3'}$), 131,404 ($C_{4'}$), 128,409 ($C_{5'}$), 126,123 ($C_{6'}$), 126,541 ($C_{7'}$), 126,603 ($C_{8'}$).

IV.6.5. OBTINEREA SĂRII DE SODIU A ACIDULUI 5-(8-{4-CLOR-6-[4-(2-SULFOXI-ETILSULFONIL)-FENILAMINO]-[1,3,5]TRIAZIN-2-ILAMINO}-1-HIDROXI-3,6-DISULFO-NAFTALEN-2-ILAZO}-IZOFTALIC (XXVIII)

La o suspensie formată din: 1,77 g acid 5-amino-izoftalic (0,0098 moli) în 20 ml apă se adaugă sub agitare 1,68 g bicarbonat de sodiu (0,02 moli) și 14 g gheață, la soluția obținută se adaugă în continuare 4 g soluție acid clorhidric 32% (0,0355 moli), apoi la temperatura de $5^{\circ}C$ se introduce în timp de 15 minute o soluție formată din 0,77 g azotit de sodiu (0,011 moli) în 11 ml apă. Masa de reacție se menține la o temperatură de $10-15^{\circ}C$, timp de 0,5 ore pentru terminarea reacției de diazotare, după care se corectează pH-ul la 7 prin adăugarea unei soluții apoase de bicarbonat de sodiu 8,5% (13 ml). Peste soluția de sare de diazoniu obținută (64 ml) aflată la o temperatură de $10-15^{\circ}C$, se adaugă în timp de 15 minute soluția apoasă de cuplantă (158 ml) conținând cca. 7,78 g acid 4-{4-clor-6-[4-(2-sulfoxi-etilsulfonil)-fenilamino]-[1,3,5]triazin-2-ilamino}-5-hidroxi-naftalen-2,7-disulfonic sare trisodică (0,01 moli). Masa de reacție se menține în agitare pentru perfectarea reacției de cuplare la o temperatură de $15-20^{\circ}C$ timp de 5 ore cu menținerea pH-ului la 7 prin adăugarea unei soluții apoase de bicarbonat de sodiu 8,5% (12,5 ml). Soluția apoasă de culoare roșu intens ce conține colorantul monoazoic reactiv (225 ml) se supune salifierii prin adaos de 60 g clorură de sodiu, menținând temperatura la $15-20^{\circ}C$ timp de 5 ore. Colorantul monoazoic reactiv salifiat se filtrează, iar produsul izolat se usucă în vid la $40^{\circ}C$. Se obțin cca 16,2 g colorant monoazoic reactiv roșu albăstrui ce conține 8,4 g sare de sodiu a acidului 5-(8-{4-clor-6-[4-(2-sulfoxi-etilsulfonil)-fenilamino]-[1,3,5]triazin-2-ilamino]-1-hidroxi-3,6-disulfo-naftalen-2-ilazo}-izoftalic, corespunzător unui randament de 85%.

(5) $C_{29}H_{17}ClN_7Na_5O_{17}S_4$; $M=1014,15$; p.t.: $187^{\circ}C$ (desc.) ; Analiza elementală [(%), (calc./găsit)]: C (34,35/34,16), H (1,69/1,48), N (9,67/9,55), S (12,65/12,78); UV [λ_{max} (nm), (lg ϵ_{max})] : 515 (4,140); IR [KBr, (cm^{-1})]: 3440f.i., 3080s, 1700f.i., 1610f.i., 1580f.i., 1562f.i., 1535f.i., 1489f.i., 1423i, 1400f.i., 1383f.i., 1345f.i., 1310f.i., 1235f.i., 1190f.i., 1162f.i., 1133f.i., 1040f.i., 985m, 957m, 908s, 883s, 815s, 758i, 735i, 668i, 655i, 618i, 590m, 568m, 522i, 478m, 460m, 430m; 1H -RMN [(CD_3) $_2$ SO, δ (ppm)] : NH - 4,20 (s), OH - 9,22 (s), COOH - 10,42(s), H-20 - 3,85 (t), H-21 - 3,98 (t), H-3 - 7,24 (s), H-1 - 7,92 (s), H-8 - 8,15 (s), H-15, H-16, H-18, H-19 - 7,40-7,90 (m), H-2', H-4', H-6' - 8,10-8,60 (m); ^{13}C -RMN [(CD_3) $_2$ SO, δ (ppm)]: 116,403 (C_1), 108,202 (C_3), 119,011 (C_8), 177,023 (C_{11}), 170,309 (C_{12}), 182,043 (C_{13}), 116,507 (C_{15}), 127,533 (C_{16}), 127,791 (C_{18}), 116,677 (C_{19}), 54,309 (C_{20}), 59,608 (C_{21}), 157,841 ($C_{1'}$), 132,123 ($C_{2'}$), 140,313 ($C_{4'}$), 132,404 ($C_{6'}$), 171,612 (COOH).

IV.6.6. OBȚINEREA SĂRII DE SODIU A ACIDULUI 5-(8-{4-CLOR-6-[4-(2-SULFOXI-ETILSULFONIL)-FENILAMINO]-[1,3,5]TRIAZIN-2-ILAMINO}-1-HIDROXI-3,6-DISULFO-NAFTALEN-2-ILAZO)-2-HIDROXI-BENZOIC (XXIX)

La o suspensie formată din: 1,5 g acid 5-amino-2-hidroxi-benzoic (0,0098 moli) în 20 ml apă se adaugă sub agitare 0,82 g bicarbonat de sodiu (0,01 moli) și 14 g gheață, la soluția obținută se adaugă în continuare 4 g soluție acid clorhidric 32% (0,0355 moli), apoi la temperatura de 5⁰C se introduce în timp de 10 minute o soluție formată din 0,77 g azotit de sodiu (0,011 moli) în 11 ml apă. Masa de reacție se menține la o temperatură de 10-15⁰C, timp de 0,5 ore pentru terminarea reacției de diazotare, după care se corectează pH-ul la 7 prin adăugarea unei soluții apoase de bicarbonat de sodiu 8,5% (13 ml). Peste soluția de sare de diazoniu obținută (60 ml) aflată la o temperatură de 8-10⁰C, se adaugă în timp de 15 minute soluția apoasă de cuplantă (158 ml) conținând cca. 7,78 g acid 4-{4-clor-6-[4-(2-sulfoxi-etilsulfonil)-fenilamino]-[1,3,5]triazin-2-ilamino}-5-hidroxi-naftalen-2,7-disulfonic sare trisodică (0,01 moli). Masa de reacție se menține în agitare pentru perfectarea reacției de cuplare la o temperatură de 15-20⁰C timp de 5 ore cu menținerea pH-ului la 7 prin adăugarea unei soluții apoase de bicarbonat de sodiu 8,5% (12,5 ml). Soluția apoasă de culoare violet roșcat ce conține colorantul monoazoic reactiv (226 ml) se supune salifierii prin adaos de 70 g clorură de sodiu, menținând temperatura la 15-20⁰C timp de 5 ore. Colorantul monoazoic reactiv salifiat se filtrează, iar produsul izolat se usucă în vid la 40⁰C. Se obțin cca 17,5 g colorant monoazoic reactiv violet roșcat ce conține 8,7 g sare de sodiu a acidului 5-(8-{4-clor-6-[4-(2-sulfoxi-etilsulfonil)-fenilamino]-[1,3,5]triazin-2-ilamino}-1-hidroxi-3,6-disulfo-naftalen-2-ilazo)-2-hidroxi-benzoic, corespunzător unui randament de 92%.

(6) C₂₈H₁₈ClN₇Na₄O₁₆S₄; M=964,16; p.t.: 235 °C (desc.) ; Analiza elementală [(%), (calc./găsit)]: C (34,88/34,69), H (1,88/1,74), N (10,17/10,03), S (13,30/13,53); UV [I_{max} (nm),(lg e_{max})] :536 (4,107), 561 (4,063); IR [KBr, (cm⁻¹)]: 3435f.i., 3040s, 1715i, 1600f.i., 1575f.i., 1563f.i., 1535f.i., 1480f.i., 1400f.i., 1375f.i., 1328m, 1283m, 1215f.i., 1195f.i., 1140f.i., 1040f.i., 987i, 885m, 830m, 795i, 738i, 663f.i., 630i, 600i, 575i, 550m, 522m, 450m, 425m; ¹H-RMN [(CD₃)₂SO, d (ppm)] : NH - 4,20 (s), OH - 9,12 (s), COOH - 10,37 (s), H-20 - 3,82 (t), H-21 - 3,97 (t), H-3 - 7,25 (s), H-15,H-16,H-18,H-19 - 7,40-7,90 (m), H-1,H-8 - 7,90-8,40 (m), H-6' - 8,85 (s), H-2' - 8,95 (s); ¹³C-RMN [(CD₃)₂SO, d (ppm)]: 116,311 (C₁), 108,344 (C₃), 119,445 (C₈), 177,245 (C₁₁), 170,433 (C₁₂), 182,858 (C₁₃), 117,245 (C₁₅), 126,549 (C₁₆), 126,803 (C₁₈), 117,513 (C₁₉), 53,447 (C₂₀), 58,125 (C₂₁), 147,313 (C₁'), 128,709 (C₂'), 164,185 (C₄'), 118,212 (C₅'), 128,714 (C₆'), 172,342 (COOH).

IV.6.7. OBȚINEREA SĂRII DE SODIU A ACIDULUI 3-(8-{4-CLOR-6-[4-(2-SULFOXI-ETILSULFONIL)-FENILAMINO]-[1,3,5]TRIAZIN-2-ILAMINO}-1-HIDROXI-3,6-DISULFO-NAFTALEN-2-ILAZO)-BENZOIC(XXX)

La o suspensie formată din: 1,34 g acid 3-amino-benzoic (0,0098 moli) în 20 ml apă se adaugă sub agitare 0,82 g bicarbonat de sodiu (0,01 moli) și 14 g gheață, la soluția obținută se adaugă în continuare 4 g soluție acid clorhidric 32% (0,0355 moli), apoi la temperatura de 5⁰C se introduce în timp de 15 minute o soluție formată din 0,77 g azotit de sodiu (0,011 moli) în 11 ml apă. Masa de reacție se menține la o temperatură de 10-15⁰C, timp de 0,5 ore pentru terminarea reacției de diazotare, după care se corectează pH-ul la 7 prin adăugarea unei soluții apoase de

bicarbonat de sodiu 8,5% (13 ml). Peste soluția de sare de diazoniu obținută (64 ml) aflată la o temperatură de 8-10⁰C, se adaugă în timp de 15 minute soluția apoasă de cuplantă (158 ml) conținând cca. 7,78 g acid 4-{4-clor-6-[4-(2-sulfoxi-etilsulfonil)-fenilamino]-[1,3,5]triazin-2-ilamino}-5-hidroxi-naftalen-2,7-disulfonic sare trisodică (0,01 moli). Masa de reacție se menține în agitare pentru perfectarea reacției de cuplare la o temperatură de 15-20⁰C timp de 5 ore cu menținerea pH-ului la 7 prin adăugarea unei soluții apoase de bicarbonat de sodiu 8,5% (12,5 ml). Soluția apoasă de culoare roșu intens ce conține colorantul monoazoic reactiv (229 ml) se supune salifierii prin adaos de 60 g clorură de sodiu, menținând temperatura la 15-20⁰C timp de 5 ore. Colorantul monoazoic reactiv salifiat se filtrează, iar produsul izolat se usucă în vid la 40⁰C. Se obțin cca 17,6 g colorant monoazoic reactiv roșu albăstrui ce conține 8,4 g sare de sodiu a acidului 3-(8-{4-clor-6-[4-(2-sulfoxi-etilsulfonil)-fenilamino]-[1,3,5]triazin-2-ilamino}-1-hidroxi-3,6-disulfo-naftalen-2-ilazo)-benzoic, corespunzător unui randament de 91%.

(7) C₂₈H₁₈ClN₇Na₄O₁₅S₄; M=948,16; p.t.: 264 ⁰C (desc.) ; Analiza elementală [(%), (calc./găsit)]: C (35,47/35,31), H (1,91/1,76), N (10,34/10,24), S (13,53/13,65); UV [I_{max} (nm),(lg e_{max})] :516 (4,106); IR [KBr. (cm⁻¹): 3420f.i., 1688f.i., 1600f.i.,1578f.i., 1565f.i., 1529f.i., 1512i, 1480f.i., 1385f.i., 1315s, 1220f.i., 1190f.i., 1165f.i., 1135f.i., 1035f.i., 978i, 878m, 825m, 792m, 745i, 730i, 665f.i., 610f.i., 580m, 560m, 510i, 462m; ¹H-RMN [(CD₃)₂SO, d (ppm)] : NH - 4,20 (s), OH - 9,18 (s), COOH-10,38(s), H-20-3,80(t), H-21 - 3,98 (t), H-3 - 7,27 (s), H-1,H-8 - 7,90-8,20 (m), H-5',H-15,H-16,H-18,H-19 - 7,40-7,90 (m), H-6' - 8,23 (d), H-4' - 8,35 (d), H-2' - 8,98 (s); ¹³C-RMN [(CD₃)₂SO, d (ppm)]: 116,314 (C₁), 108,242 (C₃), 119,044 (C₈), 177,343 (C₁₁), 170,435 (C₁₂), 180,898 (C₁₃), 115,789 (C₁₅), 127,349 (C₁₆), 127,575 (C₁₈), 115,903 (C₁₉), 52,844 (C₂₀), 58,735 (C₂₁), 155,498 (C₁), 127,751 (C₂), 135,348 (C₄), 131,090 (C₅), 127,891 (C₆), 172,312 (COOH).

IV.6.8. OBȚINEREA SĂRII DE SODIU A ACIDULUI 4-(8-{4-CLOR-6-[4-(2-SULFOXI-ETILSULFONIL)-FENILAMINO]-[1,3,5]TRIAZIN-2-ILAMINO}-1-HIDROXI-3,6-DISULFO-NAFTALEN-2-ILAZO)-BENZOIC(XXXI)

La o suspensie formată din: 1,34 g acid 4-amino-benzoic (0,0098 moli) în 20 ml apă se adaugă sub agitare 0,82 g bicarbonat de sodiu (0,01 moli) și 14 g gheață, la soluția obținută se adaugă în continuare 4 g soluție acid clorhidric 32% (0,0355 moli), apoi la temperatura de 5⁰C se introduce în timp de 15 minute o soluție formată din 0,77 g azotit de sodiu (0,011 moli) în 11 ml apă. Masa de reacție se menține la o temperatură de 10-15⁰C, timp de 0,5 ore pentru terminarea reacției de diazotare, după care se corectează pH-ul la 7 prin adăugarea unei soluții apoase de bicarbonat de sodiu 8,5% (13 ml). Peste soluția de sare de diazoniu obținută (64 ml) aflată la o temperatură de 8-10⁰C, se adaugă în timp de 15 minute soluția apoasă de cuplantă (158 ml) conținând cca. 7,78 g acid 4-{4-clor-6-[4-(2-sulfoxi-etilsulfonil)-fenilamino]-[1,3,5]triazin-2-ilamino}-5-hidroxi-naftalen-2,7-disulfonic sare trisodică (0,01 moli). Masa de reacție se menține în agitare pentru perfectarea reacției de cuplare la o temperatură de 15-20⁰C timp de 5 ore cu menținerea pH-ului la 7 prin adăugarea unei soluții apoase de bicarbonat de sodiu 8,5% (12,5 ml). Soluția apoasă de culoare roșu intens ce conține colorantul monoazoic reactiv (229 ml) se supune salifierii prin adaos de 70 g clorură de sodiu, menținând temperatura la 15-20⁰C timp de 4 ore. Colorantul monoazoic reactiv salifiat se filtrează, iar produsul izolat se usucă în vid la 40⁰C. Se obțin cca 17,5 g colorant monoazoic reactiv roșu albăstrui ce conține 8 g sare de sodiu a acidului 4-(8-{4-clor-6-[4-(2-sulfoxi-etilsulfonil)-fenilamino]-[1,3,5]triazin-2-ilamino}-1-hidroxi-3,6-disulfo-naftalen-2-ilazo)-benzoic, corespunzător unui randament de 86%.

(8) $C_{28}H_{18}ClN_7Na_4O_{15}S_4$; $M=948,16$; p.t.: $215^{\circ}C$ (desc.) ; Analiza elementală [(%), (calc./găsit)]: C (35,47/35,29), H (1,91/1,72), N (10,34/10,12), S (13,53/13,75); UV [I_{max} (nm), (lg e_{max})] : 522 (4,028); IR [KBr, (cm^{-1})]: 3425f.i., 1675f.i., 1600f.i., 1547f.i., 1468f.i., 1388f.i., 1315m, 1215f.i., 1190f.i., 1131f.i., 1100m, 1032f.i., 975i, 882s, 831m, 789s, 755i, 723i, 657i, 618i, 579m, 548s, 516m, 438s; 1H -RMN [$(CD_3)_2SO$, d (ppm)] : NH - 4,20 (s), OH - 8,97 (s), COOH - 10,40 (s), H-20 - 3,82 (t), H-21 - 3,98(t), H-3 - 7,25 (s), H-1 - 7,95 (s), H-8 - 8,02 (s), H-15,H-16,H-18,H-19 - 7,40-7,90 (m), H-2',H-3',H-5',H-6' - 8,00-8,50 (m); ^{13}C -RMN [$(CD_3)_2SO$, d (ppm)]: 116,299 (C_1), 108,345 (C_3), 119,343 (C_8), 177,549 (C_{11}), 170,505 (C_{12}), 180,347 (C_{13}), 116,242 (C_{15}), 127,545 (C_{16}), 127,831 (C_{18}), 116,575 (C_{19}), 53,144 (C_{20}), 58,789 (C_{21}), 157,303 ($C_{1'}$), 124,789 ($C_{2'}$), 133,425 ($C_{3'}$), 133,897 ($C_{5'}$), 124,903 ($C_{6'}$), 172,845 (COOH).

IV.6.9. OBȚINEREA SĂRII DE SODIU A ACIDULUI 5-{4-CLOR-6-[4-(2-SULFOXI-ETILSULFONIL)-FENILAMINO]-[1,3,5]TRIAZIN-2-ILAMINO}-3-(2,5-DISULFO-FENILAZO)-4-HIDROXI-NAFTALEN-2,7-DISULFONIC (XXXII)

La o suspensie formată din: 2,48 g acid 1-amino-benzen-2,5-disulfonic (0,0098 moli) în 20 ml apă se adaugă sub agitare 0,82 g bicarbonat de sodiu (0,01 moli) și 14 g gheață, la soluția obținută se adaugă în continuare 4 g soluție acid clorhidric 32% (0,0355 moli), apoi la temperatura de $5^{\circ}C$ se introduce în timp de 15 minute o soluție formată din 0,77 g azotit de sodiu (0,011 moli) în 11 ml apă. Masa de reacție se menține la o temperatură de $10-15^{\circ}C$, timp de 0,5 ore pentru terminarea reacției de diazotare, după care se corectează pH-ul la 7 prin adăugarea unei soluții apoase de bicarbonat de sodiu 8,5% (13 ml). Peste soluția de sare de diazoniu obținută (64 ml) aflată la o temperatură de $8-10^{\circ}C$, se adaugă în timp de 15 minute soluția apoasă de cuplantă (158 ml) conținând cca. 7,78 g acid 4-{4-clor-6-[4-(2-sulfoxi-etilsulfonil)-fenilamino]-[1,3,5]triazin-2-ilamino}-5-hidroxi-naftalen-2,7-disulfonic sare trisodică (0,01 moli). Masa de reacție se menține în agitare pentru perfectarea reacției de cuplare la o temperatură de $15-20^{\circ}C$ timp de 5 ore cu menținerea pH-ului la 7 prin adăugarea unei soluții apoase de bicarbonat de sodiu 8,5% (12,5 ml). Soluția apoasă de culoare roșu intens ce conține colorantul monoazoic reactiv (229 ml) se supune salifierii prin adaos de 60 g clorură de sodiu, menținând temperatura la $15-20^{\circ}C$ timp de 4 ore. Colorantul monoazoic reactiv salifiat se filtrează, iar produsul izolat se usucă în vid la $40^{\circ}C$. Se obțin cca 19,2 g colorant monoazoic reactiv roșu albăstrui ce conține 9,4 g sare de sodiu a acidului 5-{4-clor-6-[4-(2-sulfoxi-etilsulfonil)-fenilamino]-[1,3,5]triazin-2-ilamino}-3-(2,5-disulfo-fenilazo)-4-hidroxi-naftalen-2,7-disulfonic, corespunzător unui randament de 88%.

(9) $C_{27}H_{17}ClN_7Na_5O_{19}S_6$; $M=1086,26$; p.t.: $292^{\circ}C$ (desc.) ; Analiza elementală [(%), (calc./găsit)]: C (29,85/29,68), H (1,58/1,34), N (9,03/8,89), S (17,71/17,95); UV [I_{max} (nm), (lg e_{max})] : 513 (4,032); IR [KBr, (cm^{-1})]: 3415f.i., 1614f.i., 1555f.i., 1538f.i., 1475f.i., 1400i, 1375i, 1322s, 1220f.i., 1195f.i., 1135f.i., 1038f.i., 1010i, 980i, 922s, 875m, 822i, 760i, 730i, 661f.i., 618i, 572i, 545i, 516i, 445m; 1H -RMN [$(CD_3)_2SO$, d (ppm)] : NH - 4,20 (s), OH - 9,05 (s), H-20 - 3,78 (t), H-21 - 3,95 (t), H-15,H-16,H-18,H-19 - 7,40-7,90 (m), H-1 - 7,96 (s), H-8 - 8,00 (s), H-3 - 7,23 (s), H-3',H-4' - 8,49 (d), H-6' - 9,02 (s); ^{13}C -RMN [$(CD_3)_2SO$, d (ppm)]: 116,299 (C_1), 108,345 (C_3), 119,343 (C_8), 177,549 (C_{11}), $C_{12}=170,505$ (C_{12}), 180,347 (C_{13}), 116,242 (C_{15}), 127,545 (C_{16}), 127,831 (C_{18}), 116,575 (C_{19}), 53,144 (C_{20}), 58,789 (C_{21}), 157,303 ($C_{1'}$), 124,789 ($C_{2'}$), 133,425 ($C_{3'}$), 133,897 ($C_{5'}$), 124,903 ($C_{6'}$), 172,845 (COOH).

IV.7. Vopsirea bumbacului cu coloranții reactivi

Vopsirea bumbacului cu coloranții reactivi sintetizați s-a efectuat la concentrații de 1%, respectiv 3%.

1) Concentația de aplicare a colorantului pe material - 1%

Vopsirea s-a efectuat pe epruvete de 10g tricot din bumbac 100% pieptănat, pregătite prin înmuiere prealabilă în 180ml apă dedurizată, la un raport de flotă 1:20.

Procesul implică următoarele etape:

- Se dizolvă 0,1g colorant reactiv în 20ml apă dedurizată la temperatura de 20-25°C. Soluția rezultată se adaugă în flota de vopsire.
- Epruvetele de tricot se mențin în flota de vopsire 20 minute, iar apoi se adaugă 10g clorură de sodiu în calitate de accelerator.
- După 30 minute se introduc în flota de vopsire 3g carbonat de sodiu; după un timp de staționare de 10 minute se începe încălzirea sistemului la 60°C cu menținere un timp de 60 minute.
- Condiționarea epruvetelor are loc prin spălări succesive (3 spălări cu apă rece, o spălare cu apă caldă la 70°C), tratament acid la 50°C cu o soluție apoasă 1:1000 de acid acetic, urmată apoi de săpunire fierbinte cu o soluție apoasă conținând 0,2 g/L detergent neionic (alcooli grași polietoxilați) timp de 20 minute la o temperatură de 100°C.

După efectuarea operației de săpunire probele se supun unor operații de clătire succesive la cald și la rece, iar apoi epruvetele vopsite se storc și se usucă.

2) Concentația de aplicare a colorantului pe material - 3%

Vopsirea s-a efectuat pe epruvete de 10g tricot din bumbac 100% pieptănat, pregătite prin înmuiere prealabilă în 180ml apă dedurizată, la un raport de flotă 1:20.

Procesul implică următoarele etape:

- Se dizolvă 0,3g colorant reactiv vinilsulfonic în 60ml apă dedurizată la temperatura de 20-25°C. Soluția rezultată se adaugă în flota de vopsire.
- Epruvetele de tricot se mențin în flota de vopsire 20 minute, iar apoi se adaugă 14g clorură de sodiu în calitate de accelerator.
- După 30 minute se introduc în flota de vopsire 1g carbonat de sodiu și 0,2ml soluție apoasă de hidroxid de sodiu 32,5%; după un timp de staționare de 10 minute se începe încălzirea sistemului la 60°C cu menținere un timp de 60 minute.
- Condiționarea epruvetelor are loc prin spălări succesive (3 spălări cu apă rece, o spălare cu apă caldă la 70°C), tratament acid la 50°C cu o soluție apoasă 1: 1000 de acid acetic, urmată apoi de săpunire fierbinte cu o soluție apoasă conținând 0,2 g/L detergent neionic (alcooli grași polietoxilați) timp de 20 minute la o temperatură de 100°C.

După efectuarea operației de săpunire probele se supun unor operații de clătire succesive la cald și la rece, iar apoi epruvetele vopsite se storc și se usucă.

În cazul coloranților reactivi monoclorotriazinici și heterofuncționali se aplică același procedeu de vopsire ca în cazul coloranților reactivi vinilsulfonici cu mențiunea că temperatura de vopsire este de 80°C, restul condițiilor de operare fiind identice.

Rezistențele vopsirilor au fost efectuate după cum urmează: rezistența la spălare – conform ISO-105-C03, rezistența la apă rece – conform ISO-105-E01, rezistența la transpirație – conform ISO-105-E04, rezistența la frecare ISO-105-X12, rezistența la lumină – conform ISO-105-B02.

V. CONCLUZII

Teza de doctorat intitulată "SINTEZE DE NOI COLORANȚI REACTIVI CU RANDAMENT TINCTORIAL MARIT" abordează aspecte teoretice și aplicative referitoare la coloranți reactivi monoclorotriazinici, vinilsulfonici și heterofuncționali monoclorotriazino-vinilsulfonici.

Studiul de literatură prezentat în capitolul introductiv abordează aspecte cu privire la tipuri structurale de coloranți reactivi cu accent pe clasele avute în vedere la partea experimentală și considerații cu privire la comportarea tinctorială a acestor tipuri de coloranți și metode de aplicare în corelație cu structura fibrelor textile pe care se aplică.

În cadrul capitolului care cuprinde rezultatele și discuțiile legate de experimentările efectuate, sunt prezentate considerații cu privire la:

- sinteza și caracterizarea esterului monosulfuric al 2-(4-amino-benzensulfonil) etanolului cu parcurgerea tuturor fazelor de sinteză pornind de la N-fenilacetamidă, intermediarul fiind utilizat la obținerea coloranților reactivi vinilsulfonici și a celor heterofuncționali
- sinteza și caracterizarea sării trisodice a acidului 4-[4-clor-6-(4-sulfofenilamino)-[1,3,5]triazin-2-ilamino]-5-hidroxi-naftalen-2,7-disulfonic intermediar cheie pentru obținerea seriei coloranților reactivi monoclorotriazinici (3);
- sinteza și caracterizarea sării trisodice a acidului 4-{4-clor-6-[4-(2-sulfoxi-etilsulfonil) - fenilamino] - [1,3,5]triazin - 2 - ilamino} - 5 - hidroxi - naftalen - 2, 7 - disulfonic, intermediar cheie pentru obținerea seriei de coloranți reactivi heterofuncționali(4);
- sinteza, caracterizarea și comportarea tinctorială a unor coloranți reactivi monoclor-triazinici;
- sinteza, caracterizarea și comportarea tinctorială a unor coloranți reactivi vinilsulfonici;
- sinteza, caracterizarea și comportarea tinctorială a unor coloranți reactivi monoclor-triazino-vinilsulfonici.

Astfel în ceea ce privește sinteza intermediarilor necesari obținerii seriilor de coloranți reactivi au fost studiați și stabiliți parametri pentru sinteza unui număr de 4 compuși.

Au fost elaborate metode preparative originale, unele având aplicabilitate industrială, care constau în stabilirea parametrilor optimi pentru sinteza intermediarilor cheie necesari obținerii coloranților reactivi studiați.

Controlul analitic al sintezelor de intermediari a fost efectuat prin cromatografie în strat subțire, cu determinarea valorilor R_f caracteristice.

Sinteza abordată în cazul obținerii esterului monosulfuric al 2-(4-amino-benzensulfonil) etanolului a constat în parcurgerea mai multor etape, condițiile de lucru stabilite conducând la obținerea produselor de reacție cu puritate și cu randamente bune.

Compușii sintetizați au fost purificați și caracterizați prin analiză elementală și puncte de topire.

În secțiunea referitoare la caracterizarea compușilor sintetizați sunt cuprinse și comentate date experimentale furnizate de: spectrometria de absorbție în domeniul ultraviolet, spectrometria de absorbție în domeniul infraroșu, spectrometria de rezonanță magnetică nucleară ^1H și ^{13}C .

Caracterizarea prin tehnici spectrometrice evidențiază elementele structurale constitutive ale acestor compuși și permite anticiparea comportării coloranților care urmează a fi sintetizați.

Obținerea sării trisodice a acidului 4-[4-clor-6-(4-sulfo-fenilamino)-[1,3,5]triazin-2-ilamino]-5-hidroxi-naftalen-2,7-disulfonic (3) s-a făcut prin condensarea 1,3,5-triclor-triazinei cu acid 4-amino-5-hidroxi-naftalen-2,7-disulfonic și apoi cu acid 1-amino-benzen-4-sulfonic, pentru aceasta stabilindu-se condițiile optime de reacție. Compusul obținut după izolare și purificare a fost caracterizat prin analiză elementală, puncte de topire și spectroscopie UV, IR, ^1H -RMN și ^{13}C -RMN confirmându-se formula structurală propusă.

Obținerea sării trisodice a acidului 4-{4-clor-6-[4-(2-sulfoxi-etilsulfonil)-fenilamino]-[1,3,5]triazin-2-ilamino}-5-hidroxi-naftalen-2,7-disulfonic (4) s-a făcut prin condensarea 1,3,5-triclor-triazinei mai întâi cu esterul monosulfuric al 2-(4-amino-benzensulfonil)etanolului, iar apoi cu acidul 4-amino-5-hidroxi-naftalen-2,7-disulfonic succesiunea fiind dictată de considerente legate de mersul reacției de condensare din cauza solubilității diferite a celor două amine, în acest sens fiind stabilite condițiile optime de operare.

Produsul obținut a fost izolat pentru caracterizare și după purificare a fost supus analizei elementale și analizei prin spectrometrie de absorbție în domeniul ultraviolet și în domeniul infraroșu ca și prin spectrometrie de rezonanță magnetică nucleară ^1H și ^{13}C -RMN.

Pentru toți compușii studiați au fost analizate corelații între structura chimică a compușilor și comportarea spectrală, evidențiindu-se particularitățile structurale pentru fiecare caz în parte.

În ceea ce privește coloranții azoici reactivi monoclortriazinici, în cadrul cercetărilor efectuate au fost sintetizați și caracterizați un număr de **9 compuși (XIV-XXIII)** necitați în literatura de specialitate, în acest sens urmărindu-se:

- stabilirea parametrilor pentru sinteza și purificarea coloranților reactivi monoclortriazinici;
- stabilirea condițiilor pentru controlul sintezei și al purității produsilor finiți prin cromatografie pe strat subțire;
- caracterizarea produselor obținute, prin analiză elementală, puncte de topire, spectroscopie de absorbție în domeniul vizibil și infraroșu, spectroscopie de reflexie, spectrometrie ^1H și ^{13}C -RMN, fiind evidențiate caracteristicile structurale ale compușilor sintetizați;
- corelații între structura chimică a compușilor studiați și culoarea acestora, atât în soluție cât și după aplicare pe fibra celulozică;
- stabilirea parametrilor de culoare pe baza spectrelor de reflexie efectuate pe tricot de bumbac vopsit cu coloranții studiați, stabilindu-se că lungimile de undă dominante definesc foarte corect culorile obținute prin vopsire, iar că prin modificarea concentrației de aplicare coeficienții tricromatici nu variază;
- proprietățile de rezistență ale vopsirilor obținute sunt foarte bune ceea ce confirmă faptul că după vopsire, în toate cazurile coloranții hidrolizați au fost îndepărtați în totalitate prin spălare de pe fibră și prin urmare nu prezintă o afinitate foarte bună pentru fibra celulozică. De asemenea se remarcă o bună difuzie a colorantului în fibră în timpul vopsirii, în ciuda maselor moleculare relativ mari ale acestor compuși.

A fost studiată și extinsă gama coloranților reactivi vinilsulfonici derivați ai esterului monosulfuric al 2-(4-amino-benzensulfonil)etanolului, în această direcție sintetizându-se 14 compuși din care 10 coloranți noi necitați în literatura de specialitate (**I, II, III, V, VI, VII, VIII, X, XI, XII**).

În cadrul studiului efectuat a fost urmărită influența parametrilor de reacție asupra obținerii sării de diazoniu a esterului monosulfuric al 2-(4-amino-benzensulfonil)etanolului și

comportarea acesteia la cuplare cu diferite componente hidroxi- și amino- aromatice, precum și stabilirea condițiilor optime de condensare a esterului monosulfuric al 2-(4-amino-benzen-sulfonil)-etanolului cu sulfoclorura ftalocianinei de cupru.

Coloranții sintetizați prezintă rezistențe la lumină relativ bune, evident cel mai stabil fiind cel cu structură ftalocianinică, toți compușii remarcându-se prin strălucirea și puritatea nuanțelor, acoperind o gamă largă de la galben-verzui până la albastru-verzui.

Studiile întreprinse au condus la următoarele rezultate:

- analiza purității prin cromatografie în strat subțire pe silicagel, stabilindu-se valorile R_f a tuturor coloranților sintetizați;
- recunoașterea tuturor secvențelor structurale caracteristice evidențiind aportul major al legăturilor de hidrogen, probabil de tip intramolecular pentru toți coloranții investigați cu ajutorul spectrelor de absorbție în domeniul infraroșu. Acestea afectează în egală măsură grupările amino și hidroxi grefate pe cromogen. În cazul compusului cu rest ftalocianinic au putut fi evidențiate atât vibrațiile de schelet ale ciclului porfirinic, cât și cele specifice grupării sulfonamidice ca element de legătură cu gruparea reactivă;
- evidențierea în mod univoc pentru toți coloranții studiați prezenței grupării reactive sulfoxietilsulfonice, precum și a elementelor caracteristice ale cromogenului, prin spectrele $^1\text{H-RMN}$ și $^{13}\text{C-RMN}$;
- măsurătorile de culoare în sistem CIELAB arată că la creșterea concentrației de aplicare toți compușii monoazoici prezintă abatere de nuanță spre galben;
- compușii bisazoici, stilbentrisazoici și ftalocianinic prezintă abatere de nuanță spre albastru obținută la creșterea concentrației de aplicare;
- rezultatele obținute în cazul rezistențelor vopsirilor sunt bune și foarte bune încadrându-se în categoria celor obținute în mod obișnuit cu astfel de coloranți;
- rezistențele la lumină ale coloranților sintetizați sunt puternic influențate de structura componentei de cuplare, iar rezistențele vopsirilor la tratamente umido-termice sunt determinate de afinitatea față de fibra celulozică a colorantului nefixat reactiv;
- coloranții reactivi vinilsulfonici cu structură azoică sintetizați au masă moleculară mică fapt care asigură coeficienți de difuzie mari, gamă extinsă de culori, nuanțe strălucitoare, dar o afinitate relativ redusă față de fibră;
- colorantul reactiv vinilsulfonic cu structură ftalocianinică obținut conduce la nuanțe albastre-verzui foarte strălucitoare și cu rezistență mare la lumină, dar din cauza masei moleculare mari difuzează greu. Îndepărtarea prin spălare a colorantului nefixat reactiv este dificilă, fapt care conduce la înrăutățirea rezistențelor umido-termice ale vopsirilor obținute.

În ceea ce privește coloranții azoici reactivi heterofuncționali, în cadrul cercetărilor efectuate au fost sintetizați și caracterizați un număr de **9 compuși(XXIV-XXXII)** necitați în literatura de specialitate, în acest sens urmărindu-se:

- stabilirea parametrilor pentru sinteza și purificarea coloranților reactivi heterofuncționali;
- stabilirea condițiilor pentru controlul sintezei și al purității produsilor finiți prin cromatografie pe strat subțire;
- caracterizarea produselor obținute, prin analiză elementală, puncte de topire, spectroscopie de absorbție în domeniul vizibil și infraroșu, spectroscopie de reflexie, spectrometrie ^1H și $^{13}\text{C-RMN}$, fiind evidențiate caracteristicile structurale ale compușilor sintetizați constatându-se că formulele de structură propuse pentru compușii sintetizați sunt corecte.;

- corelații între structura chimică a compușilor studiați și culoarea acestora, atât în soluție cât și după aplicare pe fibra celulozică;
- studiul spectrelor de absorbție în domeniul vizibil pentru toți compușii sintetizați au prognozat posibilitatea obținerii prin aplicare a unor culori mult diferite de cele așteptate conform lungimii de undă a maximului de absorbție;
- stabilirea parametrilor de culoare pe baza spectrelor de reflexie efectuate pe tricot de bumbac vopsit cu coloranții studiați, stabilindu-se că lungimile de undă dominante definesc foarte corect culorile obținute prin vopsire, iar că prin modificarea concentrației de aplicare coeficienții tricromatici nu variază;
- proprietățile de rezistență ale vopsirilor obținute sunt foarte bune ceea ce confirmă faptul că după vopsire, în toate cazurile coloranții hidrolizați au fost îndepărtați în totalitate prin spălare de pe fibră și prin urmare, după hidroliza nu mai prezintă afinitate pentru fibra celulozică. De asemenea se remarcă o bună difuzie a colorantului în fibră în timpul vopsirii, în ciuda maselor moleculare relativ mari ale acestor compuși;
- studiul comparativ asupra rezistențelor umido-termice ale coloranților heterofuncționali față de coloranții monoclorotriazinici a arătat că pentru același cromofor introducerea grupei reactive sulfoxietilsulfonice îmbunătățește foarte mult valorile acestora.

O parte din rezultatele originale obținute pe parcursul desfășurării lucrărilor de cercetare fac obiectul mai multor articole publicate(4), depuse spre publicare(3) și comunicări științifice(2).

BIBLIOGRAFIE

1. Needles H. L., "Handbook of Textile Fibres, Dyes & Finishes", Garland STPM Press, New York & London, 1981. p.54
2. Haworth S., *J. Soc. Dyers Col.*, **1948**, *64*, 248
3. Vickerstaff T., "The Physical Chemistry of Dyeing", London Oliver & Boyd, 2-nd Edition, 1954, p.168, 167, 184, 169, 173, 181, 205, 180, 91, 93, 191
4. Hinrichsen G., *Melliand Textilber.*, **1977**, *58*, 7
5. Marsh T., Wood G., "Introduction to the Chemistry of Cellulose", London, 1945
6. Bogle M., "Textile Dyes, Finishes and Auxiliaries", Garland Publishing Inc., New York & London, 1977, p.3
7. Urseanu F., Iliescu M., Gageonea D., Pănculescu P., "Coloranti Organici de Sinteză", Ed. Tehnica București, 1986
8. Trotman E. R., "Dyeing and Chemical Technology of Textile Fibres", Wiley Interscience, New York, 1984, p. 353
9. Prati G., *Tinctoria*, **1979**, *4*, 102
10. Hori T., Ott R. J., Rys P., *Polym. Eng. Sci*, **1980**, *20*, 264
11. Hunt T. P., Blaine M., Rower K., *Text. Res. J.*, **1950**, *20*, 43
12. Neale S. M., Stringfellow W., *J. Soc. Dyers Col.*, **1940**, *56*, 19
13. Harris D., Purves T., *Paper Trade J.*, **1940**, *119*, 63
14. Giles C. H., Hassan A. S. A., *J. Soc. Dyers Col.*, **1940**, *74*, 859
15. Flath H. J., Scholtz C., *Melliand Textilber.*, **1993**, *3*, 219
16. Porter B. R., Rollins M. L., *J. Appl. Polym. Sci.*, **1972**, *16*, 217-237
17. Herrington T. M., Midmore B. R., *J. Chem. Soc. Faraday Trans.*, **1984**, *80*, 1539
18. Madras H., McIntosh M. W., Mason T., *Can. J. Res.*, **1972**, *B27*, 764
19. Iyer S. R. S., Baddi N. T., *Cellulose Chem. Technol.*, **1969**, *3*, 561
20. Stamm L. J., "Wood and Cellulose Science", Ronald Press Company, New York, 1964, p. 193
21. Greyson J., Levi A. A., *J. Polym. Sci.*, **1963**, *1*, 3333
22. Morrison J. L., Dziecinch M. A., *Canad. J. Chem.*, **1959**, *37*, 561
23. Venkataraman K., "The Chemistry of Synthetic Dyes", Vol. IV, Academic Press, New York, 1971, p. 3
24. Alexandru I., Bidalach R., Cernat M., Dobrovat M., Grigoriu A., Musca M., Nagy G., Petraru M., Popescu M., "Indrumar teoretic si practic pentru vopsirea materialelor textile", Ed. Certex, (1994)
25. Daescu C., "Materiale fibroase naturale", Ed. Helicon, (1996)
26. Grindea M. L., "Tehnologia vopsirii si imprimarii textilelor", Ed. Didactica si Pedagogica, Bucuresti, (1968)
27. Zuwang W., *Rev. Prog. Coloration*, **28**, 1998, p. 32
28. Gulrajani M. L., *Rev. Prog. Coloration*, **23**, 1993, p. 51
29. Renfrew A. H. M., Taylor J. A., *Rev. Prog. Coloration*, **20**, 1990, p. 1
30. Lewis D. M., *Rev. Prog. Coloration*, **21**, 1998, p. 12
31. Abeta S., Imada K., *Rev. Prog. Coloration*, **20**, 1990, p. 19

32. Shore J., *Rev. Prog. Coloration*, **21**, 1991, p. 23
33. Freeman H. S., Sokolowska J., *Rev. Prog. Coloration*, **29**, 1999, p. 8
34. Rys P., Stamm O. A., *Helv. Chim. Acta.*, **49**, 1966, p. 2287
35. Putze H., *Textil Praxis*, **39**, 1984, p. 1051
36. Dohmyo M., Shimizu Y., Kimura M., *Journ. Soc. Dyers and colourists*, **106**, 1990, p. 395
37. Chu K. Y., Provost J. R., *Rev. Prog. Coloration*, **17**, 1987, p. 23
38. Omura T., Kayane Y., Tezuka Y., *Dyes and Pigments*, **20**, 1992, p.227
39. Brevet britanic I.C.I. 838335 (1956);
40. Brevet britanic ICI 842933 (1957)
41. Zollinger H., *Angew. Chem.*, **73**, 125, (1961)
42. Panchartek A., *Coll. Czech. Chem. Comm.* **25**, 2783, (1960)
43. Rys P., Zollinger H., *Helv. Chim. Acta.* **49**, 749, (1966)
44. Brevet britanic, 838311 (113.1956); C.A. **50**, 1213b, (1956)
45. Color Index, Editia III, The Society of Dyers and Colorists vol IV.
46. Stamm O. A., Zollinger H., Zahner H., Gaumann E., *Helv. Chim. Acta* **44**, 1123, (1961)
47. Sanielevici H., Floru L., „Sinteza intermediarilor aromatici și a coloranților”, Ed.II. Editura Didactică și Pedagogică, București, (1971)
48. Floru L., Tăbărășanu C., Urseanu F., Palea R., "Chimia și tehnologia intermediarilor aromatici și a coloranților organici", Ed. Didactică și pedagogică, București, (1980)
49. Brevet britanic 923886 (18.4.1963); C.A. **58**, 1024d (1963)
50. Brevet german 2237006 (8.2.1973); C.A. **81**, 6358i (1973)
51. Brevet indian 96952 (27.5.1967); C.A. **66**, 32580e (1967)
52. Brevet german 2001961 (2.6.1970); C.A. **73**, 6832i (1970)
53. Brevet german 1927768 (4.12.1969); C.A. **72**, 5147e (1970)
54. Brevet britanic 1217686 (31.12.1970); C.A. **73**, 6832i (1970)
55. Brevet german 2027056 (21.1.1971); C.A. **74**, 5041a (1971)
56. Brevet german 2104306 (19.8.1971); C.A. **75**, 1578a (1971)
57. Brevet german 2108402 (9.9.1971); C.A. **75**, 1592i (1971)
58. Brevet german 2050948 (18.11.1971); C.A. **76**, 14230i (1972)
59. Brevet german 2136454 (27.1.1972); C.A. **76**, 149962s (1972)
60. Brevet britanic 12630833 (9.2.1972); C.A. **76**, 157508s (1972)
61. Brevet cehoslovac 144848 (15.7.1972); C.A. **77**, 3250c (1972)
62. Brevet german 2238110 (15.2.1973); C.A. **79**, 25728n (1973)
63. Brevet german 2244540 (15.3.1973); C.A. **81**, 15988z (1973)
64. Brevet german 2244538 (22.3.1973); C.A. **80**, 151845g (1974)
65. Brevet elvețian 533667 (30.3.1973); C.A. **80**, 2468c (1974)
66. Brevet cehoslovac 152859 (15.4.1974); C.A. **80**, 2350i (1974)
67. Brevet japonez 75.02.725 (13.1.1975); C.A. **82**, 1286b (1975)
68. Brevet german 2422762 (10.5.1971); C.A. **74**, 6508r (1971)
69. Brevet american 3826799 (30.7.1974); C.A. **81**, 128760b (1974)
70. Brevet german 2500062 (10.7.1975); C.A. **83**, 180390i (1975)
71. Brevet sovietic 411749 (5.9.1977); C.A. **82**, 97815j (1975)
72. Brevet german 2653199 (2.6.1977); C.A. **87**, 203057t (1977)

73. Brevet britanic 803473 (20.1.1956); C.A. **73**, 50138d(1956)
74. Brevet belgian 558433 (15.6.1956); C.A. **50**, 328c(1956)
75. Brevet britanic 923887 (18.4.1963); C.A. **59**, 28438a(1963)
76. Brevet japonez 7010789 (18.4.1970); C.A. **72**, 98580e(1970)
77. Dawson T. L., *J.Soc.Dyers Colourists* **80**, 134,(1964)
78. Baungarte V. și Peichtmayr F., *Melliand Textilber* **44**, 163,(1963)
79. Vickerstaff T., " The Phisycal Chemistry of Dyeing", Imp. Chem. Ind. Lim. London, (1954)
80. Gilbert J., Proc Ray Soc. A183, 167, (1947)
81. Vickerstaff T., *Dyer* **76**, 166, (1961)
82. Ackermann A. și Dussy P., *Melliand Textilber* **42**, 1167, (1961)
83. Preston C. și Pern A. S., *Chimia (Aaran)* **15**, 177, (1961)
84. Ackermann H. și Dussy P., *Helv.Chim.Acta* **45**, 1683,(1962)
85. Beckmann W. și Hildebrand D. și Peseneker N., *Melliand Textilber*, **43**,1304, (1962)
86. Hildebrand D., *SVF Fachorgan Textilveredlung* **20**, 644, (1965)
87. Hildebrand D., *Bayer Farben Rev.***9**, (1964)
88. Datyner A., Rys P. și Zollinger H., *Helv.Chim.Acta* **49**, 749, (1966)
89. P.Rys, *Textilveredlung* **2**, 95, (1967)
90. Hildebrand D., *Bayer Farben Rev.* **13**, (1967)
91. Hildebrand D., *Melliand Textilchem* **102**, (1965)
- 92..Ingamells W., Sumner H. H. și Willians G., *J.Soc. Dyers Colourists* **78**, 274, (1972)
93. Aspland J. R. și Johnson A., *J. Soc. Dyers Colourists* **81**. 477, (1965)
94. Kleb K. G., Sasse K. și Siegel E., *Angew. Chem.* **76**, 423, (1964)
95. Bronsted J. N., *E.Psysik chem.***102**, 169, (1922)
96. Frost A. A. și Pearson R. G., " Kinetrea and Mecanism", Ed. II p.151 John Wiley, New York, (1961)
97. Werdenberg A., *SVF Fachorgan Textilveredlung* **16**, 751, (1961)
98. Haelters H., *Ciba Rundschau* **43**, (1962)
99. Badertscher W., *SVF Fachorgan Textilveredlung* **18**, 229, (1963)
100. Haelters M., *SVF Fachorgan Textilveredlung* **18**, 287, (1963)
101. Peter M., *SVF Fachorgan Textilveredlung* **18**, 426, (1963)
102. Haelters M. și Perrin P., *Ciba Rundscham* **45**, (1964)
103. Sumner H. H. și Vickersstaff T., *Melliand Textilber* **42**, 1169, (1961)
104. Rattee J. D., *Melliand Textilber* **45**, 782, (1964)
105. Sumner H. H. și Taylor B., *J.Soc.Dyers Colourists* **83**, 445, (1967)
106. Zollinger H. si Senn R. C., *Helv.Chim. Acta* **46**, 781, (1963)
107. Capponi M. și Senn R. S., *J.Soc. Dyers Colourists* **82**, 8, (1966)
108. Sanielevici H., Urseanu F., *Sinteze de coloranti azoici*, **1**, Editura Tehnica, Bucuresti, 1987, p. 35-53
109. Stanescu L., Frunza E., Cohn M., Wagner L., Petcov R.,*Rev. Chim.* ,**26**, p.993, 1975
110. **Lungu M. E.**, Raditoiu V., Wagner L., Raditoiu A., Alifanti C., Tarabasanu-Mihaila C., Lupea A. X., *Rev. Chim.*,**55**, nr.4, p. 244, 2004
- 111.Taylor J. A., *Rev. Prog. Coloration*, **30**, 2000, p. 93

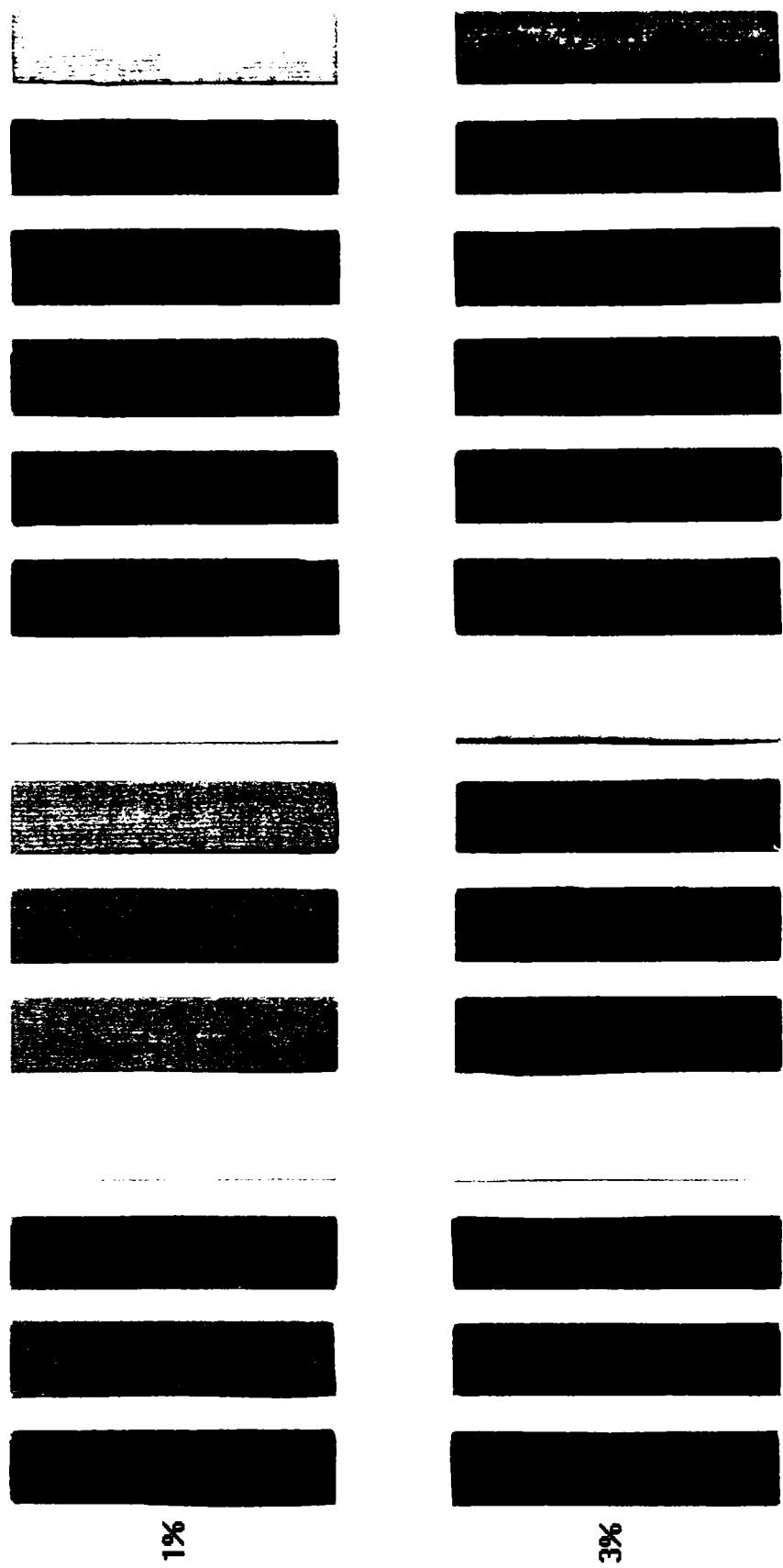
112. Ohura R., Katayama A., Takagishi T., *Text. Res. Journ.*, **62(9)**, 1992, p.552
113. Bredereck K., Schumacher C., *Dyes and Pigments*, **43**, 1999, p. 135
114. Senn R. C., Stamm G. A. și Zollinger H., *Melliand Textilber* **44**, (1963)
115. Sadov F. I. și Malasova T. D., *Tekstil Prom.* **24**, 61,(1964)
116. Burdett B. C., Giles C. H., Ingamells W. C., Johnson A., Joes F., Marshall J., Peters L., Rys P., Zollinger H., "The theory of Coloration of textiles", Society of Dyers and Colourists, Leeds, (1975)
117. Călin C. - Coloranți reactivi, *Industria textilă* **12**, 8, p. 325, 1961
118. **Lungu M. E.**, Raditoiu V., Wagner L., Raditoiu A., Alifanti C., Tarabasanu-Mihaila C., Lupea A. X., *Rev. Chim.*, **55**, nr 10,p.782, 2004
119. Sumner H. H. și Vickerstaff T., *Melliand Textilber.* **42**, 1161, (1961)
120. Havlik I. "Sinteza colorantilor reactivi 1,3,5-triazinici",Institutul Politehnic Timisoara, (1982)
121. Griffiths John, "Colour and Constitution of organic molecules" Academic Press, New York, (1976)
122. Suzuki H., "Electronic absorbtion Spectra and Geometry of Organic molecules An Application of molecular Orbital Theory". Academic Press New York, (1967)
123. Mustroph H., Epperleni H. și Ebert D., *Signal H.*, 439,5(6), (1977)
124. Joffe H. H. și Orchin M., "Theory and Application of Ultraviolet Spectroscopy, John Wiley, New York,(1964)
125. Bershtein I. Y. și Cimzberg O. F., *Zhur.obshchei.Khim* **41**,97,(1972)
126. Wiley John,"Organic Electronic Spectral Data", Interscience, New York, (1970)
127. Kuznetov I., *Reactivi și produse chimice*, 199,Ed.Teh.București,(1956)
128. Grindea M., Hanganu A., Grigoriu A. și Pușcaș L. - *Tehnologie Chimică Textilă* p. 483, Ed.Tehnică, București
129. Forbes F. și Milligan B., *Austalian J. Chem.*, **15**, 481,(1962)
130. Berends și Posthuma J., *J.Phys.Chem.* **66**, 2547,(1962)
131. Gerson E. și Heilbronner E., *Helv. Chim.Acta* **45**,42, (1962)
132. Kubler R., Luttke E. și Weckherlin S., *Z. Elektrochem.* **64**, 650, (1960)
133. Daly L., Colthrup și Wiberley S., "Introduction to Infrared and Raman Spectroscopy ", Academic Press, New York, (1975)
134. Grsnt D. H. și Hirst R. C., *J.Chem. Phys.* **38**, 470, (1963)
135. Jackman L. H.și Sternhell S., "Application of Nuclear Magnetic Resonance Spectroscopy in Organic Chemistry", Ed.II, Pergamon Press Oxford, 224, (1963)
136. Welb D. L. și Joffe R. H., *J.Amer.Chem.Soc.* **86**, 2419, (1964)
137. Bordwell F. G. și Cooper S. D., *J.Amer.Chem.Soc.*, **74**, 1058, (1952)
138. James C. și Knox J.C., *Trans.Faraday Soc.*, **46**, 254, (1950)
139. Wells P. R., *Chem. Rews.*, **63**,171, (1963)
140. Perrin J., "Dissociation Constants of Organic Bases in Aqueons Solution", Londra, Butterworth, (1965)
141. Grindea M.,Forst T, Hanganu A., *Tehnologia vopsirii și imprimarii textilelor* Ed. tehnică București 1983, 305, p. 39
142. Loughlin M. C., Lowe C.R., *Rev.Prog. Coloration* **18**,16, (1988)
- 143.. Stedd C.V., *J.Chem. Tech.Biotechnol.* 371, **55**, (1987)

144. Renfrew.A.H.,Taylor J.A., *Rev.Prog.Coloration* 20, 1, 252, (1990)
145. Rattee I.D., *Rev. Prog. Coloration*, **14**, p. 59, (1984)
146. Hahrke M., *Textilveredlung* **21**, p. 285,(1986)
147. Floru L., Langfeld H. W., Tarăbășanu-Mihăilă C., "Coloranți Azoici",p. 402.
Ed.Tehnică, (1981)
148. Vickerstaff T., *J.Soc.Dyers and Colourists*. **73**, 6, 237, (1957)
149. **Lungu M.E.**,Raditoiu V.,Raditoiu A.,Alifanti C.,Tarabasanu-Mihaila C.,Lupea
A. X., *Rev. Chim.*, **55**, nr.6, 2004, p.397
150. Calin C.- Coloranti reactivi, *Industria textila*,**12**, 8, 325, 1961
151. **Lungu M. E.**-*Analele Universității "Aurel Vlaicu"*, Seria Textile, an VIII, vol.7,
p. 156, 2002
- 152 . Lupea A. X., **Lungu M. E.** – *Chem. Bull. U. P. Timisoara*, **55**, (2004), in press.

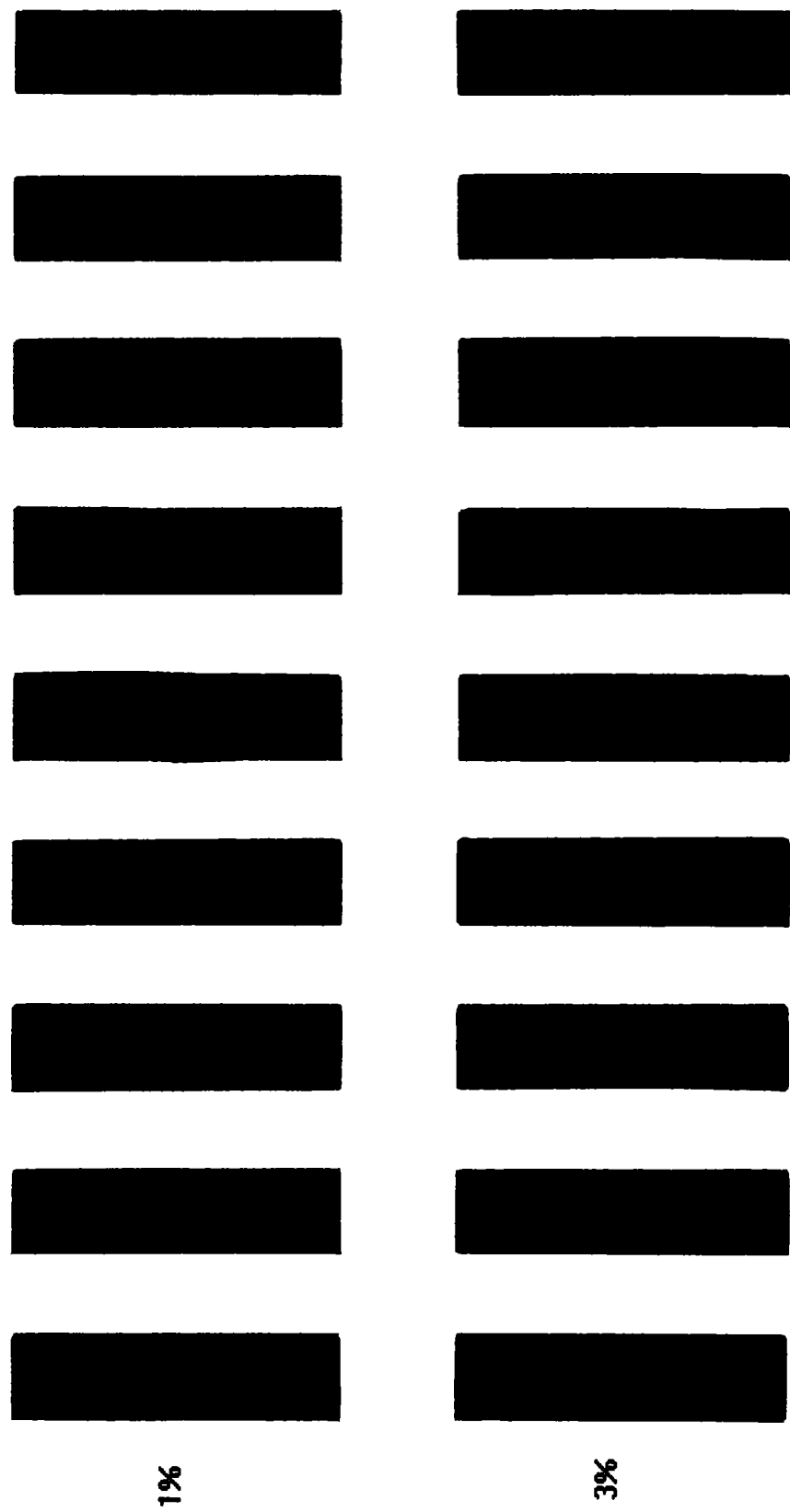
ANEXA I

VOPSIREA SUPORTULUI TEXTIL CU COLORANȚII SINTETIZAȚI

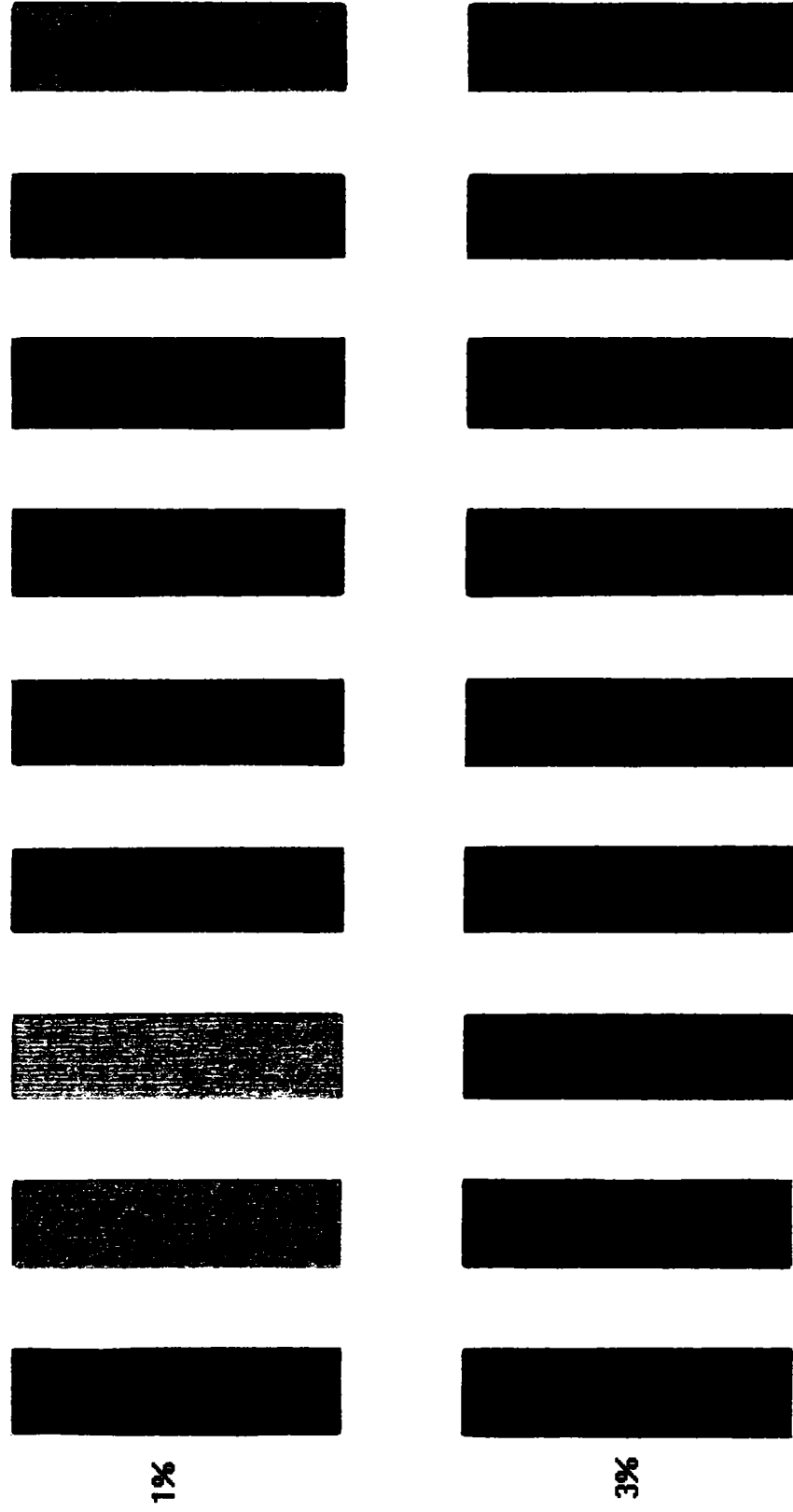
VOPSIREA SUPORTULUI TEXTIL CU COLORANTI REACTIVI VINILSULFONICI (I-XIV)



VOPSIREA SUPORTULUI TEXTIL CU COLORANTI REACTIVI MONOCLORTRIAZINICI (XV-XXIII)



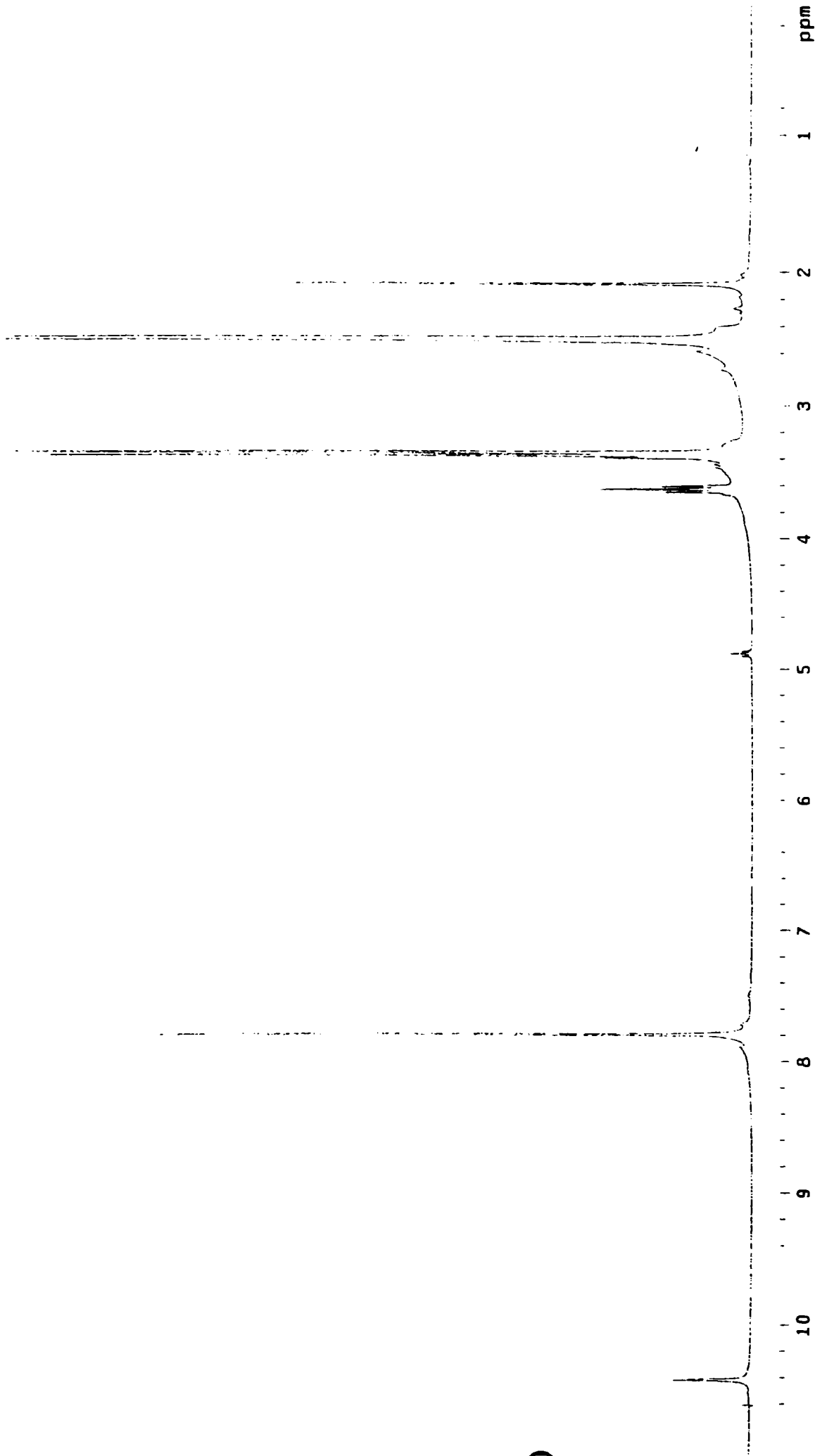
VOPSIREA SUPORTULUI TEXTIL CU COLORANTI REACTIVI HETEROFUNCTIONALI (XXIV-XXXII)



ANEXA II

**SPECTRELE ^1H -RMN ALE INTERMEDIARILOR (1-4) ȘI COLORANȚILOR
SINTETIZAȚI (I-XXXII)**

(1)

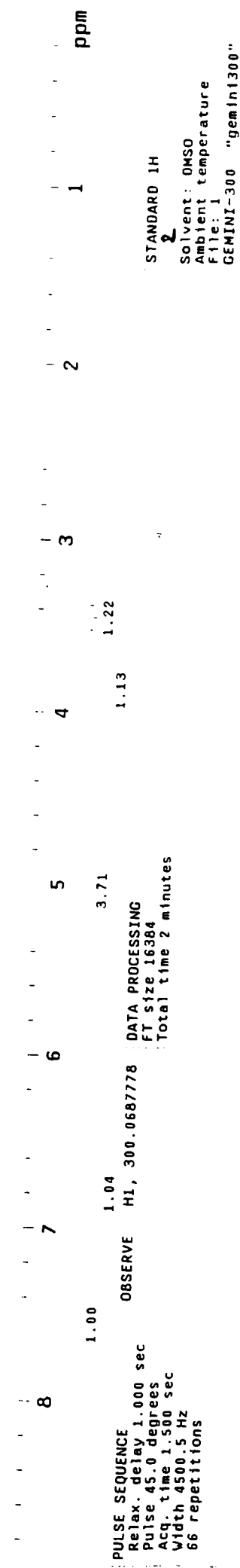


PULSE SEQUENCE
Relax. delay 1.000 sec
Pulse 45.0 degrees
Acq. time 1.500 sec
Width 4500.5 Hz
112 repetitions

OBSERVE H1, 300.068778 DATA PROCESSING
FT size 16384
Total time 4 minutes

STANDARD 1H
Solvent: DMSO
Ambient temperature
File: 1
GEMINI-300 "gemini300"

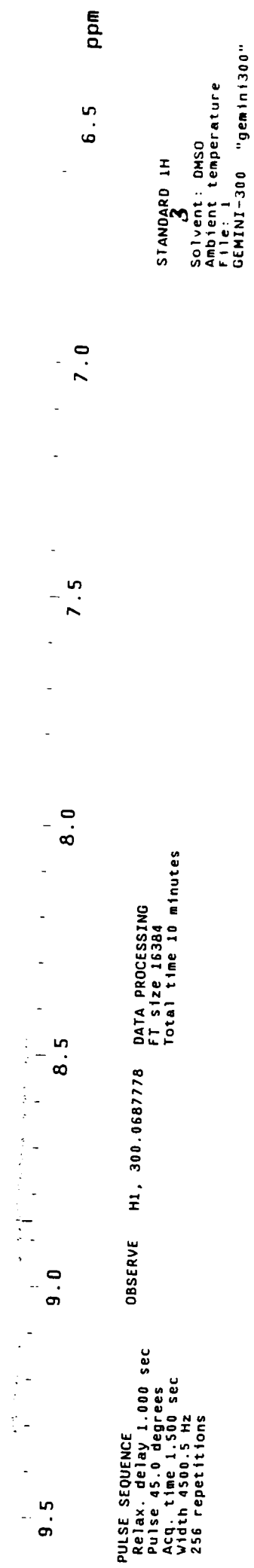
(2)



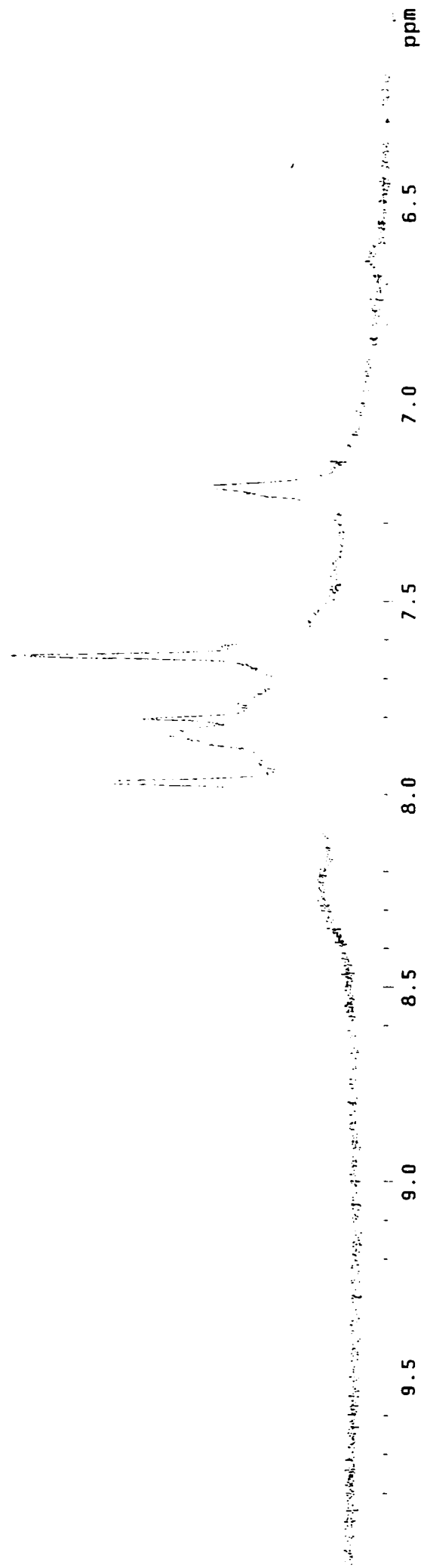
PULSE SEQUENCE
Relax. delay 1.000 sec
Pulse 45.0 degrees
Acq. time 1.500 sec
Width 4500.5 Hz
66 repetitions

OBSERVE H1, 300.068778
DATA PROCESSING
FT size 16384
Total time 2 minutes

(3)



(4)

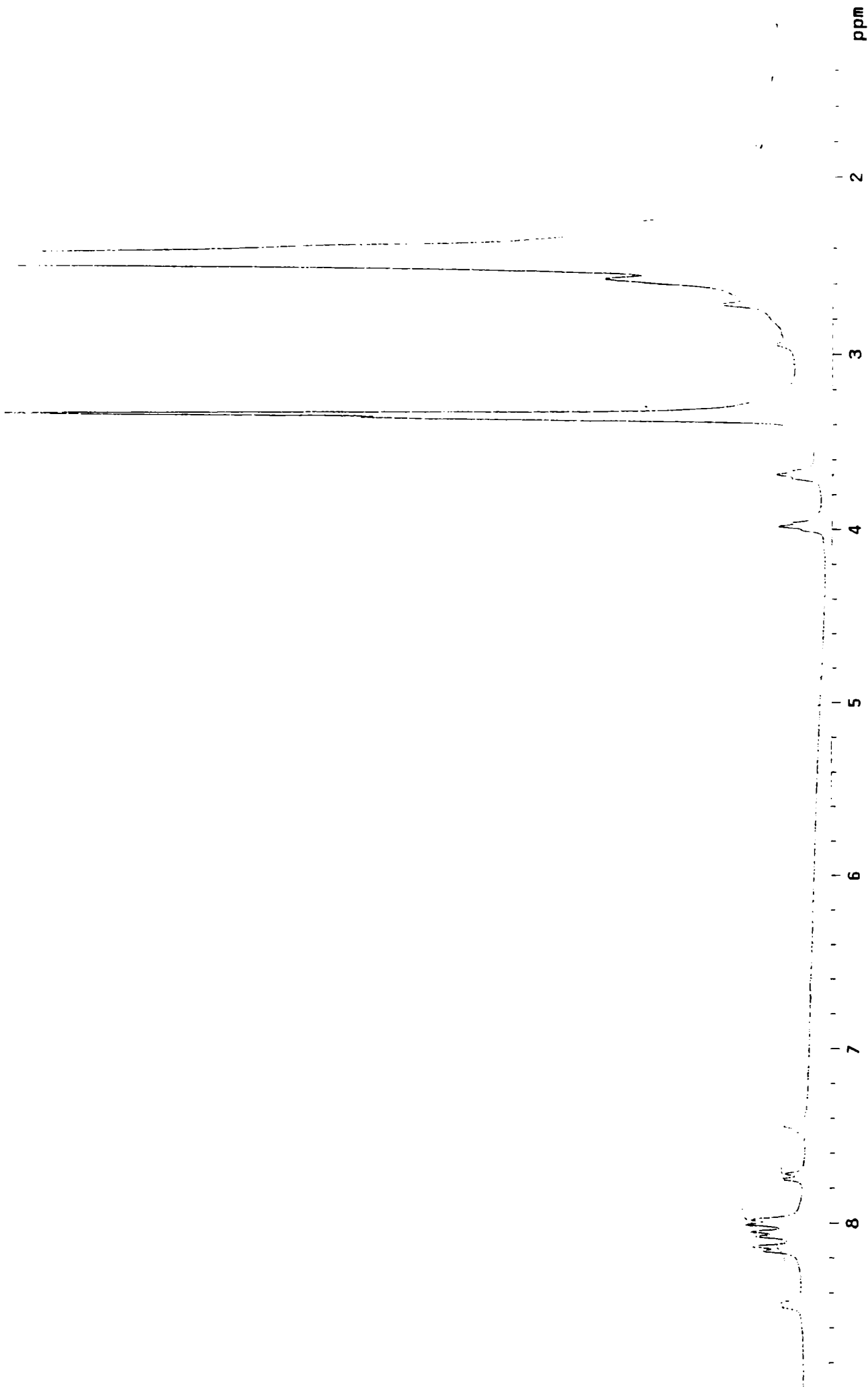


PULSE SEQUENCE
Relax. delay 1.000 sec
Pulse 45.0 degrees
Acq. time 1.500 sec
Width 4500.5 Hz
256 repetitions

OBSERVE H1, 300.0687778 DATA PROCESSING
FT size 16384
Total time 10 minutes

STANDARD I1
4
Solvent: DMSO
Ambient temperature
File: 1
GEMINI-300 "gemini300"

(1)



0.96 7.71 8.0 8.1 8.2 8.3 8.4 8.5 8.6 8.7 8.8 8.9 9.0

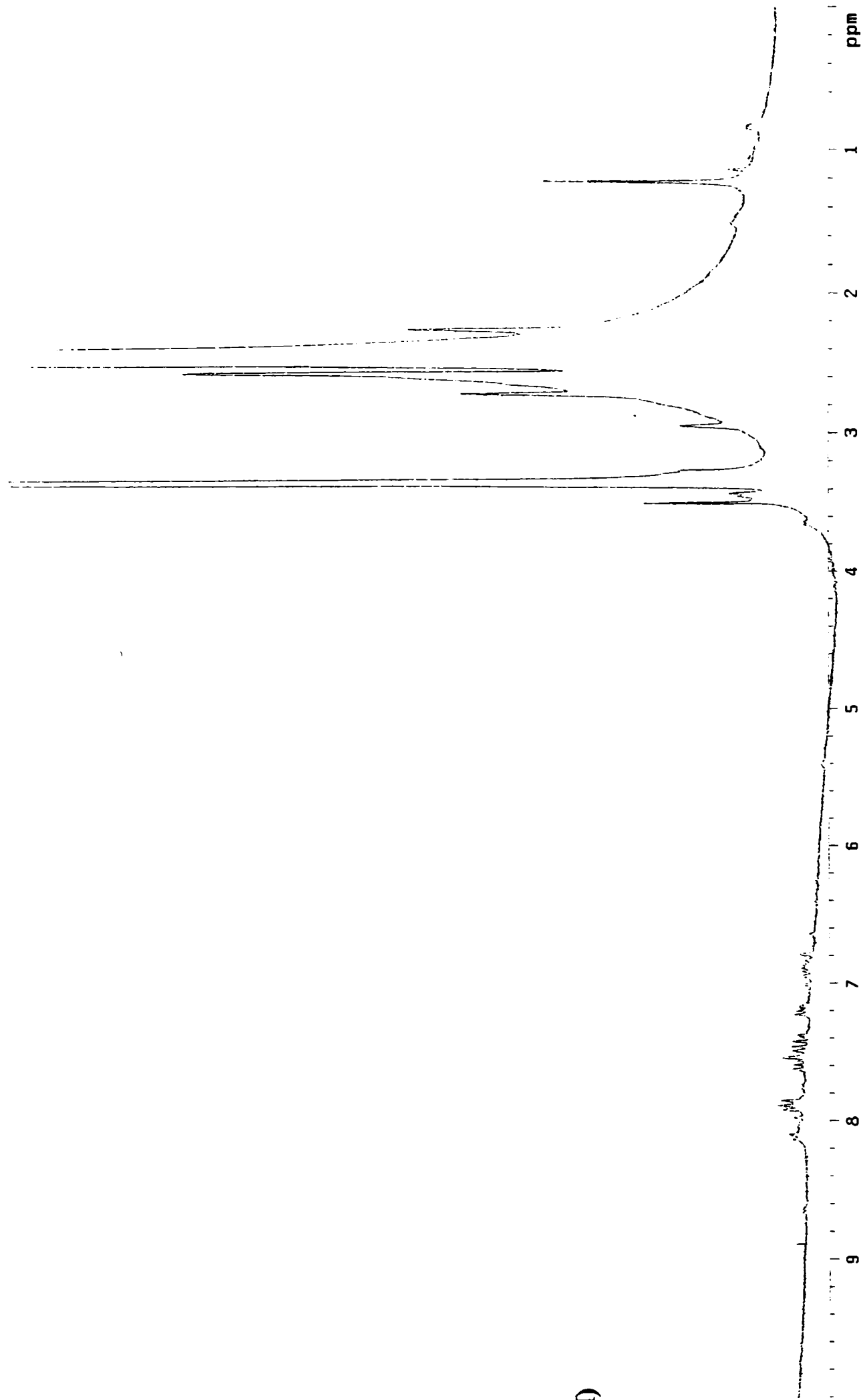
PULSE SEQUENCE
Relax. delay 1.000 sec
Pulse 45.0 degrees
Acq. time 1.500 sec
Width 4500.5 Hz
128 repetitions

OBSERVE H1, 300.0687778

DATA PROCESSING
FT size 16384
Total time 5 minutes

STANDARD 1H
Solvent: DMSO
Ambient temperature
File: 1
GEMINI-300 "gemin1300"

(II)



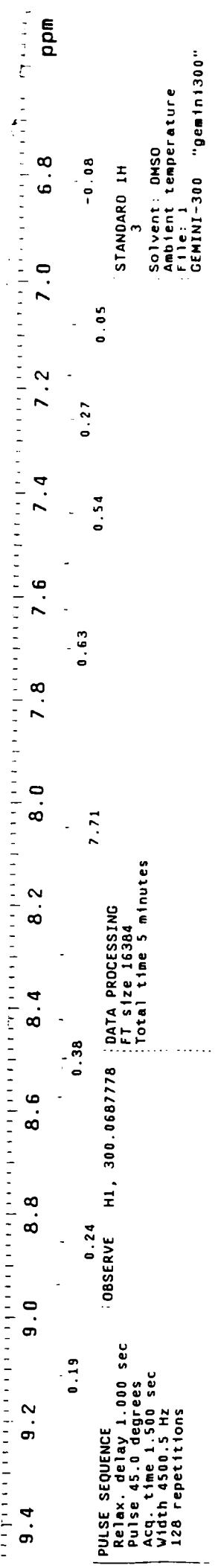
PULSE SEQUENCE
Relax. delay 1.000 sec
Pulse 45.0 degrees
Acq. time 1.500 sec
Width 4500.5 Hz
128 repetitions

OBSERVE H1, 300.068778

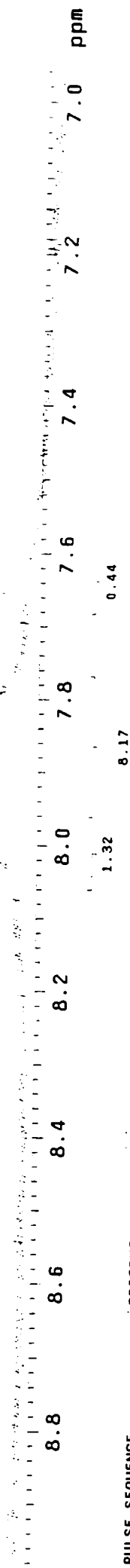
DATA PROCESSING
FT size 16384
Total time 5 minutes

STANDARD I1
2
Solvent: DMSO
Ambient temperature
File: 1
GEMINI-300 "gemini300"

(11)



(IV)

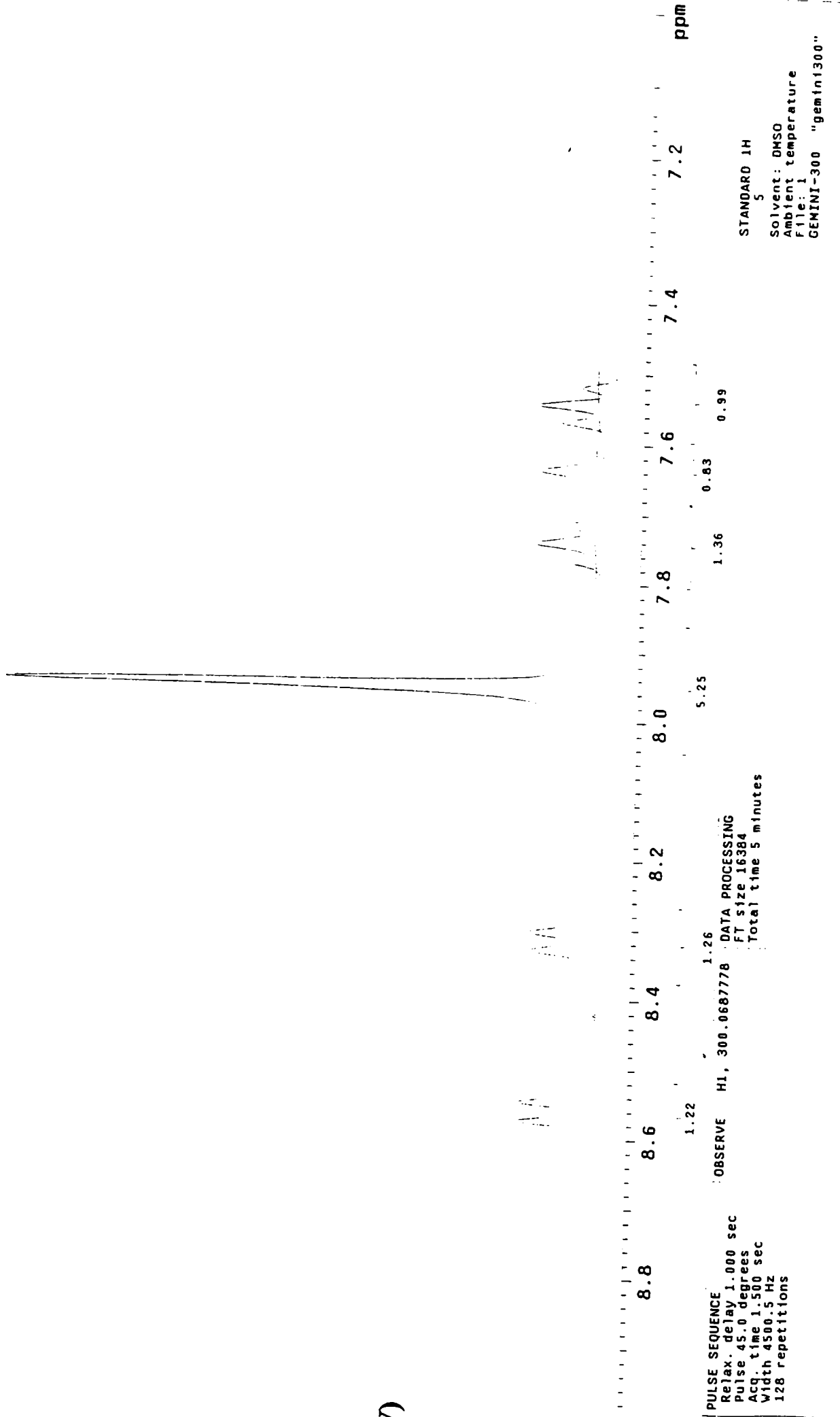


PULSE SEQUENCE
Relax. delay 1.000 sec
Pulse 45.0 degrees
Acq. time 1.500 sec
Width 4500.5 Hz
128 repetitions

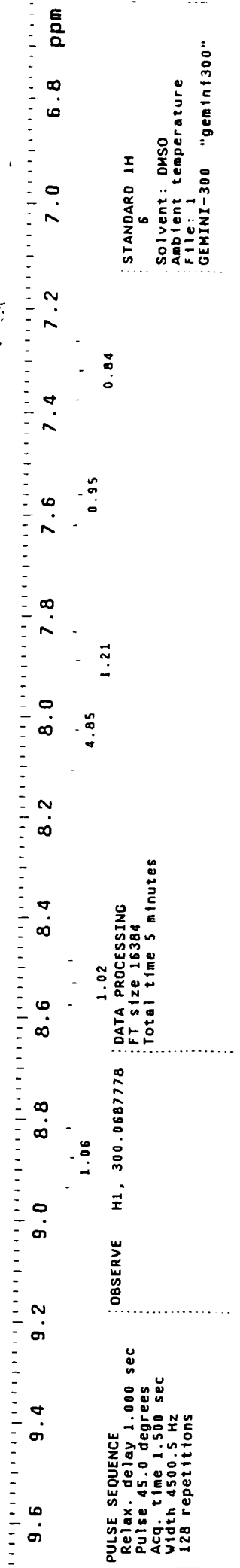
OBSERVE H1, 300.0687778 DATA PROCESSING
FT size 16384
Total time 5 minutes

STANDARD 1H
4
Solvent: DMSO
Ambient temperature
File: 1
GEMINI-300 "gemini300"

(V)



(VI)



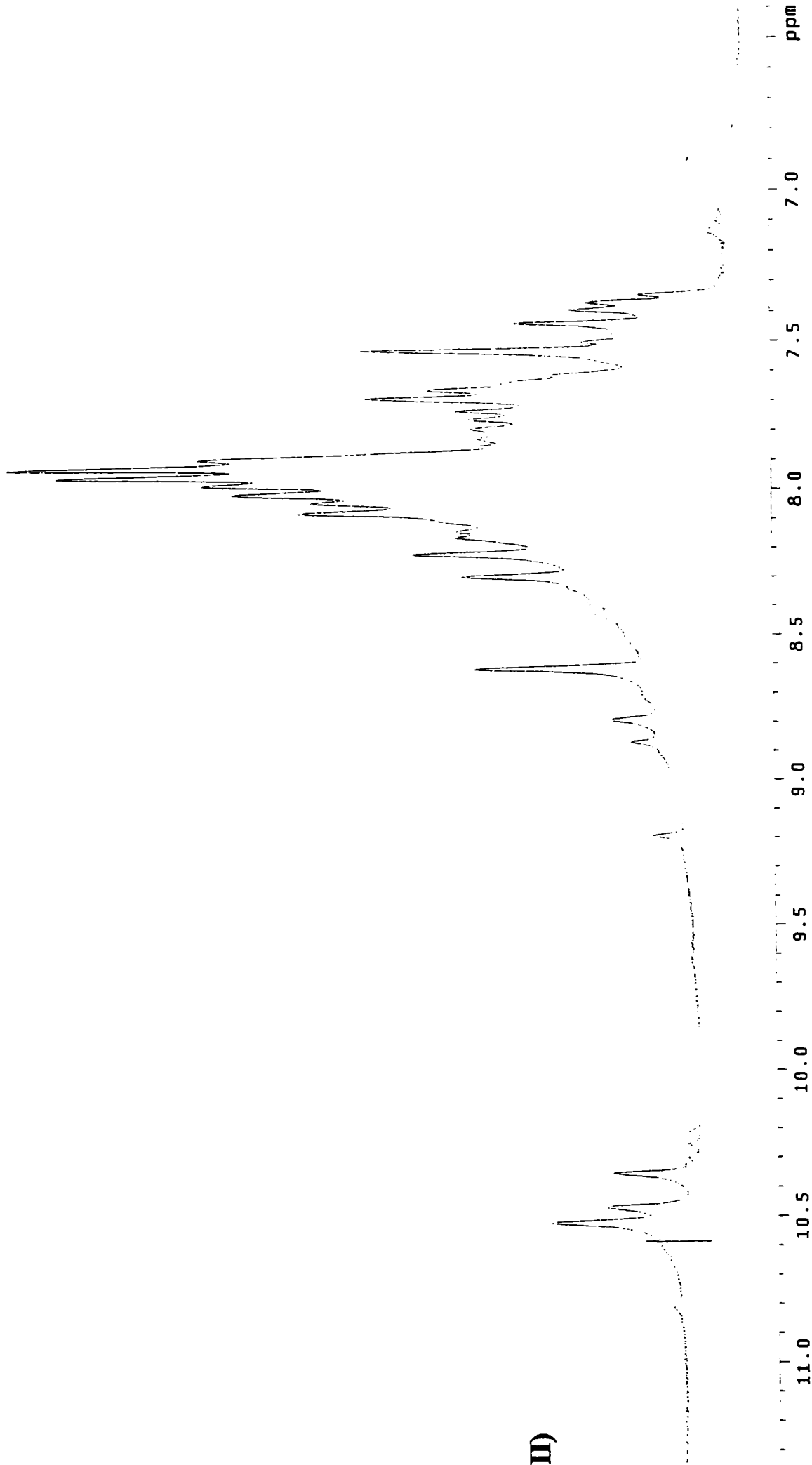
PULSE SEQUENCE
Relax. delay 1.000 sec
Pulse 45.0 degrees
Acq. time 1.500 sec
Width 4500.5 Hz
128 repetitions

OBSERVE H1, 300.0687778

DATA PROCESSING
FI size 16384
Total time 5 minutes

STANDARD 1H
6
Solvent: DMSO
Ambient temperature
File: 1
GEMINI-300 "gemini300"

(VII)



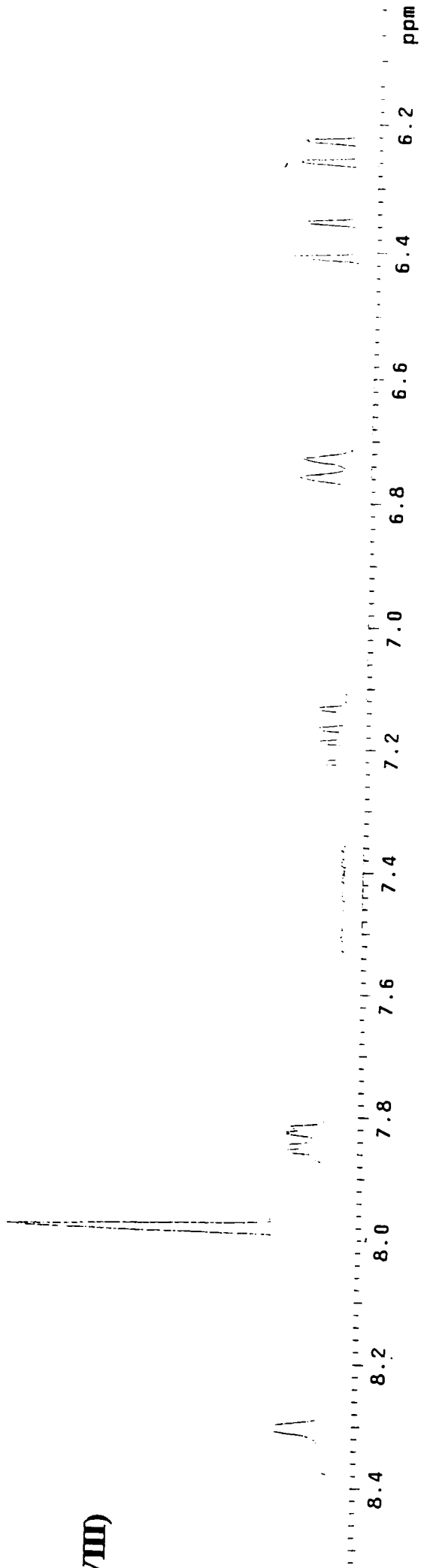
PULSE SEQUENCE
Relax. delay 1.000 sec
Pulse 45.0 degrees
Acq. time 1.500 sec
Width 4500.5 Hz
128 repetitions

OBSERVE H1, 300.0687776

DATA PROCESSING
FT size 16384
Total time 5 minutes

STANDARD 1H
7
Solvent: DMSO
Ambient temperature
File: 1
GEMINI-300 "gemin1300"

(VIII)

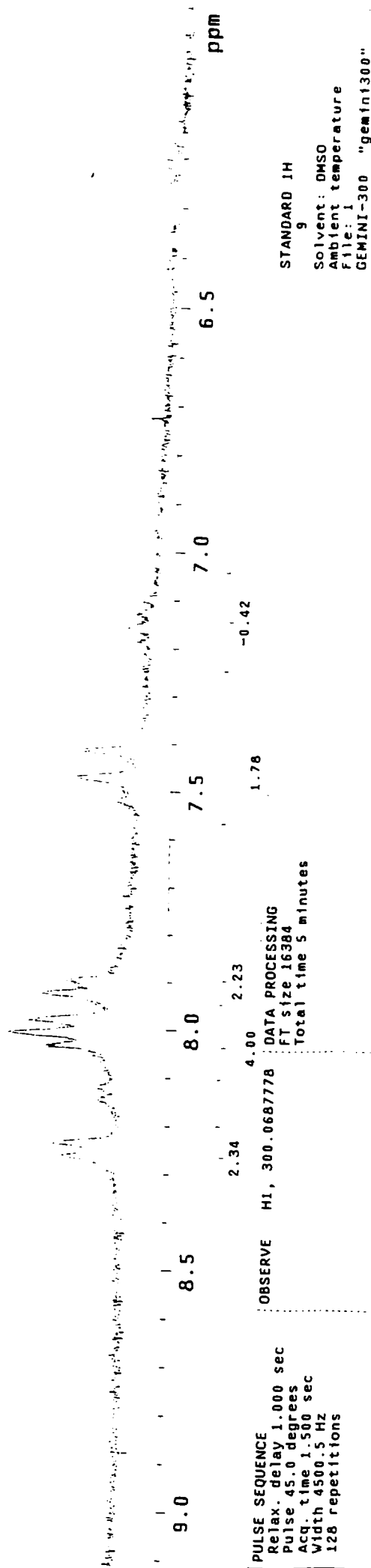


PULSE SEQUENCE
Relax. delay 1.000 sec
Pulse 45.0 degrees
Acq. time 1.500 sec
Width 4500.5 Hz
128 repetitions

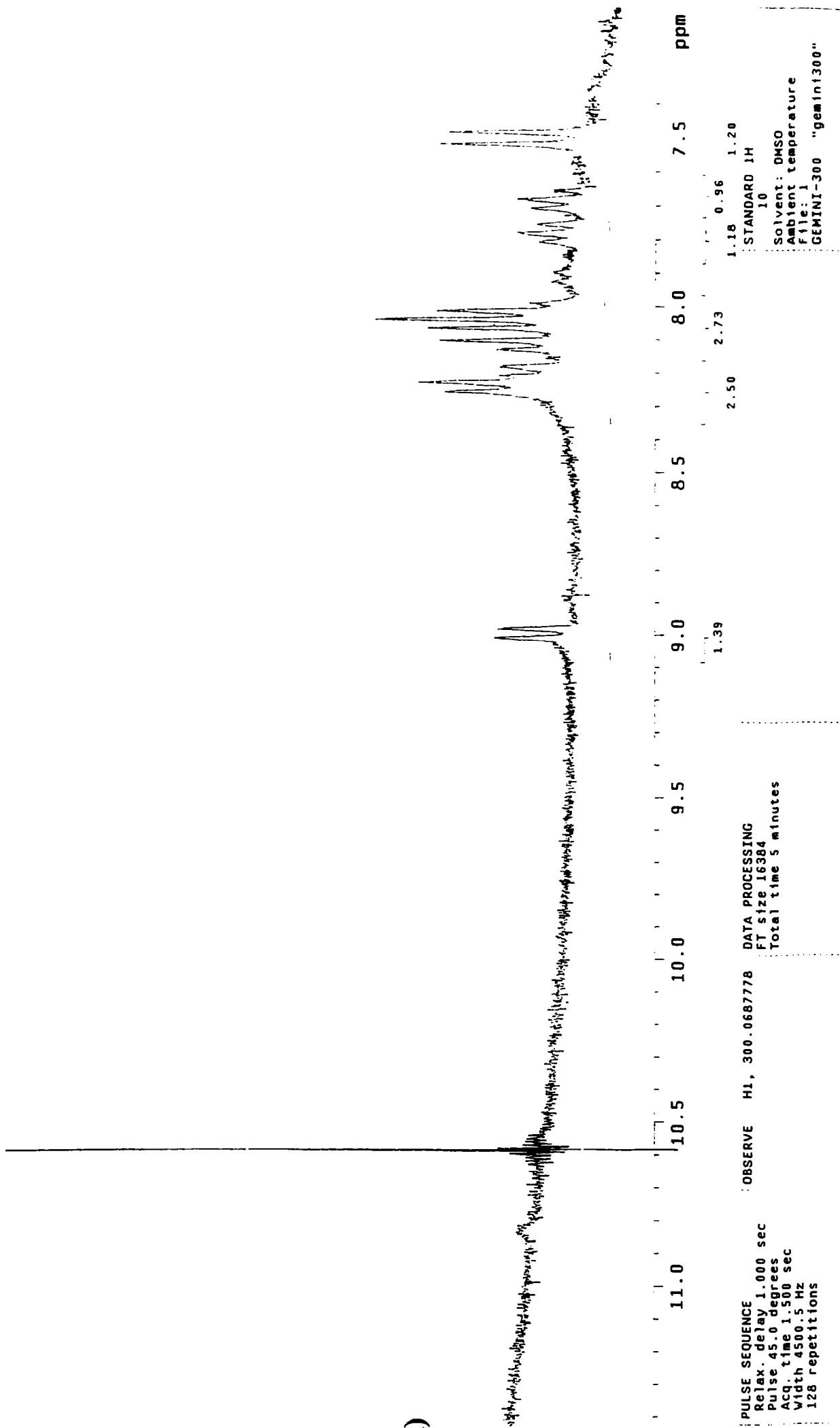
OBSERVE H1, 300.0687778 DATA PROCESSING
FT size 16384
Total time 5 minutes

STANDARD I1
8
Solvent: DMSO
Ambient temperature
File: 1
GEMINI-300 "gemini300"

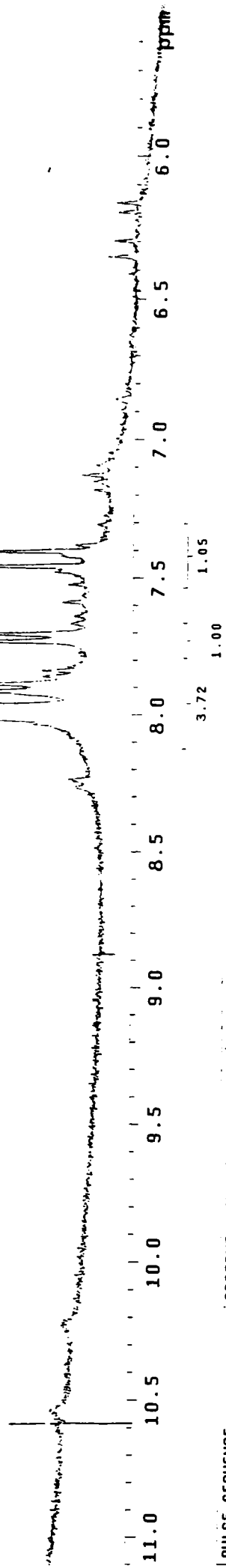
(IX)



(X)



(XI)



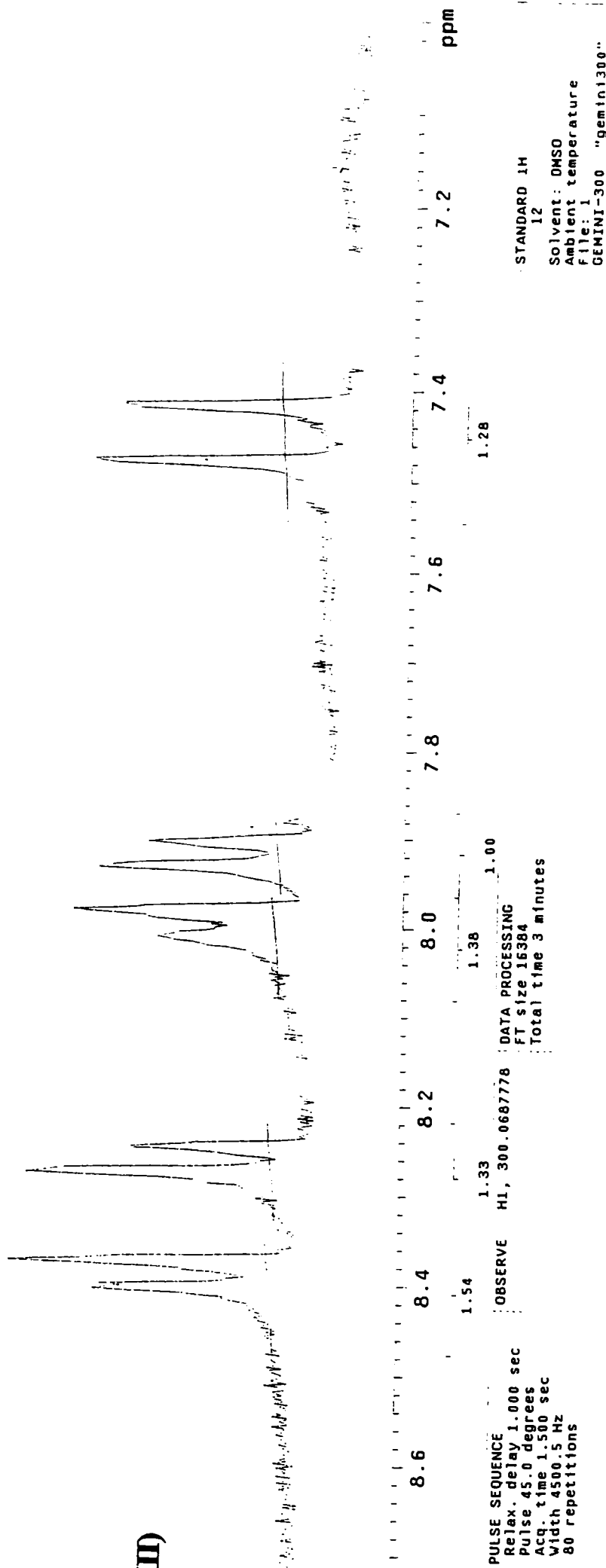
PULSE SEQUENCE
Relax. delay 1.000 sec
Pulse 45.0 degrees
Acq. time 1.500 sec
Width 4500.5 Hz
128 repetitions

OBSERVE H1, 300.0687778

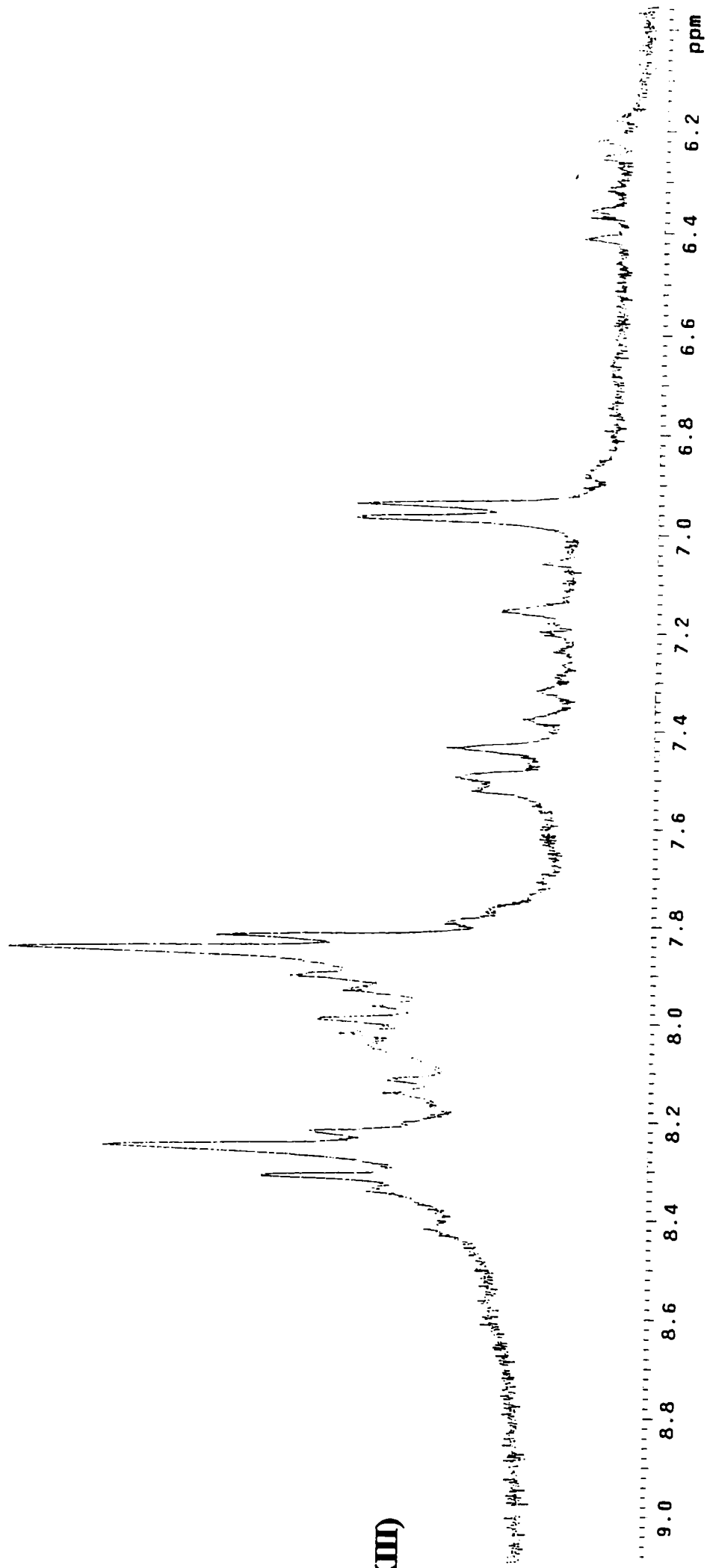
DATA PROCESSING
F1 size 16384
Total time 5 minutes

STANDARD 1H
11
Solvent: DMSO
Ambient temperature
File: 1
GEMINI-300 "gemini300"

(XII)



(XIII)



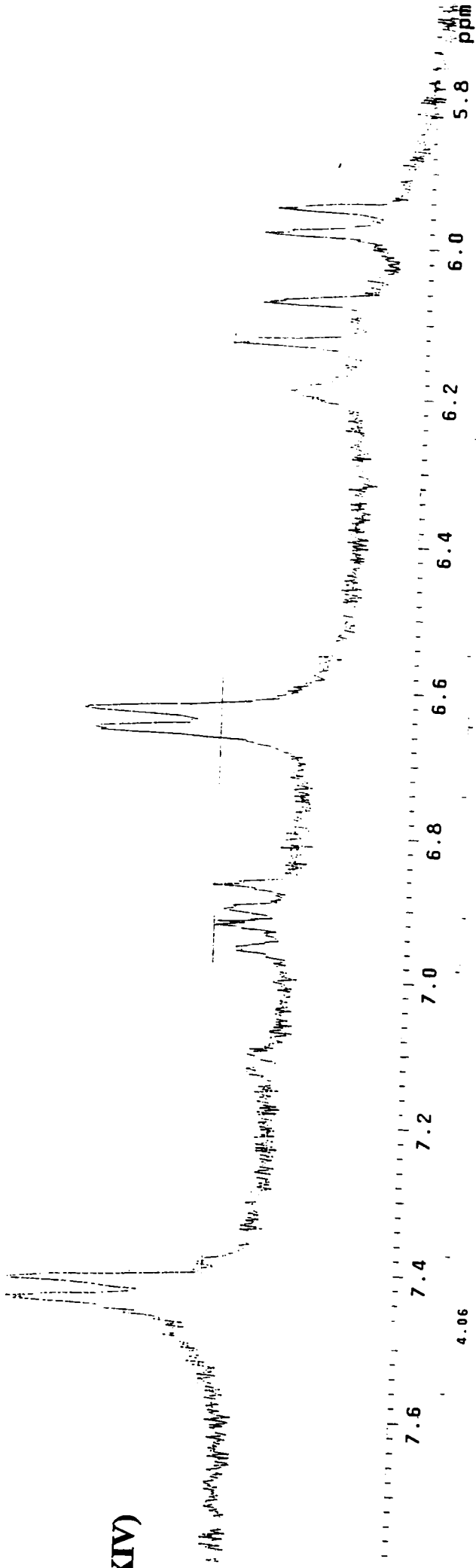
PULSE SEQUENCE
Relax. delay 1.000 sec
Pulse 45.0 degrees
Acq. time 1.500 sec
Width 4500.5 Hz
128 repetitions

OBSERVE H1, 300.0687778

DATA PROCESSING
FT size 16384
Total time 5 minutes

STANDARD 1H
13
Solvent: DMSO
Ambient temperature
File: 1
GEMINI-300 "gemin1300"

(XIV)



PULSE SEQUENCE
Relax. delay 1.000 sec
Pulse 45.0 degrees
Acq. time 1.500 sec
Width 4500.5 Hz
128 repetitions

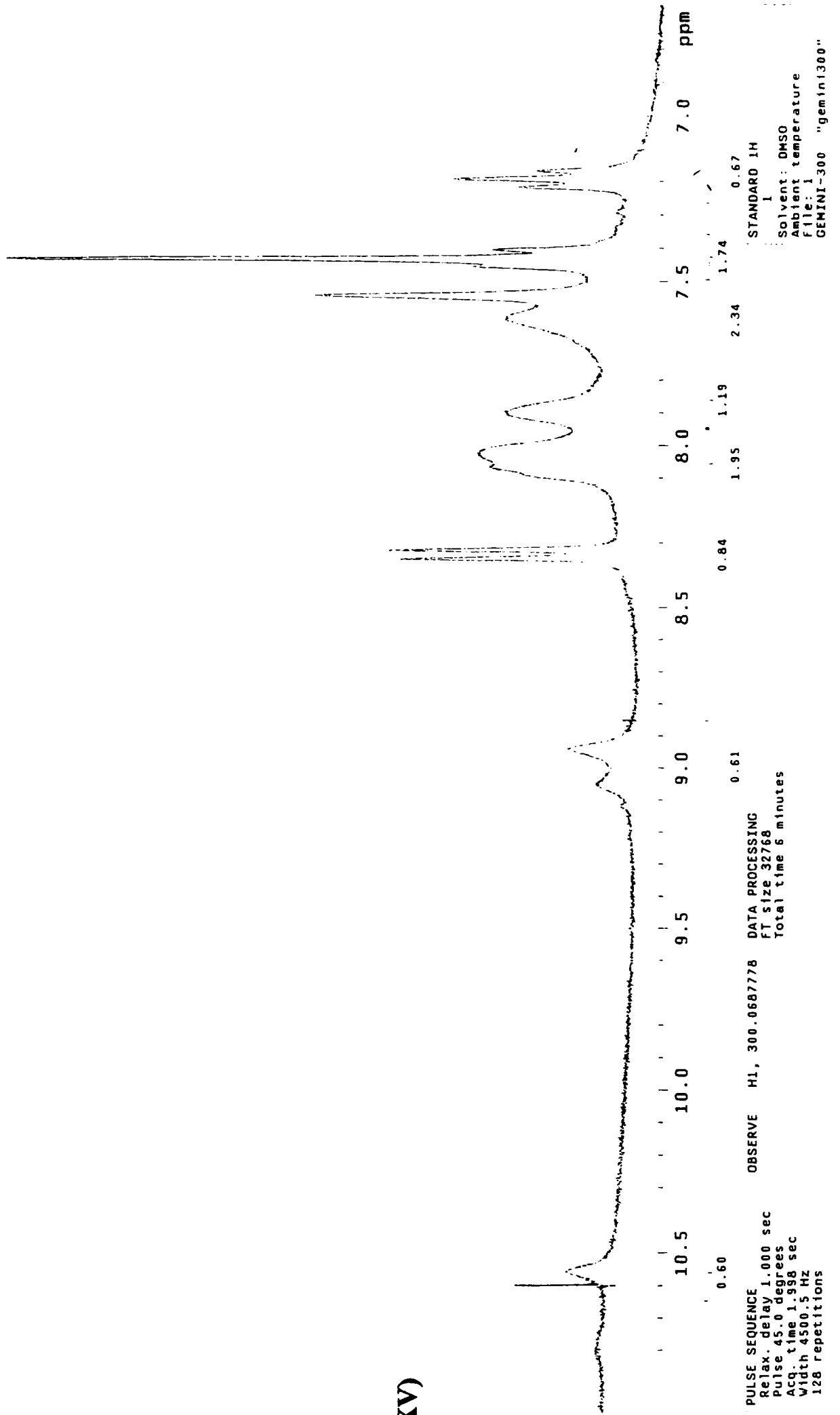
OBSERVE H1, 300.0687778

DATA PROCESSING
FT size 16384
Total time 5 minutes

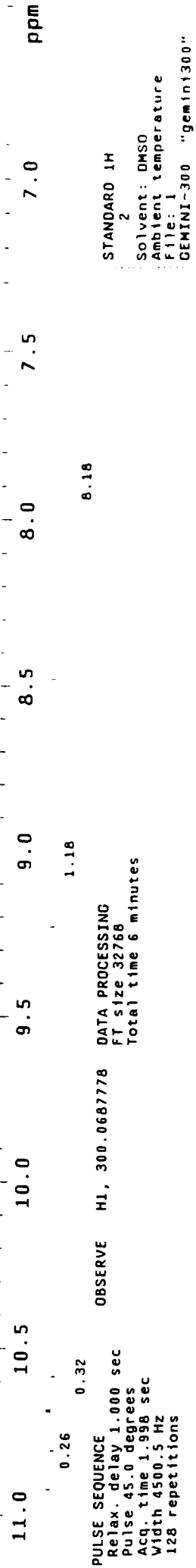
STANDARD IH
14

Solvent: DMSO
Ambient temperature
File: 1
GEMINI-300 "gemint300"

(XV)



(XVI)

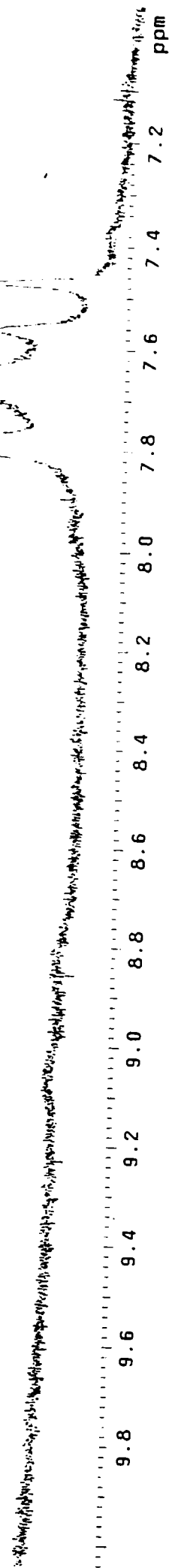


STANDARD 1H
2
Solvent: DMSO
Ambient temperature
File: 1
GEMINI-300 "gemini300"

PULSE SEQUENCE
Relax. delay 1.000 sec
Pulse 45.0 degrees
Acq. time 1.998 sec
Width 4500.5 Hz
128 repetitions

OBSERVE H1, 300.068778
DATA PROCESSING
FT size 32768
Total time 6 minutes

(XVII)

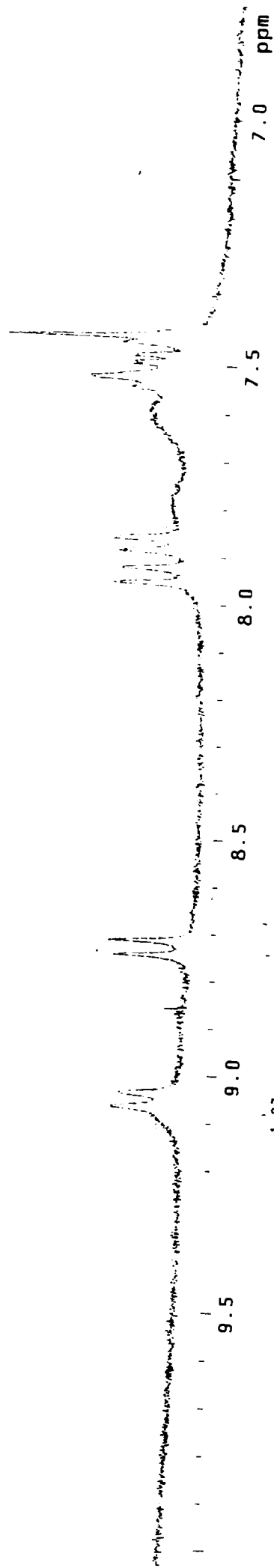


PULSE SEQUENCE
Relax. delay 1.000 sec
Pulse 45.0 degrees
Acq. time 1.998 sec
width 4500.5 Hz
128 repetitions

OBSERVE H1, 300.0687778
DATA PROCESSING
FT size 32768
Total time 6 minutes

STANDARD IH
3
Solvent: DMSO
Ambient temperature
File: 1
GEMINI-300 "gemini300"

(XVIII)

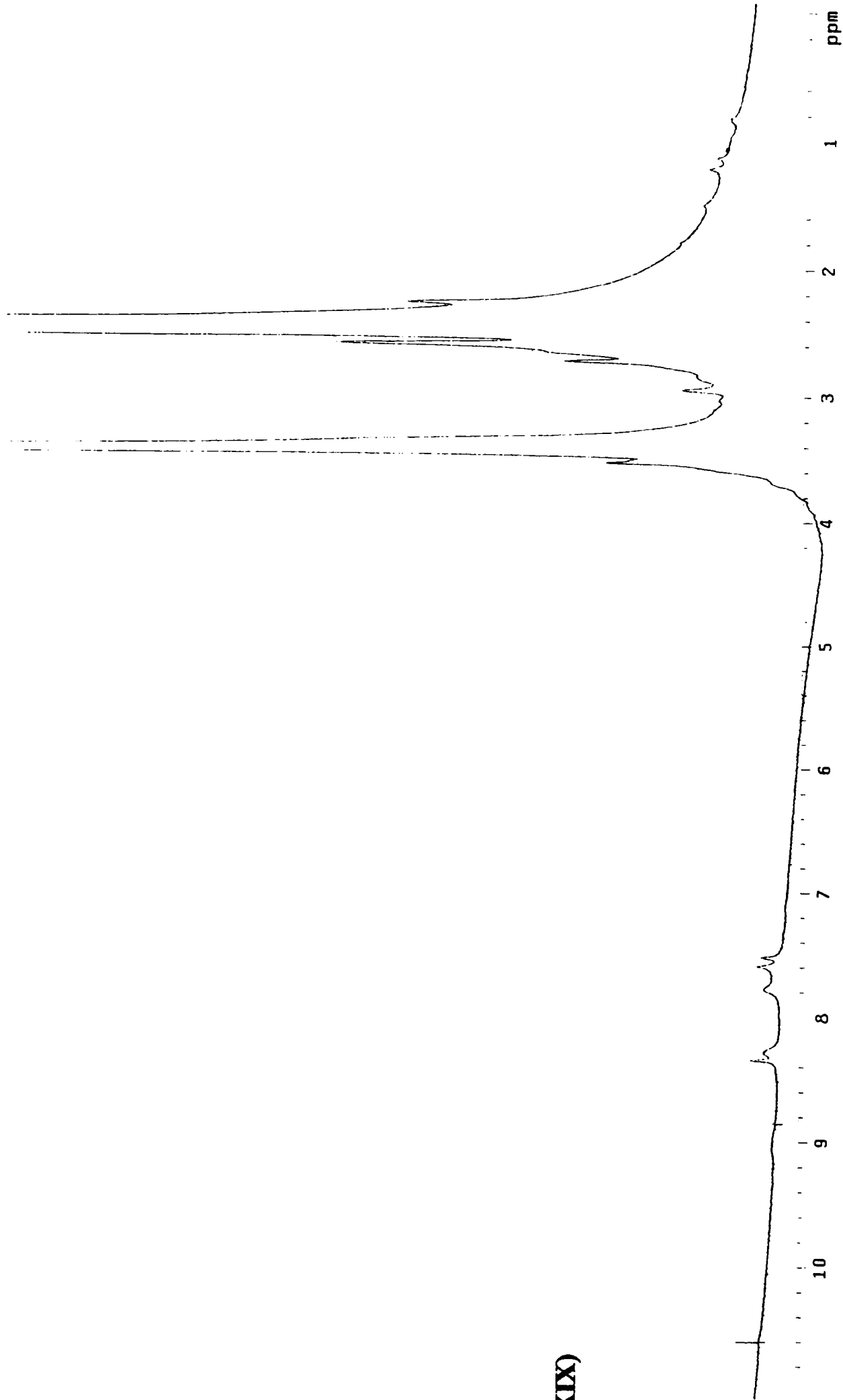


PULSE SEQUENCE
Relax. delay 1.000 sec
Pulse 45.0 degrees
Acq. time 1.998 sec
Width 4500.5 Hz
128 repetitions

OBSERVE H1, 300.0687778 DATA PROCESSING
F1 size 32768
Total time 6 minutes

STANDARD 1H
4
Solvent: DMSO
Ambient temperature
File: 1
GEMINI-300 "gemini300"

(XIX)

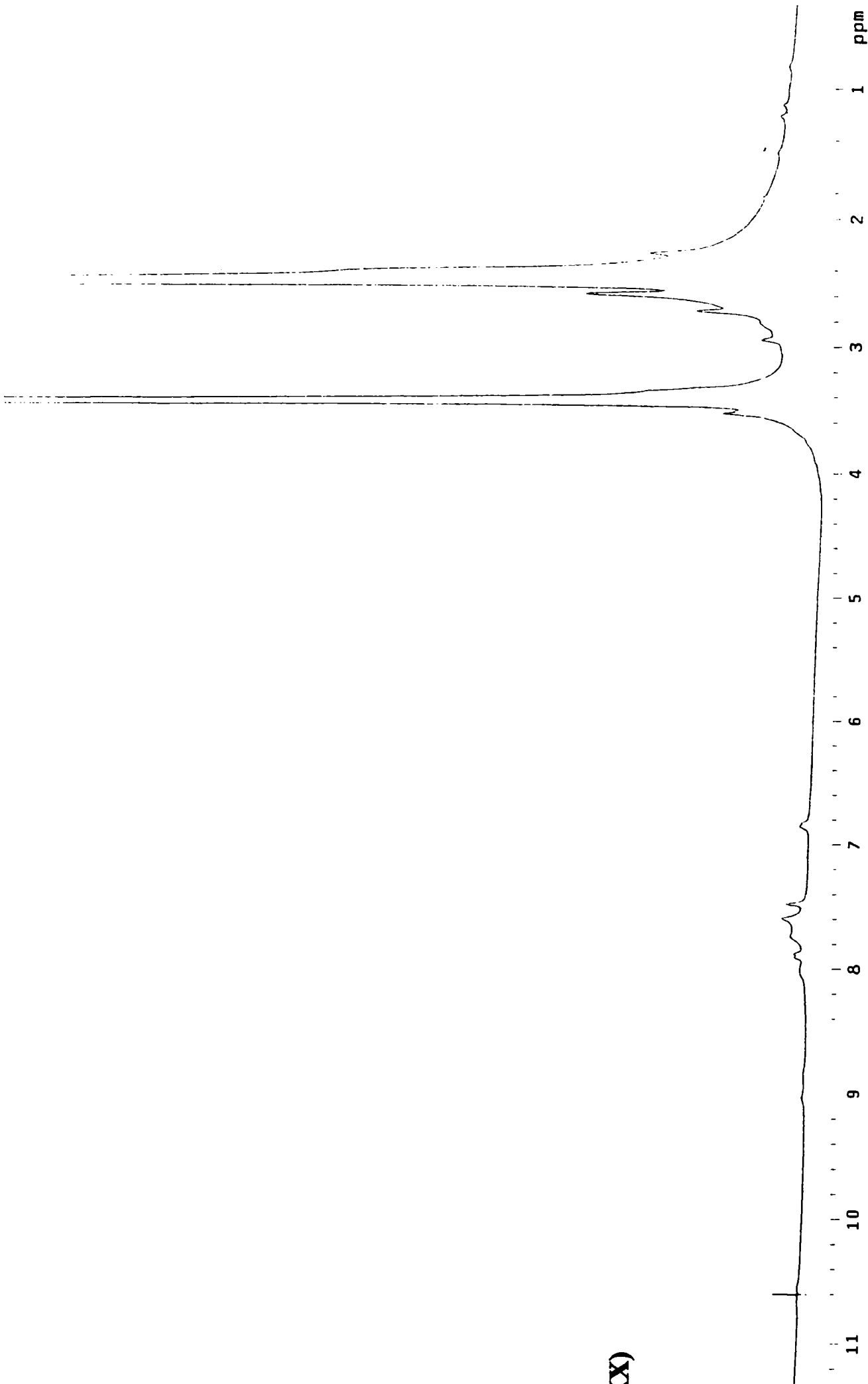


PULSE SEQUENCE
Relax. delay 1.000 sec
Pulse 45.0 degrees
Acq. time 1.998 sec
Width 4500.5 Hz
128 repetitions

OBSERVE H1, 300.0687778 DATA PROCESSING
FT size 32768
Total time 6 minutes

STANDARD 1H
Solvent: DMSO
Ambient temperature
File: 1
GEMINI-300 "gemin1300"

(XX)

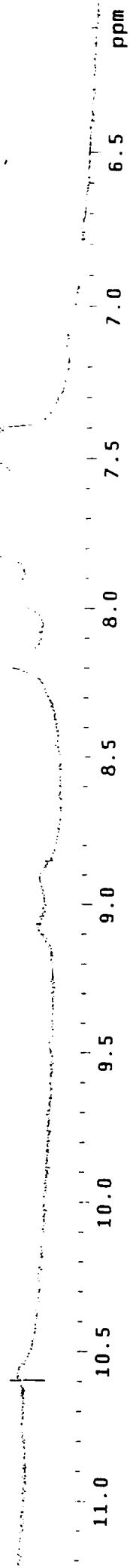


PULSE SEQUENCE
Relax. delay 1.000 sec
Pulse 45.0 degrees
Acq. time 1.998 sec
Width 4500.5 Hz
128 repetitions

OBSERVE H1, 300.0687778 DATA PROCESSING
FT size 32768
Total time 6 minutes

STANDARD I1
6
Solvent: DMSO
Ambient temperature
File: 1
GEMINI-300 "gemin1300"

(XXI)

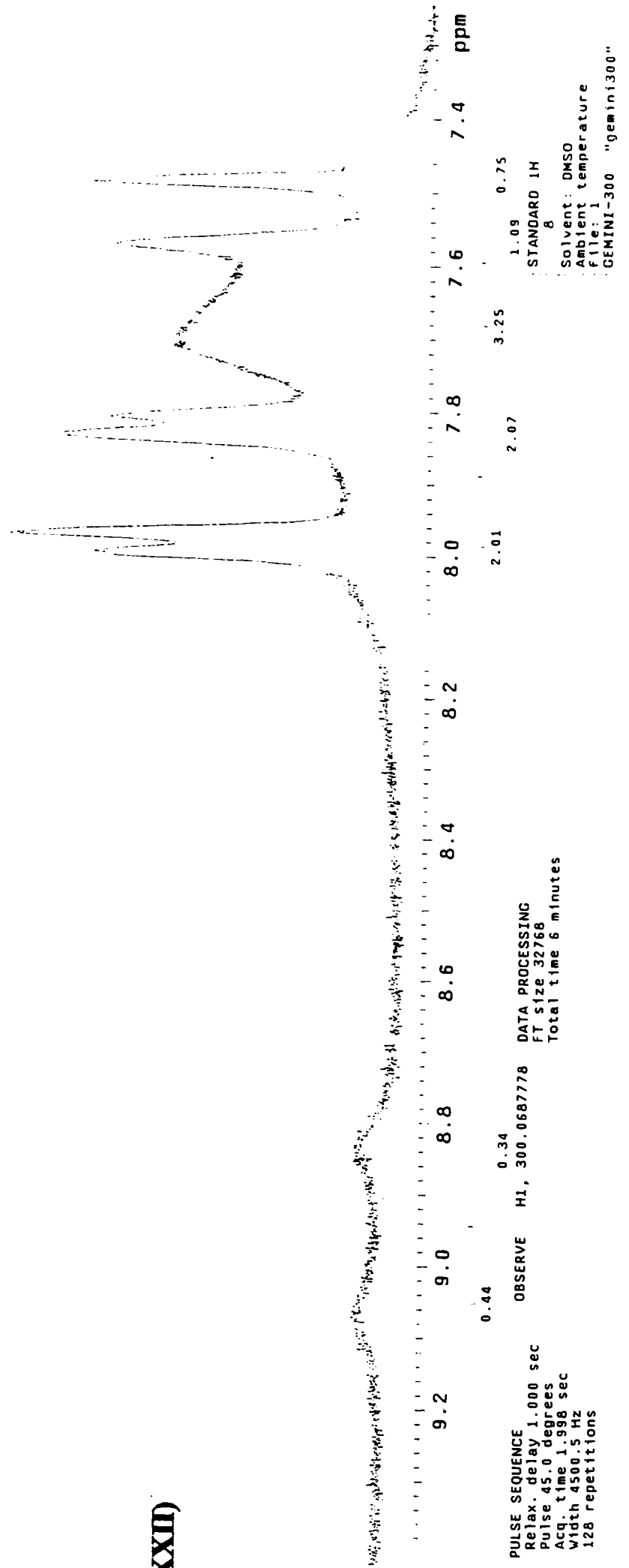


PULSE SEQUENCE
Relax. delay 1.000 sec
Pulse 45.0 degrees
Acq. time 1.500 sec
Width 4500.5 Hz
128 repetitions

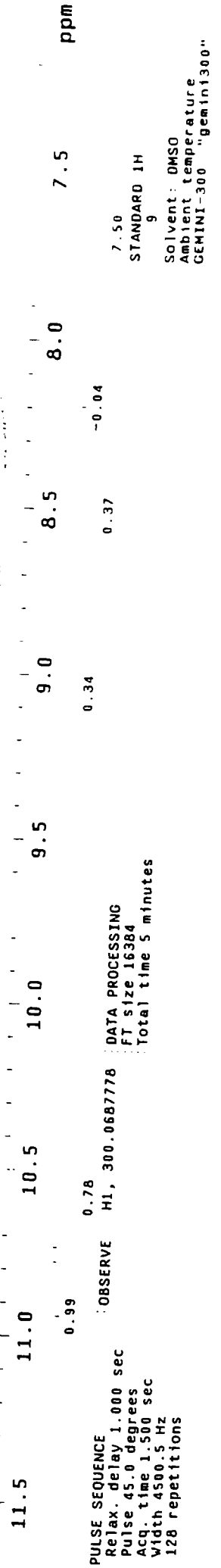
OBSERVE H1, 300.068778 DATA PROCESSING
FT size 16384
Total time 5 minutes

STANDARD I1
pr. conc.
Solvent: DMSO
Ambient temperature
GEMINI-300 "gemin1300"

(XXII)



(XXIII)



(XXIV)

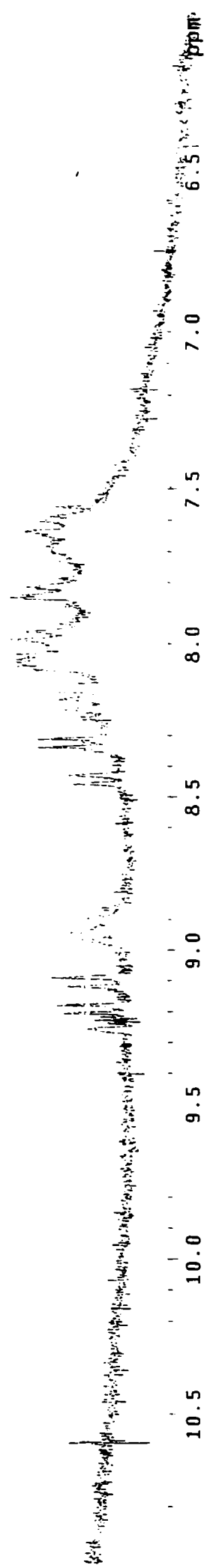


PULSE SEQUENCE
Relax. delay 1.000 sec
Pulse 45.0 degrees
Acq. time 1.500 sec
Width 4500.5 Hz
944 repetitions

OBSERVE H1, 300.0687778 DATA PROCESSING
FT size 16384
Total time 39 minutes

STANDARD 1H
1
Solvent: DMSO
Ambient temperature
File: 1
GEMINI-300 "gemini300"

(XXV)

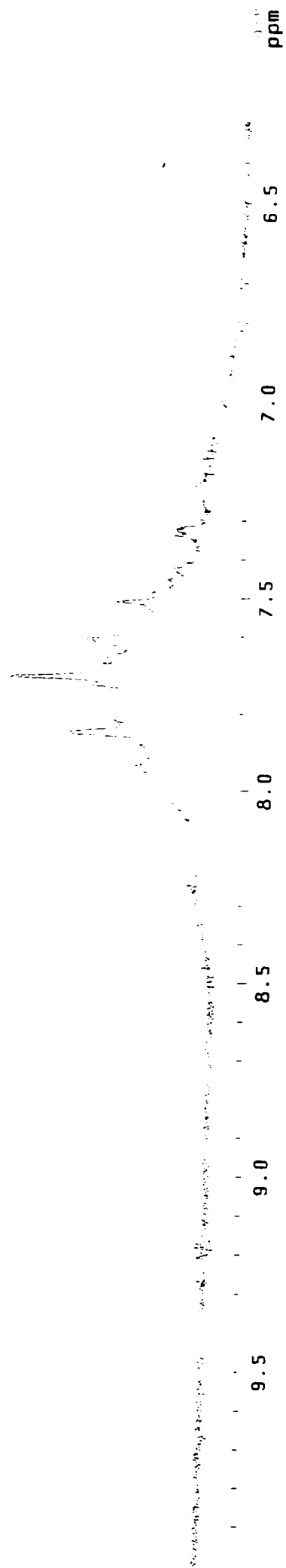


PULSE SEQUENCE
Relax. delay 1.000 sec
Pulse 45.0 degrees
Acq. time 1.500 sec
Width 4500.5 Hz
832 repetitions

OBSERVE H1, 300.0687778 DATA PROCESSING
FI size 16384
Total time 34 minutes

STANDARD I1
2
Solvent: DMSO
Ambient temperature
File: 1
GEMINI-300 "gemini300"

(XXVI)

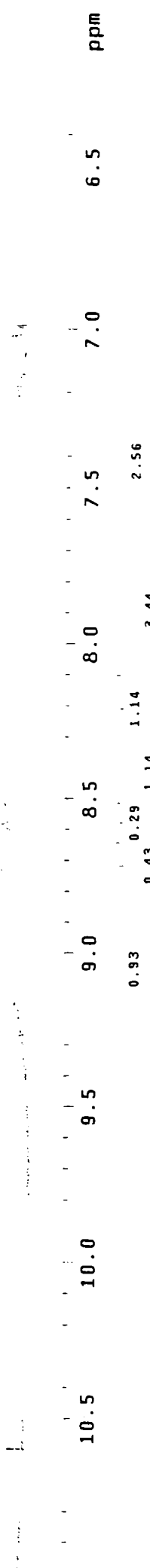


PULSE SEQUENCE
Relax. delay 1.000 sec
Pulse 45.0 degrees
Acq. time 1.500 sec
Width 4500.5 Hz
1021 repetitions

OBSERVE H1, 300.068778 : DATA PROCESSING
FT size 16384
Total time 42 minutes

STANDARD 1H
3
Solvent: DMSO
Ambient temperature
File: 1
GEMINI-300 "gemini300"

(XXXVII)



PULSE SEQUENCE
Relax. delay 1.000 sec
Pulse 45.0 degrees
Acq. time 1.500 sec
Width 4500.5 Hz
847 repetitions

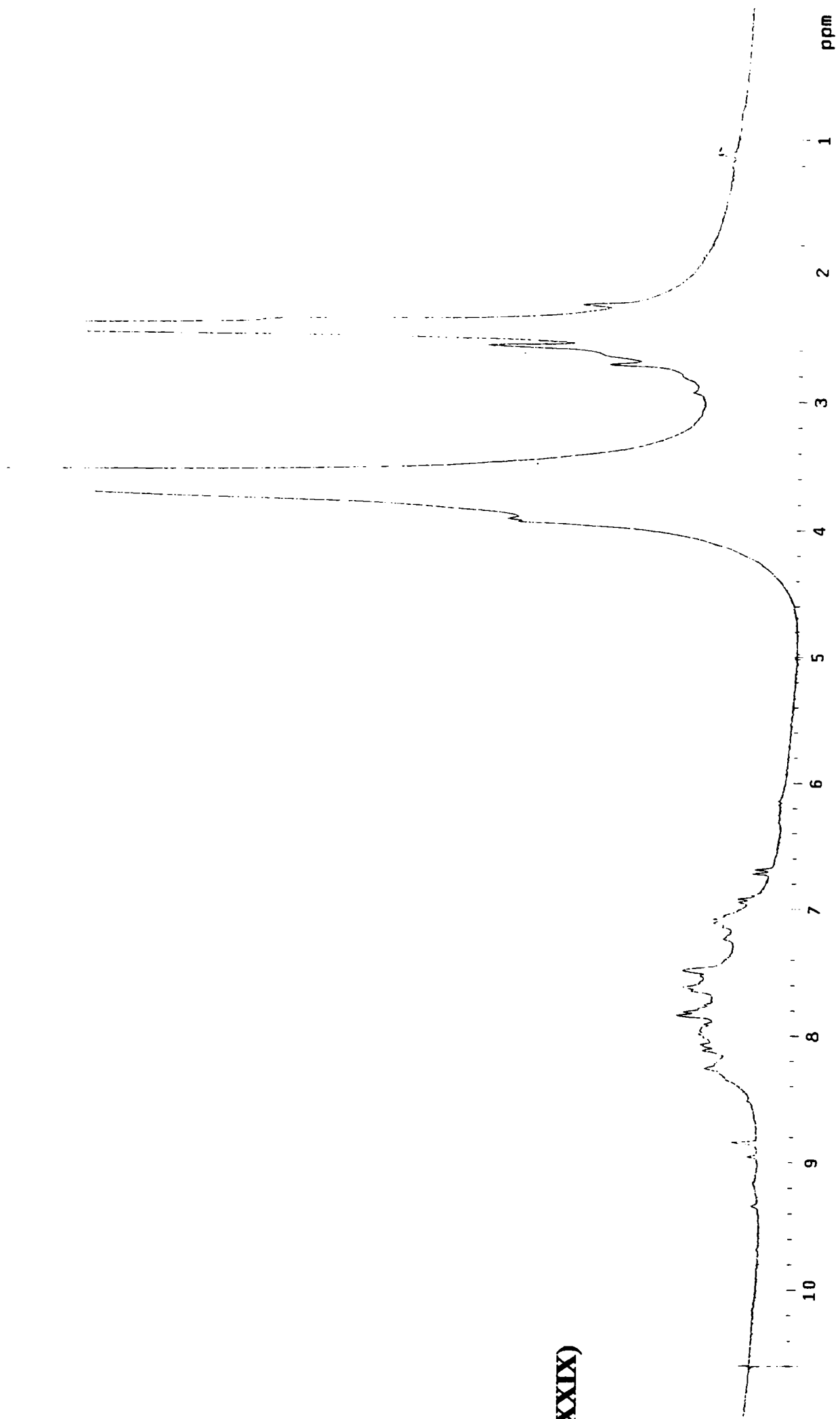
OBSERVE H1, 300.068778 · DATA PROCESSING
FT size 16384
Total time 35 minutes

STANDARD IH
4_negru
Solvent: DMSO
Ambient temperature
File: 1
GEMINI-300 "gemini300"

(XXVIII)

10.5	10.0	9.5	9.0	8.5	8.0	7.5	7.0	6.5	6.0
PULSE SEQUENCE		OBSERVE	H1, 300.0687778	DATA PROCESSING	STANDARD 1H				
Relax. delay 1.000 sec				FT size 16384	5				
Pulse 45.0 degrees				Total time 19 minutes					
Acq. time 1.500 sec									
Width 4500.5 Hz									
459 repetitions									

(XXIX)

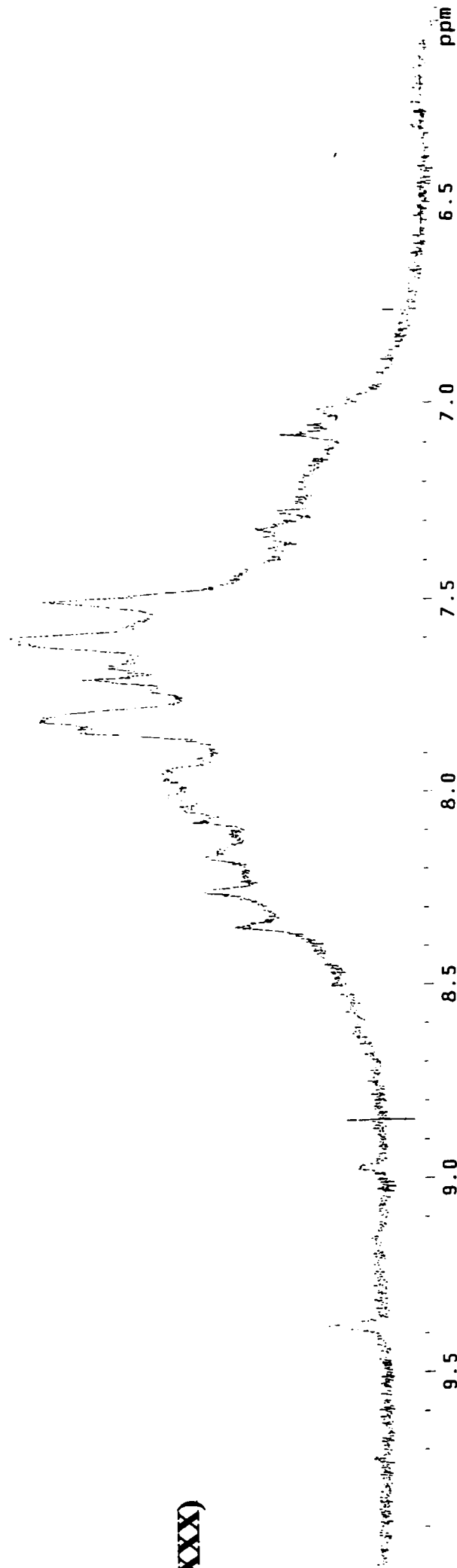


PULSE SEQUENCE
Relax. delay 1.000 sec
Pulse 45.0 degrees
Acq. time 1.500 sec
Width 4500.5 Hz
224 repetitions

OBSERVE H1, 300.0687778 DATA PROCESSING
FT size 16384
Total time 9 minutes

STANDARD 1H
6
Solvent: DMSO
Ambient temperature
File: 1
GEMINI-300 "gemin1300"

(XXX)



STANDARD 1H
7
Solvent: DMSO
Ambient temperature
file: 1
GEMINI-300 "gemint300"

OBSERVE H1, 300.068778 DATA PROCESSING
F1 size 16384
Total time 8 minutes

PULSE SEQUENCE
Relax. delay 1.000 sec
Pulse 45.0 degrees
Acq. time 1.500 sec
Width 4500.5 Hz
192 repetitions

(XXXX)



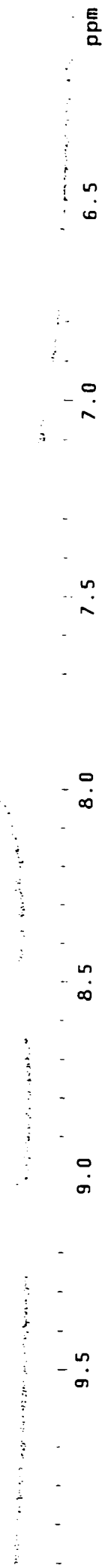
PULSE SEQUENCE
Relax. delay 1.000 sec
Pulse 45.0 degrees
Acq. time 1.500 sec
Width 4500.5 Hz
128 repetitions

OBSERVE H1, 300.0687778

DATA PROCESSING
FT size 16384
Total time 5 minutes

STANDARD 1H
8
Solvent: DMSO
Ambient temperature
File: 1
GEMINI-300 "gemin1300"

(XXXXII)



PULSE SEQUENCE
Relax. delay 1.000 sec
Pulse 45.0 degrees
Acq. time 1.500 sec
Width 4500.5 Hz
976 repetitions

OBSERVE H1, 300.0687778 DATA PROCESSING
FT size 16384
Total time 40 minutes

STANDARD 1H
9
Solvent: DMSO
Ambient temperature
File: 1
GEMINI-300 "Gemin1300"